

# РадиоХобби

№6 декабрь 2013



«Эмиттерно-  
катодный»  
гибрид в телефонном  
High-End усилителе

VU-метр с разноцветными  
светодиодными «стрелками»

Мощный Hi-Fi класс D,  
но  
с дельта-сигмой второго порядка

AirMagnet Spectrum XT: «ружьё»  
для «охоты на Wi-Fi лис»

Осваиваем  
сенсорные TFT-дисплеи

Двести двухметровых ватт  
на металлокерамике



# МАСТЕР КИТ

ДЕТСКИЕ КОНСТРУКТОРЫ



## РАДИОКОНСТРУКТОР "ТВОЁ РАДИО" №1



EK-001D

Диапазон частот: 64 - 108 МГц  
Автонастройка на частоту станции  
Выходная мощность: 2 Вт  
Диапазон частот: 20 - 18000 кГц



Приёмник собирается  
за считанные минуты!

### СМОТРИТЕ ТАКЖЕ:

- EK-002 Радиоконструктор "Твоё радио" №2
- EK-003 Радиоконструктор "Твоё радио" №3
- EK-004 Радиоконструктор "Твоё радио" №4



ДЛЯ ЮНЫХ КОНСТРУКТОРОВ,  
ШКОЛЬНЫХ РАДИОКРУЖКОВ,  
ДОМОВ ТЕХНИЧЕСКОГО ТВОРЧЕСТВА,  
СТАНЦИЙ ЮНЫХ ТЕХНИКОВ.

Более 500 изделий, включая 100 готовых устройств на сайте: [WWW.MASTERKIT.RU](http://WWW.MASTERKIT.RU)

Закажите по бесплатному номеру **МАСТЕР КИТ: 8-800-200-09-34** с мобильного или городского телефона  
в России (с 9.00 до 18.00, кроме выходных). Продажа в Украине: тел.: (094) 925-64-96.

Вопросы и консультации: (495) 234-77-66, e-mail: [infomk@masterkit.ru](mailto:infomk@masterkit.ru)

Передплатіть наші  
видання на 2014 рік!

У кожному поштовому  
відділенні України!  
А також на сайті  
[www.presa.ua](http://www.presa.ua)



Уважаемые читатели!

Государственное предприятие по распространению периодических изданий "Пресса" (ГП "Пресса") сообщает, что с 27 сентября 2013 года началась подписка на 2014-й год на украинские и зарубежные периодические издания!

Оформить подписку можно по "Каталогу изданий Украины" и "Каталогу изданий зарубежных стран", которые формируются и издаются ГП "Пресса" общим тиражом 170 тыс. экземпляров. На сегодняшний день предприятие включает в свои каталоги в общей сложности более 10 500 индексов украинских и зарубежных изданий - это огромный выбор самых разнообразных газет, журналов и книг по доступным ценам! Оуществить подписку по этим Каталогам можно в любом почтовом отделении Украины.

Кроме того, оформить подписку можно, воспользовавшись услугой "Подписка ON-LINE" на корпоративном сайте предприятия [www.presa.ua](http://www.presa.ua). Теперь оформлять подписку "ON-LINE" стало проще. ГП "Пресса" внедрило новый способ расчета - оплата Webmoney, а также картами Visa и MasterCard. Этот удобный и современный способ электронных платежей позволяет оплачивать счет, не оставляя дома или офиса.

ул. Петропавловская, 2а, г. Киев, Украина, 03999  
ГП "Пресса"

Отдел подписки  
тел./факс: (044) 289 07 74  
тел.: (044) 289 04 13, 249 50 45  
[www.presa.ua](http://www.presa.ua)

ГАЗЕТЫ  
ЖУРНАЛЫ

Редакция, художественное и техническое редактирование

**2014**

Первое полугодие

Агентство "РОСПЕЧАТЬ"

www.presa.ua

Подписка на "Радиохобби" на 2014-й год - в  
любом почтовом отделении:

Украине - по каталогу ДП Преса, индекс 74221

Беларусь - по каталогу Белпочты, индекс 74221

России - по каталогу Роспечати, индекс 22033,  
раздел Издания ближнего зарубежья, Украина.  
Учтите, что подписка на издания ближнего  
зарубежья заканчивается почти на месяц раньше,  
чем на российские издания.

Подписку в других странах можно оформить  
онлайн на сайте <http://www.presa.ua/online>

Каталог  
видань  
України  
2014

рік

# Радиохобби

Журнал для радиолюбителей  
аудиофилов и пользователей ПК  
№ 6(96)/ДЕКАБРЬ 2013



Совместное издание с  
Лигой радиолюбителей Украины  
Издается с февраля 1998 г.

Главный редактор  
Николай Сухов

Редакционная коллегия  
Георгий Божко (UT5ULB)

Евгений Васильченко

Сергей Кубушин

Анатолий Манаков

Александр Петров

Юрий Садиков

Александр Торрес

Николай Федосеев (UT2UZ)

Георгий Члиянц (UY5XЕ)

Владимир Широков

## Адрес редакции

Украина, 03190, Киев-190, а/я 56

Тел. (044)3609096 (моб., глашад),

из России (1038044)3609096

E-mail: radiohobby@yandex.ru

http://radiohobby.QRZ.ru

Распространение  
по подписке в любом отделении связи:

## Украина

по «Каталогу видань України 2014  
рік» ДП «Прес», с.203,  
індекс 74221

## Россия

по каталогу «Газеты Журналы 2014,  
Первое полугодие» агентства  
Роспечать, раздел «Издания ближнего  
зарубежья», подраздел журналы  
Украины, с.407, индекс 22033

**Все другие страны, включая  
далнее зарубежье – в онлайне  
на сайте <http://www.press.ua/online>**

Выражаем благодарность всем авторам за их  
мысли и идеи и всем подданным за доверие к  
материалной поддержке журнала

Редакция может не разделять мнение авторов и не  
насчет ответственности за содержание рекламы

© «Радиохобби». Копирование материалов  
журнала на любых носителях, размещение  
копий или указание ссылок на скачивание в  
любых сетях без письменного разрешения  
редакции запрещено (Статьи 1229, 1270 ГК).

Подписано к печати 24.12.2013 г.  
Отпечатано в типографии ООО «Ларо-принт»,  
г. Киев, ул. Бастонская, 15

Тираж 8300 экз.

Цена договорная

Учредитель и издатель ФОП Сухов Н.Е.  
г. Киев, ул. Гончарова, 21

Журнал выходит шесть раз в год  
60x84/8 форм., 7,44 усл.печ., 12,8 уч.-изд.л.

Зарегистрирован Госкомитетом Российской  
Федерации по печати 28.06.97 г., свид. №016258  
Перерегистрирован Министерством юстиции Украины  
22.02.2008 г., свид. серия КВ №13668-2642ГР

# СОДЕРЖАНИЕ

- 2 Его позывной - RAEM (краткая хроника  
к 110-летию Э.Т. Кренкеля) ..... Г. Члиянц**
- 6 Новая техника и технология: ИНТЕРНЕТ-обзор**  
Проект STRAUSS - мультидоменная оптоволоконная инфраструктура связи, позволяющая работать на скорости до 100 Гб/с; открылось российское «облако» для проектирования электроники; Viber - экономичная и свободная от рекламы альтернатива Skype; Dark Mail - электронная почта на основе P2P-соединения и протокола обмена мгновенными сообщениями SCIMP, принципиально свободная от «прослушки»; WebMoney выпустила приложение WebMoney Voice, позволяющее проводить конфиденциальные телефонные переговоры; PROMT завершила работы по обновлению сайта <http://www.translate.ru> – одного из популярных сервисов по онлайн-переводу; переводчик для телефонов и планшетов под Android, который работает без подключения к интернету; Lunaweb Ltd. предложила бесплатный «облачный» сервис CloudConvert, выполняющий онлайн преобразование между 159 различными форматами файлов в подкатегориях archive, audio, cad, document, ebook, image, presentation, spreadsheet, vector, video; PDFMaster – программа-«гляделка» pdf, djvu, chm, epub и fb2 файлов дополнена новым модулем PDFMaster Printer для печати любых документов из любой программы на вашем ПК в pdf-файл; Microsoft напоминает, что 8 апреля 2014 года полностью завершился поддержка операционной системы Microsoft Windows XP; AirMagnet Spectrum XT – программа-«ручьёй» для «хоты на Wi-Fi лис»; профессиональный анализатор AirMagnet WiFi Analyzer – инструмент для управления сетями Wi-Fi предприятий стандарта 802.11a/b/g/n/4,9 ГГц с ядром AirWISE®; Rockwell Collins выпустила программу-калькулятор Lightning protection design calculator, позволяющую связать параметры тестовых по стандарту DO-160 молний с параметрами защитных радиокомпонентов; навигационный чип Broadcom BCM47521 позволяет определять местоположение с точностью до нескольких сантиметров даже внутри зданий; в Санкт-Петербурге представлен мобильный терминал железнодорожника на Андроиде с классом защиты IP54; институт Kaiteli совместно с компанией Bifrostec представили новую технологию, позволяющую определить путь с использованием самых обычных наушников; «Умные часы» AirOn Connect и AirOn GTi обладают возможностью синхронизации с операционными системами Android и iOS, могут подключаться к смартфонам, принимать звонки и SMS; «хуонный» термоунпак iGrill имеет возможность подключения к вашему iPhone; Volvo Car Group разработала революционную концепцию «кузов автомобиля превращается в аккумулятор»; отладочная платформа Microchip Cloud Development Platform позволит разработчикам встраиваемых приложений быстро изучить технологии обмена данными с облачными сервисами; NXP Semiconductors представила новую серию AXP сверхнизковольтных микропотребляющих логических элементов, выполненных по технологии Si-gate CMOS с напряжением питания от 0,7 В; Littlefuse выпустила микроминиатюрные (3,2 x 1,6 x 1,6 мм) газоразрядники серии SE; МОП-транзистор IXTL2N450 IXYS Corporation с предельно допустимым напряжением сток-исток 4500 В; Intersil Americas LLC выпустила IMC ISL71590SEH – оригинальный двухвыходовый преобразователь температура-ток; IMC Linear Technology LT1166 для управления смещением выходного каскада мощных двухтактных УМЗЧ класса АВ; новая микросхема приемопередатчика диапазона 2,4 ГГц JN5168 от NXP; новинка 2013 года – автомобильная СВ радиостанция Yosan SB-250; приложение MacLoggerDX HD для iPad фирмы Dog Park Software Ltd - аппаратный журнал для радиолюбителей-связистов; магнитная рамочная приемная антенна RLA2 фирмы Reuter-elektronik
- 26 Дайджест зарубежной периодики**  
Анализ УМЗЧ А. Литаврина с MKУС и «гиперглобкой» ООС; Hi-Fi УМЗЧ Джона Кларка класса D с дельта-сигма модулятором второго порядка; веб-сервер на микроконтроллере ATmega256A3 для мониторинга и удаленного управления объектами через сеть интернет; адаптер Бена Джордана для питания радиолюбительских или экспериментальных устройств от компьютерных блоков питания формата ATX без какого-либо вмешательства в сами блоки питания; простой приемник на 7 транзисторах и 5 кварцевых резонаторах для начинающих радиолюбителей позволяет принимать станции, работающие телеграфом и телефоном на всех 9 любительских КВ диапазонах от 1,8 до 29,7 МГц; оригинальный SDR приемник для 40-метрового диапазона на УМС квадратурного демодулятора TDA8040T; двухдиапазонная вертикальная антенна Ground Plane (GP) Джоэла Халласа (W1ZR) с использованием связанных резонаторов; оптимизация рамочных антенн для приема на НЧ диапазонах
- 25 42 QUA-UARL**
- 44 УКВ усилитель мощности на металлокерамическом  
триоде ГИ-7Б ..... В. Мельничук (UR5YW), И. Бойчук (UR5YGA)**
- 47 М.У.З. Сенсорный TFT-дисплей ..... С. Рюмик**
- 51 Светодиодный «стрелочный» индикатор MP1054 для современного УНЧ  
аудиофилы ..... Р. Басалаев, В. Рублев**
- 54 «Эмиттерно-катодный» гибрид в High-End усилителе  
для наушников ..... В. Федосов**
- 56 57 Электронные компоненты, системы, оборудование и аксессуары**
- 58 Мастер Кит - почтой**
- 61 Содержание всех номеров «Радиохобби» за 2013-й год**

С Новым годом!

# Его позывной - RAEM (краткая хроника)

Георгий Члиянц (UY5XE), г. Львов

К 110 - летию со дня рождения Э. Т. Кренкеля

Вместо эпиграфа:

Летом 1934 г Э.Кренкель (УЗАА) посетил Липецк и Воронеж. В Липецке, на одном из заводов, он был зачислен в ударную бригаду клепальщиков и ему было присвоено звание «ПОЧЕТНЫЙ КЛЕПАЛЬЩИК». И сейчас многие коротковолновики верны его заветам - активно «КЛЕПАЮТ» В ЭФИРЕ!

Эрнст Теодорович Кренкель [11(24).12.1903, Тарту - 8.12.1971, Москва] - известный полярник, Герой Советского Союза (1938 г.), доктор геогр. наук (1938 г.), первый председатель ФРС СССР, страшный филателист (первый председатель правления Всесоюзного общества филателистов - ВОФ СССР).

В 1922 г. Эрнст заканчивает годичные радиокурсы (были расположены в Москве на ул.Гороховской). Учитывая, что на выпускных экзаменах он показывает лучший результат по приёму радиограмм (150 эн. в мин.), его направляют работать радистом Люберецкой приёмной радиостанции. Параллельно с работой Кренкель становится студентом радиотехникума (на той же Гороховской).

В конце лета 1924 г. через экспедиционную организацию «Сев-ледок» («Северный ледовой комитет», который был расположен в Ленинграде) он из Архангельска отправляется на экспедиционном судне «Юшар» («Юговский Шар») радистом экипажа второго заезда на первую советскую полярную станцию (ПСТ), построенную в октябре 1923 г. в бухте Тихой (пролив Маточкин Шар), ПСТ «Матшар» («МШ») на Новой Земле [ЮТА - EU-035, RRA - RR-04-01]. Состав экипажа полярников - 13 человек (вкл. второго радиста - К. А. Сысолятину).

В апреле 1925 г. Э.Кренкель призываются в ряды Красной Армии. Попадает во Владимир, где становится радистом радиостанции «АЛМ» в отдельном радиотелеграфном батальоне. Соседом Эрнста по казарме был Р.Абель - будущий легендарный разведчик.

[Примечания: «АЛМ» - первая ламповая радиостанция, которая поступила на вооружение в 1923 г. и была названа в честь её создателя - Александра Львовича Минца, который в то время возглавлял Научно-испытательный институт связи (НИИС) РККА (в последствии - академик, Герой Социалистического труда, лауреат Ленинской и Государственных премий). До 1923 г. в Красной Армии использовались только искровые передатчики немецкой фирмы «Телефункен».

В октябре 1928 г. Э.Кренкель (в то время личного позывного он не имел) установил первую КВ-аппаратуру в Арктике на ПСТ «МШ». Передатчик и приёмник ему были изготовлены в Нижегородской радиолаборатории (НРЛ), которую он посетил в год отъезда на ПСТ и где познакомился с профессорами - Михаилом Александровичем Бонч-Бруевичем и Владимиром Васильевичем Татариновым, а также с молодым изобретателем т.н. «кристиадина» - Олегом Владимировичем Лосевым. Мощность передатчика была 300 Вт. Для работы с любительскими радиостанциями (ЛРС) Кренкель «изобрёл» себе позывной сигнал РГО («Полярная Геофизическая Обсерватория» - ПГО и, как-бы предвидя, что спустя 29 лет в Арктике будет построена ПГО и в суффиксе её ЛРС будет фигурировать придуманный им позывной РГО).

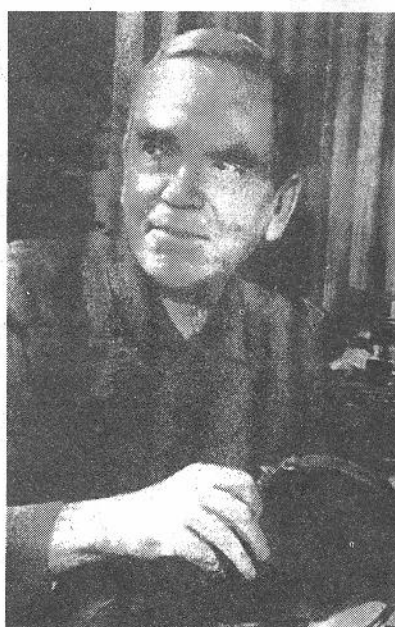
Его первое QSO проходило так: был слабый сигнал, он сильно волновался и принял только обрывок позывного. Догадавшись, что его корреспондентом был советский коротковолновик, послал запрос в журнал «Радио Всем» и через неделю ему поступил ответ, что это был бакинский коротковолновик. Затем его корреспондентами были: «Малыгин» (шёл на спасение экспедиции У.Нобиле к арх. Шпицберген, радист - нижегородец Александр Кожевников - ранее, как нелегал, - R1AK), Фарерские о-ва, Париж, Бристоль, Орлеан, Рим, Каир, Будапешт, Моссул, Ташкент, Тифлис, Омск, Томск, Иркутск.

После отработанной вахты на «Матшаре» Кренкель некоторое время работает радистом на гидрологическом судне «Таймыр», совершившем рейсы по маршруту Архангельск - о.Колгуев - Маточкин Шар - о.Вайгач - Канин Нос - Архангельск.

12 января 1930 г., работая с ПСТ «Бухта Тихая» на о.Гукера (Земля Франца-Иосифа - ЗФИ), он установил рекордную по дальности радиосвязь на КВ со своим «антиподом» (на расстояние примерно 20 тыс. км) - базовой радиостанцией американской экспедиции адмирала Ричарда Бэрда (Бёрда). Его передатчик мощностью 250 Вт (длина волны - 43 м) был им доставлен на остров и установлен 1 августа 1929 г. Мощность базового передатчика экспедиции Бэрда - 800 Вт и он находился на базе «Little America» (Shirase Coast) [WABA-NEW]. QSO продолжалось свыше полутора часов. Позывной Кренкеля был RPX, а Говарда Масона (радист экспедиции Бэрда) - WFA. Механиком на радиостанции ЗФИ был Михаил Муров. Экспедиция была доставлена из Архангельска на ледоколе «Георгий Седов» (его радист - Евгений Николаевич Гиршевич).



Эрнст Теодорович Кренкель [11(24).12.1903, Тарту - 8.12.1971, Москва]



По возвращению в 1931 г. с ЗФИ Э. Кренкель работает заведующим ЛРС Центральной секции коротких волн ОДР СССР (позвывной - CSKW).

Международное общество «Аэроарктика» (в рамках программы «Международного полярного года - 1930-1932 г.г.» - МПГ) осуществляет международную экспедицию - арктический полёт немецкого дирижабля модели LZ-127 - «Граф Цеппелин» (буквы LZ - от нем. слов *Luftschiff Zeppelin*, т.е. «Дирижабль Цеппелин»), который был построен в 1928 г. (через 11 лет после смерти его конструктора - графа Фердинанда Цеппелина).

24 июля под командованием доктора Гуго Эккенера стартовал экипаж в составе 46 чел. В состав экспедиции от СССР вошло четыре человека: ленинградские профессора - Р.Л. Самойлович (руководитель научной части экспедиции) и П. А. Молчанов (аэролог, изобретатель радиозонда), и москвичи - Ф. Ф. Ассберг (специалист дирижаблестроения) и Эрнст Кренкель (радист). Двумя другими радистами экспедиции были немцы Вальтер Думке (ст.радист) и Леонард Фрейнд. Одним из т.н. «радиоофицеров» экспедиции был Рольф Клюге (позже - DK4MF). «Чистое» полётное время экспедиции составило 104 часа и она проходила по маршруту: Фридрихсхафен - Берлин (приземление) - Хельсинки - Ленинград (приземление) - Архангельск - Земля Франца-Иосифа (приводнение в районе о.Рудольфа и за ранее запланированная встреча с ледоколом «Малыгин», с борта которого на дирижабль поднимался один из его туристов - знаменитый Умберто Нобиле) - о.Сев.Земля - м.Челюскина - о.Диксон - м.Желания - вдоль Нов.Земли - Архангельск - Ленинград - Берлин - Фридрихсхафен. Периодически с борта работала радиостанция с позывным сигналом DENNE. Мощность телеграфного передатчика (готовился как аварийный) была всего 1,5 Вт, а вес - около 1 кг. Он питался от т.н. «солдат-мотора». Общий вес всего комплекта (вкл. антенну и её наземную аварийную трёхметровую мачту) составлял 79 кг. Из советских коротковолнников с Э. Т. Кренкелем удалось провести QSO только москвичу Г. Г. Ситникову (EU2NF; позже - U3AI; участник гражданской войны в Испании 1936-39 гг, за что был награждён орденом Красной Звезды).

Начальник почтового отделения ледокола «Малыгин» был Иван Дмитриевич Паланин. Радистом «Малыгина» в то время был москвич Николай Афанасьевич Байкузов (EU2BD; позже - U3AG; после ВОВ - генерал-майор инженерно-авиационной службы; до 1950 г. и после 1955 г. - UA3AG; в 1946-52 г.г. - гл.редактор журнала «РАДИО»). С начала 1949 г. в СССР началась «кампания» по закрытию ЛРС военнослужащих (по мнению некоторых её очевидцев и специалистов она могла иметь прямую связь с назревающими событиями на Корейском полуострове). Стартом закрытий послужил выход в эфир с борта самолёта Николая Байкузова (позывным UA3AG/am), кото-

рый в то время был начальником связи дальней авиации. По этому поводу в конце 50-х - начале 60-х г.г. среди коротковолновиков «гуляла» легенда о том, что UA3AG не просто вышел в эфир с борта самолёта, а проводил QSOs по всей трассе своего инспекционного полёта по стране и, отследив его путь, американцы что-то там смогли вычислить.

28 июля 1932 г. Кренкель отплывает радистом ледокольного парохода «Александр Сибиряков» (ст.радистом был Е.Н.Гиршевич - бывший радист ледокола «Георгий Седов», доставивший в 1929 г. на ЗФИ т.н. «семёрку смелых»), который впервые проходит Великий Северный морской путь (от Архангельска - до Владивостока) за один навигационный период. Руководит экспедицией Всесоюзного арктического института (был основан в 1925 г.) начальник только что созданного Главного управления Северного морского пути - ГУСМП (Главсевморпуть) при СНК СССР, проф. Отто Юльевич Шмидт. Во время данной экспедиции были открыты о-ва Известий ЦИК [ЮТА -AS-086; RRA - RR-06-16]. На протяжении всего плавания Гиршевич и Кренкель поддерживали регулярную радиосвязь с десятью ПСТ, расположеными на побережье и островах т.н. западного сектора Северного Ледовитого океана. С двумя же другими, расположеными в т.н. восточном секторе (от м.Челюскин и до Берингова пролива), связи не было: на ПСТ м.Шалаузова (о-в Большой Яховский) радист относился к работе крайне беззаборно (кроме своих траффиков, эфира не прослушивал), а радиостанция ПСТ на о.Врангеля бездействовала из-за отсутствия на ней радиста. Правда, более или менее с ними нормально работала небольшая радиостанция посёлка Узлен, расположенная в помещении райисполкома и её радистом была Людмила Шрадер - будущая легендарная радистка радиостанции м.Узлен, на плечи которой через два года ложат основная нагрузка по радиосвязи (во время эпопеи по снятию со льдины челябинцев).

В марте 1933 г. он отправляется в полёт на крупнейшем и единственном в то время советском дирижабле «В-3». Окончился полёт неудачно, хотя, к счастью, обошлось без жертв, и на этом карьера Кренкеля-дирижаблиста завершилась.

Э. Кренкель получает позывной U3AA и через три месяца по приглашению О. Ю. Шмидта, принимает участие в походе по Северному морскому пути в качестве ст.радиста парохода «Челябинин» (водоизмещение 7500 т, был построен в 1933 г. Копенгагенской фирмой «Бурмайстер ог Вайн»). Вторым радистом был В.В.Иванюк (U1BF, ранее - EU3GK) и временным - С.И.Иванов, который следовал на о.Врангеля (впоследствии в 1937 г., во время высадки паланинской экспедиции на Сев.полюс, был радистом самолёта Водопьянова). Временным радистом парохода был и Николай Николаевич Стромилов (U1CR, после ВОВ - UA3BN), который доставил

на борт передатчик серии «Норд». Передатчик имел мощность 500 Вт и был изготовлен за полтора месяца коллективом Ленинградской опытной лаборатории (ОРЛ), которую много лет возглавлял Лев Абрамович Гаухман (U1AG, ранее - EU3AS) и из любительских диапазонов имел только «сороковку».

Н. Стромилов в составе группы из восьми человек покинул «Челябинин» 3 октября 1933 г. (через 3 месяца плавания), когда судно, зажатое тяжелыми льдами Чукотского моря, стояло у входа в Колючинскую губу - предстояла зимовка и начиналась эвакуация населения парохода, которое в этих условиях становилось избыточным (вкл. заболевших).... Покинувшая группа добиралась до Большой земли на собачьих упряжках.

На корабле Э. Т. Кренкель嘗試ed приобщить к радио и метеорологов - спутников Комовых, которых начал в декабре обучать азбуке Морзе. Больше всех преуспела Ольга, которую он даже уже подумывал поставить на радиоахту параллельно с ним через неделю-другую, но....

13 февраля 1934 г. пароход (на нём оставалось 104 чел., вкл. десять женщин и двое детей) был раздавлен льдами в Чукотском море и затонул (в 150 км от берега). К чести челябинцев, следует отметить, что SOS с гибнувшего парохода в эфир не передавался. Людей и имущество успели выгрузить и во льдах Арктики возник легендарный палаточный лагерь (в нём было и несколько сборных деревянных домиков) Шмидта, который просуществовал два месяца - время проведения спасательной операции экспедиции.

Весь этот период позывной «Челябинина» RAEM регулярно выходил в эфир на связь и прекратил свою работу 13 апреля - по приземлению к ним последнего рейса спасательного самолёта.

По ходатайству Центрального бюро СКВ, Инспекции радиосети Э. Кренкелю был выдан позывной RAEM (за ним был сохранён до 1948 г. и позывной U3AA).

В 1935 г. руководство Главсевморпути назначило Э. Кренкеля руководить строительством ПСТ на о-вах Каменева (арх. Сев.Земля), куда он был переброшен с м. Оловянного летчиком Линделем. Перед отъездом он получил в подарок от завода им. Орджоникидзе трёхламповый приёмник с батарейным питанием - БИ-234 (т.н. «колхозный»).

22 марта 1936 г Э. Кренкеля, механика Н. Мехреньгина и 400 кг груза перебрасывают на двух самолётах Р-5 на законсервированную ПСТ на о. Домашний [AS-042; RRA-07-01]. Уже 29 марта Кренкель в эфире занимается метеорологическим обеспечением полёта самолётов М. В. Водопьянова (борт. nr. «СССР-Н-127») и В. М. Махоткина («СССР-Н-128») из Москвы на ЗФИ. А 20-22 июля - полёта В. П. Чкалова на самолёте «АНТ-25» («РД» - дальний разведчик) по беспосадочному перелёту по маршруту: Москва - ЗФИ - Сев. Земля

## РАДИОИСТОРИЯ

Петропавловск-на-Камчатке - о. Удд (с того времени - о.Чкалова). В середине июня Николай Георгиевич Мехреньгин (в конце 40-х г.г. - нач. ПСТ на мысе Стерлигова), а вслед за ним и Эрнст Кренкель заболели тяжелой формой цинги. Поняв всю серьёзность сложившейся обстановки, в эфир полетела радиограмма с присущей Кренкелю лаконичностью и юмором (даже в трагических ситуациях): «ЛЕДОРЕЗ ЛИТКЕ ШМИДТУ. НАЧИНАЯ С СЕРЕДИНЫ ИЮНЯ ПОСТАВКИ У ОБЕИХ МАШИН ПОДВЕРЖЕНЫ КОРРОЗИИ. МАТЕРИАЛОВ ДЛЯ РЕМОНТА НЕТ. ПРИВЕТ ОТ ЗАНДЕРА. КРЕНКЕЛЬ». [И.А.Зандер - ст.механик экспл. Г.Седова на «Св.Фока». Умер от цинги весной 1914 г. в бухте Тихой, на берегу которой и был похоронен.] К счастью, в конце августа ледовая обстановка коренным образом изменилась и 1 сентября к острову подошёл «Сибиряков» с новой сменой полярников на борту.

22 марта 1937 г. из Москвы был дан старт первой советской высокосиротной воздушной экспедиции «Север-1» под общим руководством Отто Юльевича Шмидта. На о. Рудольфа вылетело 43 чел. её основного состава и около пяти тонн имущества на пяти самолётах: четырех тяжёлых Туполовских ТБ-3 (АНТ-6), основной - борт. номер «СССР-Н-170» (командир - Герой Советского Союза М. В. Водопьянов, позывной бортовой радиостанции - RW) и экипажи: Героя Советского Союза В. С. Молокова (который в 1934 г. на своём самолёте вывез 39 членов экипажа), А. Д. Алексеева (в 1928 году вместе с Б. Г. Чухновским обнаружил лагерь потерпевшего катастрофу дирижабля «Италия») и дальневосточца И. П. Мазурука, а также двухместный разведывательный самолёт Поликарпова Р-5 (борт. номер «СССР-Р-166», командир экипажа - П. Г. Головин).

На ТБ-3 были установлены: КВ-СВ телеграфно-телефонный передатчик мощностью 150 Вт, супергетеродинный приёмник (весом около 3 кг), мощный СВ аварийный передатчик на фиксированные частоты (600 и 625 м). Для работы с землей, самолёт комплектовался бензоагрегатом и небольшой мачтой с антенной.

На аэродром базового лагеря экспедиции (на о. Рудольфа) были перегнаны и вспомогательные самолёты: одномоторный Р-5 (командир - Л.Г.Крузе) и «тихоход» У-2 («По-2», пилот - Я.Д.Мошковский), которые периодически вылетали на разведку погоды. Основным радистом базового лагеря был В.Ф.Богданов.

Высадке экспедиции «СП» предшествовал разведывательный полёт экипажа самолёта П. Г. Головина (бортовой номер «СССР-Н-171», радист - Н. Н. Стромилов), который впервые среди советских лётчиков (в 16:23 5 мая 1937 г.) пролетел над Северным полюсом.

Экспедиция «СП» способствовала успешным перелётам самолетов АНТ-25 через Северный полюс из СССР (Москва) в США - радиостанция UPOL была постоянно с ними на связи при их про-

лёте над северными широтами: 19 июня 1937 г. - экипаж Героя Советского Союза В. П. Чкалова, а в 02:05 13 июля - экипаж Героя Советского Союза М. М. Громова.

В августе 1937 г. была предпринята ещё одна попытка перелёта через Северный полюс в США. 12 августа из Подмосковья стартовал тяжёлый самолёт (борт. номер «СССР-Н-209») с экипажем 6 чел. во главе с Героем Советского Союза С. А. Ляпидевским. О перелете полюса в тяжёлых метеорологических условиях экипаж сообщил в 13:45 радиограммой N19, а в 17:23 13 августа связь с самолётом прервалась. Э. Т. Кренкель почти двое суток ни на минуту не отходил от радиостанции UPOL, пытаясь услышать в эфире позывной самолёта. Поисками, вплоть до октября, занимались как полярные лётчики нескольких стран, так и многие радисты береговых служб (вкл. и радиолюбителей-коротковолнников).

Члены экспедиции, совершив девятисоткилометровый «прыжок», были доставлены самолётом М.В.Водопьянова на льдину вблизи Северного географического полюса. 21 мая начала работать первая дрейфующая станция «Северный полюс» («СП»). [Примечание: С 1948 г. она получила статус как «СП-1», когда было принято решение об организации экспедиции «СП-2».]

24 мая на «СП» часть груза доставлена экипажем самолёта В.С.Молокова.

Большую помощь в развертывании радиостанции и проведении первых радиосвязей оказали бортрадисты экипажей самолётов: Водопьянова - челюскинец С.И.Иванов (между собой лётчики его называли не иначе, как Симочка) и Молокова - Н.Н.Стромилов (U1CR), который за свою фигуру получил прозвище «Дон-Кихот».

В эфире появился позывной UPOL, работа которого велась на аппаратуре «Дрейф», которая была изготовлена ОРЛ

и доставлена Н. Стромиловым (U1CR) сначала на о.Рудольфа, а затем - и на «СП».

[Справка: Основной передатчик к-та «Дрейф» (2 шт.) - двухкаскадный, телеграфный (3Г на КВ стабилизирован кварцем); вых.мощность - 20 Вт; диапазоны: 20-30, 40-60, 560-610 м; питание: накал - от железо-никелиевых аккумуляторов, анод - от умформера РМ-2, который имел в качестве резерва ручной или ножной привод.

Усилитель мощности - 50-80 Вт (в зависимости от диапазона), питание: накал - от железо-никелиевых аккумуляторов, анод - от двухколлекторного умформера РМ-1 (от его низковольтного коллектора могли подзаряжаться аккумуляторы), который был спарен с бензоагрегатом В-3, имеющим воздушное охлаждение.

Основной приёмник - 1-В-1 (диапазон 19-20000 м; питание от аккумуляторных батарей).

Антenna - Г-образная («канатик»; горизонтальная часть - 55 м, снижение - 15 м; высота подвеса - 8,5 м, на двух дюралевых мачтах).

Резервная радиостанция «Резерв» - передатчик (однокаскадный, телеграфный, фиксированная волна - 600 м, вых. мощность 20 Вт) и приёмник 0-В-1.

Разрабатывали и изготавливали «Дрейф»: главный инженер проекта - Владимир Леонидович Добро-жанский (U1AB; ранее: 85RA, EU3AJ); разработчики - Фёдор Абрамович Гаухман (U1BP; ранее - EU3DE), Андрей Ковалёв и Николай Иванович Аухтун; конструкторы - Мария Забелина, Тося Шеремет и Алексей Ражев; технологии - Евгений Леонидович Иванов (U1BH; ранее - EU3GL) и Павел Товпенец; механики - Анатолий Киселёв, Алексей Кирсанов и Александр Захаров; монтажник - Виктор Дзерванский.

В ОРЛ над «Дрейфом» работали и другие коротковолновики: Дмитрий П.



## РАДИОИСТОРИЯ

Аралов (U1AH, ранее - EU3FD) и Борис Григорьевич Харитонович (U1AK; ранее - EU3ED; после ВОВ погиб в авиакатастрофе в Заполярье).

Основной энергетический агрегат - «ветряк» (конструктор - харьковский инженер С.Б.Перли); динамомашина мощностью 200 Вт при вых. напряжении 15 В), который также был изготовлен в ОРЛ.]

25 июня на любительских диапазонах появился позывной UPOL (мощность передатчика была 20 Вт, приёмник - 1-V-1, аккумуляторы периодически подзаряжалось от «ветряка») и первое с ним QSO провёл 25 июня LA1M из Олезнунда. 29 июня были проведены QSOs с PA0OAZ, G8IZ и с исландской ЛРС, а к ночи - очень для Кренкеля долгожданные QSOs с советскими коротковолновиками. Первыми из них «прорвались» ленинградцы - Василий С. Салтыков (U1AD) и Александр Фёдорович Камалягин (U1AP, exEU3EB, позже: UH8AF, UA4IF), а затем американец - W2CUS. 4 июля его корреспондентом стал коротковолновик из Чехии, а 6 июля - москвич В. Н. Ветчинкин (U3CY) и англичанин - G6QN. 29 июня были QSOs с оператором по имени Тролез из Гавайских островов - KN6 (31 июля - второе QSO) и коротковолновиком из Южной Австралии, 22 октября с англичанином - G5MY, 4 ноября - с французом, а 5 ноября в течении двух часов проводил своеобразный «круглый стол» с одиннадцатью ЛРС США (несколько из них были расположены в Гудзоновом заливе). Были QSOs и ЛРС Германии, Новой Зеландии, Аляски и Канады. Всего было проведено около 600 QSOs и наблюдений за ЛРС. Такое, относительно небольшое, количество QSOs объясняется несколькими объективными причинами: экстремальные условия экспедиции, большая загруженность Э.Кренкеля по основной работе радиостанции и постоянные проблемы с подзарядкой аккумуляторов, исполнение им обязанностей и повара экспедиции, а

главное - малая мощность его передатчика и оснащённость основной массы коротковолновиков того периода (на что он сам сетовал).

В январе 1938 г. начинается подготовка мероприятий по снятию папанинцев со льдины. 22 января к кромке льда в Гренландском море (в 80 милях от дрейфующей станции) подходит небольшое промысловое судно «Мурманец». 3 февраля из Мурманска в район дрейфующей зимовки выходит ледокольный транспорт «Таймыр», а 7 февраля - ледокольный пароход «Мурман». К сожалению, не обошлось без катастрофы: в районе станции Белое (59 км от Кандалакши) врезался в сопку и взорвался дирижабль «СССР-В-6», летевший в помощь «Таймыру», который попал в сильнейший шторм в Балтийском море, получил повреждения и потерял связь со льдиной. Погибло 13 (из 19) членов экипажа. К «Таймыру» направляются и возвращающиеся с учёных три подводные лодки Балтийского флота (Д-3,Щ-402 и 1Д-404). 9 февраля из Кронштадта берёт курс на север старейшина ледокольного флота «Ермак». На всех ледоколах имеются лёгкие самолёты. «Под парами» в Мурманске ожидает вылета и воздушная спасательная экспедиция, которую возглавляет И. Т. Спирин. В её составе два двухмоторных скоростных самолёта ЦКБ-30 (конструктор С. В. Ильюшин). Бортрадист флагмана - Н. Н. Стромилов.

Экспедиция, дрейф которой на льдине проходил 274 дня, была снята 19 февраля ледоколами «Мурман» и «Таймыр».

В 1938 г. Э. Т. Кренкель за участие в 275-дневном дрейфе на льдине был удостоен звания Героя Советского Союза.

Во время Великой Отечественной войны, уже будучи зам. нач. ГУСМП (его возглавлял И. Д. Папанин) и членом его коллегии, Э. Т. Кренкель из Красноярска руководит работой всех ПСТ СССР (в Главсевморпути он продолжал работать и в первые послевоенные годы).

Следует отметить, что в годы войны многие радисты старались быть похожими на Эрнста Теодоровича. Вспоминая партизанских радиостанций Павла Тихонова и Валентина Обуховского, известный псковский партизан и подпольщик В. А. Акатов называл их не иначе как «Эти «два Кренкеля»....». А партизанский радиостанция, москвич Л. Д. Миронов вспоминал: «Кренкеля мы не раз, бывало, вспоминали добрым словом в тылу врага... . Выдержал же Кренкель на льдине. И это было примером для нас... ».

9 марта 1946 г. принимается соответствующее Постановление Совета Министров СССР, которое открывает эфир для радиолюбителей. Э. Кренкель первым оформляет лицензию (UA3AA/RAEM) и некоторое время один представляет СССР в послевоенном эфире.

В апреле 1946 вышел первый послевоенный номер журнала «РАДИО», в котором он пишет: «Ну до чего же хорошо, после долгого перерыва, снова окунуться в эфир! Опять, затаив дыхание, скороед угадываешь, чем слышишь позывные эфирических DX... Жаль, что супер имеет восемь, а не восемьдесят ламп. Жаль, что мощность передатчика не должна превышать 100 ватт. Эх! Трахнуть бы киловаттом на двадцати метрах и за одну ночь положить на обе лопатки все материи. Как досадно, что кроме коротких волн, на свете существуют трамваи, лифты, электрические звонки, рентгеновские установки и прочие египетские казни коротковолнников».

12 мая RAEM провёл свое первое послевоенное QSO с советской ЛРС - UA3DA. У её оператора - Константина Александровича Шульгина данная радиосвязь зафиксирована в аппаратном журнале под номером 17.

28 октября 1946 г. создаётся Центральный радиоклуб СССР и он становится первым председателем его Совета.

Начиная со второй половины года, в течение многих лет, он был бессменным QSL-менеджером некоторых полярных ЛРС (UA0KAA, UA1KED и др.).

В 1948 г. Эрнст Теодорович попал в немилость к Маленкову (был незаконно обвинён в космополитизме - т.н. идеологии «мирового гражданства», который стал «модной» статьёй для репрессий в СССР тех лет) и оставил работу в ГУСМП... .

В 1951 г. он был назначен начальником небольшой лаборатории (!) автоматических радиометеорологических станций Научно-исследовательского института гидрометприборостроения (НИИ ГМП). 20 октября 1953 г. ЦК ДОСААФ СССР ввел звания судей по радиолюбительскому спорту (от третьей категории до Всесоюзной) и Э. Т. Кренкелю одному из первых было присвоено звание «Судья Всесоюзной категории по радиолюбительскому спорту».

22 декабря 1959 г. была создана Федерация радиоспорта (ФРС) СССР и Э. Т. Кренкель избирается её первым председателем (возглавлял ФРС до своей кончины).

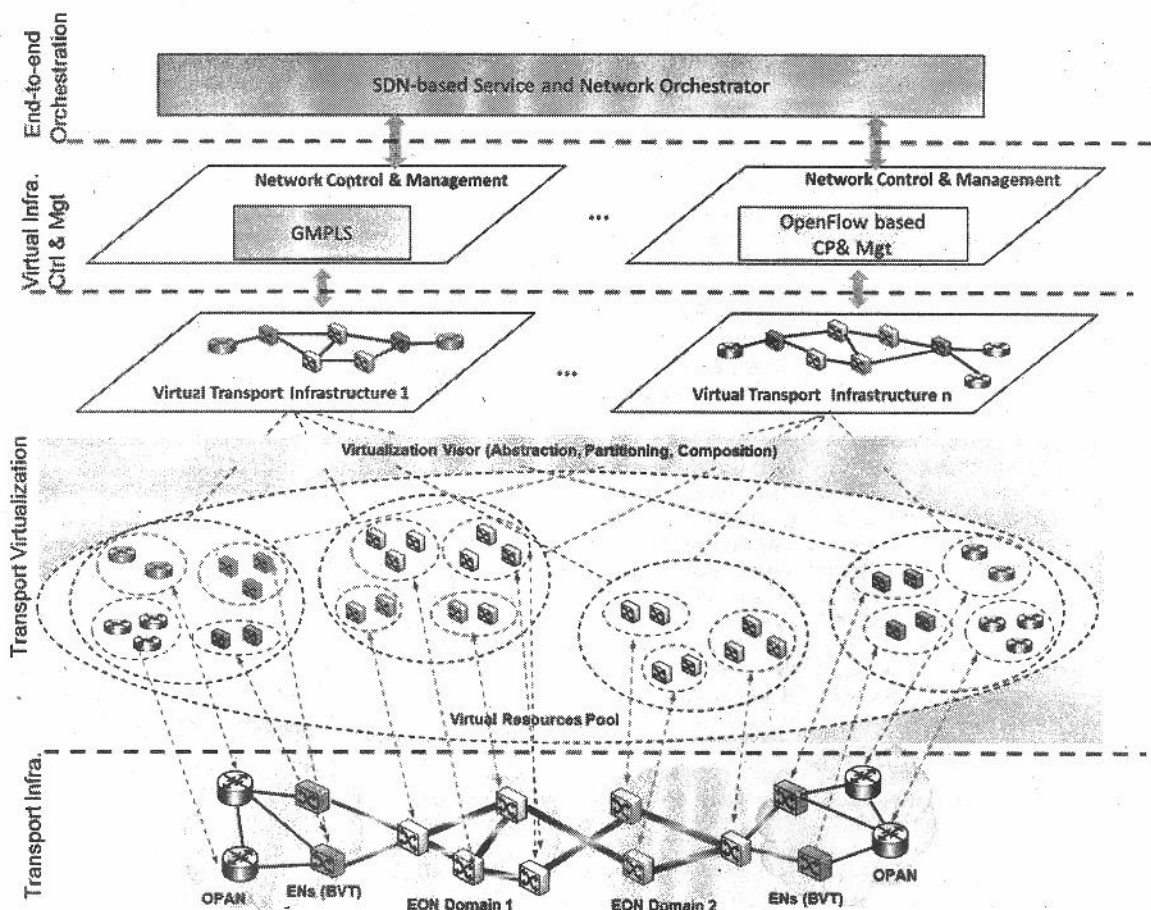


# НОВАЯ ТЕХНИКА И ТЕХНОЛОГИЯ

**STRAUSS**

Европа и Япония объявили о шести совместных проектах, одним из которых является проект **STRAUSS**, посвященный разработке мультидоменной оптоволоконной инфраструктуры связи, которая позволит работать на

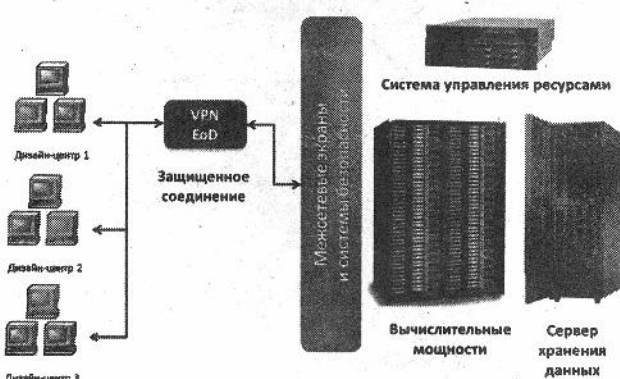
активные шаги по развитию европейской инфраструктуры: в мае она объявила о намерении значительно увеличить объемы выпуска в регионе полупроводниковых компонентов. Помимо этого, Европа и Япония планируют сотрудничество по следующим направлениям: более эффективная эксплуатация радиочастот; новые механизмы защиты персональных данных



скорости до 100 Гб/с (<http://www.ict-strauss.eu/en/press-corner/latest-news/88-strauss-factsheet-available.html>). Об этом сообщается на сайте Еврокомиссии. В общей сложности объем инвестиций во все шесть проектов составит 18 млн евро. «Одним из проектов является строительство сетей, которые будут в среднем в 5 тыс. раз быстрее по сравнению с современными сетями, существующими в Европе (обеспечивающими скорость передачи данных до 19,7 Мб/с)», – содержится в официальном сообщении. Речь идет не о подводных кабелях, которые позволяют передавать данные даже на больших скоростях, а о сетях, максимально приближенных к обычным домохозяйствам. В частности, работа будет посвящена созданию недорогих, быстрых и эффективных с точки зрения электропитания коммутаторов, программно-ориентированных оптических передатчиков, и систем управления сетями. Проект **STRAUSS** имеет важное значение для развития европейской экономики, считают регуляторы: с 2012 по 2013 гг. объем передаваемых по сетям данных увеличился вдвое, а к 2018 г. возрастет еще в 18 раз. «Для передачи таких объемов потребуются более быстрые сети», – содержится в заявлении. На сегодняшний день некоторые провайдеры предлагают скорость домашнего подключения до 1 Гб/с (столько же, сколько, например, предлагает компания Google в США в рамках проекта Google Fiber). Потребности в скорости 100 Гб/с пока не существует, однако речь идет о потребностях, которые возникнут со временем, и Европа планирует подготовиться к ним. «В будущем интернет не должен знать границ. По крайней мере, границ, которые стали результатом нашей медлительности и неподготовленности», – заявила вице-президент Еврокомиссии Нели Кроэс (Neelie Kroes). Кроэс в последнее время предприни-

в таких областях, как медицина; разработка технологий «умного» управления электрическими сетями и др. (<http://www.russianelectronics.ru/leader-r/news/51636/doc/63921/>).

**Открылось российское «облако» для проектирования электроники.** Компания ITFY заявила о готовности своей облачной платформы для двухмерного проектирования электроники. Арендовать такое ПО через сайт сейчас нельзя, а чтобы получить услугу потенциальным заказчикам необходимо связаться с компанией. На платформе ITFY развернуты системы автоматизированного проектирования (САПР) трех вендоров: IBM, Synopsys и Mentor Graphics. Физически это ПО установлено на мощностях, арендованных ITFY в московском data-центре IBM на Варшавском шоссе. Амери-

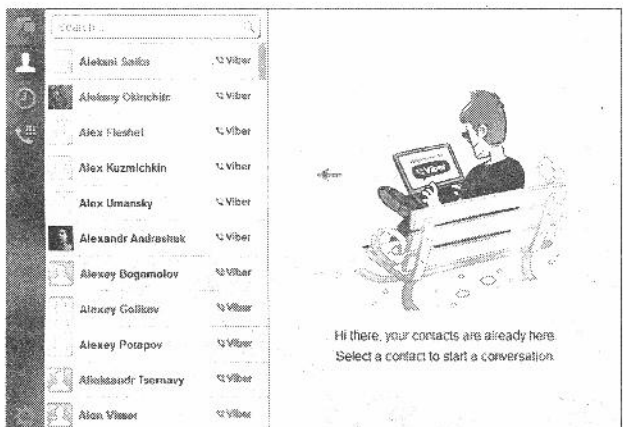


## НОВАЯ ТЕХНИКА И ТЕХНОЛОГИЯ

канская компания является основным партнером при создании облачной САПР. В качестве ПО промежуточного слоя для предоставления систем проектирования заказчикам используется IBM Platform Cluster Manager. Что касается ширины каналов передачи данных, то в ITFY заявляют о проведенном тестировании в диапазоне 1-5 Мб/с и устойчивой одновременной работе 5 пользователей при максимальной пропускной способности. Вузы, с которых не требуют плату за пользование приложениями, могут начинать работу с ними уже сейчас. В случае коммерческих дизайн-центров ситуация сложнее. Поскольку биллинговая система пока не готова, то таким заказчикам доступна только САПР IBM, оплата за которую проходит попроектно. Доступ к Synopsis и Mentor Graphics они смогут получить позже, после выбора схемы оплаты (постоянная, помесячная и т.п.) и настройки биллинга. После авторизации заказчик получает для проектирования виртуальную машину с ОС Linux. Также ITFY готова сдавать ПО в аренду на собственные мощности заказчиков, опасающихся отдавать чертежи на чужие сервера. Компания позиционирует себя в качестве центра разработки чипов, т.к. помимо аренды САПР ITFY планирует оказывать услуги непосредственно по проектированию (<http://www.russianelectronics.ru/leader-r/news/51636/doc/63514/>, <http://www.itfy.com/ru/demo/>).

Если вы стали замечать, что Skype

даже в фоновом режиме изрядно тормозит ваш компьютер (легко убедиться, что он при этом «сыедает» от 110 до 160 МБ ОЗУ, т.е. в 5-6 раз больше, чем также постоянно запущенный Windows Explorer.exe или, скажем, антивирус Avast), и вам надоели его навязчивые рекламные баннеры, то самое время обратить внимание на появившегося недавно альтернативного конкурента - Viber для ПК под Windows/



Mac/Linux (на русском произносится как Вайбер; продукт Viber Media Inc.). Совпадая по функциональности (бесплатные видеозвонки на ПК и зарегистрированные в Viber мобильные телефоны, обмен текстовыми сообщениями, фотографиями, платные, но чуть дешевле, чем в Skype, звонки на не-Viber мобильные и стационарные телефоны через ViberOut и т.д.), он свободен от рекламы, гораздо менее прокорлив в части ресурсов ПК, да и инсталлятор Windows версии имеет размер всего 1,3 МБ против 33 МБ у Skype. При инсталляции вам не придется запоминать логины и пароли - аккаунт привязывается к номеру вашего мобильного телефона, на который высылается код активации. Даже раньше, чем для ПК под Windows/Mac/Linux, появились версии Viber для смартфонов под Android/iOS/Windows Phone/BlackBerry, причем предусмотрена возможность как синхронизации данных ваших Viber аккаунтов на ПК и смартфоне, так и переадресовки (<http://viber.com>).

Бывшие спецназовцы США создают электронную почту, принципиально свободную от «прослушки» (<http://www.russianelectronics.ru/leader-r/news/51636/doc/65021/>). Компания Silent Circle и основатель Lavabit Ладар Левисон (Ladar Levison)

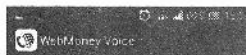


объявили о создании альянса Dark Mail (<http://darkmail.info>), который разрабатывает сервис электронной почты, сообщения которого нельзя будет перехватить. Анонс был сделан на конференции Inbox Love в Маунтин-Бью, Калифорния. Согласно официальному сайту, миссией организаторов является создание уникальных сквозного протокола шифрования и архитектуры, на основе которых будет построена электронная почта нового поколения («Email 3.0»), полностью защищенная от перехвата. «Нашей целью является создание открытых протоколов и архитектуры, которые позволят другим внедрить новую технологию для решения проблем, связанных с прослушкой, наличием лазеек и угроз любого типа», - сообщается на сайте. Почтовый сервис Dark Mail будет выглядеть как любой другой - с папками входящих, отправленных сообщений и черновиков. Разница же с существующими сервисами будет заключаться в том, что вместо хранения писем на серверах, сервис будет автоматически устанавливать прямые соединения между пользователями (P2P-соединения). Каждое соединение будет зашифровано от начала до конца, включая шифрование не только содержимого писем, но и метаданных (информации об отправителе, получателе и т.п.). Ключи к зашифрованным сообщениям будут уничтожаться сразу после передачи. В основу будет положен протокол обмена мгновенными сообщениями SCIMP, который использует в своих приложениях Silent Circle. В случае, если данную технологию внедрят все почтовые провайдеры в мире, перехват сообщений станет практически невозможным, а для АНБ и других спецслужб в жизнь будет воплощен, вероятно, их самый страшный кошмар, пишет State. В настоящее время пользователям также доступны технологии шифрования электронных писем, например PGP, но они позволяют кодировать только тело письма и не позволяют шифровать метаданные. Кроме того, для использования таких технологий нужно обладать определенными навыками. Приложение же Dark Mail будет простым в освоении. Кроме того, оно позволит отправлять почту на аккаунты Gmail и Hotmail, но будут получать предупреждения о том, что такое сообщение может быть перехвачено. Приложение планируется сначала выпустить для iPhone и Android, а затем - для Windows и Mac. Как заявил генеральный директор Silent Circle Майк Янке (Mike Janke), бывший американский снайпер, они рассчитывают, что через 3-4 года пересыпало сообщения через Dark Mail будут большинство людей в мире, пользующихся интернетом. Он также считает, что такие компании, как Google и Microsoft, вряд ли согласятся поддерживать такую технологию, чтобы не иметь проблем с государством. Добавим, что и Google, и Microsoft «читают» тексты писем для того, чтобы отображать рядом рекламную информацию. Пользователям это крайне не нравится. В сентябре суд в Калифорнии принял к рассмотрению коллективный иск к Google, которую обвиняют в незаконном чтении писем. В самой компании говорят, что таким образом обеспечивается работоспособность сервиса. Компания Silent Circle - поставщик технологий шифрования сообщений и голосовой связи для iPhone и Android. Была основана ветеранами спецназа ВМС США и экспертами криптографии из Силиконовой долины. В свою очередь, Lavabit - провайдер почтового сервиса, которым пользовался бывший сотрудник АНБ Эдвард Сноуден (Edward Snowden). После того как Сноуден раскрыл информацию о деятельности американских спецслужб, этот почтовый сервис был закрыт.

WebMoney выпустила приложение WebMoney Voice, позволяющее проводить конфиденциальные телефонные переговоры. WebMoney Voice встраивается в мобильное приложение для управления электронными кошельками WebMoney Keeper Mobile и добавляет в него возможность совершать защищенные звонки. WebMoney Voice кодирует данные с использованием специальных алгоритмов, стойких к взлому, и почти исключает возможность перехвата и прослушивания переговоров третьими лицами в любых сетях передачи данных. При этом во время конфиденциального звонка качество звучания



# НОВАЯ ТЕХНИКА И ТЕХНОЛОГИЯ

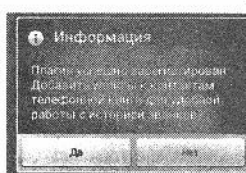


WebMoney Voice 1.0.0

О приложениях

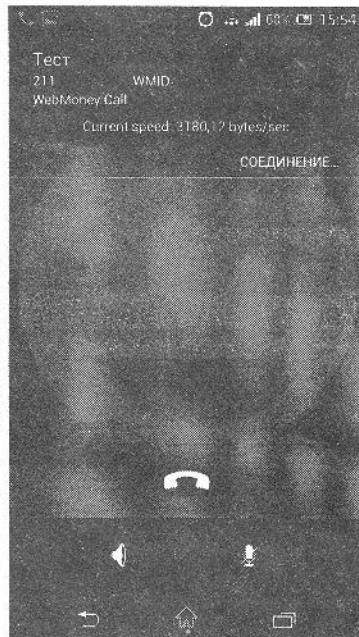
WebMoney Voice - это голосовой мессенджер (проприетарный для устройств Консорциума WebMoney) необходимый для аудиоизменения в родительской программе.

Верифицировать



голоса собеседника не теряется. За пользование WebMoney Voice системой WebMoney Transfer плата не взимается. В настоящее время приложение доступно в Google Play для Android версии 3.0 и выше (<https://play.google.com/store/apps/details?id=ru.webmoney.voice>). Планируется выход версий и для других мобильных платформ (<http://owebmoney.ru/inform/webmoney-voice/>).

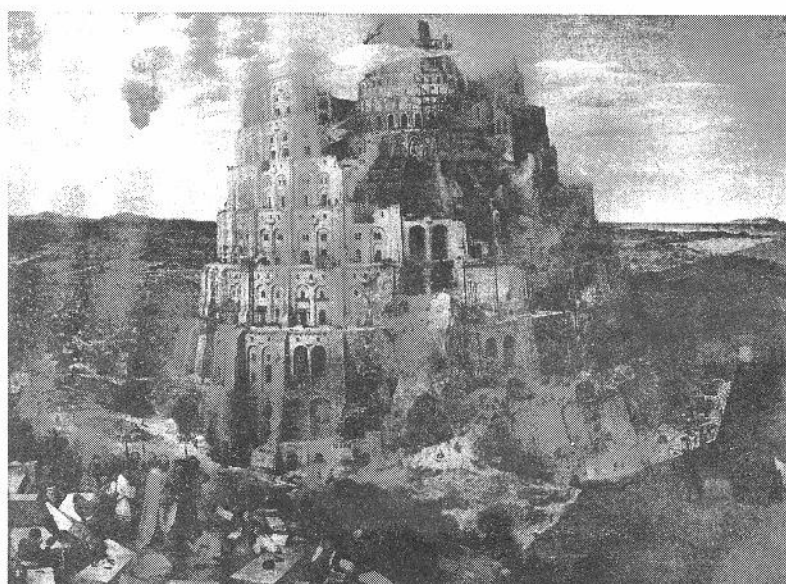
**PROMT** Компания PROMT завершила работы по обновлению сайта <http://www.translate.ru> – одного из популярных сервисов по онлайн-переводу. В настоящий момент ресурс поддерживает 28 языковых пар для 7 европейских языков, при этом его услугами ежемесячно пользуются до 7 млн. человек. На модернизированном сайте повышенено качество перевода. Кроме того, улучшен дизайн, обеспечивающий получение большего объема актуальной информации в удобном формате. В частности, добавлен раздел по использованию API, который будет полезен интеграторам и разработчикам веб-сервисов. А на отдельной странице теперь собраны все мобильные приложения для платформ iOS и Android. Появилась и полноценная мобильная версия сервиса (<http://m.online-translator.com>), на которую автоматически перенаправляются все пользователи, заходящие с мобильных устройств. Обновления коснулись всех международных версий сервиса – англий-



ской, немецкой, французской, испанской и португальской. Таким образом, не только русскоязычные посетители, но и пользователи всего мира получат бесплатный качественный перевод по технологии PROMT в удобной современной оболочке. А за 299 рублей PROMT предлагает **переводчик для телефонов и планшетов под Android**, который работает без подключения к интернету. На сегодняшний день это единственный 100 % оффлайн-переводчик для мобильных, в котором перевод не отличается по качеству от переводчиков на ПК. Вам не нужно искать подключение к интернету, не нужно ничего доплачивать за дополнительный объем. Это приложение, с которым вы чувствуете себя уверенно в за границей, можете общаться или учить язык, где и когда это вам удобно. Возможности приложения: перевод без интернета текстов любого объема, перевод «на лету»: достаточно выделить слово или текст в любом приложении и скопировать в буфер обмена, высокая скорость, разговорник, содержащий необходимые для поездок фразы с произношением носителем языка, голосовой ввод и произношение, история переводов. Приложение занимает немного места: всего от 60 до 100 Мбайт (в зависимости от устройства) вместе с базами для перевода текстов ([http://blog.translate.ru/2013/12/promt\\_offline/](http://blog.translate.ru/2013/12/promt_offline/)).

Десятки несовместимых форматов файлов одного и того же назначения сегодня являются своеобразными виртуальными «Вавилонскими башнями», препятствующими взаимопониманию между пользователями разных ПК или гаджетов (мы не смогли удержаться от того, чтобы показать замечатель-

**lunaweb**



Переводчик онлайн и словарь ...

http://www.translate.ru

Занести в избранное | Вход

Translate.Ru

Первый онлайн-переводчик рунета

Образование: Учебник | Справочник | Личная переписка | Техника: Компьютеры | Путешествия | Онлайн-покупки | Прочее: Без темы

Отредактировать языки | Русский | Перевести

In the lower-right part is the Device Description pane, which contains detailed information about the (type cf) device you are trying to find, which includes the following:

1) An brief introduction of the RF characteristics of the device, such as radio frequencies or channels, modulation, transmit rate, etc. of the device.

В нижней правой части стекло Описания Устройства, которое содержит подробную информацию о (типе cf) устройстве, которое Вы пытаетесь найти, который включает следующее:

1) Краткое введение особенностей RF устройства, таких как радиочастоты или каналы, модуляция, передает уровень, и т.д. устройства.

Оформить перевод | Поделиться переводом | Редактировать перевод | Удалить перевод

ную картину «Вавилонская башня» Питера Брейгеля Старшего (1563 г.) – примечание редакции «РХ»). Скажем, новые версии текстового редактора Microsoft Word по умолчанию сохраняют тривильные текстовые файлы в формате с расширением \*.docx, который отказывается открывать более ранние версии этого редактора той же самой Microsoft, работающие только с файлами \*.doc. Еще хуже ситуация с видеофайлами, где кроме дюжины «контейнеров» в виде \*.avi, \*.mkv, \*.flv, \*.mov, ... наличествуют сотни вариантов кодеков аудио/видео с практически неограниченным количеством опций. Беда в том, что для обеспечения «вседоступности» вашего ПК или гаджета на него приходится инсталлировать такое огромное количество сходных программ-драйверов-кодеков-транскодеров, что рано или поздно он начинает раздражать своей «тормознутостью», а то и зависаниями. Постоянно же следить за появлением новых кодеков/драйверов – процедура

## НОВАЯ ТЕХНИКА И ТЕХНОЛОГИЯ

не только довольно «тупая», но и времязатратная, а разрешать их автономную установку просто опасно ввиду риска подхватить шпиона-транслятора. Мюнхенская компания **Lunaweb Ltd.** предложила «облачный» выход из создавшегося положения - недавно запустила бесплатный сервис **CloudConvert**, бета-версия которого доступна по адресу <http://cloudconvert.org>. На момент написания этого материала поддерживается преобразование между 159 различными форматами файлов в таких подкатегориях как archive, audio, cad, document, ebook, image, presentation, spreadsheet, vector, video. Проиллюстрируем для экономии возможности только двух подразделов - **ebook**:

azw	Amazon Kindle eBook File
azw3	Amazon Kindle
cbc	Comic Book Archive file
cbr	Comic Book Archive file
cbz	Comic Book Archive file
chm	Microsoft Compiled HTML Help
docx	Microsoft Office Open XML
epub	IDPF/EPUB
fb2	FictionBook
html	HTML
htmlz	Zipped HTML file
lit	Microsoft Reader
lrf	Sony media
mobi	Mobipocket eBook
odt	OpenDocument
oeb	Open eBook File
pdb	Palm Media
pdf	Portable Document Format
pml	Palm Markup Language
prc	Mobipocket
rb	Rocket eBook
rtf	Rich Text Format
snb	Shanda Bambook
tcr	Psilion Series 3 eBook File
txt	Text
txtz	TXtZ

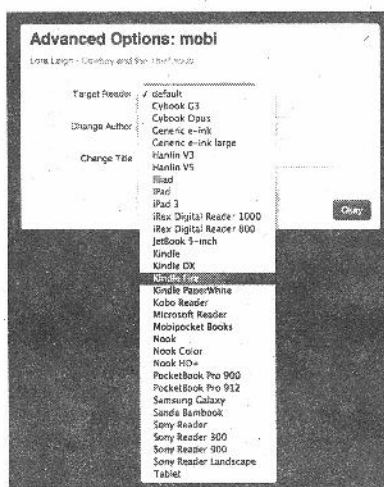
### и video:

3gp	3GP Multimedia File
avi	Audio Video Interleave
cavs	CAVS
dv	Digital Video File
dvr	Microsoft Digital Video Recording
flv	Flash Video
m2ts	Blu-ray BDAV Video File
m4v	MPEG-4 Video File
mkv	Matroska file
mov	Apple QuickTime Movie
mp4	MPEG-4 Part 14
mpeg	Moving Pictures Experts Group
mpg	Moving Pictures Experts Group
mts	AVCHD Video File
mxif	Material Exchange Format
ogg	Ogg Vorbis Compressed Video File
rm	RealMedia file
ts	Video Transport Stream File
vob	Video Object File
webm	WebM Video File
wmv	Windows Media Video
wtv	Windows Recorded TV Show

Как видим, поддерживаются практически все видеоформаты, включая новейшие webm и MPEG-4 Part 14, причем предусмотрена возможность не только переконвертирования расширения файла, но и размеров изображения и битрейта. К сожалению, в самом интересном для специфики нашего журнала инженерном разделе cad есть только Автокадовские \*.dwg и \*.dxf, а программы трассировки печатных плат и схемного анализа (пока?) отсутствуют. Главной «фишкой» **CloudConvert** является то, что на вашем ПК не надо устанавливать никакого дополнительного ПО или кодеков, необходимо лишь более-менее скоростное подключение к интернету. Ваш исходный файл достаточно перетащить мышкой из Проводника Windows на кнопку Select files (CloudConvert), а если у вас есть свой аккаунт на облачных хранилищах Dropbox или Google

Drive, то просто выбрать файл из вашего облачного списка. Далее выберите формат, в который вы хотите преобразовать свой файл (после выбора исходного файла в меню появится кнопка Select Output Format), если необходимо, введите дополнительные характеристики преобразования - Advanced Options (например, для видеофайла flv - видео/аудио кодеки, их битрейты и т.п.).

Наконец, укажите, куда поместить преобразованный файл (оставить на сервере CloudConvert и известить вас на email по окончании преобразования, или сохранить на ваших аккаунтах Dropbox / Google Drive), и жмите кнопку Start Conversion. Все, дальше вы можете заниматься своими делами или понаблюдать онлайн за «столбиками» выполнения трех фаз - загрузки, преобразования, со-



хранения. Отметим, что преобразование выполняется облачным сервером с очень высокой производительностью. В эксперименте, проведенном редакцией «РХ», видеоролик с FullHD разрешением 1920x1080 и размером файла 96 МБ (известный у видеолюбителей FullHD «тестовый клип на заикание» killa.sample.x264.mkv с предельно высоким битрейтом до 44307 Кб/с - MPEG-4 AVC/H.264 Profile HIGH Level 5.1) был преобразован посредством CloudConvert в avi-файл всего за 15 секунд. Это даже с учетом времени передачи «туда» 35 секунд и приема «обратно» 45 секунд по 100-мегабитному интернет-каналу все равно быстрее (итого около 95 секунд), чем аналогичное автономное преобразование на среднем современном ноутбуке с двухъядерным процессором Intel Pentium Dual Core T2080 программой транскодирования XMedia Recode, занявшее 2 минуты 26 секунд, т.е. в полтора раза больше. Без регистрации допускается до 10 преобразований в день файлов размером не более 100 МБ и временем хранения после преобразования 2 часа. После бесплатной регистрации возможности расширяются до 25 преобразований, 1024 МБ и 12 часов. Гарантируется, что ваши файлы будут доступны только вам и будут удалены с сервера через 2 или 12 часов после окончания преобразования.

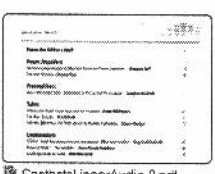
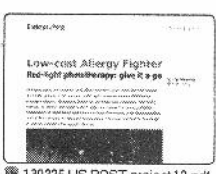
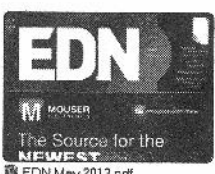
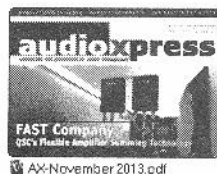
**SumatraPDF** в июле 2013 г. на новом витке развития пережила реинкарнацию под названием **PDFMaster**. Напомним, что SumatraPDF (см. «РХ» №4/2011, с. 6) - первая универсальная программа-«гляделка», умеющая просматривать как pdf, так и djvu файлы, ставшие стандартом



# НОВАЯ ТЕХНИКА И ТЕХНОЛОГИЯ



## Часто используемые документы



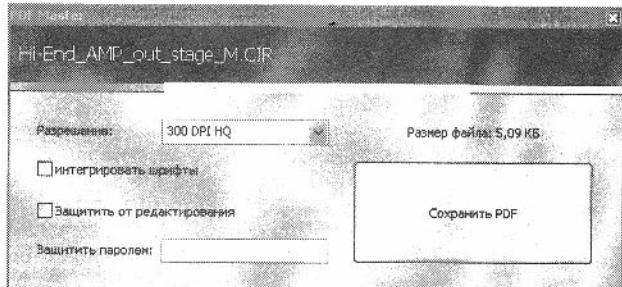
[Открыть документ](#)

ми электронных публикаций (djvu в основном для сканированных копий бумажных оригиналов). PDFMaster, как и предшественница, бесплатна, работает с PDF файлами существенно быстрее, чем штатный Adobe Acrobat Reader, умеет открывать DjVu файлы, а также файлы наиболее распространенных форматов электронных книг CHM, EPUB и FB2. Высокая производительность дополнена удобством – выбранные страницы документа можно добавить в меню Избранное с тем, чтобы в дальнейшем обеспечить доступ одним кликом, а при открытии программы на дисплее сразу возникают иконки первых страниц ранее открытых документов, которые также можно открыть одним кликом, не заходя в файловое меню. Версия 1.3 от 8 ноября 2013 г. дополнена новым модулем PDF принтер для печати любых документов из любой программы

ности, которые устраняют уязвимости в ядре, позволяющие злоумышленнику попасть в систему в обход защиты и без ведома пользователя. Таким образом, компьютеры с Windows XP, выходящие в сеть, будут находиться под постоянной неустранимой угрозой. Плюс, эта ОС перестанет удовлетворять требованиям сертификации по безопасности. Потеря совместимости. Уже сейчас под Windows XP нет драйверов для многих современных устройств, включая иногда даже клавиатуры и мыши. После окончания поддержки логично ожидать, что вообще все производители ПО и оборудования начнут отказываться от поддержки этой ОС. Прекращение поддержки пользователей.

**Microsoft Windows**  
Hardware Quality Labs

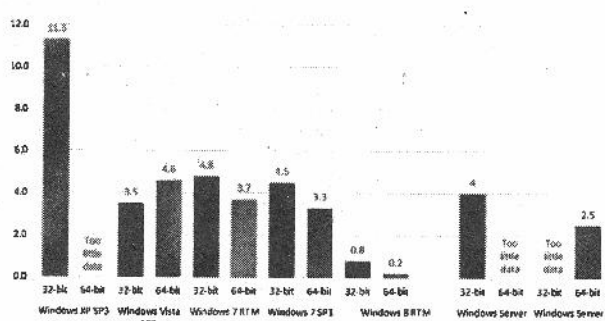
Помимо выпуска обновлений, прекратится любая поддержка пользователей Windows XP, и все возникающие проблемы с ее работой придется решать самостоятельно. Стоимость поддержки. Поддерживать старый компьютер с Windows XP становится все дороже. Представители Microsoft ссылались на специально проведенное исследование компании IDC, в соответствии с которым поддержание работоспособности компьютера с Windows XP за пятый год обходится вдвое дороже, чем за второй (324 против 177 долларов). Общие затраты, включая замену выходящих из строя частей, затраты времени специалиста и пр., тоже существенно выше. Угрозы информационной безопасности. Однако основной проблемой, которая встанет перед пользователями, остающимися на Windows XP, является безопасность, а точнее – ее отсутствие. В те времена, когда Windows XP выходила на рынок, отношение к безопасности системы было совершенно другим, и многое из того, что сегодня кажется нам естественным и обязательным требо-



на вашем ПК в pdf-файл: после инсталляции PDFMaster в списке принтеров появляется виртуальный PDFMaster Принтер и достаточно выбрать его в меню печати, например, редактора Word, чтобы ваш документ был сохранен в виде pdf-файла. При этом вам представляются возможности выбрать разрешение графики, интегрировать шрифты, а также защитить файл от редактирования (изменения) паролем. До нажатия кнопки Сохранить PDF в правом верхнем углу меню сохранения будетображен прогнозируемый размер файла. Скачать инсталлятор (размер 32,6 МБ, под Windows 8 / 7 / XP / Vista) без каких-либо регистраций можно по адресу [http://download.pdfmaster.ru/pdfmaster\\_setup.exe](http://download.pdfmaster.ru/pdfmaster_setup.exe)

Как ни печально, но корпорация Microsoft напоминает, что 8 апреля 2014 года полностью завершится поддержка операционной системы Microsoft Windows XP и офисного пакета Microsoft Office 2003. Это влечет за собой следующие последствия. Прекращение выпуска обновлений. Развитие Windows XP остановилось уже довольно давно, в систему не добавляют новые возможности и поддержку новых технологий. Сейчас же перестанут выходить и обновления безопас-

## Устойчивость к заражению



## НОВАЯ ТЕХНИКА И ТЕХНОЛОГИЯ

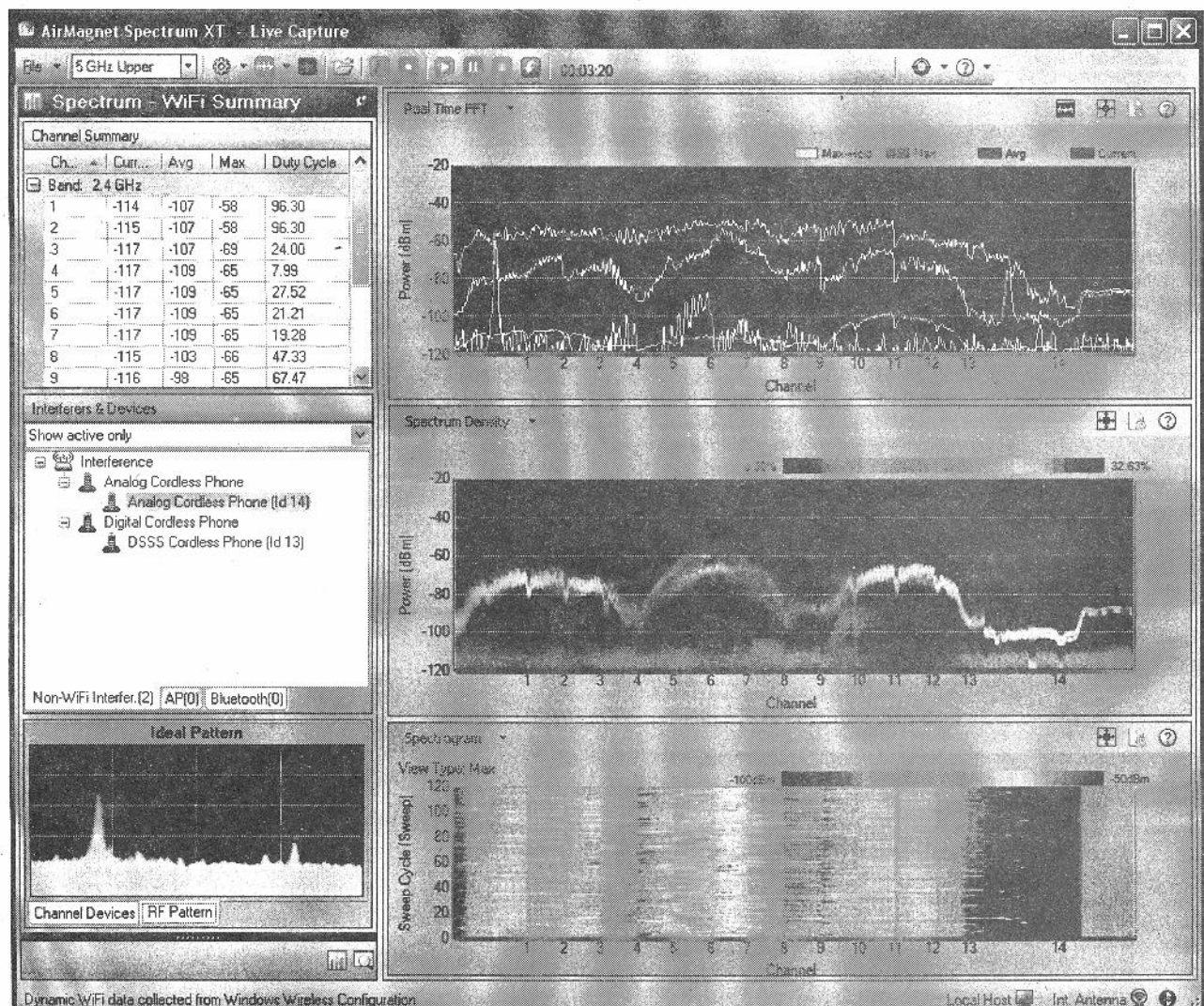
ванием, тогда просто не приходило разработчикам в голову. Даже отношение к уязвимостям системы было гораздо более легкомысленным, чем сейчас. Для примера, ведущая аналитическая компания Secunia, которая специализируется на анализе уязвимостей ПО и предоставлении консультаций по их устранению и защите, начала собирать информацию о них только с 2003 года. Во многом это объясняется тем, что всемирная сеть интернет занимала тогда совсем не то положение, что сейчас. Она была относительно небольшой, имела низкую скорость связи и предоставляла пользователям довольно ограниченный набор возможностей. А сценарии работы были гораздо проще и ограниченнее. Устойчивость к заражению через интернет у Windows 7 в 2 с лишним раза, а Windows 8 - на порядок выше, чем у Windows XP (<http://www.ixbt.com/soft/xp-endsupport.shtml>).

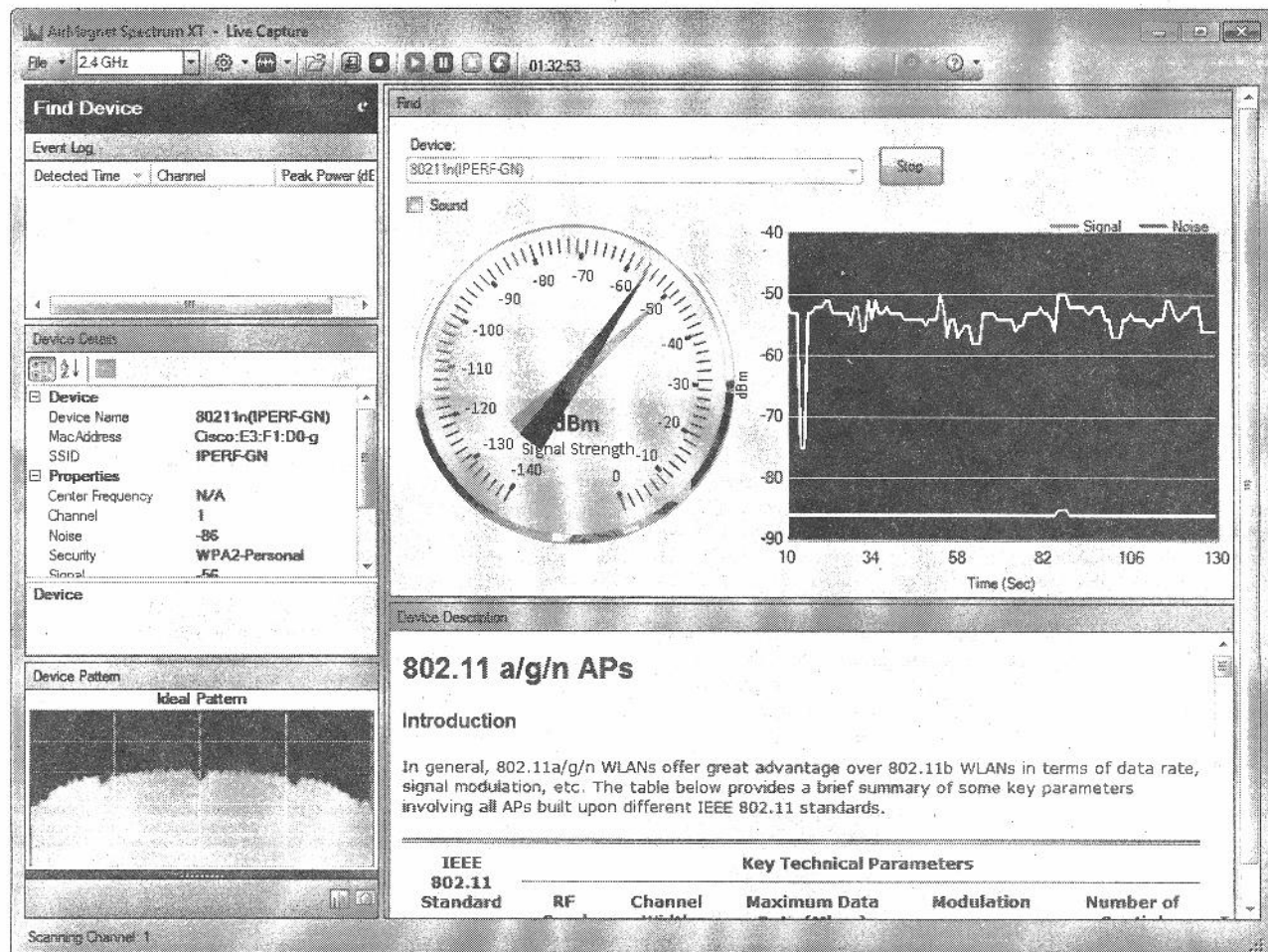


AirMagnet, Inc. (подразделение корпорации Fluke Networks) предлагает несколько программных и аппаратно-программных

инструментов анализа, диагностики и проектирования Wi-Fi сетей. AirMagnet Spectrum XT - программа, которая посредством подключенного к ПК или ноутбуку Wi-Fi адаптера (отмечается, что с ней могут работать не все адаптеры, предлагаемые на рынке, но с имеющимися в редакции «РХ» двухдиапазонным D-Link DWA-160 работает на все 100%) сканирует эфир и выводит информацию о всех находящихся в зоне охвата точках доступа и сетевых клиентах. Отличие Spectrum XT от аналогичных программ других разработчиков (например, inSSIDer - см. «РХ» №3/2013, с. 6-8) состоит в том, что помимо улучшенного (не только текущего/среднего значения, но и максимумов/минимумов) отображения спектрограмм диапа-

зы 2,4 ГГц (2,402...2,492 ГГц, каналы 1...14), диапазон 5 ГГц можно отображать в трех расширенных окнах 5 GHz Lower (5,17...5,33 ГГц, каналы 36, 40, 44, 48, 52, 56, 60, 64), 5 GHz Middle (5,49...5,71 ГГц, каналы 100, 104, 108, 112, 116, 120, 124, 128, 132, 136, 140) и 5 GHz Upper (5,735...5,835 ГГц, каналы 149, 153, 157, 161, 165), а если позволяет адаптер, то и в субWi-Fiном диапазоне 4,9 GHz (4,91...4,99 ГГц, на котором в некоторых странах разрешено размещение 184, 188, 192 и 196 каналов Wi-Fi). Фильтрация по основным Wi-Fi ключевым параметрам - имени (SSID), MAC-адресу, используемым каналам, силе сигнала (RSSI), максимальной поддерживаемой скорости, дополнена способностью сортировки по трафику и даже по отношению сигнал/шум. Уникальной является возможность расширений автодиагностики не-Wi-Fi устройств по хранимой в программе базе сигнатур типовых спектров (Interferers & Devices - Auto detect FFT Patterns), причем допускается добавление пользователем сигнатур новых устройств (Device Classification Manager - Add Custom Signature). Заметим, что и сама база встроенных сигнатур довольно впечатляет: кроме Bluetooth, Zigbee, аналоговых и цифровых беспроводных (стационарных, не мобильных) телефонов, игровых контроллеров, детских мониторов, микроволновых печей и т.п. бытовой электроники, имеются сигнатуры даже военных и погодных радаров стандартов UNII-2 (5,25...5,35 ГГц) и UNII-2 extended (5,47...5,725 ГГц) - все шесть типов спецификации FCC, шесть типов спецификации ETSI EN 301 893 V1.5.1, восемь типов спецификации ETSI EN 302 502 V1.2.1 и даже японской спецификации DFS! Наконец, отдельное меню Find Device превращает Spectrum XT в некое подобие приемника «для охоты на Wi-Fi лис». Соответствующий режим включается двойным кликом по соответствующей иконке в нижнем

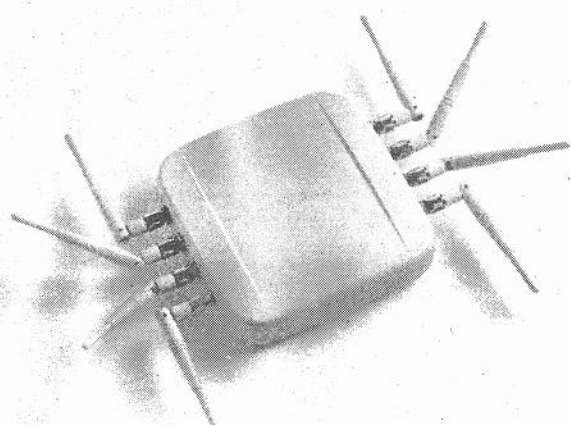


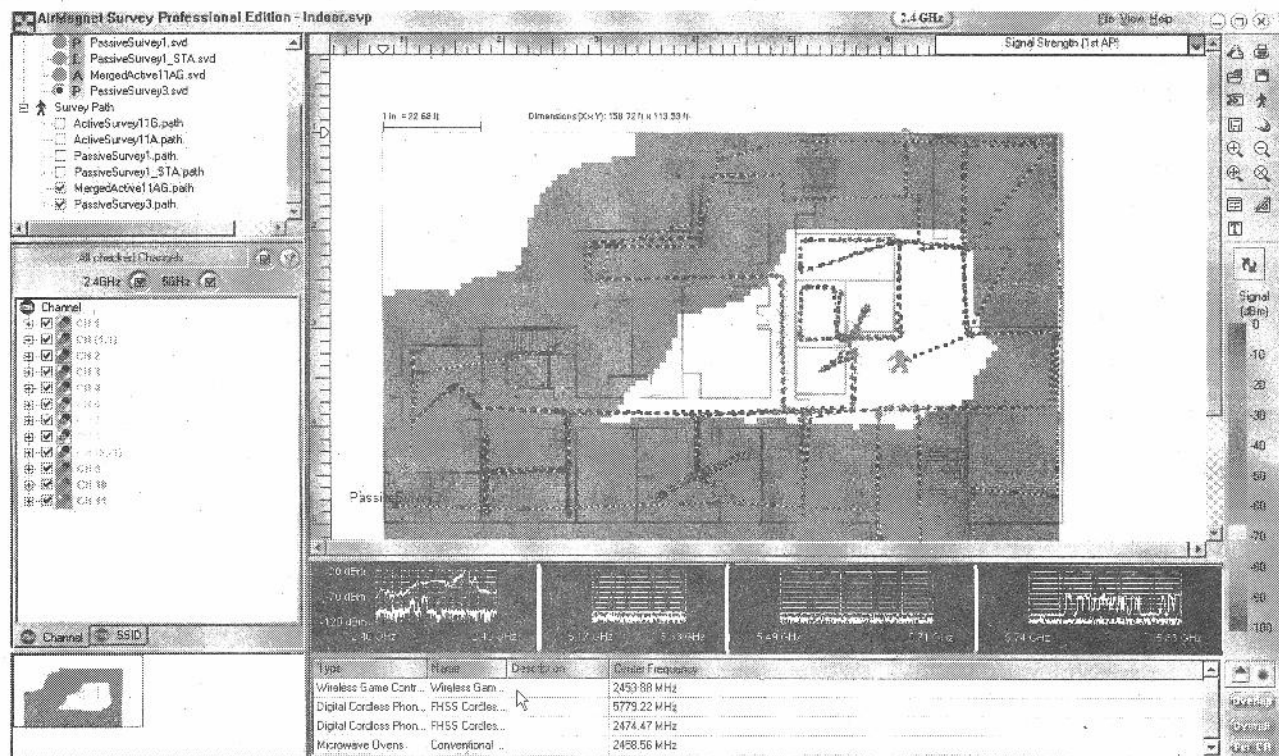


левом углу интерфейса программы. Кроме характеристик и краткого описания «лисы», выводятся также спектрограмма ее реального спектра (на фоне меток идеализированного спектра, по которым можно судить о точности настройки), график зависимости уровня сигнала от времени и «прикольный», но реально удобный «стрелочный» индикатор уровня, позволяющий оперативно оценить направление и удаление от «лисы». А если поставить галочку в чекбоксе *Sound*, который находится слева сверху от «стрелочного» индикатора, то можно будет искать «лису» на слух (по громкости периодически издаваемых щелчков). Системные требования к ноутбуку: ОС Microsoft Windows 7 Professional/Ultimate, Vista Business/Ultimate (SP2) или XP Professional (SP3), Microsoft .NET Framework 2.0, процессор Intel Core 2 Duo с тактовой частотой 2 ГГц или выше, ОЗУ объемом 1 ГБ (рекомендуется 2 ГБ), свободное дисковое пространство 150 МБ, USB-адаптер AirMagnet Spectrum (для просмотра информации о радиочастотном спектре) и/или поддерживаемый AirMagnet адаптер Wi-Fi (для просмотра дополнительных Wi-Fi-данных). Бесплатную пробную версию AirMagnet Spectrum XT можно скачать по адресу <http://ru.flukenetworks.com/content/spectrum-analyzer-80211-wi-fi-networks-proactively-identifies-and-finds-sources-rf-interfere> (инсталлятор 43 МБ).

Профессиональный анализатор AirMagnet WiFi Analyzer фактически является отраслевым инструментом для управления сетями Wi-Fi предприятий стандарта 802.11a/b/g/n/4,9 ГГц. Его ядром является компонент AirWISE®, который автоматически обнаруживает первопричины десятков проблем безопасности и производительности, просто излагает их и рекомендует способы решения сложных проблем. Это решение обеспечивает мгновенный обзор всех беспроводных каналов, устройств, сеансов, скоростей, помех и радиочастотного спектра. Доступно две версии анализатора WiFi AirMagnet: «Express» и «PRO». Анализатор AirMagnet WiFi Analyzer Express обеспечивает основные стандартные функции устранения неисправностей и проверки Wi-Fi с возможностью

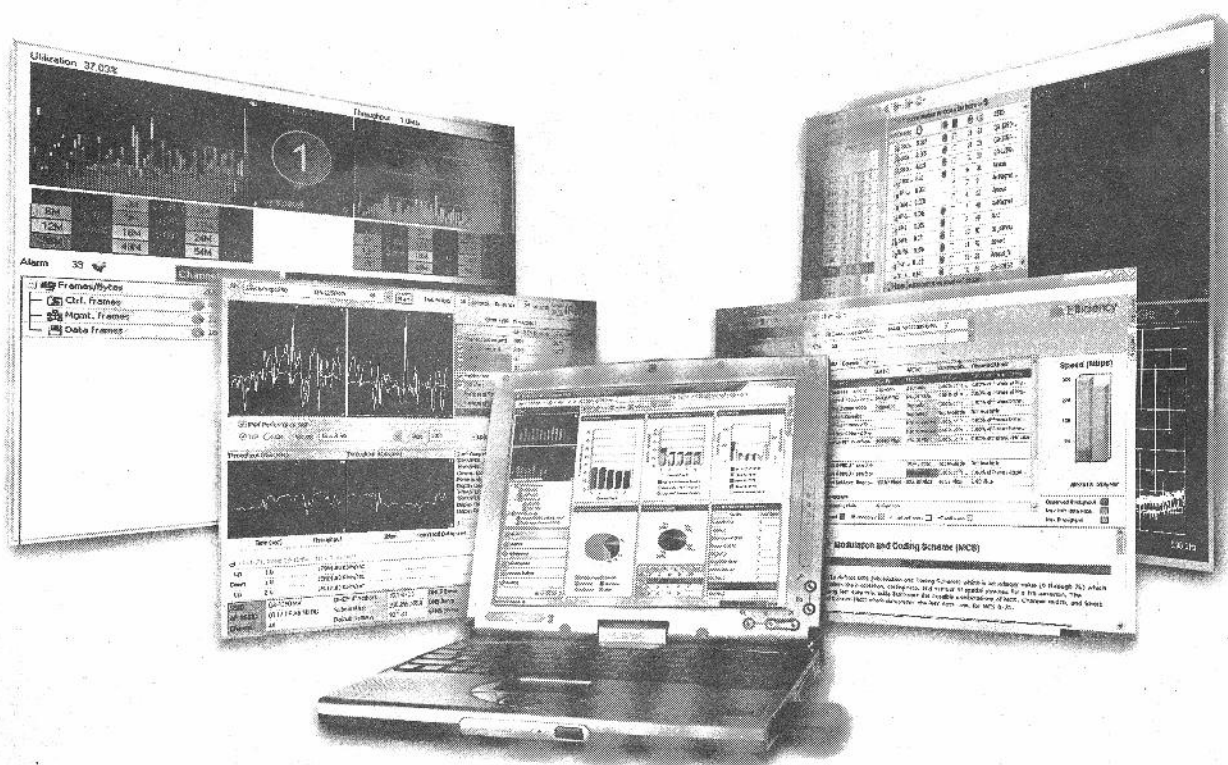
статью видеть устройства, автоматически идентифицировать стандартные проблемы и физически определять расположение конкретных устройств. AirMagnet WiFi Analyzer PRO существенно расширяет возможности, найденные в версии Express и добавляет еще больше для обеспечения пользователя Wi-Fi инструментом, решающим практически любые вопросы производительности, безопасности и подготовки отчетов о работе WiFi на объектах сети и вне этих объектов. Панель мониторинга анализатора WiFi AirMagnet предоставляет возможность быстрого обзора работоспособности беспроводной локальной сети и помогает пользователям сосредоточиться на основных проблемах, требующих немедленного рассмотрения, с целью обеспечения максимального уровня ее безопасности и производительности. Пользователям предоставлена возможность создания разнообразных диаграмм, в том числе по использо-





ванию каналов, наиболее активным (по количеству вызовов) абонентам в сети, уровням помех в беспроводной локальной сети, неправильным конфигурациям, перегруженным точкам доступа, проблемам производительности и т. д. Пользователи могут проводить детализацию для более глубокого исследования статистики беспроводной локальной сети по каждому устройству, каналу и структуре беспроводной связи. Компонент AirWISE® освобождает пользователей от необходимости вручную интерпретировать сложные расшифровки пакетов и передаваемых по беспроводной сети данных, иденти-

фицируя и разъясняя более сотни угроз и проблем производительности еще до того, как они повлияют на сеть. Легкий в использовании интерфейс AirWISE® предоставляет подробное объяснение уведомлений о тревоге, обеспечивает доступ к дополнительным диагностическим данным и дает рекомендации по устранению неисправностей. Анализатор AirMagnet WiFi Analyzer содержит методические указания, помогающие ИТ-администраторам обнаруживать неисправности, включая проблемы с безопасностью, производительностью, помехами, ошибками в настройках устройств, и дает рекомендации по

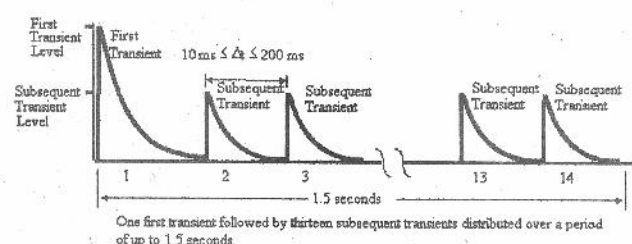


# НОВАЯ ТЕХНИКА И ТЕХНОЛОГИЯ

решению этих проблем. Библиотека содержит также информацию об основных функциях решения и об использовании их при идентификации и решении проблем в сетях WLAN. Анализатор WiFi AirMagnet автоматически определяет и оповещает пользователя о десятках видов сетевых атак, попыток проникновения и стратегий взлома (в том числе и с использованием несанкционированных устройств и вредоносных программ), а также об устройствах, рассылающих незашифрованные данные и обладающих потенциально опасными настройками. Эти профилактические меры позволяют ИТ-специалистам вносить корректировки до того, как проблема проявится. Версия PRO дополнительно имеет функцию обнаружения сложных атак на беспроводную сеть. Инструмент поиска анализатора AirMagnet WiFi Analyzer находит несанкционированные или нарушающие политику точки доступа и станции, а затем позволяет пользователю установить их физическое местоположение. Анализатор AirMagnet WiFi Analyzer обеспечивает всестороннюю статистику структуры для каждого канала и устройства, работающего в спектре. Имея возможность построения трендовых графиков использования каналов и пропускной способности, пользователи могут решать многие проблемы, приводящие к снижению общей производительности беспроводной локальной сети. Можно просматривать трендовые графики силы сигнала, шума, кадров, ошибок, повторных попыток, ширины канала и т. п. по каждому каналу и устройству беспроводной локальной сети. Эти ценные графики содержат важные указания на проблемы, влияющие на производительность беспроводной локальной сети. Например, графики повторных попыток отправки пакетов и количества ошибок показывают области беспроводной локальной сети, в которых происходит сбой связи. На экране Decode анализатора AirMagnet WiFi Analyzer, можно просматривать и анализировать список пакетов в режиме реального времени, включая кадры управления для пакетов 802.11ac и поддержку для мониторинга протоколов верхнего уровня. AirMagnet WiFi Analyzer дает пользователям возможность использовать фильтр для изоляции отдельных пакетов, основываясь на определенном канале, SSID, узле, IP-адресе или типе кадра. Зашифрованные пакеты WPA-PSK и WPA2-PSK могут быть расшифрованы. С поддержкой для нескольких адаптеров в

AirMagnet WiFi Analyzer PRO пользователи могут осуществлять мониторинг нескольких каналов одновременно, используя индивидуальные адAPTERЫ, подключенные к одному и тому же ПК. Для 802.11n, пользователи AirMagnet WiFi Analyzer могут контролировать и устранять неисправности беспроводных устройств, которые используют три пространственных потока и обеспечивают высокую производительность при скорости передачи данных до 450 Мб/с (<http://ru.flukenetworks.com/content/datasheet-airmagnet-wifi-analyzer>).

Общепринятая по стандарту DO-160 схема молниезащиты представляет собой соединенные последовательно резистор и шунтирующий нелинейный элемент защиты от перенапряжений (например, варистор). Поскольку параметры помех от молний для конкретных защищаемых объектов (в частности, самолетной авиации) существенно отличаются от параметров, приводимых в ТУ резисторов и варисторов, существует опасность некорректного выбора «лучшего яблока из апельсинов». Компанией



Rockwell Collins для справочных целей выпущен Lightning protection design calculator - программа-калькулятор, позволяющая связать параметры тестовых (по стандарту DO-160, встроенных в калькулятор) молний с параметрами защитных радиокомпонентов. Просто введите первые в левый столбик меню, нажмите кнопку Calculate и считайте результат в правом столбике (<http://www.edn.com/design/design-tools/development-kits/4423429/Lightning-protection-design-calculator>). Если на вашем ПК установлен программный пакет MATLAB, то GUI интерфейс для Lightning protection design calculator мож-

DO-160 Pin Injection Lightning Protection Design Calculator

Ref. "Lightning Transient Suppression Circuit Design for Aerospace Equipment", Guy A. McElroy and Bear A. Lai, ISBN 978-1-4573-2009-3 ©2012 IEEE

**Design Parameters:**

Enter the parameters and click "Calculate"

Series Resistance (ohms)

Clamping Voltage of the Suppression Device (volts)

Return Line Impedance (ohms) enter 0 if not known

Lightning Waveform being designed for

Frequency (MHz)

Is the suppression device bidirectional answer if WF 3 selected

Open Circuit Voltage (volts)

Short Circuit Current (amps)

Copper Weight (oz.)

**Resulting Datasheet Parameters:**

Measured Voltage Peak (volts)

Resistor Rectangular Pulse Width (μs)

Resistor Peak Power (watts)

Resistor Energy (joules)

8 x 20 μs Current (amps)

8 x 20 μs Power (watts)

TVS Pulse Width (μs)

TVS Peak Power (watts)

Fusing Trace Width for Normal Clamping (mils)

Short Circuit Fusing Trace Width (mils)

Calculate

© Copyright 2012 Rockwell Collins Inc. All Rights Reserved

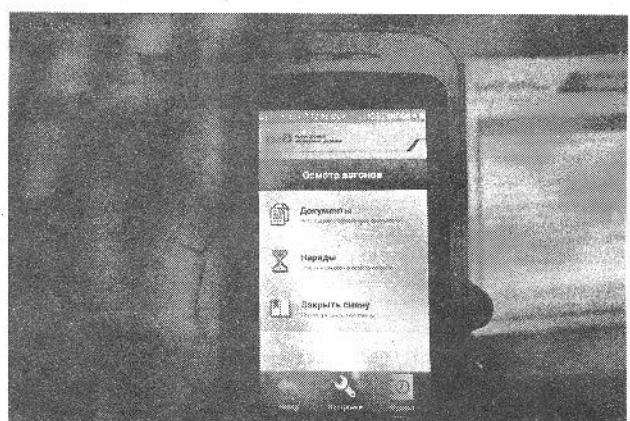
## НОВАЯ ТЕХНИКА И ТЕХНОЛОГИЯ

но скачать по адресу <http://www.mathworks.com/matlabcentral/fileexchange/39650>. Если же у вас не установлен MATLAB, то придется по адресу [http://www.edn.com/uploads/tools/LightningProtection\\_pkg.exe](http://www.edn.com/uploads/tools/LightningProtection_pkg.exe) скачать довольно объемный инсталлятор и уже после этого запускать Lightning protection design calculator в виде exe-файла.

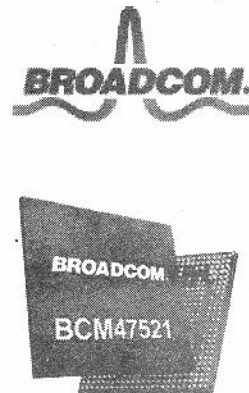
Современные навигационные средства (GPS) в смартфонах, планшетных компьютерах и навигаторах практически не работают внутри зданий, да и не только зданий, они не работают даже в достаточно густом лесу. Но благодаря новому навигационному чипу Broadcom BCM47521 в ближайшем будущем уже можно будет определять свое положение с точностью до нескольких сантиметров внутри зданий. Помимо этого, с такой же точностью новый чип будет определять и положение по вертикали, благодаря чему можно будет точно узнать, на каком этаже здания Вы находитесь. Согласно пресс-релизу компании Broadcom Corp. (<http://www.broadcom.com/press/release.php?id=s741713>), все вышеописанное новый чип делает за счет объединения данных от массы различных датчиков и поддержки всевозможных протоколов беспроводной связи. Все эксплуатационные характеристики нового чипа в 10 раз превышают характеристики ближайших конкурентов и это при в два раза меньшем размере и в 60 раз меньшей потребляемой мощности. Высокая точность определения местоположения новым чипом достигается за счет того, что чип BCM47521 «общается» с четырьмя различными навигационными системами, GPS, Глонасс, QZSS и SBAS, что позволяет ему получать данные от 59 навигационных спутников, висящих над нашими головами. Помимо этого, в качестве дополнительных навигационных опорных точек чип использует сигналы от вышек сотовой связи. Для ориентации внутри помещений в качестве ориентиров используются сигналы точек беспроводных сетей Wi-Fi, 4G, 5G, Bluetooth и NFC (near field communication). Более точное вертикальное и горизонтальное местоположение чип вычисляет с помощью массы датчиков, таких как акселерометры, счетчики количества шагов, твердотельных гироскопов, высотомеров и магнитометров. В настоящее время компания Broadcom уже начала производство чипов BCM47521 по 40-нм КМОП технологии, которые уже замечены в смартфоне Samsung Galaxy S4. Но это еще не означает, что сразу можно будет пользоваться всеми возможностями высокоточной трехкоординатной навигации,

Google Maps или Microsoft SemanticMap, можно будет без труда сориентироваться, добраться к лифту и без опозданий успеть на собеседование в офис, находящийся на каком-то этаже данного здания. А устройства дополненной реальности, такие как очки Google Project Glass, станут в этом деле пре-восходными помощниками. Новая функция «геозона» позволяет приложению получать уведомление, когда объект входит в виртуальный периметр или покидает его. Однако реализация такой возможности в традиционных архитектурах не представляется возможной, поскольку процессор приложения должен постоянно работать, что стремительно съедает ресурс батареи. Чип BCM47521 преодолевает данную проблему, делая возможным постоянное наблюдение за геозоной при энергопотреблении в 60 раз меньше, чем в аналогах предыдущего поколения (<http://dailytechinfo.org/Infotech/3548-novyy-chip-dlya-smartfonov-pozvolit-opredelyat-mestopolozhenie-s-tochnostyu-santimetrov-dazhe-vnutri-zdaniy.html>).

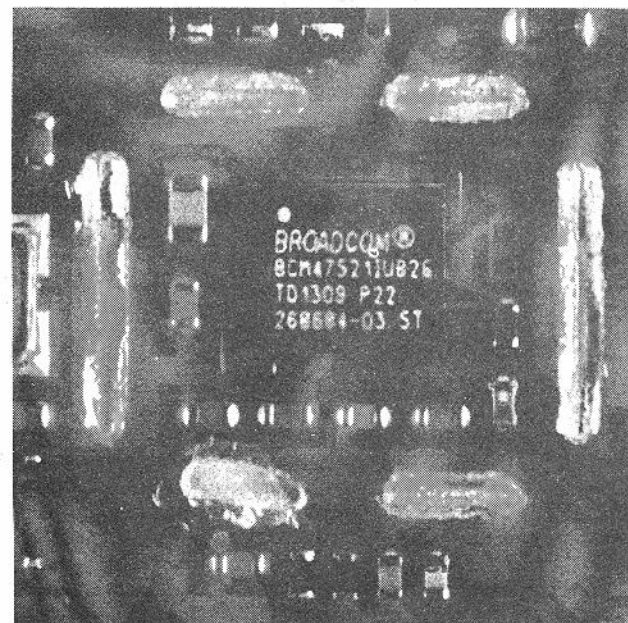
На выставке «InfoTrans 2013» в Санкт-Петербурге был представлен **мобильный терминал железнодорожника** на Андроиде. Этот сверхзащищенный смартфон со встроенным сканером штрихкодов и устройством чтения смарткарт полностью разработан в России. Устройство под кодовым названием **FRMD101A** построено на двухядерном процессоре с тактовой частотой 1,2 ГГц, имеет 512 МБ оперативной памяти и 4 ГБ встроенной памяти. Терминал выдерживает двадцатиградусные морозы, 55-градусную жару и падения с высоты 1,8 метра. Он имеет класс защиты IP54, позволяющий пользоваться устройством даже под дождем и снегом. Смартфоном можно пользоваться, не снимая перчаток - специально для этого он оснащен резистивным экраном. Для авторизации и реализации юридически значимой электронной цифровой подписи



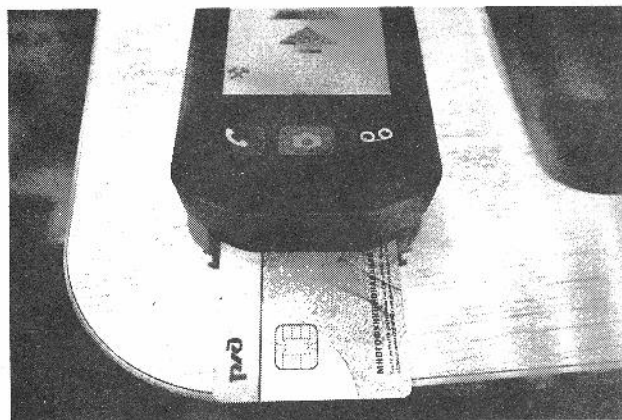
си в смартфон вставляется личная смарт-карта железнодорожника. Аккумулятор имеет винчестильную ёмкость 5000 мА·ч. Терминал способен работать даже без аккумулятора - внутри есть второй встроенный аккумулятор ёмкостью 800 мА·ч. Разумеется, в терминале есть и всё необходимое оснащение смартфона — голосовые вызовы, передача смс, 5-мегапиксельная камера со вспышкой, GPS/ГЛОНАСС. Специальное про-



[www.broadcom.com/press/release.php?id=s741713](http://www.broadcom.com/press/release.php?id=s741713), все вышеописанное новый чип делает за счет объединения данных от массы различных датчиков и поддержки всевозможных протоколов беспроводной связи. Все эксплуатационные характеристики нового чипа в 10 раз превышают характеристики ближайших конкурентов и это при в два раза меньшем размере и в 60 раз меньшей потребляемой мощности. Высокая точность определения местоположения новым чипом достигается за счет того, что чип BCM47521 «общается» с четырьмя различными навигационными системами, GPS, Глонасс, QZSS и SBAS, что позволяет ему получать данные от 59 навигационных спутников, висящих над нашими головами. Помимо этого, в качестве дополнительных навигационных опорных точек чип использует сигналы от вышек сотовой связи. Для ориентации внутри помещений в качестве ориентиров используются сигналы точек беспроводных сетей Wi-Fi, 4G, 5G, Bluetooth и NFC (near field communication). Более точное вертикальное и горизонтальное местоположение чип вычисляет с помощью массы датчиков, таких как акселерометры, счетчики количества шагов, твердотельных гироскопов, высотомеров и магнитометров. В настоящее время компания Broadcom уже начала производство чипов BCM47521 по 40-нм КМОП технологии, которые уже замечены в смартфоне Samsung Galaxy S4. Но это еще не означает, что сразу можно будет пользоваться всеми возможностями высокоточной трехкоординатной навигации,



## НОВАЯ ТЕХНИКА И ТЕХНОЛОГИЯ

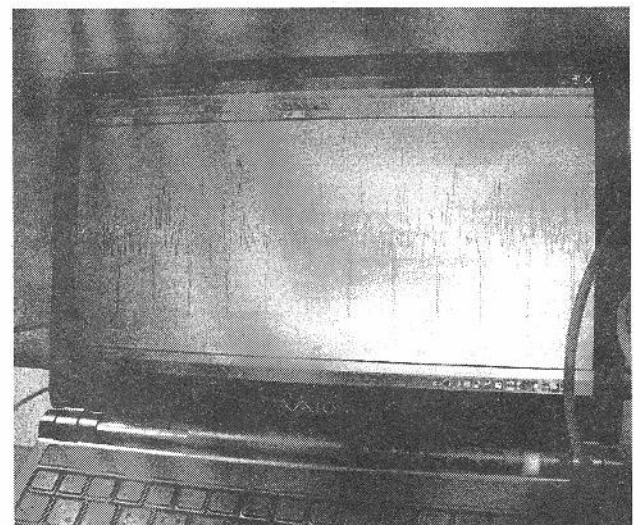
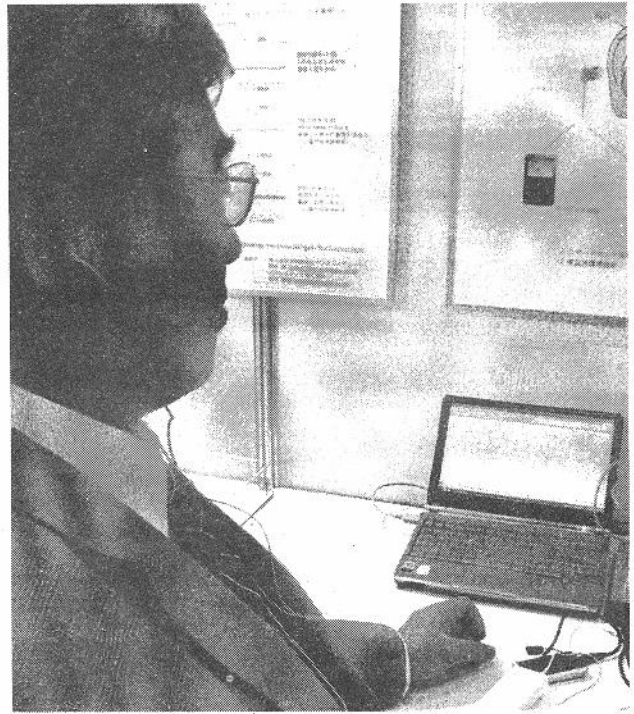


граммное обеспечение с простым интерфейсом не позволяет пользователю выйти в интерфейс Android. Отключена даже «шторка». Это «неубиваемое» устройство будут использовать обходчики вагонов, работники станций и другие железнодорожники. Уже сейчас устройство работает на нескольких участках железной дороги. С помощью него РЖД сможет перевести в электронную форму последние операции, выполнявшиеся «на бумаге». Технические характеристики FRMD101A: процессор ARM, 1,2 ГГц, двухъядерный; память: 512/768 МБ RAM, 4096 МБ ROM, поддержка карт памяти SD/mini-SD/micro-SD (SDHC до 32 ГБ); Операционная система Android v.4.X; дисплей 4,5", 960x540, сенсорный, резистивный; связь GSM, GPRS (11 класса), EDGE, UMTS/HSDPA, SMS (Short Message Service), Wi-Fi IEEE 802.11 b/g/n; определение местоположения: GPS/ГЛОНАСС; датчики - акселерометр; мультимедиа - камера 5.0 Мп, вспышка, усиленный микрофон, динамик; аппаратные кнопки: телефон, диктофон, фотоаппарат, регулировка громкости, сканер штрих-кодов; интерфейсы: считыватель контактных смарт-карт ISO 7816, сканер 1d/2d штрихкодов, USB (на док-станции, клиент v2.0, хост v2.0 OnTheGo), разъем док-станции; питание: основная батарея 5000 мА·ч, резервная батарея 800 мА·ч. Время автономной работы от аккумулятора - не менее 8 часов, время полной зарядки - не более 5 часов. Размеры и вес: 177 x 79 x 35 мм, 365 г. Защита от внешних воздействий: диапазон рабочих температур от -20 °C до +55 °C, эксплуатация при относительной влажности 95%, класс герметизации IP54, многократные падения с высоты 1,8 м, сопротивление электростатическому разряду: ± 15 кВ воздушный разряд; ± 8 кВ прямой разряд. Сейчас изготовлена первая партия - 600 устройств. По заявлению разработчиков, даже при такой небольшой партии удалось добиться достаточно низкой цены устройства (iPhone гораздо дороже). Кроме железных дорог такое устройство может применяться и во многих других отраслях - на других видах транспорта, складах, почте, таможне и даже в армии. Вполне возможно, что первый российский промышленный смартфон станет востребованным в этих сферах ([http://habrahabr.ru/post/201422/#comment\\_6957630](http://habrahabr.ru/post/201422/#comment_6957630)).

Bifrostec

The KAITEKI  
Institute

На прошедшей с 23 по 25 октября в японском г. Йокогама выставке медицинского оборудования Healthcare Device Exhibition 2013 институт Kaiteki совместно с компанией Bifrostec представили новую технологию, позволяющую определить пульс с использованием самых



обычных наушников. Последние подключаются к смартфону для регистрации сигнала и мониторинга результатов. Новая технология измеряет давление воздуха в ушном канале при надетых наушниках закрытого типа. Пульсации артерий вызывают в барабанной перепонке и мембранных наушников микровибрации с частотой около 1 Гц. Задействуя динамики наушников в качестве микрофона, ученые научились регистрировать и вычислять пульс испытуемого. Самой большой проблемой стало отделение внутриушных звуковых колебаний от окружающих шумов - ведь большинство наушников не обеспечивает полной изоляции от внешнего мира. Однако, ученым удалось отсеять помехи благодаря специальным цифровым технологиям обработки сигнала, более того, оказалось возможным для измерения пульса не прерывать воспроизведение музыки или телефонный разговор. В результате прототип новой программной системы показал обнадеживающие результаты. Во время демонстрации использовались вполне зауряд-

## НОВАЯ ТЕХНИКА И ТЕХНОЛОГИЯ

ные наушники стоимостью 8,3 долл. Авторы новой технологии надеются, что в ближайшем будущем их изобретение будет доступно всем владельцам смартфонов и прочей мобильной техники ([http://techon.nikkeibp.co.jp/english/NEWS\\_EN/20131025/311441](http://techon.nikkeibp.co.jp/english/NEWS_EN/20131025/311441)).

Компания AirOn заявила о намерении в ближайшее время расширить модельный ряд часофонов за счет выпуска двух новых устройств: **AirOn Connect** и **AirOn GTi**. Как отмечает про-

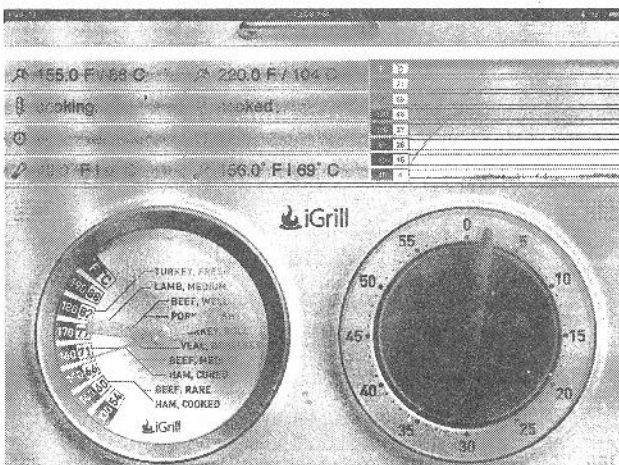
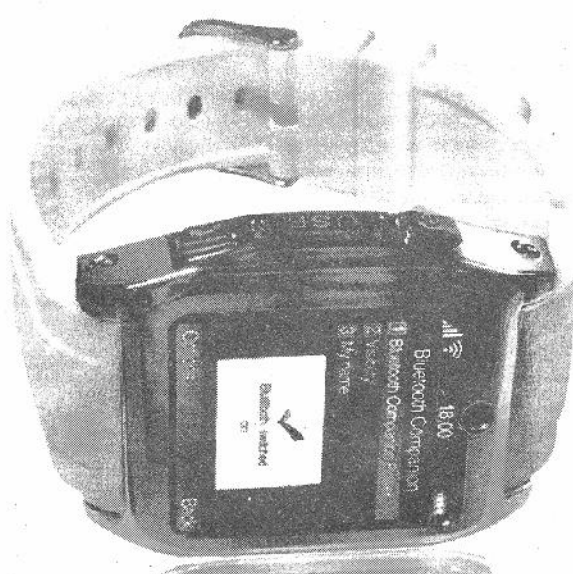
сти часофонов, но и в области дополнительных устройств к смартфонам. Наш продукт может быть не только дистанционным пультом управления смартфона, но и самостоятельным устройством для совершения и приема звонков и SMS. На этот раз мы порадуем нашу женскую аудиторию. Один из часофонов нового поколения будет интересен милым дамам за счет разнообразной расцветки и оригинального дизайна», - заявил генеральный директор компании AirOn. Начало продаж новых часофонов ожидается к Новому году. Ориентировочная стоимость будет составлять 1700 гривен. Технические характеристики новинок будут объявлены дополнительно (<http://itc.ua/news/airon-anonsirovala-dva-novyih-chasofona/>).

Мужчины, даем подсказку для подарка любимым женщинам. В отличие от других приборов для автоматического определения температуры внутри продуктов, термощуп **iGrill**

имеет возможность подключения к вашему iPhone с помощью Bluetooth соединения. Таким образом, вы можете проверять готовность рождественской индейки (или любого другого мясного блюда) из любой комнаты вашего дома. Радиус действия термощупа составляет более 60 м, а диапазон измерения температуры - до



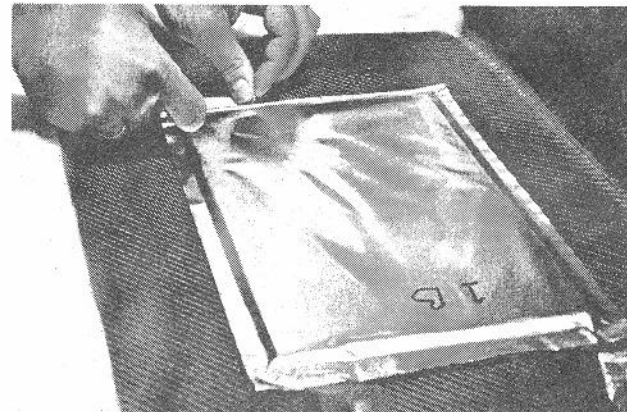
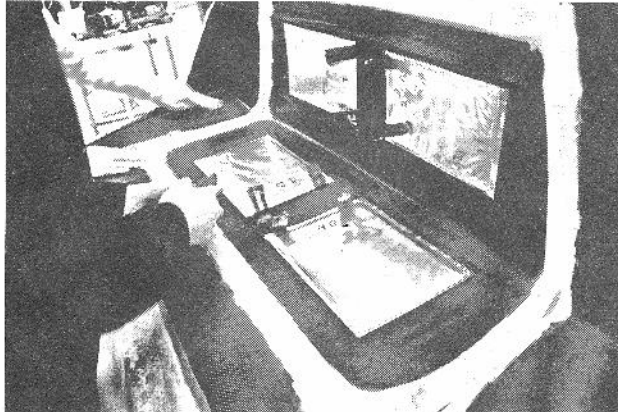
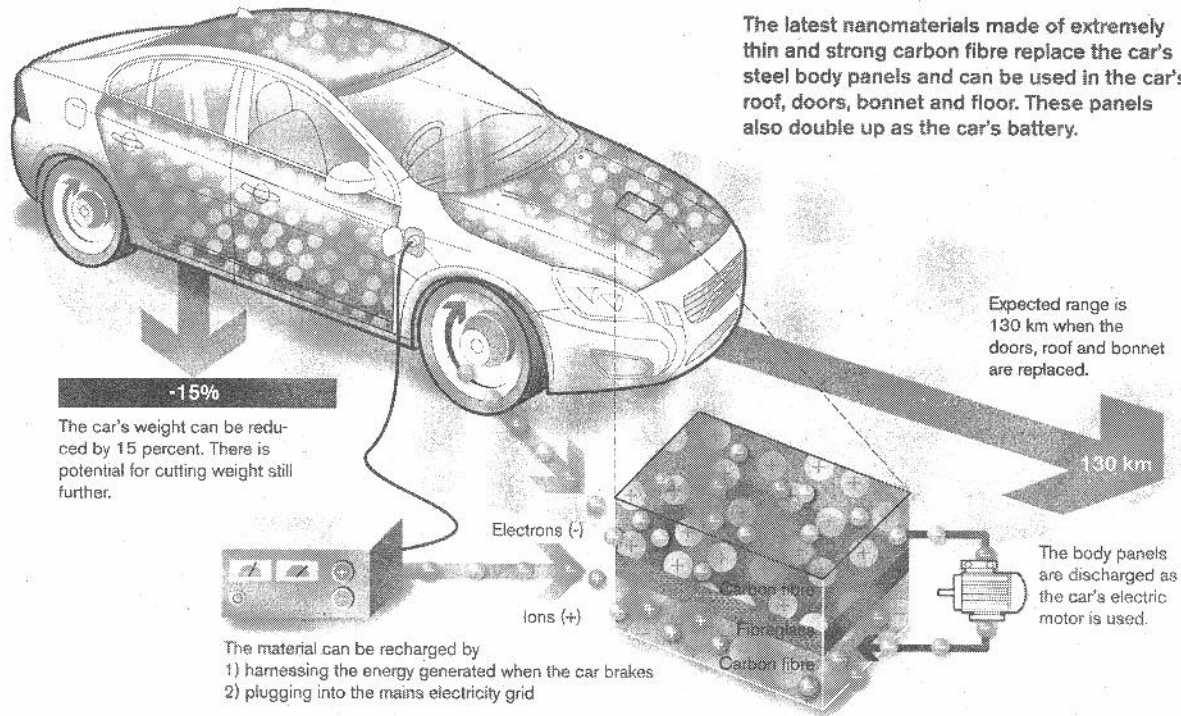
изводитель, в этот раз анонсированы концептуально новые гаджеты. «Умные часы» будут обладать возможностью синхронизации с операционными системами Android и iOS. Новые часофони имеют яркий цветной дисплей, фронтальную камеру, модули Bluetooth. Устройства поддерживают необходимый перечень функций: могут подключаться к смартфонам, принимать звонки и SMS, управлять воспроизведением музыки. Главной особенностью новых часофонов является функция сторожа для смартфона. Часофон снабжен двумя Bluetooth-модулями. Один из них соединен с гарнитурой, второй - со смартфоном. Когда второй модуль прекращает работать, т.е. пользователь отходит от смартфона более чем на 20 метров, часофон подает вибrosигнал о том, что смартфон находится не у владельца. Также заявлена поддержка мультимедиа-приложений и мобильного интернета. «Новая модель является революционным прорывом не только в обла-



204 °C. Если же у вас нет iPhone, вы можете использовать дисплей, который входит в комплект. Для заядлых кулинаров и любителей готовить несколько блюд одновременно, предусмотрено дополнительное приложение к iGrill всего за 20\$. Сам же iGrill продается по цене 80\$ (<http://store.idevicesinc.com/iGrill/>). Приятного аппетита!

**VOLVO** разработала революционную концепцию («кузов автомобиля превращается в аккумулятор») легковесных материалов для хранения электроэнергии, которые позволят усовершенствовать методы использования энергии в будущих электромобилях. Материал, состоящий из углеродного волокна, наноструктурированных батарей и конденсаторов большой емкости, отличается малым весом, предлагает удобное хранение энергии и требует меньше места в автомобиле. Более того, этот материал является экологически чистым и предлагает удобные варианты интеграции в автомобиле. В реализации проекта, финансируемого ЕС, участвовали девять организаций, при этом Volvo Car Group была единственным авто производителем, принявшим участие в проекте. В ходе исследований удалось найти решение в каче-

# The car's body panels serve as a battery



стве альтернативы тяжелым, большим и дорогим аккумуляторным батареям, которые устанавливаются на современных гибридных моделях и электромобилях. Более того, удалось добиться требуемой емкости и производительности аккумуляторов. Работы по проекту длились более 3,5 лет, и сегодня результаты исследований применяются в виде панелей в экспериментальной модификации Volvo S80. Результатом исследовательских работ стал материал, сочетающий в себе углеродное волокно и полимерную смолу. Это передовой наноматериал, включающий структурные конденсаторы большой емкости. Новые батареи представлены многослойными панелями, усиленными углеродным волокном. Панели изготавливаются в заданной форме и устанавливаются в виде дверных панелей, крышки багажника и арок колес автомобиля, позволяя заметно экономить пространство в автомобиле. Конденсаторы большой емкости интегрируются между слоями панели. Такие панели устанавливаются по периметру всего автомобиля вместо существующих компонентов кузова и используются для зарядки и хранения энергии. Зарядка панелей осуществляется в процессе рекуперации энергии торможения или через подключение к электросети. Энергия из панелей передается на электромотор и электроприборы в автомобиле. Такой материал не только позволяет быстрее осуществлять зарядку электроэнергией по сравнению с современными аккумулято-

рами, но и еще отличается большой прочностью и пластичностью. В Volvo Car Group были созданы два элемента, которые используются для испытаний. На Volvo S80 установили крышку багажника и кожух двигателя из нового материала. Крышка багажника выполняет функцию электробатареи и может вполне заменить стандартные аккумуляторы, которые сегодня используются в автомобилях. Новый кожух двигателя может заменить балку, которая выполняет функцию стабилизатора фронтальной части автомобиля, а также он сможет заменить батарею, используемую для системы Start/Stop. По мнению экспертов, полная замена существующих компонентов электромобиля элементами из нового материала позволит сократить вес автомобиля более чем на 15%. Это не только снизит стоимость автомобиля, но сделает его еще более экологичным (<http://www.volvocars.com/ru/top/about/news-events/pages/default.aspx?itemid=284>).

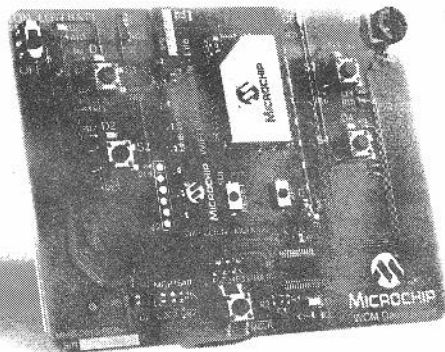
Компания Microchip выпустила простую в использовании отладочную платформу Cloud Development Platform, которая доступна в онлайн магазине Amazon Web Services (AWS) Marketplace и позволит разработчикам встраиваемых приложений быстро изучить технологии обмена данными с облачными сервисами (<http://www.microchip.com/>).



**MICROCHIP**

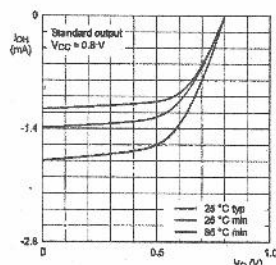
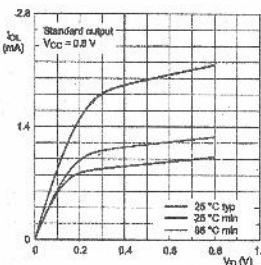
## НОВАЯ ТЕХНИКА И ТЕХНОЛОГИЯ

pagehandler/en-us/press-release/microchips-cloud-based-develop.html). AWS Marketplace – это своего рода супермаркет программного обеспечения для платформы облачного типа, предоставленной компанией Amazon в 2006 году. В инфраструктуре платформы представлено множество сервисов для оказания различных услуг, таких как хранение данных (файловый хостинг, распределенные хранилища данных), аренда виртуальных серверов, предоставление вычислительных мощностей и др. Отладочная платформа Microchip позволит с легкостью создавать полностью функционирующую демонстрационное приложение, которое может подключаться и вести обмен данными с сервисом Amazon Elastic Compute Cloud (Amazon EC2) – веб-сервисом, предоставляющим вычислительные мощности в облаке. «Сердцем» отладочной платформы является клиентский Wi-Fi модуль Wi-Fi Client Module Development Kit

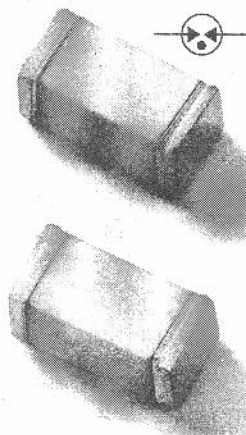


**(DM182020).** Такое аппаратно-программное решение на базе беспроводного интерфейса Wi-Fi является самым простым способом объединения встраиваемого устройства и облачного сервиса для создания приложений Интернета вещей. Программная часть платформы разработана также компанией Microchip и представляет собой специальный образ демонстрационного приложения Microchip WCM Demo AMI (Amazon Machine Images – AMI), созданный специально для платформы AWS. Команда разработчиков компании Microchip неспроста выбрала такой подход. Конечно, здесь сыграл свою роль фактор растущего интереса разработчиков к приложениям сферы Интернета вещей. Но самой важной причиной является легкость разработки таких приложений в рамках платформы AWS. На указанной облачной платформе для пользователей доступны образцы различных приложений (платных и бесплатных). Любой из образов включает все, что является необходимым для его нормальной работы (инфраструктурное программное обеспечение, операционную систему). При этом установка образа приложения (AMI) на взятый в аренду у Amazon сервер может быть осуществлена за считанные минуты и не потребует какой-либо настройки системы – все уже настроено и проверено. Программная часть платформы и клиентский Wi-Fi модуль Wi-Fi Client Module Development Kit (DM182020) уже доступны для заказа (<http://www.microchip.com/get/R837>).

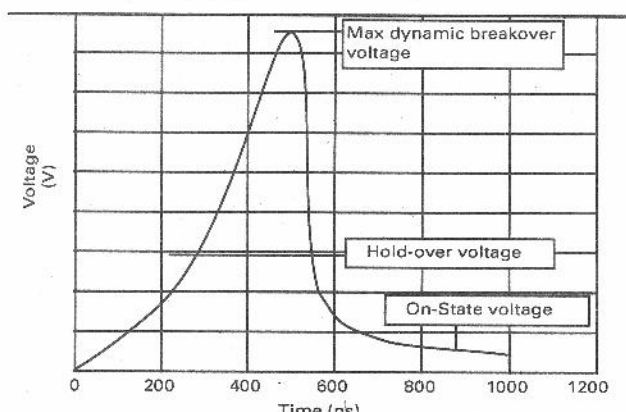
**NXP Semiconductors N.V.** представила новую серию AXP сверхнизковольтных микропотребляющих логических элементов, выполненных по технологии Si-gate CMOS. Специфицированный диапазон напряжений питания составляет 0,7...2,75 В, при этом время переключения не превышает 4,6 нс, а выходной ток может достигать  $\pm 4,5$  мА. В настоящее время серия состоит из 14 микросхем – пяти двухвходовых логических элементов – ИЛИ, И, И с открытым стоком, ИЛИ-НЕ, И-НЕ, трех буферов (с от-



крытым истоком, триггером Шmittта и с трехрежимным выходом), двух инверторов (с триггером Шmittта и без), а также четырех конфигурируемых многофункциональных логических матриц. Конструктивное исполнение – пяты и шестивыводные SOT1226 (0,8 x 0,8 x 0,35 мм), SOT886, SOT1115, и SOT1202, диапазон рабочих температур -40 ... +85 °C, мелкооптовая (в партиях по 1000 шт.) цена \$0,35 (<http://www.nxp.com/products/logic/family/AXP/>)



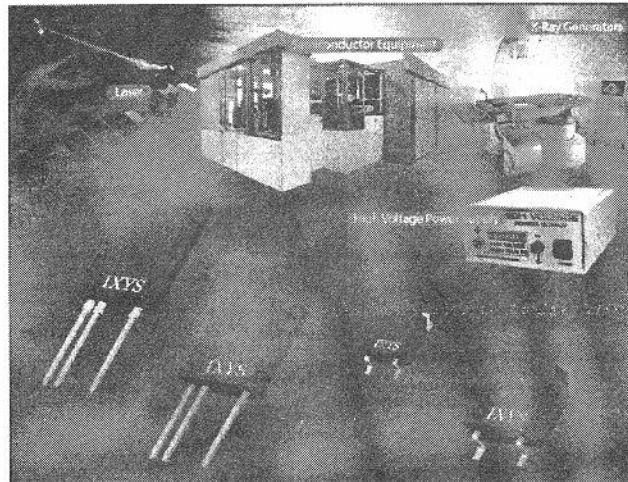
Littelfuse выпустила микроминиатюрные газоразрядники. Размеры показанных на иллюстрации изделий равны всего лишь 3,2 x 1,6 x 1,6 мм. Так выглядят рассчитанные на поверхностный монтаж газоразрядные трубы (Gas Discharge Tube, GDT) серии SE в корпусах EIA 1206 (<http://www.littelfuse.com/products/gas-discharge-tubes/squared-gdt/se.aspx>). По словам производителя, они являются самыми маленькими в мире электронными приборами этого типа. Миниатюрные разрядники предназначены для защиты цепей кабельного оборудования, систем видеонаблюдения и связи, импульсных блоков питания и т.п. от бросков напряжения. В нормальном состоянии они имеют



высокое сопротивление (по ТУ не менее 1 ГОм), практически являясь разрывом цепи. Бросок напряжения выше определенного уровня (от 140 В для SE140 до 500 В для SE500) вызывает разряд в лампе, замыкающий цепь. Как только напряжение или ток падают ниже соответственно 10 В или 1 А, разряд исчезает и цепь разрывается. К достоинствам GDT серии SE, помимо миниатюрных размеров, производитель относит высокое быстродействие и стабильность характеристик даже при многократном срабатывании. Типовая емкость изделий не превышает 0,5 пФ, максимальный импульсный (20 мкс) ток разряда 500 А, ознакомительные образцы новинки уже доступны на сайте <http://www.samplecomponents.com/scripts/samplecenter.dll?littelfuse>.

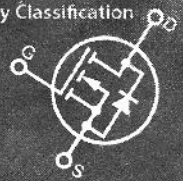
**IXYS** Corporation сообщила о разработке самого высоковольтного в отрасли N-канального мощного МОП-транзистора IXTL2N450, способного работать при напряжении сток-ис-

# НОВАЯ ТЕХНИКА И ТЕХНОЛОГИЯ



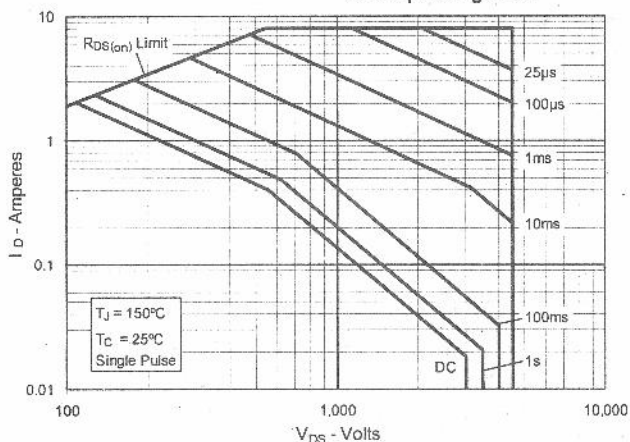
## Features:

- Silicon Chip on Direct-Copper Bond (DCB) Substrate
- Molding Epoxies meet UL 94 V-0 Flammability Classification
- Isolated Mounting Surface
- High Blocking Voltage
- High Voltage Packages
- Up to 4500V electrical isolation
- Space Savings
- High Power Density

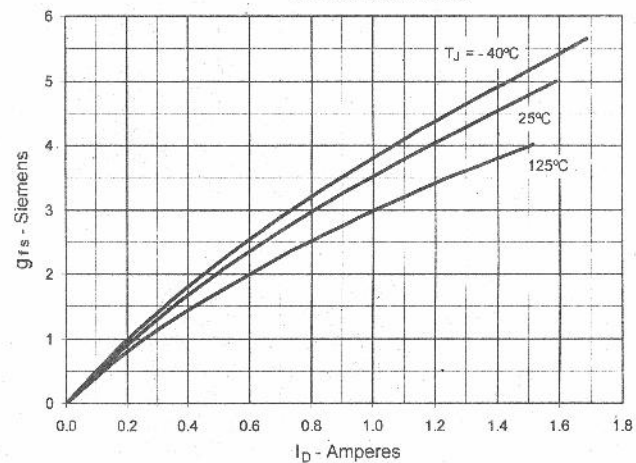


Part Number	$V_{DS\text{ Max}}$ (V)	$ID(\text{cont})$ ( $T_J=25^\circ\text{C}$ ) (A)	$R_{DS(on)}$ Max ( $T_J=25^\circ\text{C}$ ) (mΩ)	$C_{oss}$ Typ (pF)	$Q_g$ Typ (nC)	$t_{RSD}$ Typ (μs)	$P_D$ (W)	$R_{DS(on)}$ Max (mΩ)	Package Style
IXTF02N450	4500	0.2	750	256	10.4	1.6	78	1.60	ISOPLUS i4-Pak™
IXTT02N450HV	4500	0.2	750	256	10.4	1.6	113	1.10	TO-268HV
IXTA02N450HV	4500	0.2	750	256	10.4	1.6	113	1.10	TO-263HV
IXTF1N450	4500	0.9	95	1730	40	1.75	165	0.770	ISOPLUS i4-Pak™
IXTT1N450HV	4500	1.0	85	1730	40	1.75	520	0.240	TO-268HV
IXTL2N450	4500	2.0	23	6000	156	1.75	220	0.56	ISOPLUS i5-Pak™

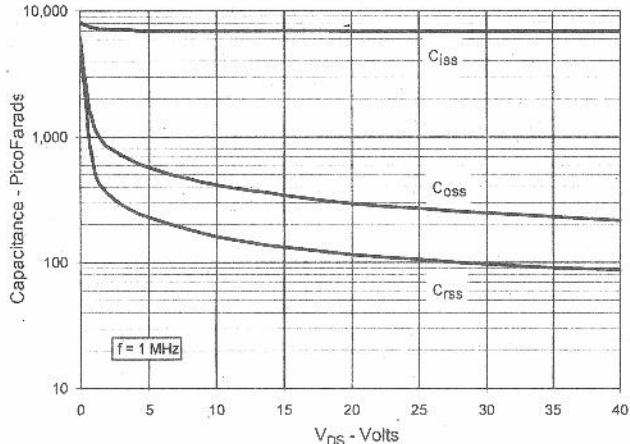
Safe Operating Area



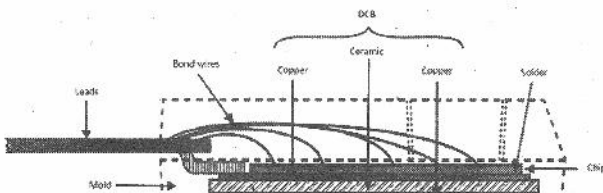
Transconductance



Capacitance

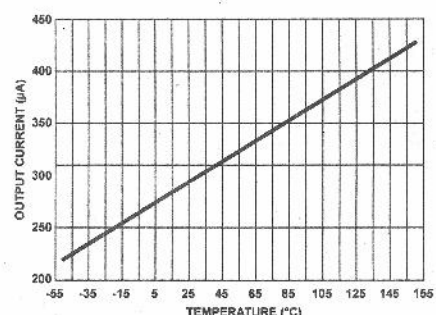


**ток 4500 В** и выдерживающего ток до 2 А при рассеиваемой мощности 220 Вт. Фирма утверждает, что ближайший конкурент выдерживает лишь 1700 В. Уникальная высоковольтность IXTL2N450 достигнута благодаря технологии Direct Copper Bond, при которой медная термоплощадка корпуса типа ISOPLUS i5-Pak™ (26 x 20 x 5 мм без учета выводов) изолирована



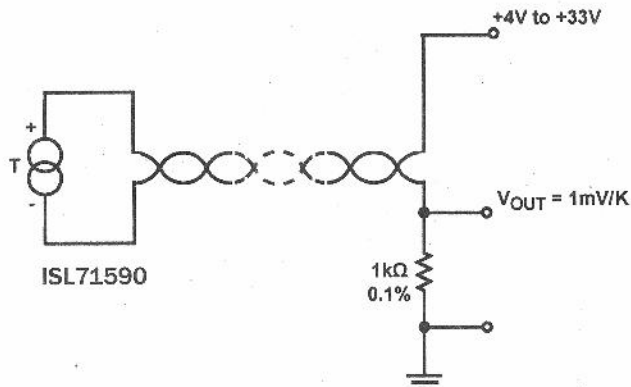
от медной подложки собственно транзистора слоем теплопроводной керамики. Такое технологическое решение имеет бонусом снижение паразитной емкости между подложкой транзистора и охлаждающим радиатором, благодаря чему улучшается электромагнитная совместимость (снижается паразитное электромагнитное излучение при работе транзистора в генераторном или коммутирующем режиме). Емкость затвор-исток 6900 пФ, заряд переключения затвора 156 нКл, сопротивление открытого канала 20 Ом, крутизна 3,5 См. Модификация транзистора в корпусе TO-268HV (тепловое сопротивление 0,24 °C/Вт) носит название IXTT1N450HV и при том же напряжении 4500 В выдерживает меньший ток 1 А, зато большую мощность 520 Вт ([http://ixapps.ixys.com/DataSheet/4500V\\_MOSFETs.pdf](http://ixapps.ixys.com/DataSheet/4500V_MOSFETs.pdf))!

**Intersil Americas LLC** выпустила имплемент ISL71590SEH - оригинальный двухвыводочный преобразователь температура-ток, коэффициент преобразования которого 1 мкА/°К в специфицированном по ТУ температурном диапазоне от -55 °C до +125 °C (максимально допустимая температура кристалла 150 °C) обеспечивает измерение температуры с погрешностью не более ±1,7 °C. Причем без каких-либо дополнительных прецизионных дифференциальных усилителей, мостовых компенсаторов или линеаризующих цепочек. Высокое (более 10 МОм) выходное сопротивле-

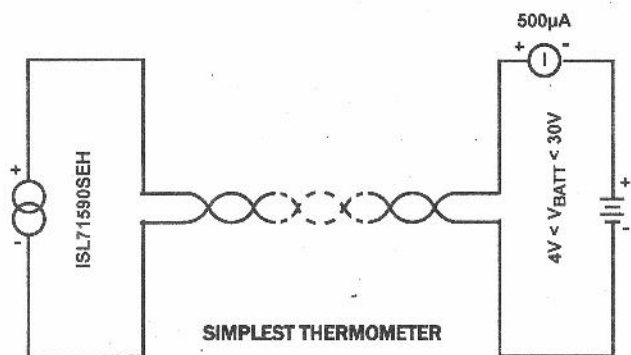


## НОВАЯ ТЕХНИКА И ТЕХНОЛОГИЯ

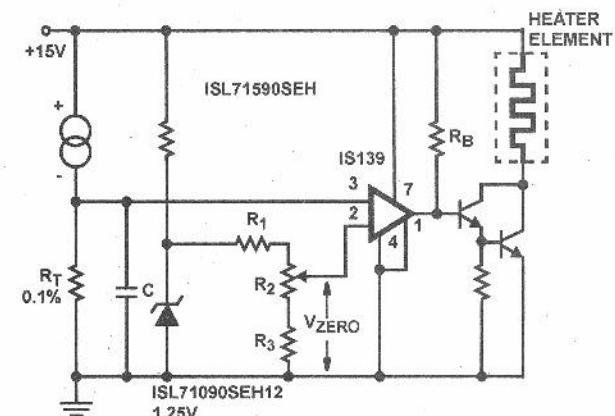
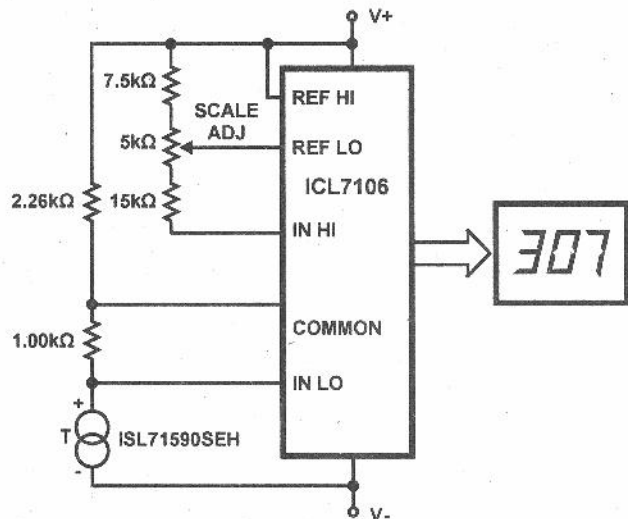
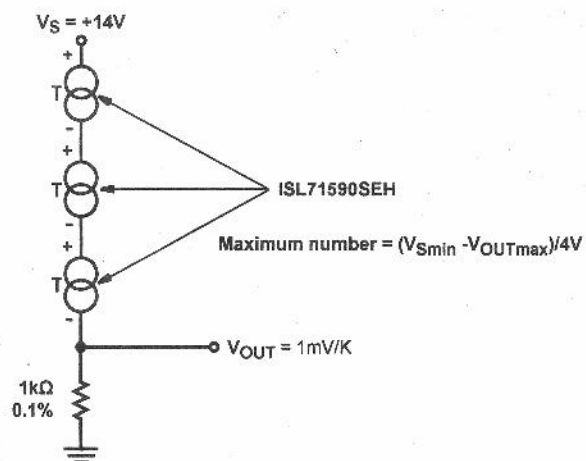
ление исключает погрешность измерения из-за возможной нестабильности или значительных пульсаций напряжения питания, которое в типовом включении может быть от 4 до 33 В. Преобразователь обладает высокой радиационной стойкостью - 300 крад, (максимальная одноразовая доза поглощенного излучения), а при дозе 50 крад дополнительная погрешность измерения температуры не превышает 1 °C. Максимально допустимое обратное напряжение -40 В. При напряжении питания 5 В и температуре 25 °C микросхема потребляет мощность всего 1,5 мВт. В простейшем типовом включении для измерения достаточно резистора сопротивлением 1 кОм и источника



питания напряжением от 4 до 33 В; при этом напряжение на резисторе в мВ соответствует температуре в °К. Простейший



термометр можно составить из соединенных последовательно ISL71590SEH, стрелочного микроамперметра и 9-вольтовой «Кроны». Если несколько датчиков соединить последовательно, то результатирующий ток в цепи будет определяться наименьшим током, т.е. самым холодным датчиком; так просто реализуется измеритель температуры самого холодного из нескольких объектов измерения. Если же несколько датчиков соединить параллельно, то результат измерения будет соответствовать средней температуре всех датчиков. В data-



SINGLE SETPOINT TEMPERATURE CONTROLLER

ISL71590SEH produces a temperature dependent voltage across  $R_T$  ( $C$  is for filtering noise). Setting  $R_2$  produces a scale-zero voltage. For the Celsius scale, make  $R_T = 1k\Omega$  and  $V_{ZERO} = 0.273V$ . For Fahrenheit,  $R_T = 1.8k\Omega$  and  $V_{ZERO} = 0.460V$ .

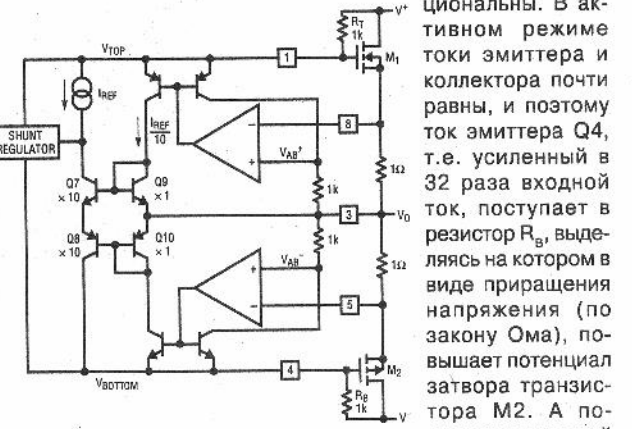
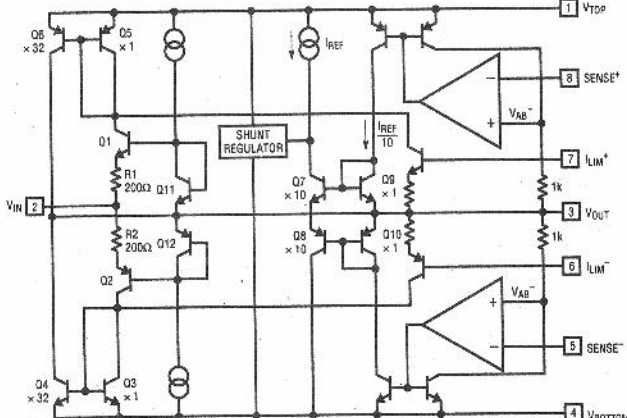
шице <http://www.intersil.com/content/dam/Intersil/documents/fn83/fn8376.pdf> можно найти и более сложные рекомендуемые схемы применения ISL71590SEH в цифровых термометрах градусов Кельвина, Фаренгейта и Цельсия, дифференциальном термометре, термостате и др.



Электронная промышленность, к сожалению, не слишком часто балует своим вниманием аудиофилов-схемотехников. Поэтому особо приятной представляется ИМС LT1166, выпускаемая фирмой Linear Technology как будто специально для них. В небольшой 8-выводный полупДИП упакована **схема управления смещением выходного каскада мощных двухтактных УМЗЧ класса АВ**, намного более совершенная, чем набивший осокину тривиальный транзистор с резистивным делителем по схеме умножителя Ибэ. Архитектура LT1166, отображененная на ее блок-схеме (см. с. 22), позволяет сформировать две работающие независимо друг от друга петли автогенерации - одну по напряжению, обеспечивающую близкий к единичному коэффициент передачи по напряжению со входа  $V_{IN}$  на выход  $V_{OUT}$ , а вторую - по току, обеспечивающую постоянный заданный ток на двух внешних резисторах-сенсорах, подключенных между выводами  $SENSE^+$ ,  $V_{OUT}$  и  $SENSE^-$  микросхемы. Питание осуществляется то-

шеннай, чем набивший осокину тривиальный транзистор с резистивным делителем по схеме умножителя Ибэ. Архитектура LT1166, отображененная на ее блок-схеме (см. с. 22), позволяет сформировать две работающие независимо друг от друга петли автогенерации - одну по напряжению, обеспечивающую близкий к единичному коэффициент передачи по напряжению со входа  $V_{IN}$  на выход  $V_{OUT}$ , а вторую - по току, обеспечивающую постоянный заданный ток на двух внешних резисторах-сенсорах, подключенных между выводами  $SENSE^+$ ,  $V_{OUT}$  и  $SENSE^-$  микросхемы. Питание осуществляется то-

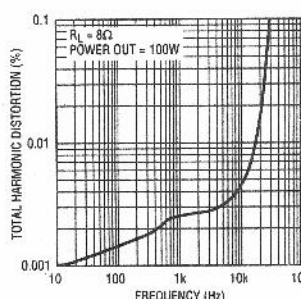
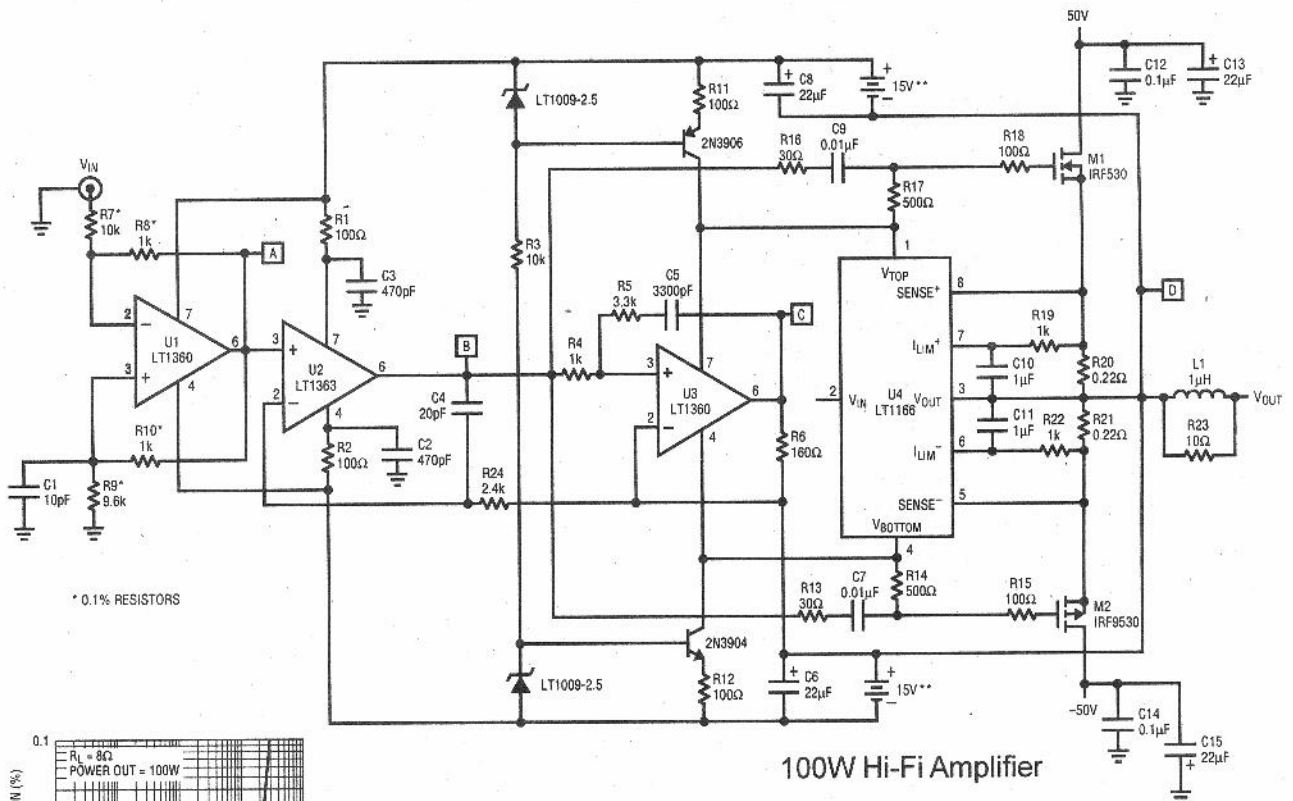
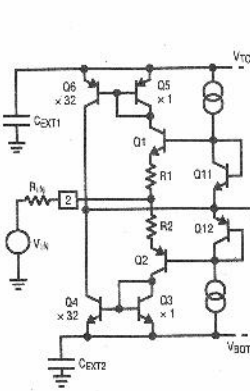
# НОВАЯ ТЕХНИКА И ТЕХНОЛОГИЯ



ком не менее 4 мА, который втекает в  $V_{TOP}$  и вытекает из  $V_{BOTTOM}$ . Принцип работы петли по напряжению рассмотрим на упрощенной блок-схеме с двумя внешними комплементарными полевыми транзисторами  $M_1$  и  $M_2$ . На положительной полуволне звукового сигнала дополнительный входной ток через резистор  $R_2$  втекает в эмиттер транзистора  $Q_2$  (включен по схеме с об-

ключением истока). В активном режиме токи эмиттера и коллектора почти равны, и поэтому ток эмиттера  $Q_4$ , т.е. усиленный в 32 раза входной ток, поступает в резистор  $R_{B1}$  выделяясь на котором в виде приращения напряжения (по закону Ома), повышает потенциал затвора транзистора  $M_2$ . А поскольку последний

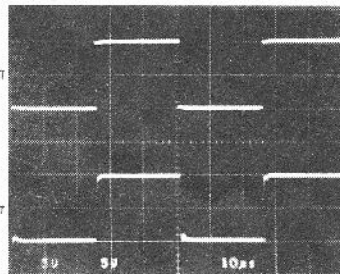
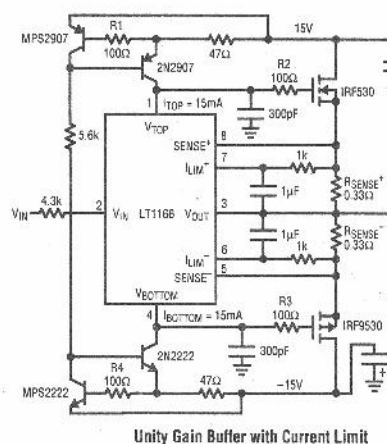
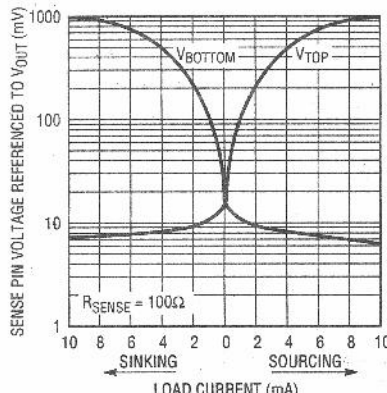
включен по схеме истокового повторителя, это влечет за собой повышение выходного напряжения  $V_o$ . Для рассмотрения принципа работы токовой петли обратимся ко второй упрощенной блок-схеме LT1166, также дополненной типовым внешним выходным двухтактным каскадом на комплементарных полевых транзисторах  $M_1$ ,  $M_2$ . Встроенный генератор тока  $I_{REF}$  питает одним и тем же током транзисторы  $Q_7$  и  $Q_8$ , образующие с  $Q_9$  и  $Q_{10}$  асимметричные (в смысле понижения тока коллектора в 10 раз) токовые зеркала. Необозначенные на схеме пары транзисторов, базы которых соединены с выходами ОУ, формируют дополнительные токовые зеркала, обеспечивающие протекание постоянных токов  $I_{REF}/10$  по однокилоомным резисторам в цепях неинвертирующих входов ОУ. Опять-таки по закону Ома, эти токи создают на неинвертирующих входах ОУ (по отношению к выходу  $V_o$ ) опорные напряжения  $V_{AB+}$ ,  $V_{AB-}$ . Операционным усилителям не остается ничего иного, как



щей базой) и с его коллектора поступает в асимметричное токовое зеркало  $Q_3Q_4$ . Площадь эмиттера  $Q_4$  конструктивно выполнена в 32 раза больше, чем у  $Q_3$ , поэтому токи  $Q_4$  в 32 раза больше токов  $Q_3$ , но оба строго пропор-

циональны. В активном режиме токи эмиттера и коллектора почти равны, и поэтому ток эмиттера  $Q_4$ , т.е. усиленный в 32 раза входной ток, поступает в резистор  $R_{B1}$  выделяясь на котором в виде приращения напряжения (по закону Ома), повышает потенциал затвора транзистора  $M_2$ . А поскольку

## Sense Pin Voltage Referenced to V<sub>OUT</sub> vs Load Current

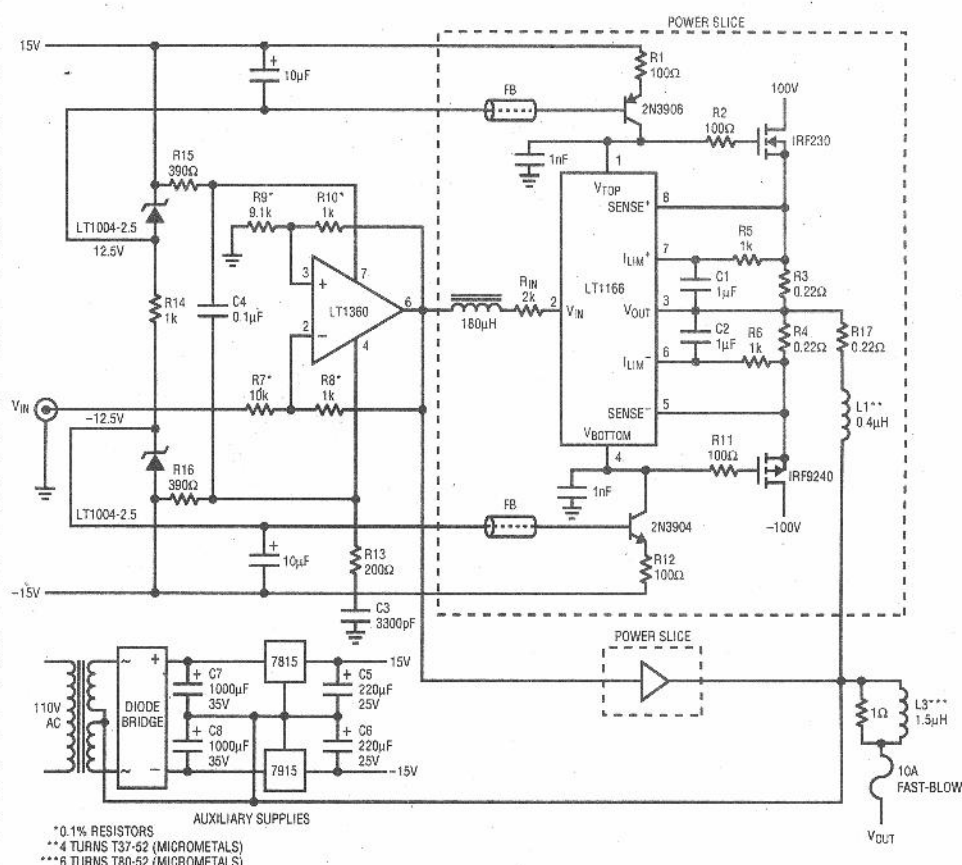


Unity Gain Buffer Amp Driving 1Ω Load

транзисторном умножителе Убэ? Таки да, но зато: а) принципиально устраняется термоустойчивость тока покоя транзисторов выходного каскада УМЗЧ, причем без необходимости монтажа LT1166 или каких-либо температурных сенсоров на радиаторы выходных транзисторов (ведь система авторегулирования стабилизирует ток, а не термокомпенсирует падение напряжения); и, что еще более важно: б) поскольку САР по току не привязана к звуковому сигналу, она предотвращает отсечку тока транзисторов выходного каскада - пресловутую «ступеньку». Важные для проектирования параметры LT1166, гарантируемые datasheetом: входной ток (по входу  $V_{IN}$ ) 2 мА, входное сопротивление 15 МОм, опорные напряжения  $V_{AB1} = V_{AB2} = 20$  мВ (0,02 В). Последнее означает, что если необходимо задать начальные токи транзисторов выходного каскада, скажем, 0,1 А, то сопротивление резисторов сенсоров тока должно быть  $R = 0,02$  [В] / 0,1 [А] = 0,2 [Ом]. Входы  $I_{LIM^+}$ ,  $I_{LIM^-}$  (см. выше общую блок-схему LT1166) позволяют организовать схему защиты от токовых перегрузок. Если напряжение между этими входами и выходом  $V_{OUT}$  превысит 1,3 В, то транзисторные ключи, базы которых соединены с  $I_{LIM^+}$ ,  $I_{LIM^-}$ , откроются и через прямосмещенные транзисторы в диодном включении Q5, Q3 резко уменьшат смещение транзисторов выходного каскада УМЗЧ, ограничив их ток. Заметим, что в конкретном применении вовсе не обязательно использовать обе петли авторегулирования LT1166 - вход  $V_{IN}$  можно оставить свободным («плавающим»). Пример изображен на схеме Hi-Fi УМЗЧ мощностью 100 Вт, рекомендованной datasheetом, в которой у U4 LT1166 задействована лишь токовая петля, выполняющая две функции - поддержания смещения между затворами мощных транзисторов M1 и M2 на уровне, который обеспечивает начальный ток стоков 0,02 [В] / 0,22 [Ом] = 91 мА, а также ограничение выходного тока на уровне 1,3 [В] / 0,22 [Ом] = 5,9 А. Здесь 0,22 Ома - сопротивление резисторов R20 и R21. Для раскачки затворов транзисторов выходного каскада звуковым сигналом используется ОУ U3, причем сам сигнал снимается не с выхода ОУ (контрольная точка C), а с шин питания ОУ, которые через R17 и

R14 соединены с затворами. Такое решение, в принципе, известно аудиосхемотехникам, и в данном случае заключается в перераспределении выходов генераторов тока (около 18 мА) на транзисторах 2N3906 и 2N3904 между U3 и U4.

Большее потребление тока операционным усилителем на пиках звукового сигнала (этот дополнительный ток замыкается с выхода ОУ на землю через относительно малоомный резистор R6) уменьшает ток, ответвляемый в U4, что приводит к снижению потенциала вывода  $V_{TOP}$ , а с ним и затвора с истоком полевого транзистора M1, т.е. выхода УМЗЧ (на отрицательной полуволне звукового сигнала аналогично управляет M2). В связи с тем, что выходное сопротивление U4 довольно значительно, как и емкость затвор-исток выходных транзисторов, раскачка последних по описанной схеме обладает значительной инерционностью, недостаточной для достижения малых нелинейных искажений на высших звуковых частотах. Для преодоления этого недостатка служит ОУ U2, который на высших звуковых частотах (выше границы, задаваемой ФВЧ R24C4), или, что фактически то же, на крутых перепадах звукового сигнала, через ускоряющие цепочки R18C9, R13C7 обеспечивает упреждающий перезаряд емкостей затворов. Наконец, ОУ U1 выполняет функции входного усилителя напряжения с  $K_u = (R8(R9 + R10))/(R8R9 - R7R10) = -26,5$ . Об



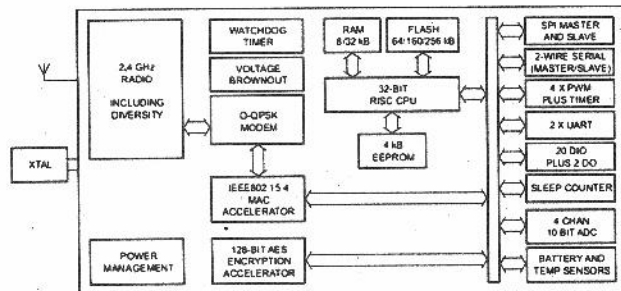
350W Power Amplifier

## НОВАЯ ТЕХНИКА И ТЕХНОЛОГИЯ

ратите внимание, что все ОУ благодаря конденсаторам С6, С8 работают с плавающим питанием, благодаря которому, например, на выходе U1 (контрольная точка А) максимальный размах выходного напряжения от пика до пика достигает 80 В, хотя напряжение между выводами питания ОУ никогда не превышает 30 В (или  $\pm 15$  В), допустимых по ТУ. В звуковом диапазоне частот описанный УМЗЧ при выходной мощности 100 Вт имеет коэффициент гармоник на уровне тысячных долей процента (см. график зависимости  $K_T$  от частоты). В datasheet (<http://www.linear.com/docs/3970>) приведена еще добрая дюжина разных применений этой уникальной микросхемы, из которых мы кратко упомянем еще лишь две (см. с. 23). Это сверхпростой мощный повторитель напряжения, работающий на нагрузку сопротивлением всего 1 Ом, а также усилитель повышенной до 350 Вт выходной мощности, достигнутой применением параллельного включения нескольких мощных выходных ступеней (на схеме они обведены пунктиром и обозначены SLICE).



**Новая микросхема приемопередатчика диапазона 2,4 ГГц JN5168 от NXP** ([http://www.nxp.com/products/rf/wireless\\_microcontrollers/JN5168.html#showall](http://www.nxp.com/products/rf/wireless_microcontrollers/JN5168.html#showall)) имеет ультра низкое энергопотребление, высокую производительность, поддержку сетевых протоколов JenNet-IP, ZigBee Smart Energy, ZigBee Light Link, RF4CE и IEEE802.15.4 и предназначена для использования в системах энергосбережения, домашней автоматизации, освещения, пультах дистанционного управления или беспроводных датчи-



как для различных приложений. В состав этой микросхемы вошли расширенный 32-разрядный RISC-процессор с 256 Кб встроенной флэш памяти, 32 Кб оперативной памяти и 4 Кб EEPROM и интегрированный трансивер 2.4 ГГц с поддержкой стандарта IEEE802.15.4. ИМС JN5168 поддерживает множество как цифровых, так и периферийных аналоговых устройств благо-

даря наличию 2-проводной IC, портов SPI, которые могут работать как ведущий или ведомый, четырех каналов АЦП с батареей и датчиком температуры. Благодаря низкому потреблению микросхема может работать до 10 лет с батарейным питанием. В спящем режиме она потребляет 0,6 мА. Рассчитана на батарейное питание от 2 до 3,6 В. Чувствительность приемника -95 дБм при потреблении 17 мА, а мощность передатчика 2,5 дБм при потреблении 15 мА.

**Новинка 2013 года автомобильная СВ радиостанция Yosan CB-250** (<http://ci-bi.by/yosan-cb-250-novinka-2013-goda/>) состоит из двух блоков: блока приемопередатчика

**YOSAN**



(TRX) и блока управления, который оригинально совмещен с микрофонной гарнитурой. Функциональность радиостанции: автоматический (ASQ) или 9-ти шаговый шумоподавитель, двойной фильтр на кабеле питания, легко читаемый дисплей в зеленом цвете (3 цвета подсветки), 38 CTCSS кодов - для частных переговоров с владельцами радиостанций с CTCSS, отображение выбранного канала и частоты, сканирование каналов, индикатор уровня принимаемого сигнала. Технические характеристики: модуляция: AM / FM, диапазон частот: 26,900 - 27,400 МГц (40 каналов), схемное построение: супергетеродин с двойным преобразованием частоты, мощность передатчика: 4 Вт, выходное сопротивление: 50 Ом, допустимое отклонение частоты:  $\pm 300$  Гц, максимальная чувствительность -120 дБм (AM), -121 дБм (FM) при 12 дБ SINAD, коэффициент нелинейных искажений <5%, глубина модуляции: AM 80% / FM 2.0 кГц, размеры блока TRX: 136x108x29 мм, размеры микрофона/блока управления и индикации: 115x60x35 мм, вес: 480 г (TRX) / 135 г (микрофон), напряжение питания: 13,8 В (10.8-15.6 В допуск), максимальный ток 1.7 А, гнездо для микрофона: RJ.

**Dog Park Software Ltd.**

Carrier 100%

Look Up Log QSO Clear Time On Time Off Log Map Cluster Help ⚙️

**VQ9KA** 2013-09-11 11:53:59

Time On 2013-09-11 11:53:22

Time Off MHz 21.27000 15M Mode USB Power RSTS RSTR Grid MI62er Locator iNet LL ITU IOTA CQ 10/10

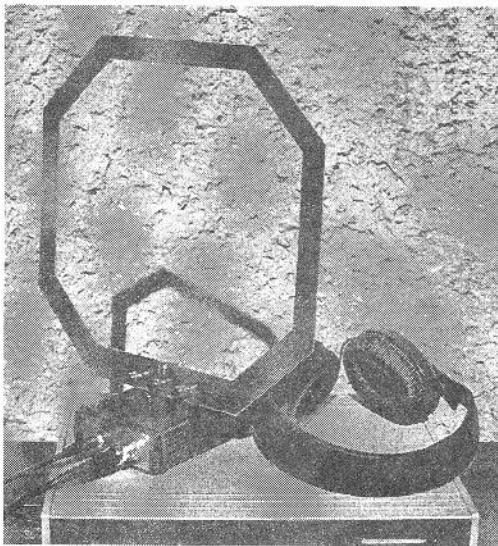
QSL Via DIRECT OR VIA JO1GWT, Mail DXCC 033 Chagos Islands URL DX de IZ2ZEX

Q. Call Sign	Time	DXCC	Band	↓	↑	9513/9513 QSOs in Log
2013-08-15 07:12:13 JD1BHA	Ogasawara	MIKIO	014.03700	20M	CW	
2013-07-29 14:52:51 CR2F	Azores	LH Dx'pedition	014.24200	20M	USB	
2013-07-20 09:47:40 IW5AB/P	Italy	GILBERTO	007.16000	40M	LSB	
2013-07-14 20:57:16 PY6RT	Brazil	Roberto	014.20000	20M	USB	
2013-07-14 20:56:27 KP4EIT	Puerto Rico	JOSE A	050.11990	6M	USB	

**Приложение MacLoggerDX HD для iPad (с OS MAC) фирмы Dog Park Software Ltd** ([http://www.dogparksoftware.com/MacLoggerDX\\_HD.html](http://www.dogparksoftware.com/MacLoggerDX_HD.html)) предназначено для радиолюбителей-связистов и позволяет вести аппаратный журнал, как при повседневной работе, так и в соревнованиях; пользоваться в режиме онлайн DX-клUSTERами; увидеть карту с трассами прохождения между QTH станций; экспортовать (импортировать) данные аппаратных журналов в ADIF.

**Магнитная рамочная приемная антенна RLA2** фирмы Reuter-elektronik (<http://www.reuter-elektronik.de/Produkte/RLA/rla.html>) характеризуется высоким динамическим диапазоном встроенного усилителя, низким энер-

гопотреблением, широким диапазоном рабочего напряжения и маленьким весом, что делает ее идеальной приемной антенной для мобильного использования. Она может использоваться и в стационарных условиях с возможностью замены небольших антенных рамок на большие стационарные антенные рамки во всепогодном исполнении. Полотно принимающей рамки RLA2 состоит из двух медных полосковых петель защищенных с двух сторон стеклотекстолитом как в печатных платах. На рамке установлен переключатель, с помощью которого можно выбирать одновитковую или двухвитковую конфигурацию антенного полотна. На корпусе усилителя есть переключатель усиление (высокое/низкое) с разницей в 10 дБ. Технические характеристики RLA2: размеры рамки антенны 260x260 мм, размеры усилительного блока 85x50x127 мм, рабочий диапазон частот 50 кГц ... 54 МГц, максимальная чувствительность -127 дБм, IP3 +30 дБм, IP2 +80 дБм, максимальное входное напряжение усилителя 1 Вэфф при 1 дБ компрессии, напряжение питания 5...13,8 В (максимум 14,4 В), входное сопротивление усилителя 50 Ом (BNC), условия эксплуатации 0...+50 °C при влажности не более 90%.



## НОВОСТИ

\* 20 ноября 2013 года успешно проведены Всеукраинские соревнования учащейся молодежи по радиосвязи на коротких волнах «Мини-тест ЮТ». Организаторы соревнований выражают благодарность всем взрослым участникам, поддержавшим «Мини-тест ЮТ». Благодаря вам, детям работалось веселей. Общее число участников выросло по сравнению с предыдущими соревнованиями и аналогичным мини-тестом 2012 г. Лидеры провели около 150 QSO за 2 часа. В логе UR4NXA 23 области Украины (кроме U,V,W,UT5J). Календарный план мероприятий по радиоспорту Украинского Государственного Центра внешкольного образования на 2014 год: [http://ur6gzw.at.ua/polozvenia/2014/PLAN\\_UDCPo\\_2014.htm7](http://ur6gzw.at.ua/polozvenia/2014/PLAN_UDCPo_2014.htm7) [Info: Виталий, UT7NW (помощник гл.тренера UR4NXA - Марины Климоновны Сипцовой, UT4NK)].

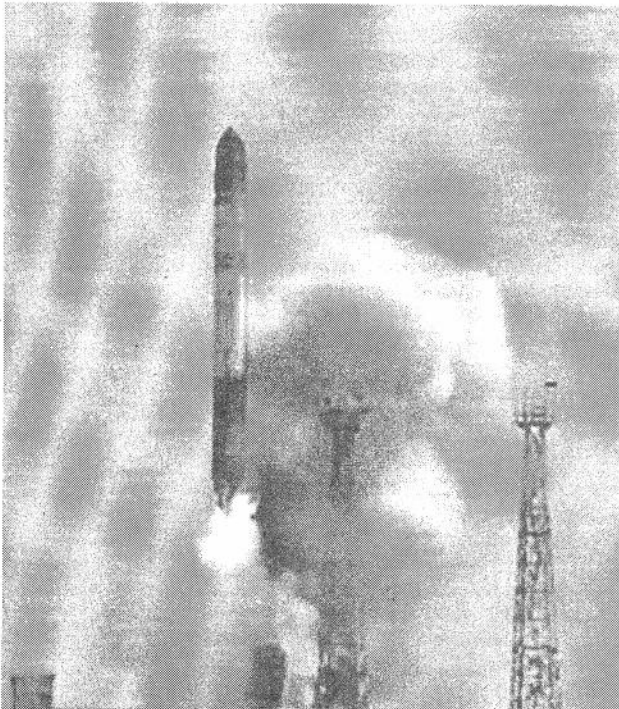
\* На сайте <http://nool.ru.org.ua/> опубликован подведенный ЛРУ рейтинг украинских участников соревнований на КВ 2012-2013 г.г. [Info: Николай Губенко, UY0ZG].

\* На сайте <http://www.vhf-uarl.org/> опубликованы предварительные результаты Кубка УКВ Комитета ЛРУ 2013 1-й тур [Info: UY0UP].



\* Запуск нового спутника с телеметрией и транспондером 144/430, FUNcube-1 (AO-73). 21 ноября в 11:10 по времени Москвы, в Оренбургской области, с космодрома Домбаровский, был осуществлен пуск ракеты космического назначения /РКН/ «Днепр» со спутниками в качестве основной нагрузки STSAT-3 и DubaiSat-2, а так же еще с 30-ю КА(Космическими аппаратами) в качестве попутного груза в том числе и спутником FUNcube-1. Пуск ракеты прошел успешно, через 15 минут в 11:25:48.330 МСК все спутники начали отделяться от последней ступени «Днепра» и успешно вышли на околоземную орбиту. Находящиеся еще 8 спутников на КА «UniSat-5», начнут отделяться от него примерно через месяц. Данный запуск стал 2-м запуском «Днепра» в текущем году. Примерно через 10 минут после разделения, была успешно получена и декодирована телеметрия, с помощью Приложения, и загружены в хранилище первые данные (ZS1LS в 07:37 и ZS6BMN из Южной Африки). Все основные параметры на FUNcube можно смотреть по телеметрии: температуру, напряжение батареи, состояние солнечных панелей, скорость зарядки, и т.д. Полученные данные отправляются в хранилище. Команда уже оценила некоторые примеры данных, которые будут основополагающими в образовательном аспекте. FUNcube благодарит всех радиолюбителей по всему миру за работу, которая продолжается и сейчас. В течение первых двух орбит спутник работал в безопасном режиме, с передачей маяка и низким энергопотреблением, всего 30 мВт. Далее ему давали команды в так называемом учеб-

## QUA-ULAR



ном режиме, которые позволили увеличить мощность до 300 мВт. Это позволило быть доступным в SSB на КПК с использованием штыревых антенн. Команда FUNcube просит продолжать наблюдение за спутником для получения телеметрических данных, и загружать ее в хранилище Данных, вместе со своими данными. FUNcube-1 отвечает всем требованиям, предъявляемым к линейке спутников OSCAR, включая координацию через IARU, и на основании этого 21 ноября изменено наименование с FUNcube-1 на «AMSA-TOCKAP-73» или «AO-73». Многие радиолюбители, скачав и установив декодер, прислали отчеты о принятой телеметрии, и тем самым помогли организаторам проанализировать работу систем спутника, и далее начать работы по дальнейшему включению транспондера. Примеры принятой телеметрии находятся по ссылке: <http://funcube.org.uk/working-documents/telemetry-examples/>. Файл FUNcube\_Dashboard\_v806. Софт для просмотра телеметрии можно скачать по этой ссылке: [http://download.funcube.org.uk/FUNcube\\_Dashboard\\_v806.msi](http://download.funcube.org.uk/FUNcube_Dashboard_v806.msi). FUNcube-1 (AO-73) сейчас работает в двух режимах: образовательный и транспондерный. В «образовательном» режиме спутник работает на освещен-

(Окончание на с. 42)

**А. Литаврин** в довольно объемной (растянутой на три номера журнала - «Радио» №9/2013, с.8-12, №10, с.15-19, и №11, с.8-10) статье сделал попытку обосновать право на жизнь в аудиофильском мире предлагаемых им УМЗЧ с т.н. МКУС (многоканальными усилительными структурами) и «гиперглубокой» ООС. Блок-схема предлагаемого УМЗЧ изображена на **рис.1**. Под аббревиатурой ПУС автор представляет прецизионный усилитель сигналов, а ВУМ - выносной усилитель мощности. Здесь подразумевается, что самый мощный низкочастотный канал образуется последовательно соединенными усилителями A1 - 2DA1 - 2DA2 - A4 - 2VT1...12, второй канал, менее мощный, но более быстродействующий и компенсирующий искажения мощного НЧ, образован конденсатором 2C21 и ОУ 2DA2, следующий третий канал сформирован на 2DA3 (он по задумке еще быстрее второго и компенсирует недокомпенсированное этим самым вторым), ну и по аналогии четвертый канал сформирован на 2DA4. Чтобы работающие на общую нагрузку включенные параллельно выходы всех четырех каналов не «коротили» друг друга вместо нагрузки, их выходы соединены через LC-фильтры низких частот, основными элементами которых являются катушки индуктивности 2L1...2L4, L1; частоты среза фильтров повышаются (по схеме сверху вниз) так, что на частотах, на которых ток в нагрузку отдаёт, скажем 2DA3, выходы верхних каналов (в данном случае 2DA2 и A4 - 2VT1...12) оказываются уже отрезанными от нагрузки. А каково же назначение DA1 блока ПУС? В отличие от мощного НЧ канала ВУМ, транзисторы которого работают в довольно искажающем режиме класса В, все элементы ПУС работают в самом линейном режиме класса А, а ОУ DA1 на своем инвертирующем входе сравнивает ток, поступающий с выхода усилителя через цепочку R30C10, с током входного ИТУНа (источника тока, управляемого напряжением) A2. Если ИТУН A2 идеален, то формируемый им ток идентичен входному сигналу УМЗЧ, и в инвертирующем вход DA1 будет поступать ток, соответствующий искажениям на выходе УМЗЧ, т.к. искажения - это разность между смасштабированным (деленным на коэффициент усиления) выходным сигналом и входным. С выхода DA1 выделенный сигнал искажений возвращается для компенсации в ВУМ, но уже по цепочке снизу-вверх. Дальнейший полет мысли

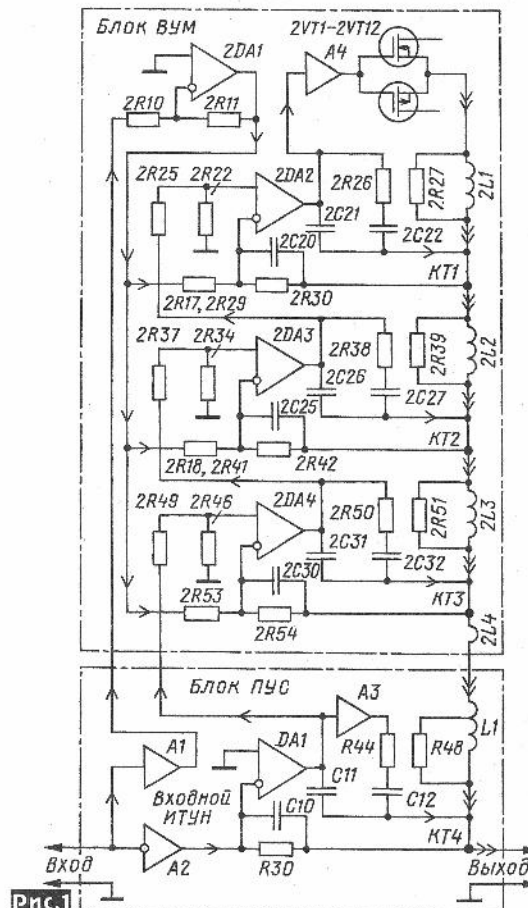


Рис.1

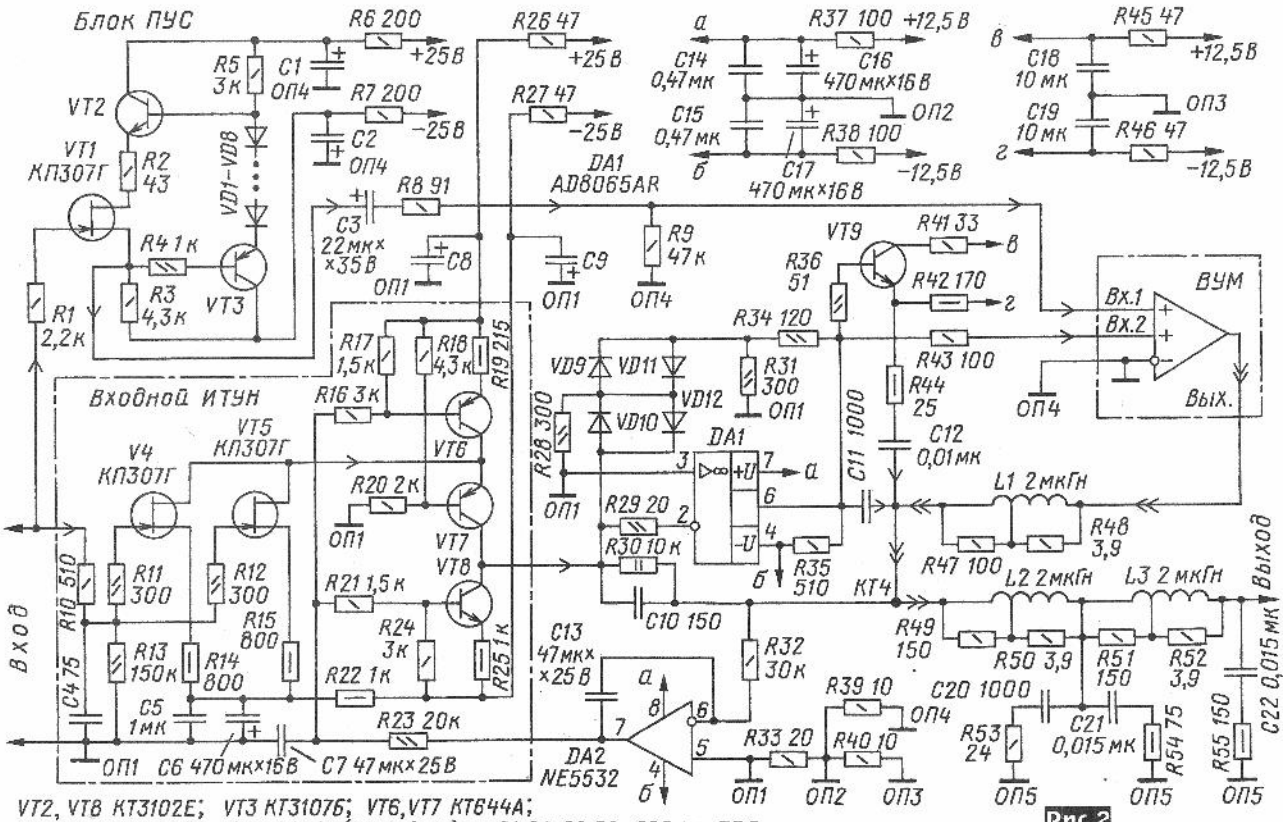
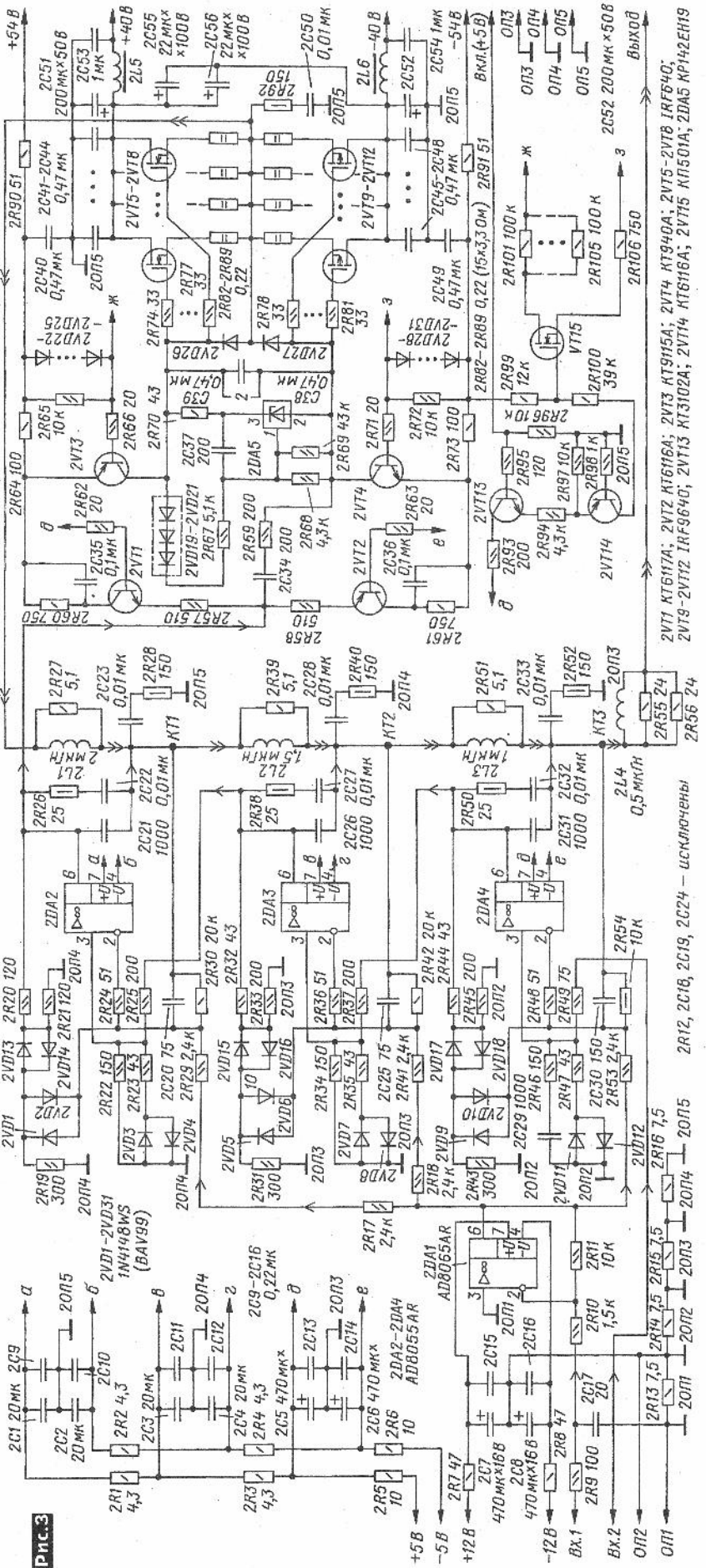


Рис.2

автора просто с ногами забыт, ведь по его убеждению, «общий коэффициент усиления по всем петлям обратных связей всего УМЗЧ равен  $4 \times 70 + 20 = 300$  дБ». [Примечание: 70 дБ - это коэффициент усиления ОУ типа AD8055/65 (примененных в качестве 2DA1-2DA4 и DA1) на частоте 20 кГц с разомкнутой ООС, а +20 дБ - коэффициент усиления каскада A4 перед транзисторами ВУМ]. Подразумевается, что любая самая грубая нелинейность, поделенная на 300 дБ (помните «гиперглубокость ООС» в названии статьи?), просто исчезнет - превратится в нуль, а раз нет нелинейности, то остается лишь абсолютная линейность, т.е. полное отсутствие искажений. А что же на самом деле? А по жизни каждый из ОУ схемы рис. 1 охвачен довольно глубокой местной ООС (например, 2DA2 - через 2C21, 2R17, 2R29, 2R30, 2C20; при этом коэффициент усиления 2DA2 равен на звуковых частотах  $K_u = 2R30/(2R17 + 2R29) = 20/(2,4 + 2,4) = 4,16$  раз или чуть больше 12 дБ, но никак не 70 дБ; а на ВЧ из-за действия 2C20, 2C21  $K_u$  вообще стремится к нулю), да и упомянутые выше LC-фильтры нижних частот вне полосы своего пропускания фактически разрывают цепь общей ООС, сводя ее глубину если и не к нулю, то к более чем приземленным значениям. Поэтому фраза «общий коэффициент усиления по всем петлям ОС = 300 дБ» по смыслу мало отличается от «общее сопротивление всех резисторов = 1234567 кОм». Ну да ладно с ней, с теорией, а что же на практике? На рис. 2 изображена принципиальная схема блока ПУС, а на рис. 3 - блока ВУМ. В ПУСе ключевой для общей линейности элемент - ИТУН, ведь он единственный, не охваченный ни «гиперглубокой», ни вообще никакой другой линеаризующей ООС (это явно видно на блок-схеме рис. 1). Как признает и сам автор, «именно конечная линейность ИТУН оказывается доминирующей в результате линейности всего УМЗЧ». Поскольку во всех трех частях статьи автор не привел ни одной из технических характеристик УМЗЧ, за исключением осцилограмм искажений в контрольных точках КТ1...КТ4, редакция «РХ» решила «промикрокапать» критический элемент - ИТУН. На рис. 4 показана схема модели, использованная нами для анализа в программе Microcap 10, а на рис. 5 изображена рассчитанная зависимость коэффициента гармоник ее выходного тока, привязанная к выходному напряжению, формируемому этим током на резисторе сопротивлением 10 кОм (R30 на рис. 1 и рис. 2). Результат довольно плачевый - коэффициент гармоник 9% достигается уже при напряжении звукового сигнала 1 В. Буферный усилитель A1 (входит в ПУС на рис. 1), выполненный на транзисторах VT1...VT3 в схеме рис. 2, также нельзя признать удачным. Результат анализа его схемы (рис. 6) показал, что и тут с линейностью, мягко говоря, не все в порядке: уже при выходном напряжении 1,6 В коэффициент гармоник переваливает за 2% (рис. 7). Так что «прецisionность» ПУС - такой же пустой



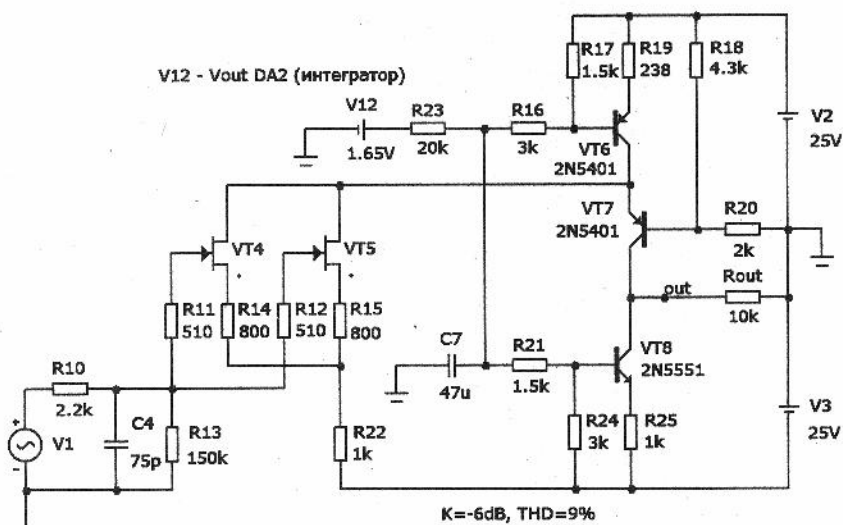


Рис.4

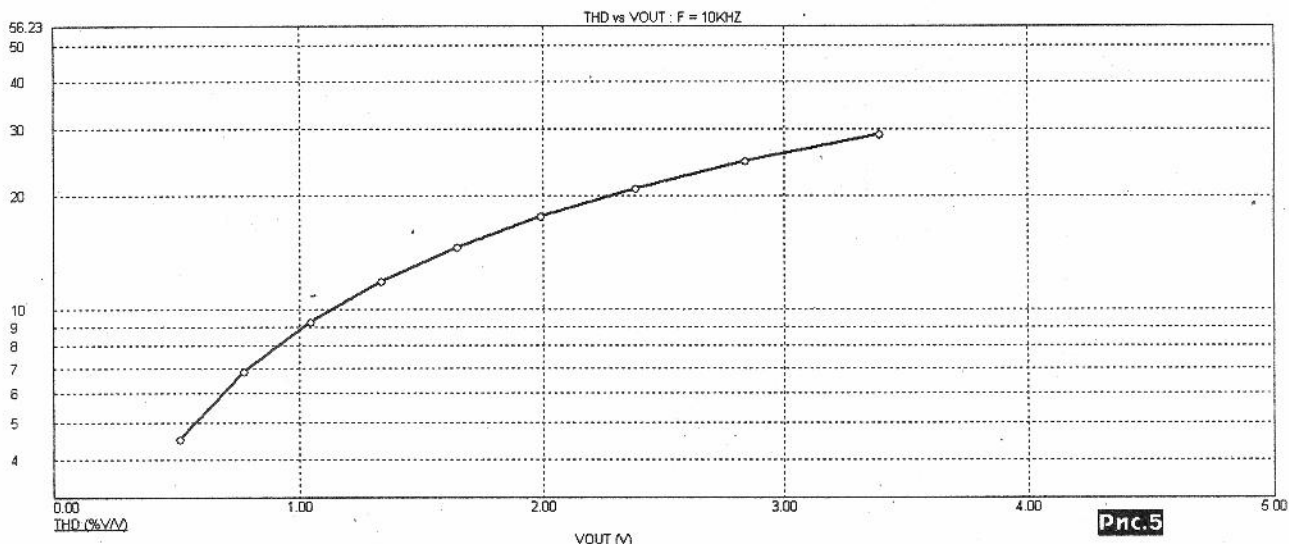


Рис.5

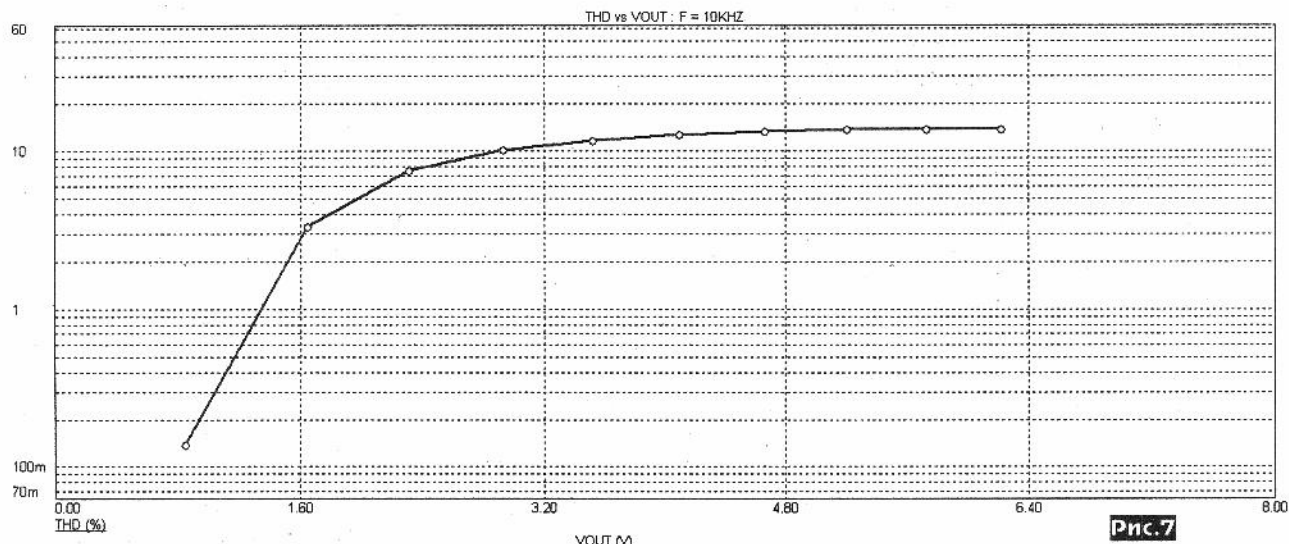
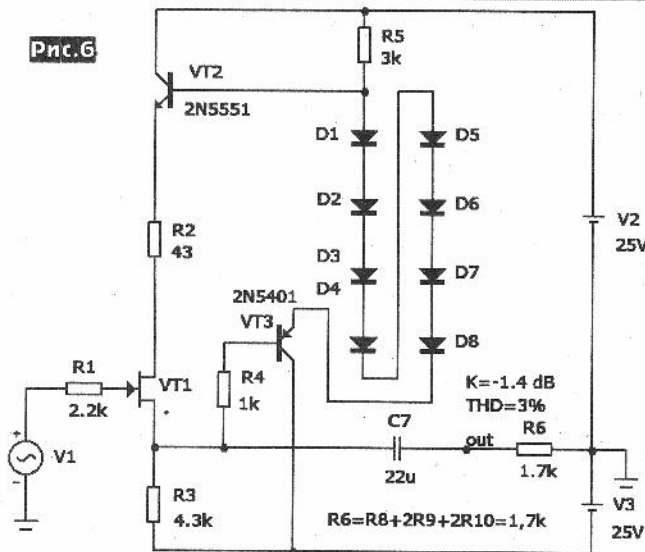


Рис.7

Рис.6



звук, как и «гиперглубокость» общей ООС. Моделирование выходного каскада (рис.8) без МКУС, как самостоятельного элемента, показало его работоспособность, но с посредственной линейностью - коэффициент гармоник вплоть до начала ограничения составляет около 1% (рис.9). К сожалению, нам не удалось заставить Microcap 10 проанализировать всю схему УМЗЧ А. Ли-

таврина «в сборе»: модуль анализа Microcap после долгих раздумий выдавал ошибку Convergence error, что чаще всего свидетельствует о потенциальной неустойчивости системы. Примечание редакции «PX». Схемные файлы (\*.cir для Microcap 10), использованные нами для анализа, доступны для скачивания на сайте нашего журнала в разделе, посвященном декабрьскому номеру за 2013-й год.

Джон Кларк постарался сконцентрировать в своем УМЗЧ класса D наиболее свежие и прогрессивные достижения схемотехники, благодаря чему описанный ниже усилитель можно смело отнести к области Hi-Fi, а не просто к мощной аудиотехнике с высоким КПД. Автор акцентирует, что буква D в обозначении класса работы выходной ступени означает вовсе не digital (цифровой), а продолжение ряда классификаций А (транзистор находится в активном режиме в

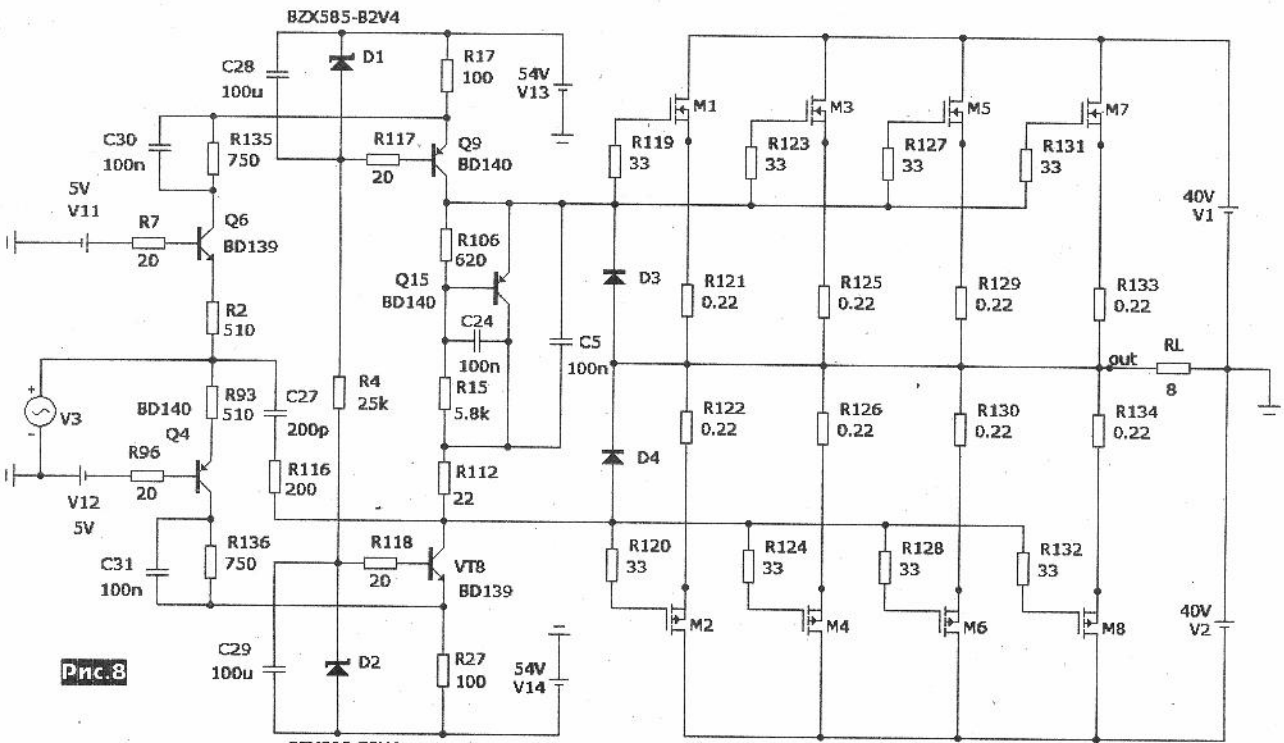


Рис.8

100Hz K=58dB, 20kHz K=20dB, P1=200Hz, F1=200kHz THD, 20kHz-1,2%

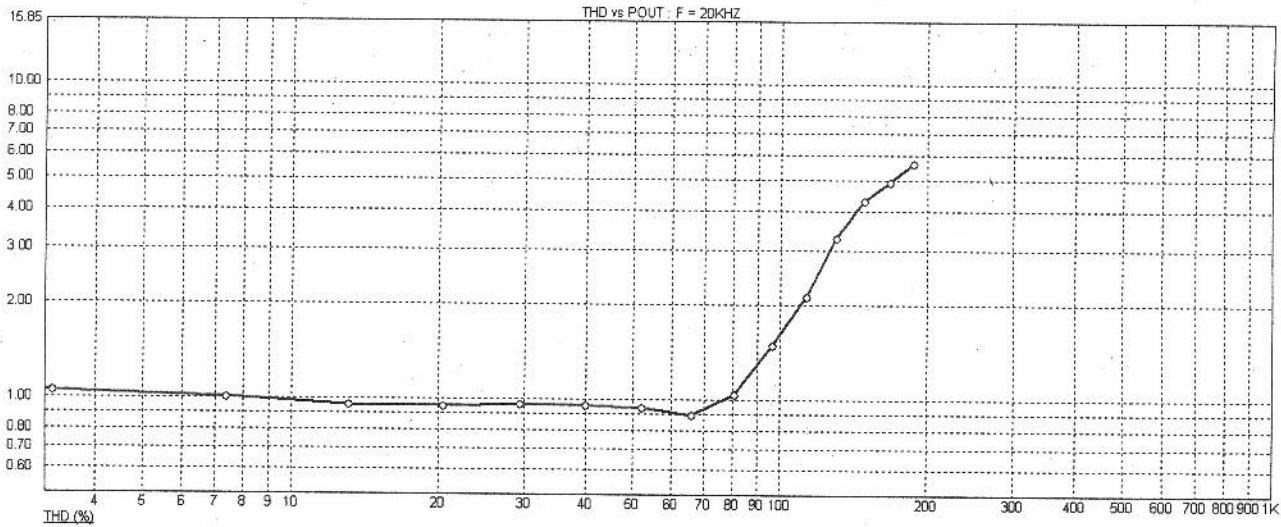
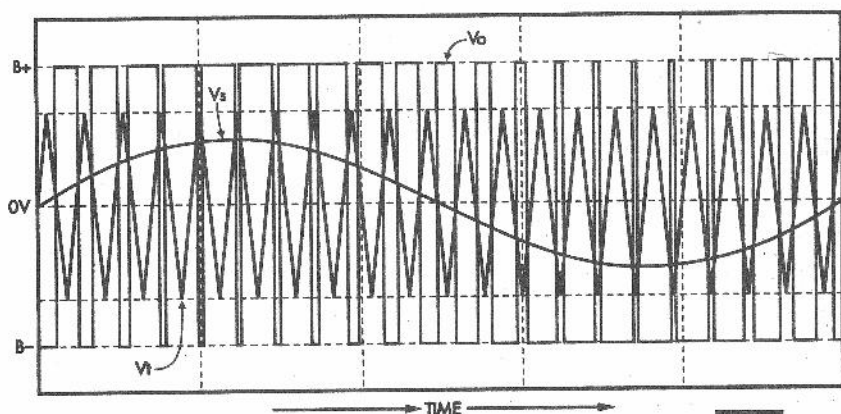
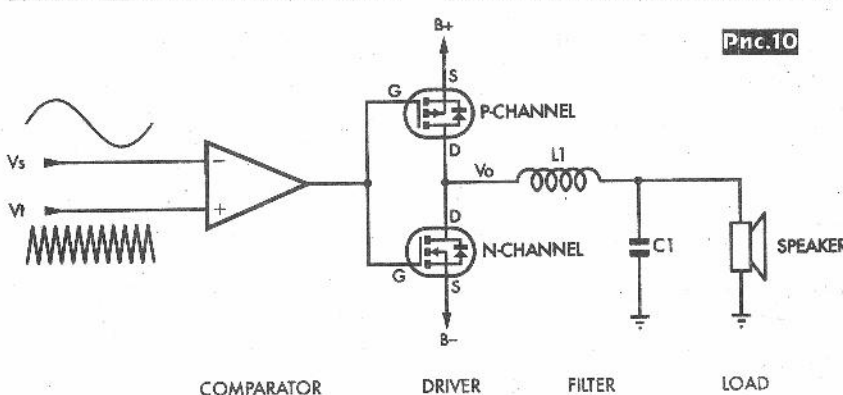


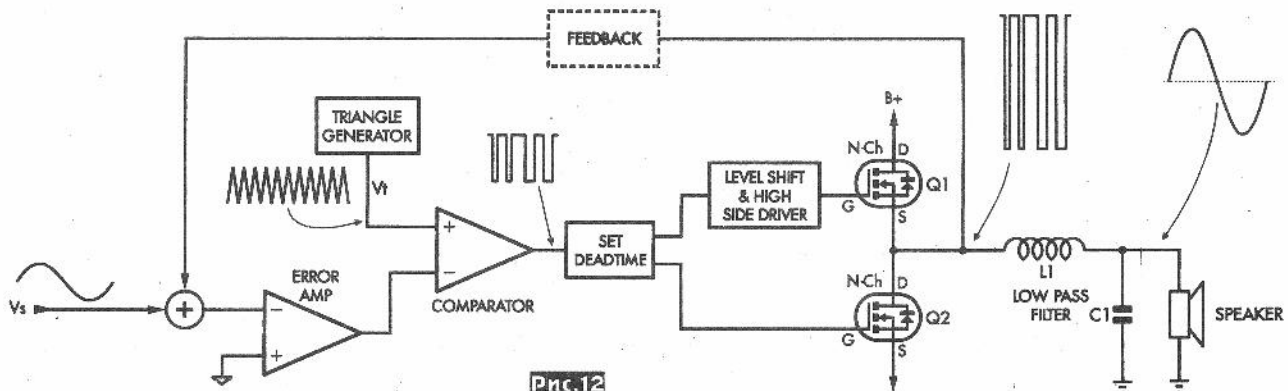
Рис.9



течение всего периода звукового колебания), В (полпериода), С (меньше, чем полпериода) и, наконец, Д (транзистор вообще не находится в активном режиме, а только попеременно в режиме отсечки или насыщения). На **рис. 10** изображена структурная схема УМЗЧ класса D первого поколения. Здесь компаратор, на один из входов которого подается напряжение пилообразной формы от задающего генератора частотой в несколько сотен кГц, а на второй вход — напряжение звукового сигнала, выполняет роль широтно-импульсного модулятора (ШИМ), скважность напряжения прямоугольной формы на выходе которого динамически изменяется таким образом, что его среднее (за период несущей

«пилы») значение оказывается пропорционально мгновенному значению звукового сигнала. Выход компаратора попрерменно открывает мощные ключевые транзисторы противоположного типа проводимости (N-канального и P-канального). Осциллограммы напряжений, иллюстрирующие работу, отображены на **рис. 11**. L1 и C1 формируют ФНЧ второго порядка, частота среза которого лежит выше высшей частоты звукового диапазона, но ниже частоты несущей «пилы» и поэтому в динамик SPEAKER попадают практически только сигналы звуковой частоты, а небольшой остаток несущей существенной роли не играет, т.к. сотни килогерц не воспроизведутся ни одним самым высокочастотным дина-

миком. Эволюция в течение многих десятилетий вывела следующие основные недостатки схемы **рис. 10**: 1) из-за большей инерционности отключения по сравнению с инерционностью включения, в моменты переключения мощных транзисторов через них протекает кратковременный, но очень значительный по величине т.н. «сквозной» ток, резко снижающий КПД и способный вывести транзисторы или блок питания из строя, причем даже в отсутствии звукового сигнала; 2) из-за того, что инерционность мощных транзисторов с каналом Р-типа существенно больше, чем транзисторов с каналом N-типа, возникает асимметричная погрешность в отработке фронта и спада ШИМ, выливающаяся в повышение нелинейных искажений звукового сигнала; 3) при случайному коротком замыкании нагрузки транзисторы выходного каскада моментально сгорают из-за резкого превышения тока; 4) при включении и выключении питания переходные процессы сопровождаются очень громкими щелчками в динамиках. Структурная схема современного УМЗЧ класса D, предложенная Джоном, изображена на **рис. 12**. В выходном каскаде здесь применены однотипные мощные МОП транзисторы с каналом типа N. Они имеют минимальное, а главное, одинаковое время переключения, что позволяет эффективно предотвратить «сквозной» ток путем точной регулировки времени «мертвой зоны» (deadtime) — минимальной задержки между выключением одного транзистора и включением другого. Важность точной регулировки «мертвой зоны» объясняется тем, что ее превышение сверх того значения, при котором прекращается «сквозной» ток, приводит к нарушению положения фронта и спада ШИМ и возникновению нелинейных искажений звукового сигнала, подобных «ступеньке» в УМЗЧ класса В. В связи с этим в схеме **рис. 12** появился отдельный узел SET DEADTIME. Поскольку для полного отпирания МОП-транзистора Q1 с каналом N-типа потенциал его затвора должен быть примерно на 12 В выше потенциала положительной шины питания B+,



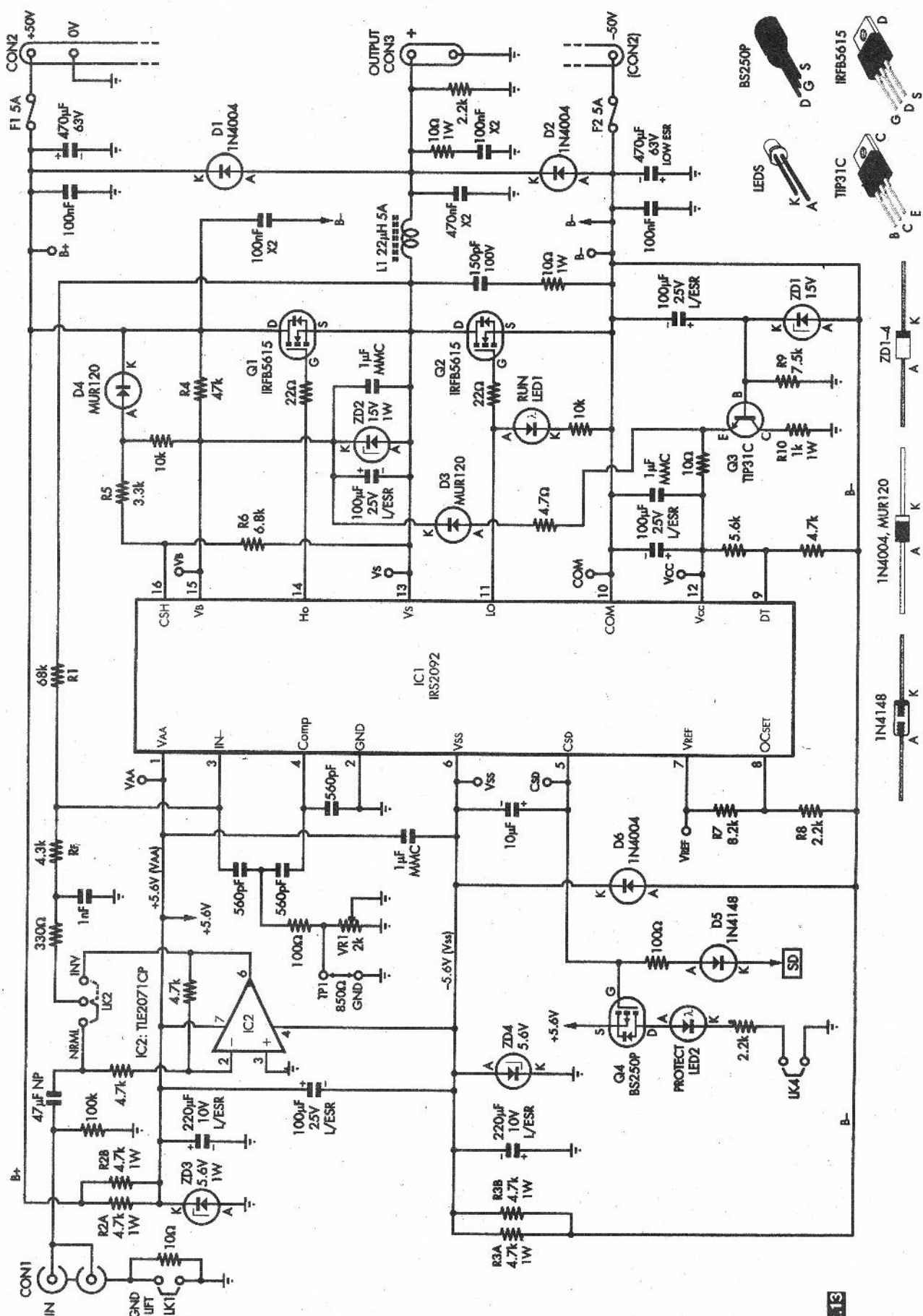


Рис.13

# ДАЙДЖЕСТ

а делать персональный блок питания для единственного затвора довольно расточительно, в схему введен блок динамической вольтодобавки LEVEL SHIFT & HIGH SIDE DRIVER. Интересно и схемное решение отрицательной обратной связи FEEDBACK. Как видно из рис. 12, она снимается до ФНЧ L1C1, т.е. представляет собой не отфильтрованный звуковой сигнал, а ШИМ напряжение прямоугольной формы. Суммируясь с входным звуковым напряжением, оно поступает на инвертирующий вход усилителя сигнала ошибки ERROR AMP, а уже потом подается на вход компаратора COMPARATOR. Такое решение известно как дельта-сигма модулятор второго порядка (*second-order delta-sigma modulation*) и позволяет использовать линеаризующие свойства отрицательной обратной связи без включения в ее петлю ФНЧ L1C1 (как и любой другой ФНЧ, он вносит значительную фазовую задержку и тем самым ограничивает эффективность и быстродействие ООС на высших звуковых частотах). Принципиальная схема УМЗЧ Джона Кларка представлена на рис. 13. Ее ядром является ИМС IC1 IRS2092 производства International Rectifier, блок-схема которой изображена на рис. 14. ОУ с переменной крутизной и токовым выходом (OTA на рис. 14) с двумя внешними конденсаторами по 560 пФ между выводами IN+ и Comp ИМС IC1 (рис. 13) формируют интегратор, работающий как генератор пилообразного напряжения благодаря напряжению прямоугольной формы, поступающему на вход IN- через резистор OOC R1. С другой стороны, на этот же ОУ через R<sub>f</sub> поступает напряжение звукового сигнала, и коэффициент усиления всего устройства получается, как и в обычном ОУ в инвертирующемключении, равным  $K_u = R_1/(R_f + 330) = 14,7$  раз или 23 дБ. Совместно с интегриро-

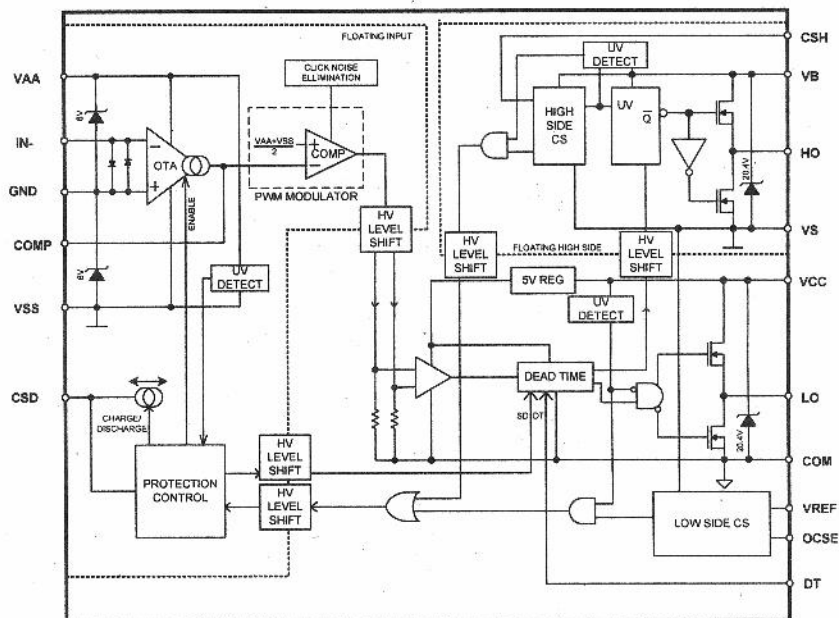


Рис.14

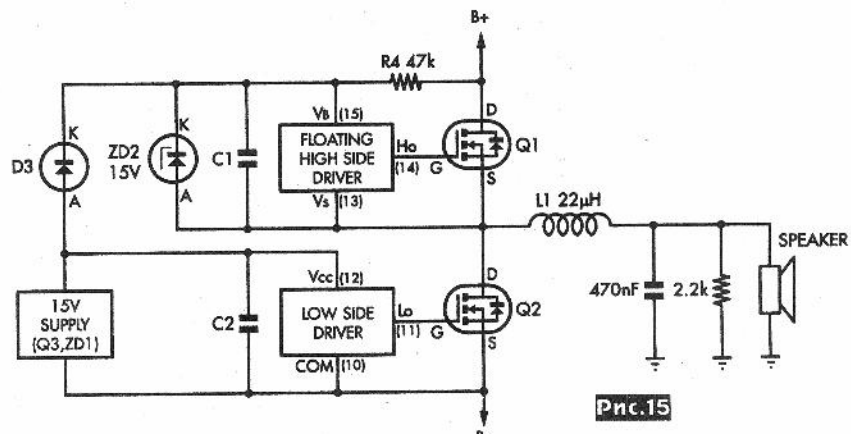
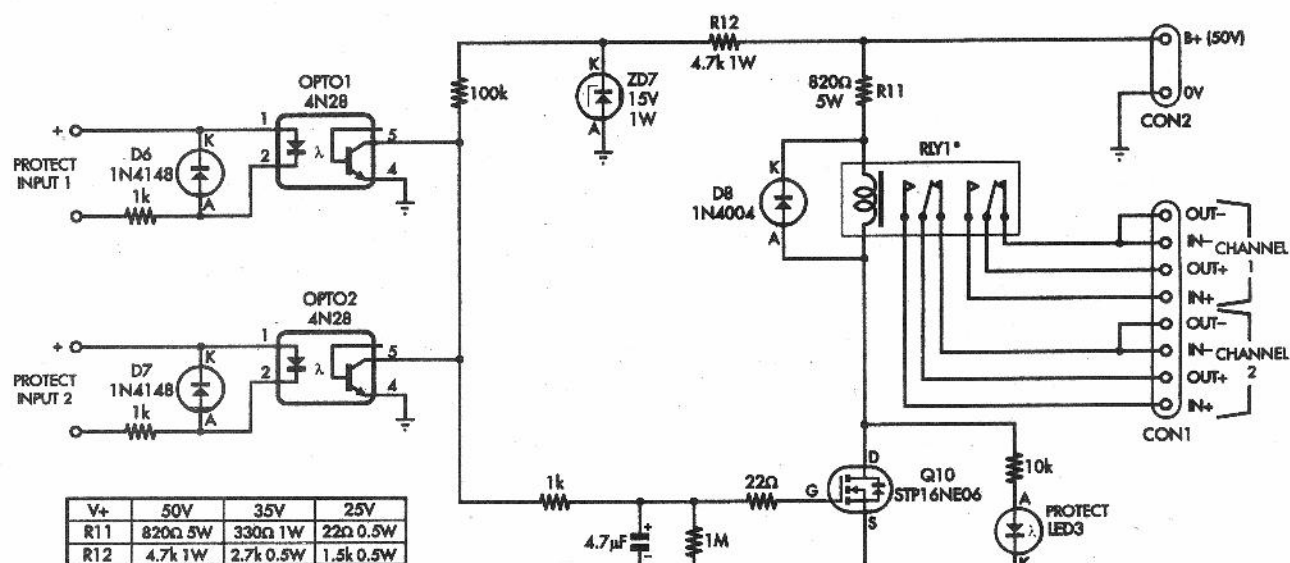
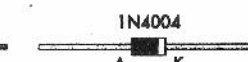


Рис.15



\*REY1 HAS A 24V/650Ω COIL

Рис.16



ванным компаратором COMP, ОТА (рис. 14) вот таким «хитрым», но изящным схемным решением реализует упомянутый выше принцип дельта-сигма модулятора второго порядка без дополнительных генераторов «пилы» и пр. Рабочая несущая частота - около 500 кГц. Большинство остальных элементов блок-схемы рис. 12 также интегрированы в IRS2092, за исключением разве что мощных транзисторов Q1, Q2, которые располагаются на ребристом радиаторе 100 x 33 x 30 мм. Отдельного рассмотрения заслуживает схема вольтодобавки, упрощенный вариант которой изображен на рис. 15. Напряжение на конденсаторе C1 ограничено 15 В стабилитроном ZD2. Когда открыт транзистор Q2, C1 заряжается через прямосмещенный диод D3, а когда в противоположный полупериод Q2 закрыт, а Q1 открыт, то D3 запирается, а C1 прилагает свое напряжение 15 В между истоком и затвором Q1 через открытый внутренний транзистор между

Рис.17

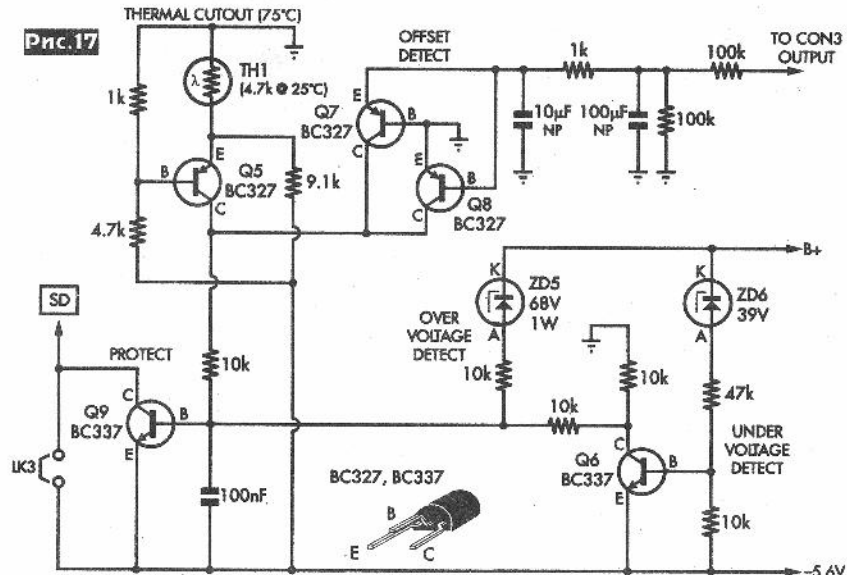


Рис.18

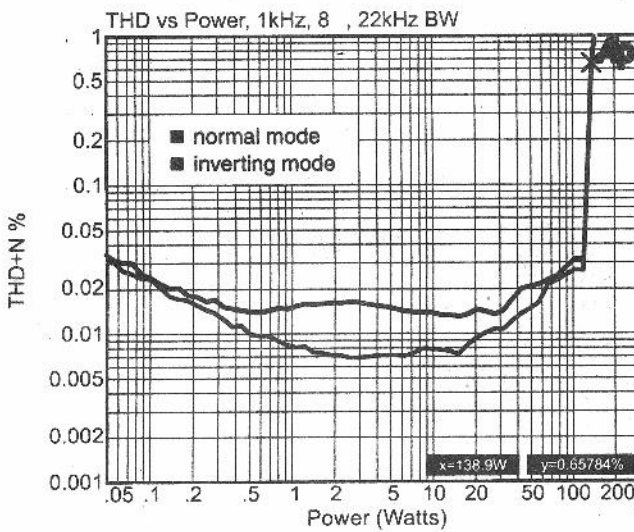
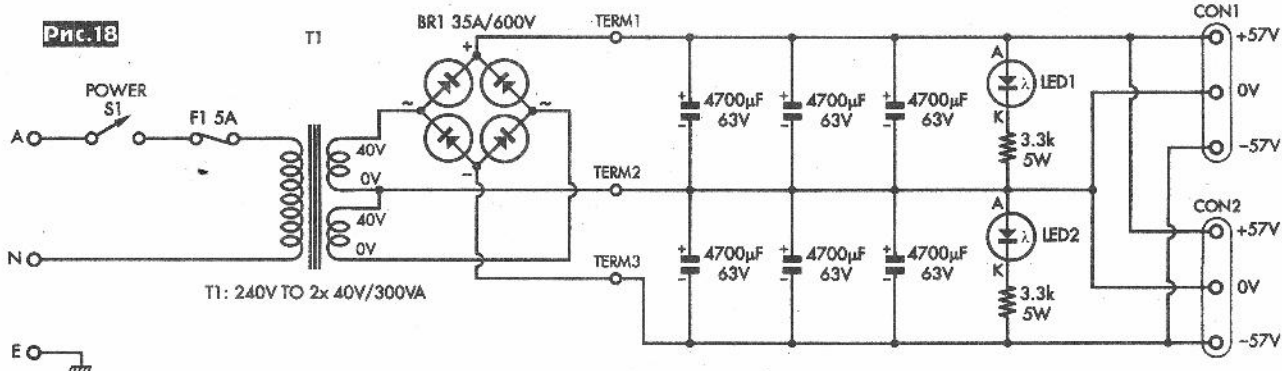
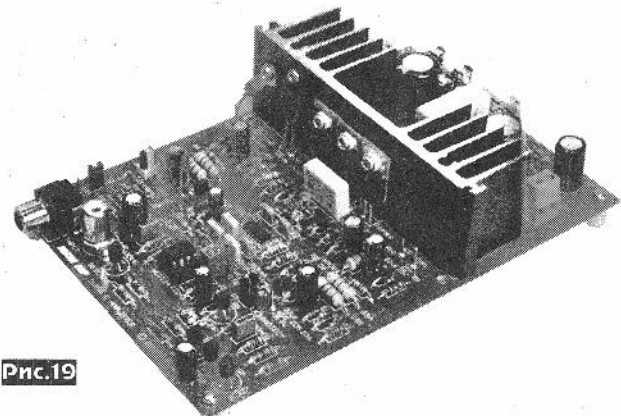


Рис.19



выводами VB и H0 (рис. 14). Резистор R4 (рис. 15) обеспечивает подзарядку C1 в случае, если оба транзистора Q1 и Q2 закрыты (в нерабочем режиме аварийного отключения при перегрузках/перегреве, а также в моменты принудительного приглушения при включении/выключении питания). Но вернемся к схеме рис. 13. Опорное напряжение 5,1 В на выводе 7 IC1 делится резисторами R7 и R8 до 1,08 В и подается на вывод 8 - один из входов компаратора системы защиты от токовой перегрузки «нижнего» клю-

ча Q2 (LOW SIDE CS на рис. 14). Второй вход этого компаратора следит за напряжением на транзисторе Q2, когда он открыт. По техническим условиям сопротивление открытого канала Q1, Q2 IRFB5615 составляет 35 мОм, значит, при токе  $I = U/R = 1,08$  [В] / 0,035 [Ом] = 30,8 А схема защиты закроет его и защитит от терморазрушения. Порог срабатывания токовой защиты верхнего ключевого транзистора Q1 задается резисторами R5 и R6. Транзистор Q4 в аварийных ситуациях включает индика-

торный светодиод LED2, в разрыв джампера LK4 можно подключить оптопары OPTO1, OPTO2 схемы релейной защиты акустических систем (рис. 16). На рис. 17 изображена схема защиты от перегрева (порог 75 °C) радиатора транзисторов Q1, Q2 (на нем монтируют термистор TH1), от нештатного (больше ± 4 В) постоянного напряжения на выходе (Q7, Q8), недо- (< 40 В) или перенапряжения (> 75 В) питания (ZD5, ZD6, Q6). Ее выход - коллектор Q9 соединяют с катодом диода D5 на рис. 13. ОУ IC2 на



рис. 13 выполняет роль инвертора фазы звукового сигнала. Инверсию можно включить или отключить джампером LK2. Автор отмечает, что кроме выбора мостовой конфигурации двух усилителей для умножения вдвое, инверсия оказывается полезной и для стереоварианта усилителя. Джон рекомендует в один из стереоканалов ввести инверсию фазы, которую скомпенсировать изменением полярности подключения акустической системы к выходу этого канала. А второй стереоканал оставить без инверсии. Такое архитектурное решение позволит разгрузить общий блок питания (рис. 18), поскольку на статистически самых мощных звуковых сигналах - синфазных НЧ импульсах - вместо удвоенного тока потребления одной и той же полярности, усилители левого и правого каналов будут потреблять от блока питания разнополярные импульсы одиночной амплитуды, что вдвое снизит пульсации и устранит динамическую асимметрию напряжений питания. На нагрузке 8 Ом усилитель развивает мощность 2 x 150 Вт, на 4 Ома - 2 x 250 Вт, в мостовом включении 500 Вт на 8 Ом. Коэффициент гармоник - в районе сотых долей процента (рис. 19 - для нагрузки 8 Ом, верхний график при включенной инверсии), АЧХ 10 Гц ... 20 кГц ( $\pm 1$  дБ), уровень собственных шумов -103 дБ, чувствительность 2 В («*Everyday Practical Electronics* №11/2013, с. 10-20, №12/2013, с. 28-37 \*).

**Янс Никел, Ахим Ленгл и Бернд Коппендорфер** предложили схему веб-сервера, предназначенного как для мониторинга, так и удаленного управления объектами через сеть интернет. Блок-схема устройства изображена на рис. 20. Его ядром является микроконтроллер ATmega256A3, выбранный ввиду наличия достаточно большого числа (6, из которых на плате используется 3) числа аппаратно реализованных UART модулей, 256 КБ флэш памяти и 16 КБ ОЗУ. Принципиальная схема приведена на рис. 21. Поскольку микроконтроллер IC5 питается единственным напряжением 3,3 В, для обеспечения возможности работы с внешними устройствами на 5-вольтовой логике наряду с импульсным преобразователем на 3,3 В IC2 пришлось использовать еще один IC1 на 5 В. Оба подключаются к внешнему источнику 12 В через разъем K2 или K5 (при замыкании джампера JP1). 6-контактный разъем K1 используется для внутрисхемного программирования и отладки (поддается программатор AVRISP mkII). Сигналы PC2, PC3 одного из UART портов IC5 через дифференциальный полу/полнодуплексный трансивер IC3 и разъем K5 (линии A и B) подключаются к устройству, поддерживающему протокол RS-485. Цифровые сигналы DE и /RE управляют передачей и приемом IC3, джампером

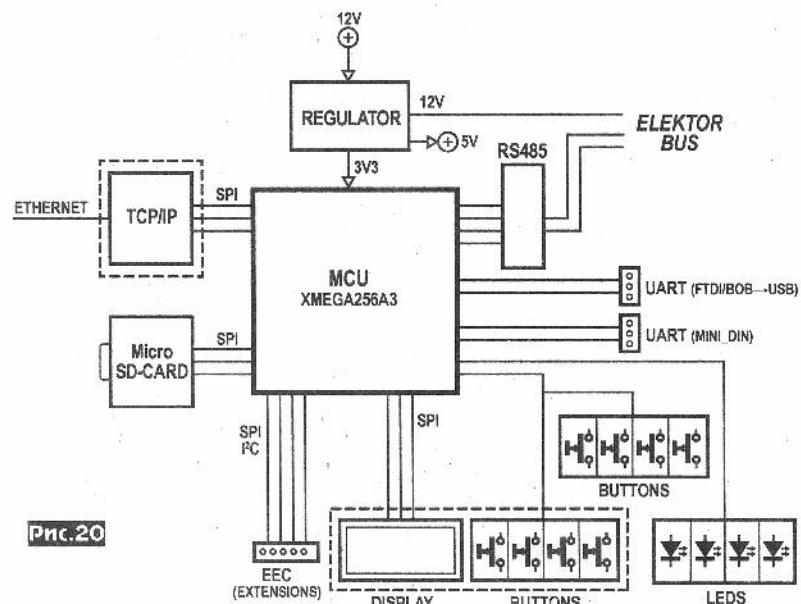
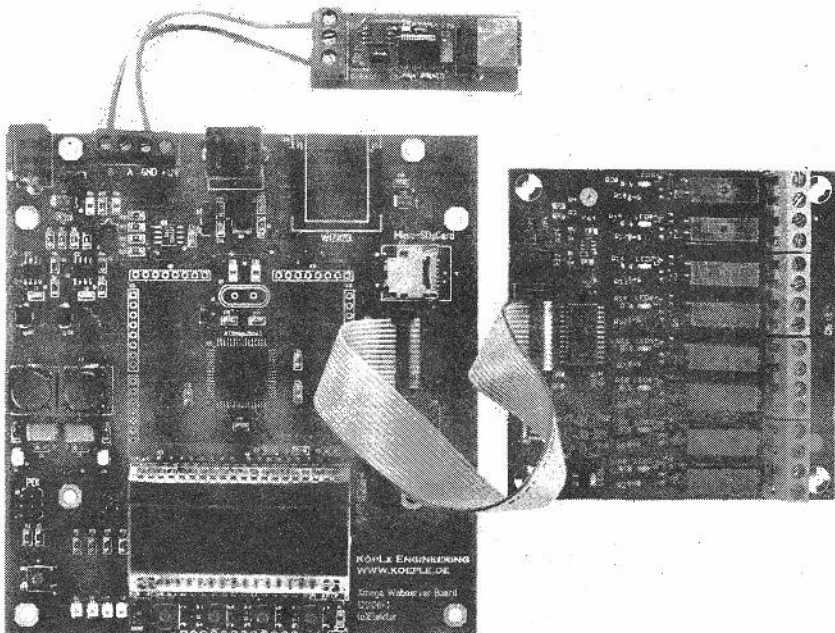


Рис.20



пер JP2 позволяет подключить нагрузочный резистор R13, а необязательные «подтягивающие» резисторы R11, R18 впаиваются, если нашине отсутствуют другие передающие узлы. Второй UART через двунаправленный преобразователь логических уровней IC4 подключен к разъему типа miniDIN K9, который предназначен для подключения, например, Andropod-модулей. Требуемый уровень 3,3 или 5 В можно выбрать джампером JP3. Третий UART через IC6, K16 или K18 предназначен для подключения к внешнему конвертеру UART-USB, который может быть как в виде FTDI USB-TTL кабеля-адаптера (для разъема K18),

так и Elektor BOB USB-TTL (для K16). Опять, джампером JP4 выбирают совместимые логические уровни 3,3/5 В. К 14-контактному разъему K15 можно подключать всевозможные платы расширения, поддерживающие обмен по I<sup>2</sup>C и SPI интерфейсам (например, сенсоров, управляющих реле и т.п.). Разъем K17 предназначен для подключения карты microSD в качестве устройства хранения информации (например, сбора данных о температуре множества датчиков в моменты, когда отсутствует связь с интернетом с целью обеспечения сохранности до момента появления связи). Поскольку запись на microSD выполняется

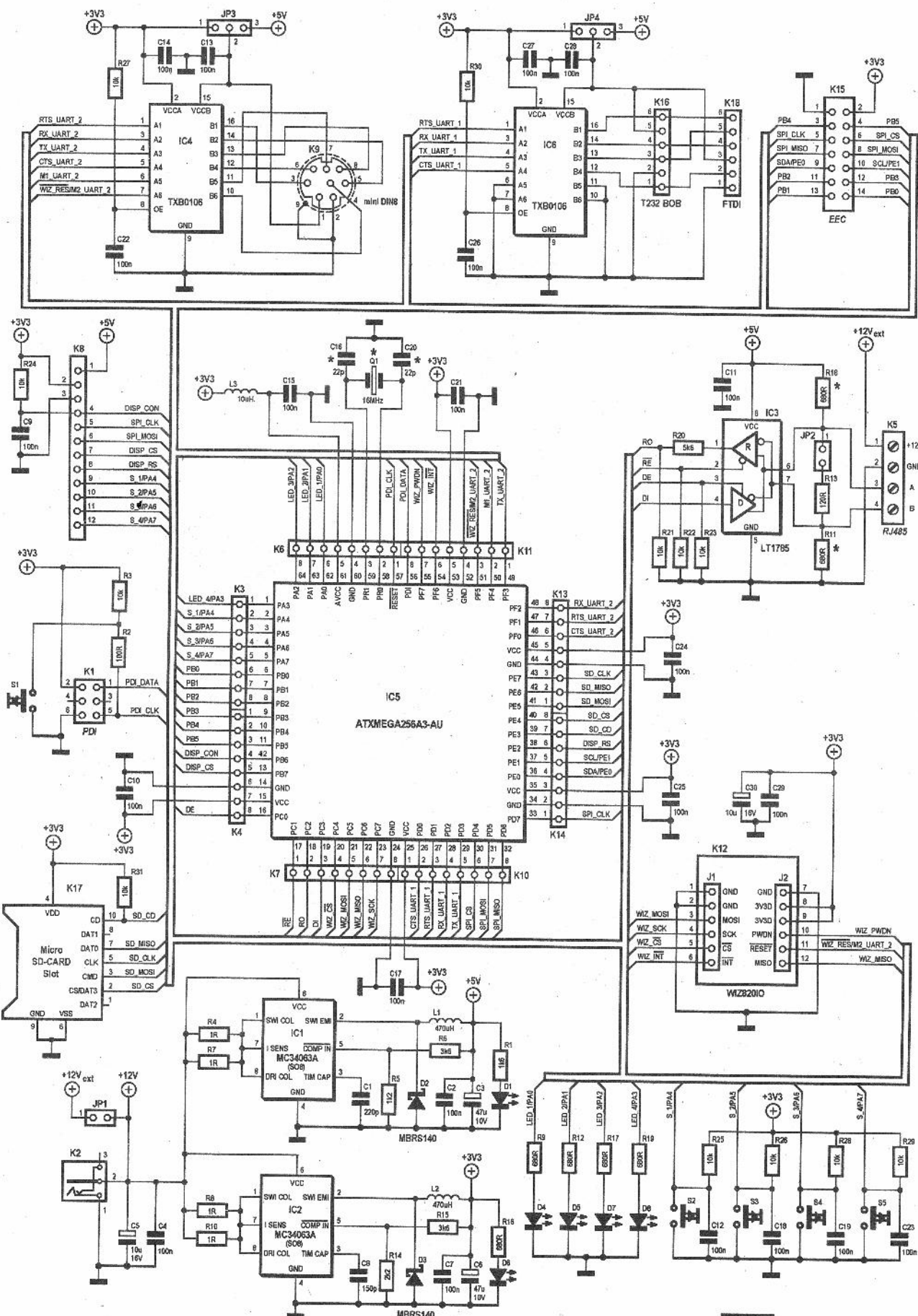
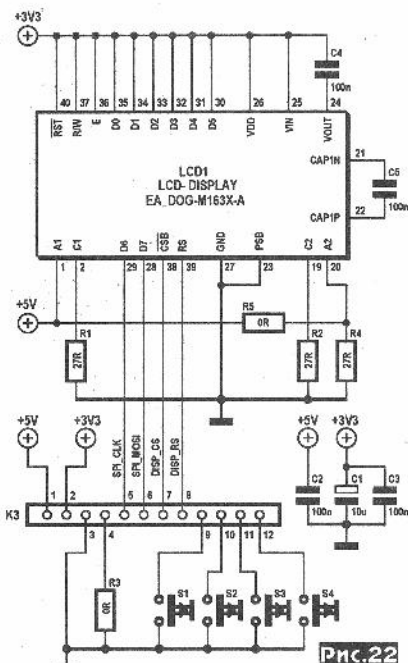


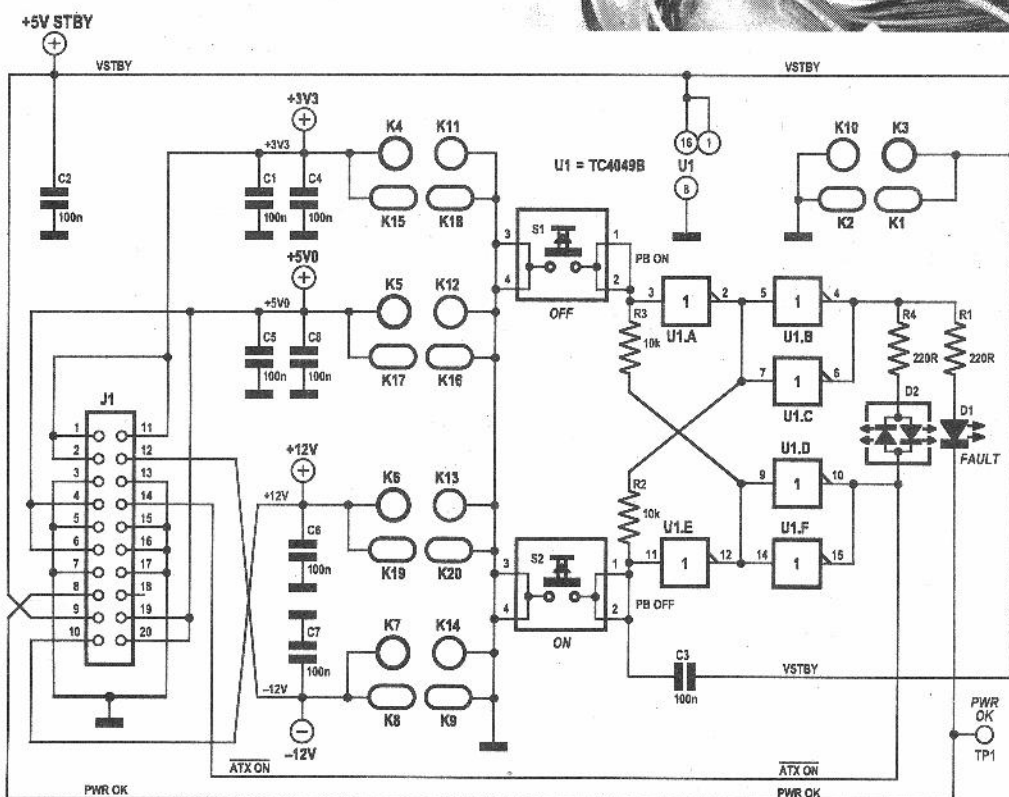
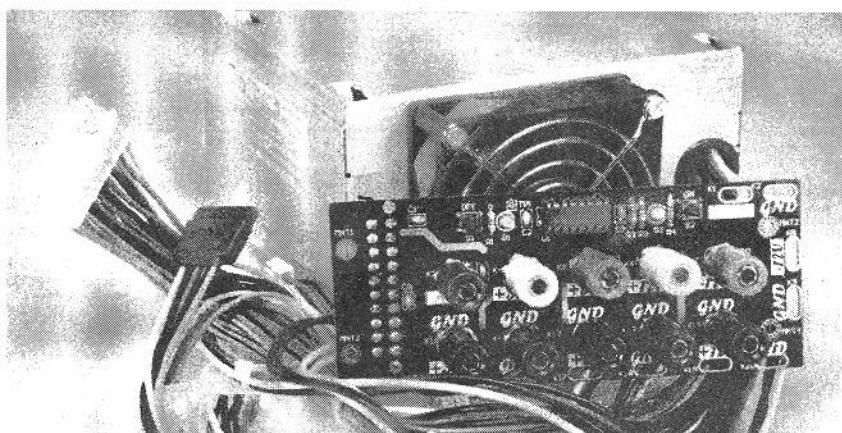
Рис.21



в режиме «SPI mode» через аппаратный SPI модуль порта Е микроконтроллера, то чтение данных карты вне данной платы невозможно. При необходимости интерфейс пользователя в виде внешней кнопочно-дисплейной платы можно подключить к разъему K8. (одна из возможных схем дисплейного модуля изображе-

на на рис.22). Если же для самого упрощенного взаимодействия с оператором достаточно только кнопок и светодиодов, то они уже имеются и на схеме рис.21 (S2-S5, D4-D8). Наконец, к разъему K12 подключается интерфейсный модуль WIZ820io (в состав которого входят скоростной однокристальный Ethernet-контроллер W5200 и разъем MAG-JACK RJ45 со встроенным трансформатором), предоставляющий возможность микроконтроллеру IC5 на протокольном уровне через порт С по SPI интерфейсу осуществлять обмен данными с интернетом по TCP/IP («Elektor» №10/2013, с. 10-20 \*). Программное обеспечение устройства вместе с исходными программными кодами на языке C, в том числе для периферийных модулей, доступно по адресу <http://www.elektor.com/120126>

Бен Джордан предложил схему платы адаптера, позволяющего использовать компьютерные блоки питания формата ATX для питания других радиолюбительских или экспериментальных устройств без какого-либо вмешательства в сами блоки питания. Последнее немаловажно в первую очередь с точки зрения электробезопасности, поскольку бесстабилизаторная архитектура ATXов означает смертельно опасное высокое напряжение на внутренних элементах их конструкции. Схема адаптера изображена на рис.23. Блок питания подключается к нему стандартным 20-контактным разъемом J1. Выходы стабилизаторов напряжений +3,3 В, +5 В, +12 В и -12 В выведены на удобные зажимы/разъемы K4K15, K5K17, K6K19 и K7K8, смонтированные на небольшой печатной плате.



**Рис.23**

На этой же плате размещена «логика» адаптера - ИМС U1 типа TC4049В - шесть КМОП инверторов-буферов (отечественный аналог K561ЛН2), которая питается от шины дежурного/спящего питания +5 В (+5V STBY). Элементы U1A, U1E с резисторами R2, R3 образуют электронную защелку - RS-триггер, а четыре остальных элемента U1B/C/D/F использованы как буферные драйверы двухцветного D2 (зеленый «дежурный/спальный» слева, красный «включен» справа) и желтого («авария») D1 светодиодов. Для включения блока питания стандарта ATX достаточно подать логический нуль (заземлить) на вывод 14 разъема J1, это сигнал /ATX ON. В схеме

рис.23 для этого достаточно нажать на кнопку S2: триггер перейдет в «рабочее» устойчивое состояние с логической единицей на выходе элемента U1E и логическим нулем на выходе U1A, инверторы U1D, U1F сформируют логический нуль и подадут его на вывод 14 J1. Инверторы U1B, U1C подают логическую 1 на резисторы R4, R1, что сразу вызовет свечение красной части светоизода D2, а также кратковременную вспышку желтого D1. Последний вторым выводом подключен к шине PWR OK или «питание в порядке», по которой сигнал высокого уровня передается блоком питания (в штатном применении - на материнскую плату ПК для разрешения запуска процессора) после завершения переходных процессов (установления штатных напряжений на мощных выходах 5 В и 3,3 В) - примерно через 200 мс после включения. В схеме рис.23 желтый светоизод D1 будет светиться, если вследствие токовой перегрузки или к.з. на землю сработает встроенная защита блока питания. Нажатие на кнопку S1 переведет триггер U1AU1E во второе («спальное») устойчивое состояние (выход U1A - лог. 1, U1E - лог. 0), блок питания отключит напряжения на выходах +3,3 В, +5 В, +12 В и -12 В и перейдет в спящий режим, при котором напряжение +5 В присутствует только на шине +5V STBY, а светится зеленая часть светоизода D2. Конденсатор C3 выполняет две функции. Во-первых, принудительно включает спящий режим при подключении к сети (появление дежурного напряжения +5 В своим фронтом формирует лог. 1 на входе элемента U1E - «спальное» устойчивое состояние), а во-вторых, вводит небольшую инерционность срабатывания триггера, предотвращая его ложные срабатывания от дребезга контактов S2, S1 и внешних помех («Elektor» №6/2013, с. 22-25 \*).

Путь в эфир обычно начинается с ознакомления с работой любительских радиостанций. В связи с тем, что промышленные приемники для этих целей достаточно дороги, как правило, приходится изготавливать приемное устройство самостоятельно. Простой приемник на 7 транзисторах и 5 кварцевых резонаторах польского радиолюбителя SP5AHT предназначен для начинающих радиолюбителей и позволяет принимать станции, работающие телеграфом и телефоном, на всех 9 любительских КВ диапазонах от 1,8 до 29,7 МГц, путем простой коммутации индуктивностей во входном контуре и конденсаторов в ГПД. Его схема (рис.24) построена по традиционной супергетеродинной структуре с одним преобразованием частоты. На T1 собран УВЧ и первый смеситель, на T2 - ГПД, перестраиваемый варикапом D1 путем изменения смещения на нем с помощью переменного резистора R1, на кварцах

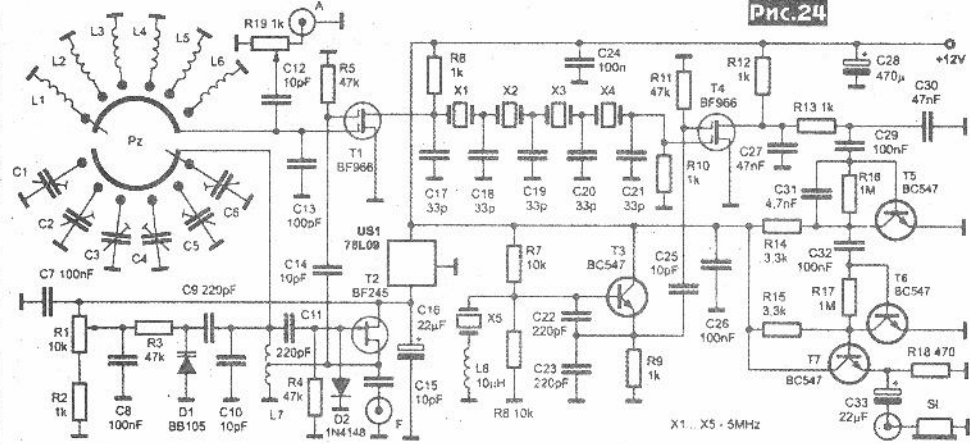


Рис.24

X1-X4 на 5 МГц - лестничный кварцевый фильтр с полосой пропускания 2,4 кГц, на T4 - демодулятор, а на T3 и X5 (5 МГц) - опорный гетеродин для него. На T5-T7 собран УНЧ. Его АЧХ 0,3-3 кГц формируется сверху с помощью R13C27C30, C31, а снизу - C29, C32. При ПЧ=5 МГц ГПД

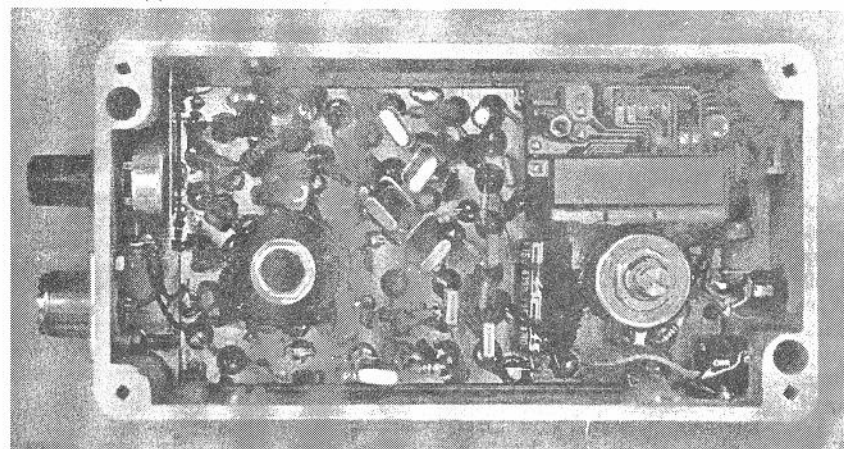
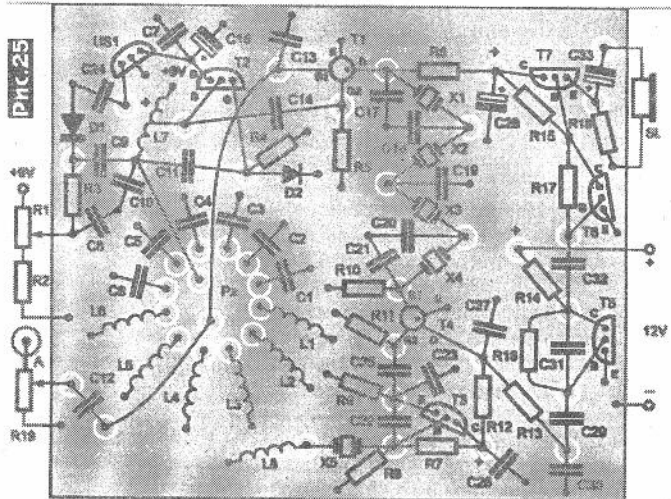
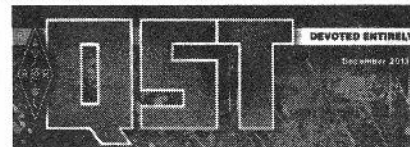


Рис.26



# ДАЙДЖЕСТ



должен перестраиваться в пределах - 160 м: 6,810-7,000 МГц, 80 м: 8,500-8,800 МГц, 40 м: 12,000-12,200 МГц, 30 м: 15,100-15,150 МГц, 20 м: 9,000-9,350 МГц, 17 м: 13,068-13,168 МГц, 15 м: 16,000-16,450 МГц, 12 м: 19,890-19,990 МГц, 10 м: 23,000-24,700 МГц. На практике автор изготовил приемник на 6 диапазонов от 160 до 17 метров, применив переключатель на шесть положений и два направления. Катушки индуктивности входного контура имеют следующие индуктивности: L1/160 м: 74 мкГн, L2/80 м: 18 мкГн, L3/40 м: 5 мкГн, L4/30 м: 2,5 мкГн, L5/20 м: 1,2 мкГн, L6/17 м: 0,68 мкГн (при необходимости введения остальных ВЧ диапазонов контурные катушки должны иметь индуктивности: L(15 м)=0,56 мкГн, L(12 м)=0,4 мкГн, L(10 м)=0,3 мкГн). L7 ГПД состоит из 20 витков ПЭВ 0,35 мм с отводом от 5 витка, считая от заземленного конца катушки, намотанных равномерно на карбонильном торoidalном сердечнике T37-2 фирмы Amidon с  $A_L=4$ . Без конденсаторов C1-C6 и в верхнем положении движка потенциометра R1 частота ГПД должна быть 25 МГц. Для индикации частоты настройки используется плата покупного частотомера-цифровой шкалы из набора AVT 5112, сигнал на который подается через разъем F и конденсатор емкостью 10 пФ. Напряжение питания приемника от 9 до 13,8 В. ГПД питается стабилизированным напряжением 9 В через US1. Монтаж приемника осуществлен на плате из фольгированного текстолита размером 65x75 мм, на которой нарезаны контактные пятачки как показано на рис.25. Приемник собран в стандартном пластмассовом корпусе Z-58 размером 155x80x50 мм (рис.26). На верхней крышке вырезаны отверстия для переключателя диапазонов, оси потенциометра R1, в качестве которого использован многооборотный потенциометр, и для ЖКИ цифровой шкалы как показано на рис.27 («Świat Radio» №11/2013, с.50-53 \*).

Одной из отличительных особенностей радиолюбительского творчества является стремление к нестандартному использованию радиокомпонентов. Вот и Сергей Дылда (**US5QBR**), ознакомившись с даташитом ИМС квадратурного демодулятора TDA8040T, реализовал оригинальную схему SDR приемника для 40-метрового диапазона и, несмотря на то, что данная микросхема рассчитана на работу в частотном диапазоне 10-140 МГц, получил отличный результат. Согласно функциональной схеме (рис.28) TDA8040T имеет все необходимое для

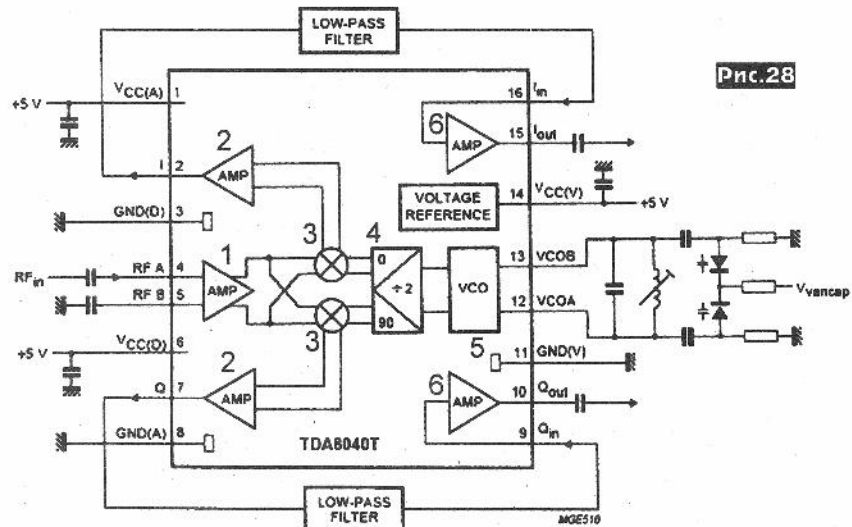


Рис.28

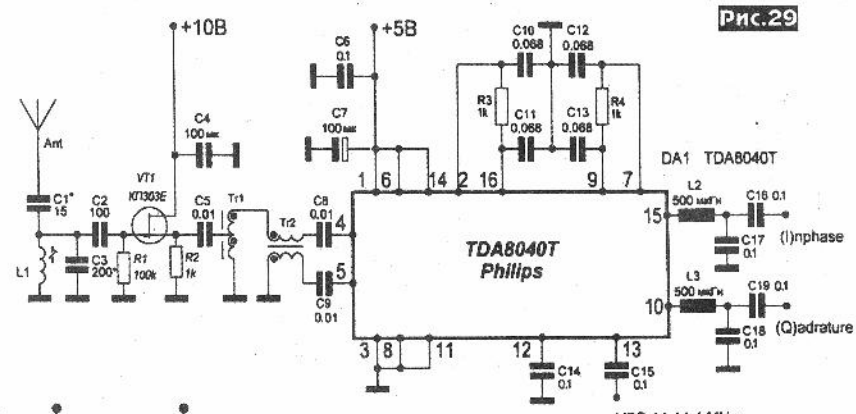


Рис.29

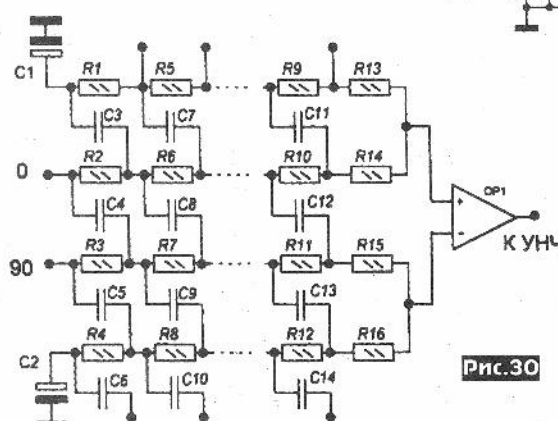


Рис.30

построения приемника прямого преобразования с I и Q низкочастотными выходами (SDR) для дальнейшей обработки в компьютере: предварительный УВЧ (1), два предварительных УНЧ (2), активный смеситель Гильберта (3), делитель частоты ГПД на 2 с квадратурными выходами (4),

узел VCO (5) на котором реализуется внутренний ГПД при помощи внешней частотозадающей цепи или подается на его входы 12 и 13 сигнал удвоенной частоты с внешнего ГПД, два УНЧ (6). Схема приемника для 40-метрового диапазона показана на рис.29. Сигнал с антенны через согласующий конденсатор C1 (подбирается по максимальной чувствительности и избирательности по побочным каналам приема), истоковый повторитель VT1 (согласует импедансы и

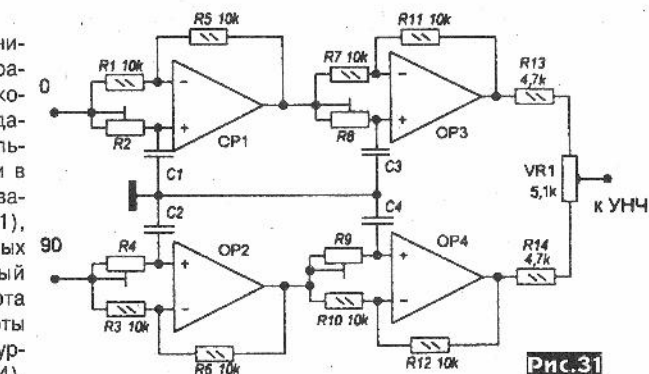


Рис.31

GP показан на **рис.33**. Для реализации такой антенны автор использовал симметричный двухпроводный фидер, эскиз этой антенны для 20 и 15 метров показан на **рис.34**, из которого ясно, что 20-метровый вибратор является ведущим и немного укорочен путем загибания концов вибратора и противовесов. Автор для удобства подвеса антенны применил только два противовеса. При этом, если расположить их под 45 градусов к горизонту и в 8 футах (2,44 метра) от земли, то антенну можно запитывать непосредственно через 50-омный кабель. Для симметрирования на кабель в непосредственной близости от точек питания надевают несколько ферритовых колец. КСВ на 20-метровом диапазоне распределился от 1,2 на 14,000 МГц до 1,08 на 14,100 МГц и 1,4 на 14,350 МГц. На 15-метровом КСВ=1,5 на 21,000 МГц, 1,06 на 21,200 МГц и 1,7 на 21,400 МГц. На **рис.35** и **36** показаны диаграммы направленности в вертикальной плоскости для 20 и 15 метров соответственно, а на **рис.37** - вид центральной час-

тилирует по току), трансформатор со протививлений 1:4 Tr1 и симметрирующий Tr2 подается на ИМС TDA8040T, где усиливается, демодулируется. Выходные квадратурные сигналы I и Q поступают на входы звуковой карты ПК или на НЧ фазовращатель на основе полифазной цепи (**рис.30**) или двухфазную схему на ОУ (**рис.31**). Расчеты элементов этих схем можно найти в Интернете. Катушка L1 содержит 8-10 витков ПЭВ 0,4 мм на каркасе диаметром 7,5 мм с подстречником СЦР-1. L2 и L3 - стандартные дроссели. (От редактора: Tr1 и Tr2 можно намотать на небольших ферритовых кольцах 400-600НН бифилярно по 8-10 витков провода ПЭЛШО 0,1-0,2 мм, соединив обмотки как показано на схеме **рис.28**). ФНЧ R3C10C11 и R4C12C13 имеют частоту среза около 3 кГц, а L2C17, L3C18 - 10-20 кГц. («Радиомир KB и УКВ» №9/2013, с.30-33).

**Двухдиапазонную вертикальную антенну Ground Plane (GP)** Джоела Халласа (W1ZR) отличает простота в изготовлении и оригинальность конструкции, заключающаяся в использовании связанных резонаторов. Как известно, классическая GP (**рис.32**) состоит из вертикального четвертьвольнового

Рис.32

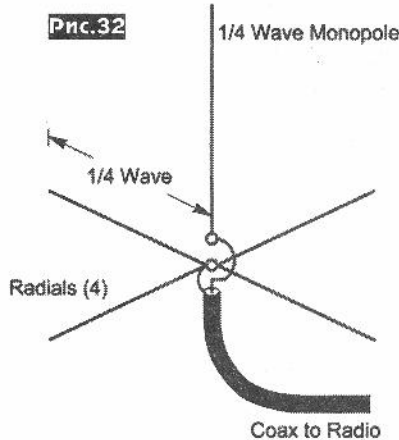


Рис.33

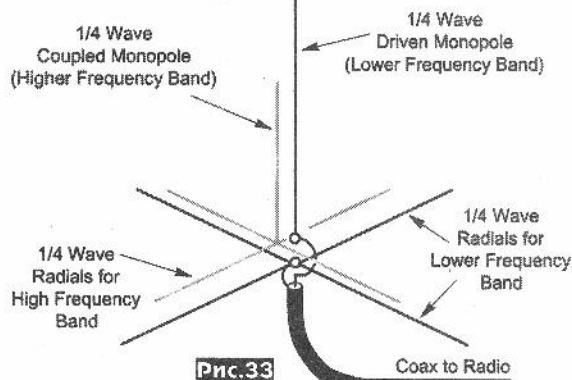


Рис.34

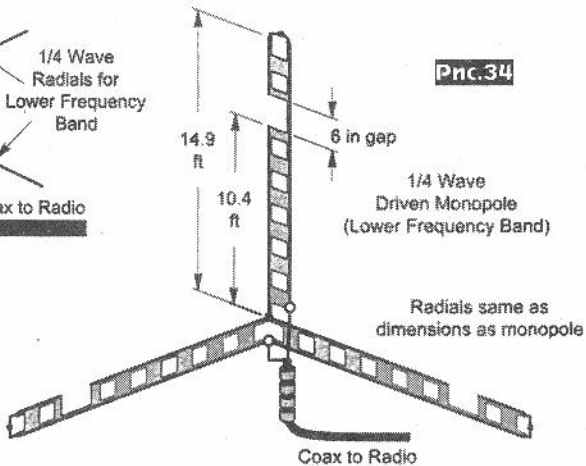


Рис.35

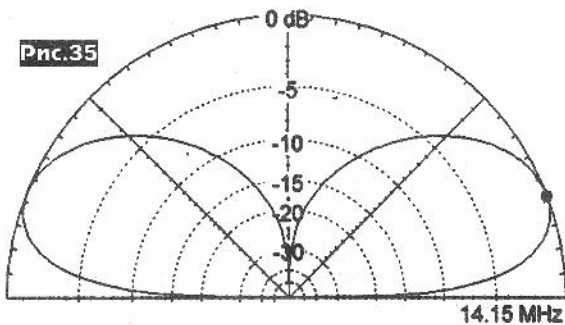
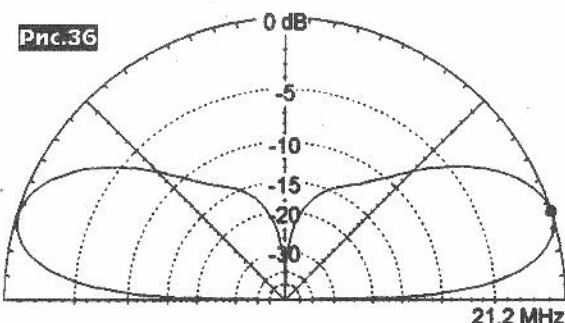


Рис.36



излучателя и нескольких (на **рис.32** - четырех) противовесов (радиалов). Метод связанных резонаторов заключается в том, что в непосредственной близости от ведущего вибратора (излучателя) более низкочастотного диапазона размещается пассивный (ведомый) вибратор более высокочастотного диапазона, который

возбуждается от активного через паразитные (в основном ёмкостную) связи. Способ реализации этого метода относительно

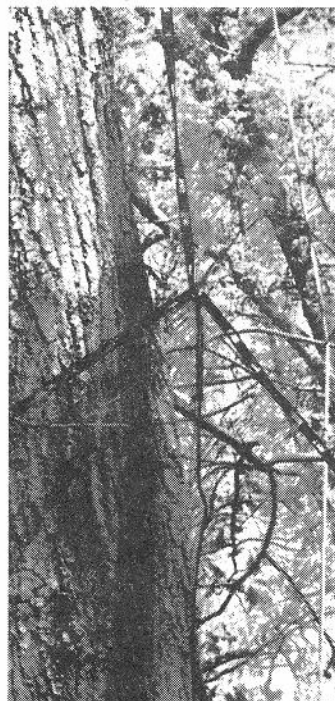


Рис.37

ти подвешенной к дереву антены («QST» №12/2013, с.35-37).

В статье «Совершенствование рамочных антенн - оптимизация для приема на НЧ диапазонах» доктора технических наук Кристофа Кунце (DK6ED) отмечается, что для приема DX станций на НЧ диапазонах (160, 80 м) сложно сорудить остронаправленную антенну, которая могла бы эффективно пространственно селектировать сигналы нужных станций, а огромное количество индустриальных и атмосферных помех подавлять. В основном это связано с большими размерами и высотами подвеса, которые в радиолюбительской практике не достижимы. Самой эффективной для этих целей является антenna Beverage, являющаяся широкополосной антенной бегущей волны (**рис.38**). Тем не менее, к сожалению, и она должна

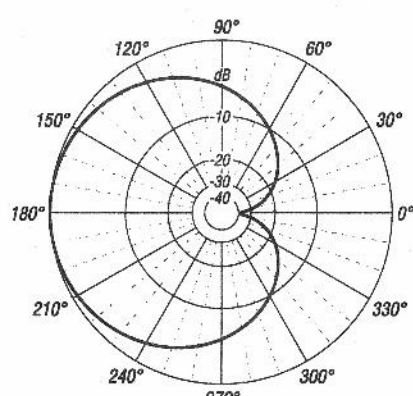
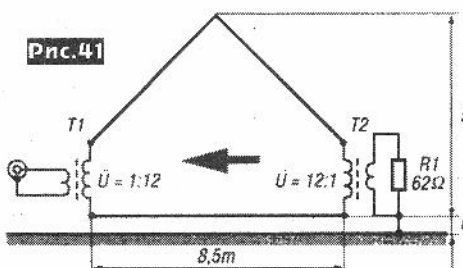
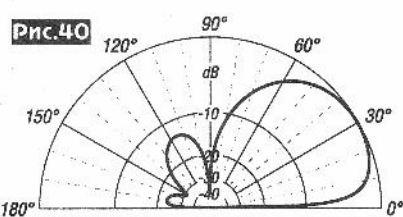
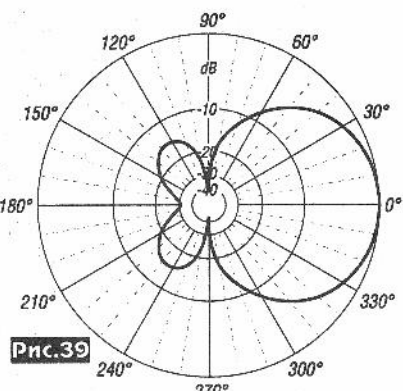
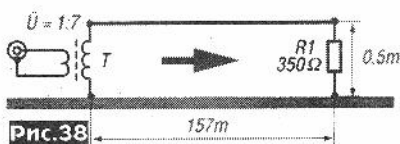


Рис.43

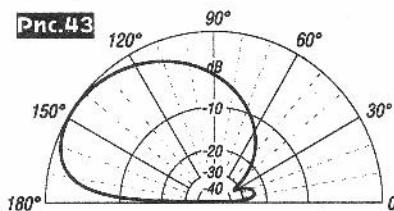


Рис.46

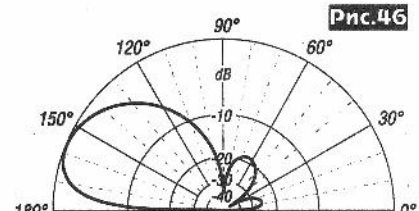


Рис.44

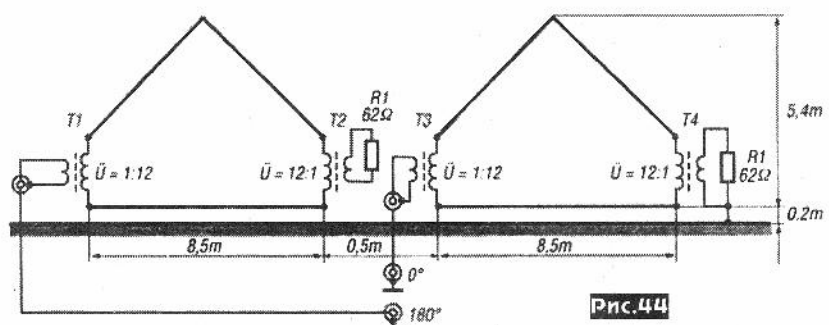


Рис.44

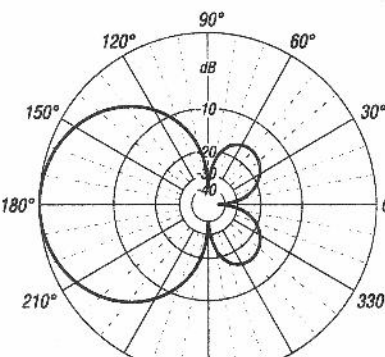


Рис.45

иметь механическую длину минимум в длину волны на низшей рабочей частоте. Только при таких размерах получается желааемая диаграмма направленности согласно рис.39 и 40. В случае не возможности размещения полноразмерных антенн обращаются к рамочным антennам и, особенно к антеннам с периметром меньше  $1/10$  длины

волны. Такие антенны называют магнитными, т.к. они в основном принимают магнитную составляющую поля, а электрическую значительно подавляют, соответственно малочувствительны к атмосферным и индустриальным помехам. Классическая рамочная магнитная антenna на 1,85 МГц, с которой работал автор, изображена на

рис.41, а ее диаграммы направленности - на рис.42 и 43. Следует отметить, что ее диаграмма направленности имеет противоположное направление (в сторону фидера) относительно Beverage (в сторону нагрузочного резистора). Как видим, у этой антенны хорошее отношение фронт/тыл, но, к сожалению, большой угол раскрыта диаграммы направленности. Для уменьшения угла раскрытия автор предложил применить две подобных рамки, разместив их последовательно, как показано на рис.44, а чтобы их диаграммы «складывались» запатентовал их с разностью фаз  $180^\circ$ . Полученные диаграммы направленности (рис.45 и 46) подтверждают правильность решения и уже немного лучше диаграмм антенн Beverage (рис.39 и 40). Правда из-за малых размеров она проигрывает 30 дБ в усиливании антенны Beverage и требует применения усилителя. Автор отмечает, что основным недостатком такой антенны является необходимость установки двух диэлектрических мачт по 5,6 метра, а для построения системы из двух

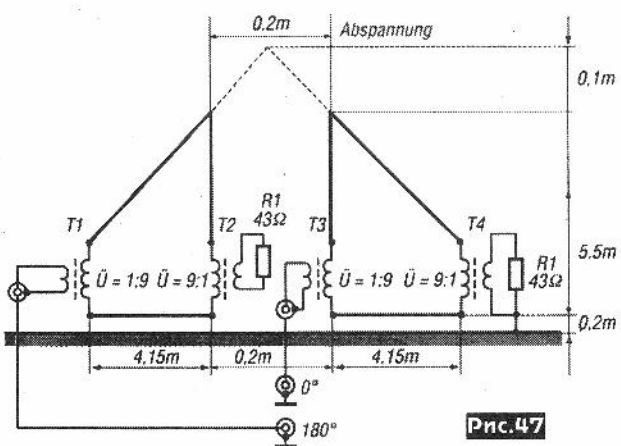


Рис.47

## ДАЙДЖЕСТ

метр (рис.50). В результате уменьшился раскрыв диаграммы, как в горизонтальной, так и в вертикальной плоскости и увеличилось отношение фронт/тыл (рис.51 и 52). При этом усиление уменьшилось незначительно - на -2 дБ относительно предыдущего варианта на рис.47. Дальнейшее уменьшение периметра рамок (рис.53) не привело к значительным изменениям диаграммы, но усиление упало до -55 дБ относительно Beverage. По заключению автора оптимальным вариантом являются антенна на рис.44 (при условии установки 2 или 4 мачты и соответствующем удлинении), и на рис.50 - оптимальный вариант как по стоимости и простоте, так и по параметрам направленности за исключением большого ослабления сигнала. Характеристики рассмотренных в статье антенн пред-

Рис.48

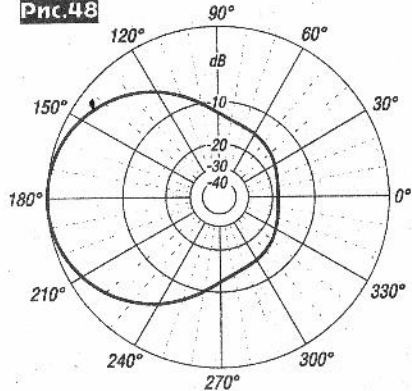


Рис.49

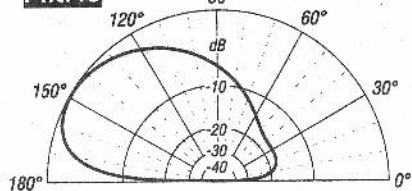


Рис.51

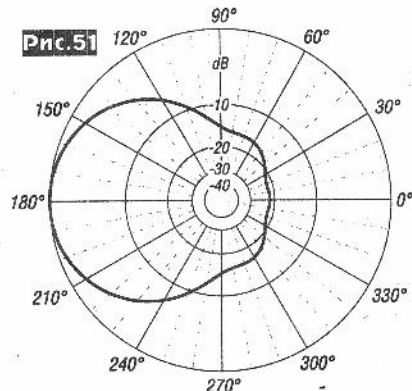
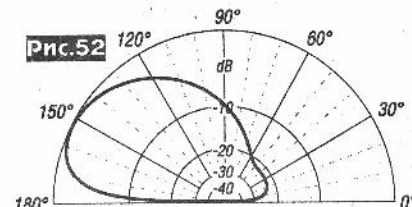


Рис.52



взаимно перпендикулярных антенн для переключения на четыре направления их понадобится уже 4 и общая площадь диаметром 17,5 метров. Дальнейшее усовершенствование антенны автор вел по

Таблица 1

Тип антенны	Раскрыв диаграммы в горизонт. плоскости, град.	Фронт/тыл, дБ	Угол к горизонту, град.	Раскрыв диаграммы в вертик. плоскости, град.	Усиление, дБ
Beverage (рис.38)	79	29,6	30	56,4	-15,4
Одинарный "треугольник", (рис.47)	147	34,8	32	67,4	-32,6
Два "треугольника", (рис.44)	79	40,8	23	41,5	-45,8
Двойной "треугольник", (рис.47)	90,4	17,2	29	60,7	-57,1
Двойной "треугольник", (рис.50)	80,4	22,3	27	52,6	-59,1
Уменьшенный двойной "треугольник", (рис.53)	82,6	29	27	54,3	-70,7

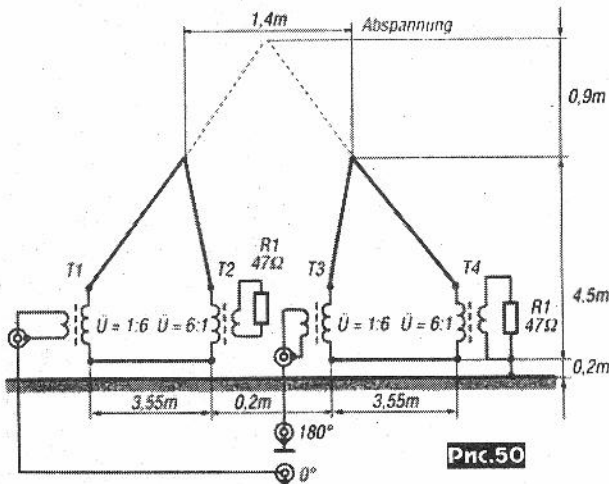


Рис.50

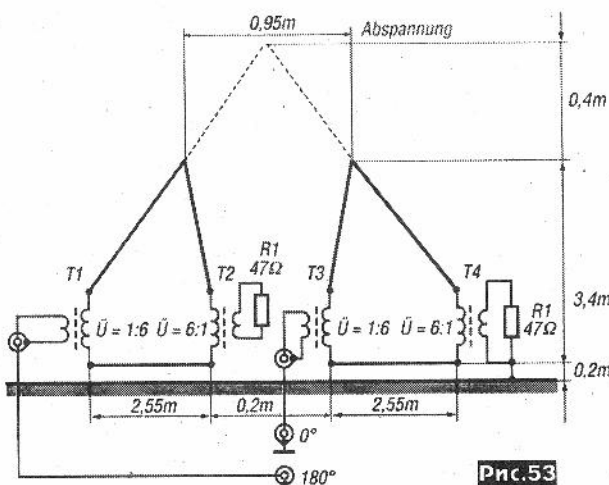


Рис.53

пути упрощения конструкции и уменьшения размеров. Так появился вариант одномачтовой двухрамочной антенны на рис.47. Ее диаграммы направленности (рис.48 и 49) похожи на предыдущий вариант, немного меньше восприимчивость к сигналам приходящим сверху, но уже нет глубоких минимумов, и ухудшилось отношение фронт/тыл. Это результат паразитной емкостной связи боковых сторон треугольников, расположенных вдоль мачты на расстоянии 20 см. Антенна стала почти в два раза меньше по размаху (8,5 м) и за это приходиться платить дальнейшим падением усиления (-42 дБ относительно Beverage).

Для уменьшения паразитной связи рамок автор разнес в пространстве в вершине треугольников на 1,4 м, попутно уменьшив еще немногого их пери-

ставлены в таблице 1. Фазовращатель на 180 градусов автор решил реализовывать на основе широкополосных трансформаторов. На рис.54а показано стандартное решение, на рис.54б - упрощенное, а на рис.54с - имеющее большую развязку каналов 0° и 180° - око-

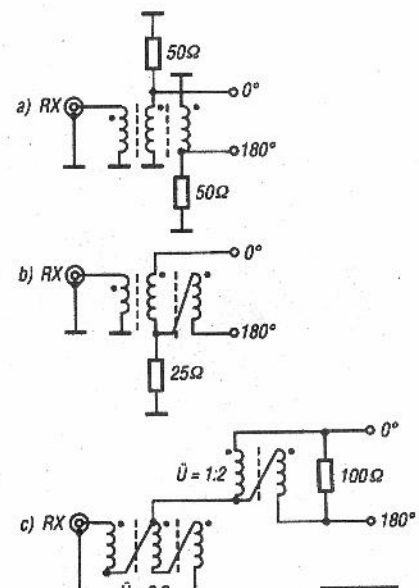
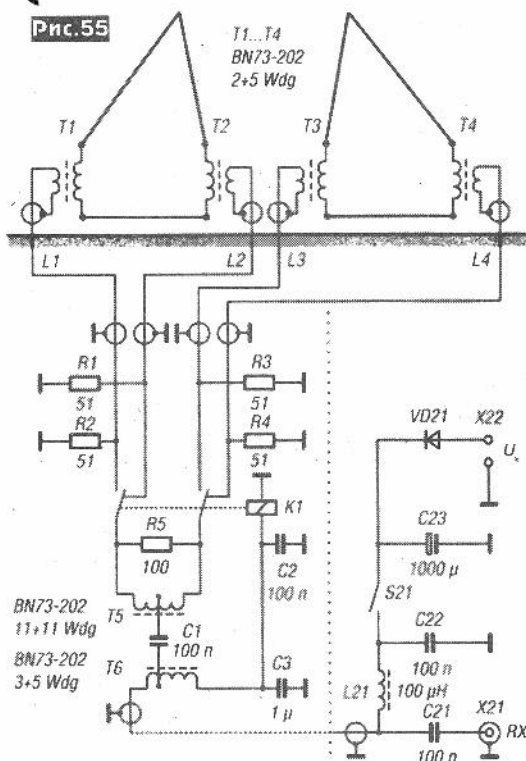


Рис.54

Рис.55



ло 40 дБ. Автор на практике реализовал антенну на рис.50, ее полная схема представлена на рис.55. С помощью реле K1 направление диаграммы меняется на противоположное. Элементы схемы слева от вертикальной пунктирной линии представляют собой коммутатор и расположены в герметичной коробке возле мачты антенны (рис.56), а справа - в комнате оператора возле приемопередатчика. Отрезки коаксиальных кабелей L1-L4 должны иметь одинаковую длину, чтобы не вносить паразитного фазового рассогласования. Их оплетки заземляют только возле коробки коммутатора. Все трансформаторы намотаны на бинокулярных ферритовых сердечниках BN73-202, T1-T4 имеют по 2+5 витков, T5 - 11+11 витков (соединены последо-

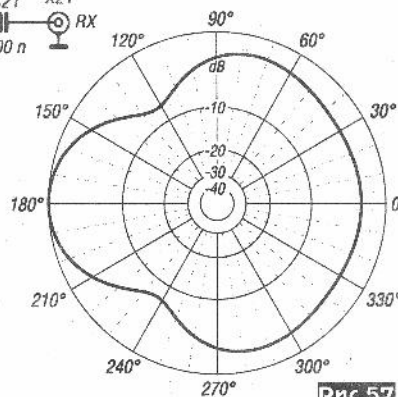


Рис.57

вательно), T6 - 3+5 витков, соединенных последовательно. Питание реле - нестабилизированное, т.к. обнаружены дополнительные помехи от схем стабилизации. Автор обращает внимание на вы-

скуюю степень влияния на диаграмму направленности передающего вертикального четвертьволнового излучателя, который на расстоянии четверти волны от приемных рамок изменил их диаграмму до неузнаваемости (рис.57) и предлагает смещать резонанс передающей антенны в режиме приема конденсатором или коаксиальным шлейфом, до прекращения влияния на диаграмму приемных рамок. Для своих антенн автор рекомендует применять усилители Нортона, их схемы можно скачать со следующих ресурсов: [www.google.com/patents/US3891934](http://www.google.com/patents/US3891934) (download PDF), [www.thegleam.com/ke5fx/norton/lankford.pdf](http://www.thegleam.com/ke5fx/norton/lankford.pdf), а для укороченных антенн - двухкаскадный усилитель с ресурса: [www.qrpproject.de/Media/Aktivantenne/AktivantenneHFTeilVers1.pdf](http://www.qrpproject.de/Media/Aktivantenne/AktivantenneHFTeilVers1.pdf) («Funkamateur» №11/2013, с.1194-1197, «Funkamateur» №12/2013, с.1304-1305).

(Окончание. Начало см. на с. 25)

ном участке орбиты и передаёт телеметрию полной мощностью, в это время транспондер отключён. В «транспондерном»

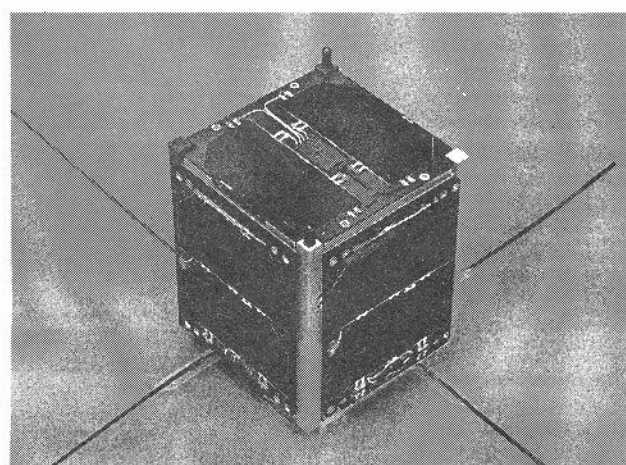
режиме работает на не освещенном участке орбиты (в тени Земли), в это время включается транспондер, а телеметрия переходит на пониженную мощность. Сейчас много радиолюбителей работают через АО-73, так что бывает свалка и приходится ждать виртуальной очереди. Просьба на данном этапе следить за работой и стараться не мешать другим и не делать повторных связей на следующих орбитах. [Info from: [http://emdxs.uscoz.ru/news/zapusk\\_novogo\\_sputnika\\_s\\_telemetrije\\_i\\_transponderom\\_144\\_430\\_funcube\\_1\\_ao\\_73/2013-11-27-227](http://emdxs.uscoz.ru/news/zapusk_novogo_sputnika_s_telemetrije_i_transponderom_144_430_funcube_1_ao_73/2013-11-27-227)].

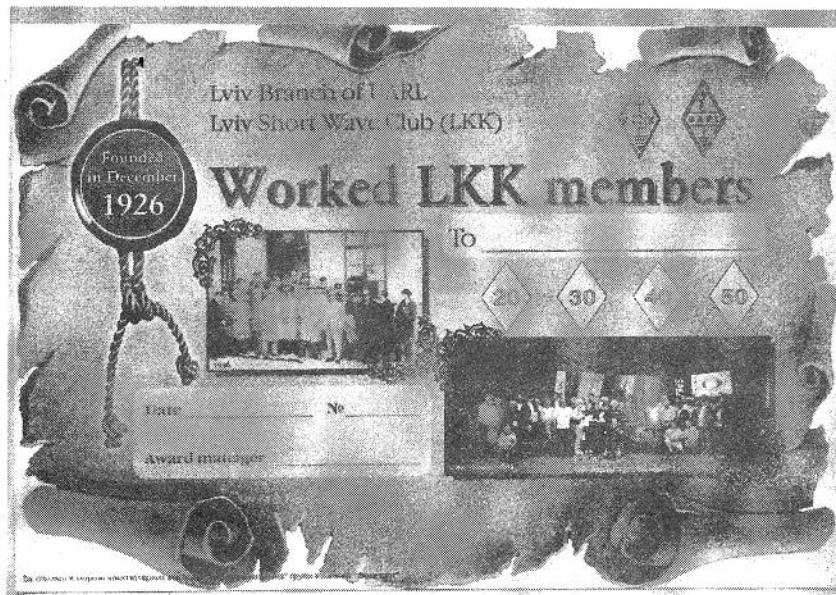
## Диплом «Worked with members of Lviv Shortwave Club» (W-LKK-M)

Учредитель диплома - ЛОО ЛРУ «Львовский клуб коротковолнников» (LKK).

Базовый диплом выдается за QSOs/SWLs с 10-ю членами клуба (соответствующие наклейки - за каждые последующие десять). QSOs/SWLs с клубной ЛРС UR4WWE и Почётными членами LKK засчитываются за два.

Члены LKK: UR5WKR UR5WG UR5WA UR5WAC UR5WAI UR5SWAN UR5WB UR5WBQ UR5WCA UR5WCE UR5WCQ





UR5WCW UR5WD UR5WDC UR5WDQ UR5WE0 UR5WET  
UR5WEY UR5WFX UR5WG UR5WGH UR5WGI UR5WH  
UR5WHD UR5WHK UR5WHQ UR5WHT UR5WHW UR5WHZ  
UR5WIA UR5WIF UR5WJA UR5WJN UR5WJO UR5WJS  
UR5WJV UR5WKA UR5WKI UR5WKJ UR5WKN UR5WKO  
UR5WKR UR5WMM UR5WQA UR5WR UR5WS UR5WU  
UR5WX US0WJ US2WU US3WD US5WAF US5WAM US5WAP  
US5WAY US5WCA US5WCP US5WCU US5WDD US5WDK  
US5WDL US5WDP US5WDS US5WDV US5wdx US5WE  
US5WED US5WEP US5WFD US5WFN US5WFL US5WGR  
US5WL US5WMS US5WR US5WTF US7WA US7WW UT1WA  
UT1WL UT1WPR UT1WR UT1WW UT3WI UT3WS UT3WW  
UT3WX UT4WA UT4WT UT5GA UT7WO UT7WR UT7WW  
UT7WW UT7WZ UX5CU UX5CY UX5DH UX5EW UX5QS  
UY3WV UY5MA UY5XE UY5XU UR4WWE (HQ);

Члены LKK [S.K.]: U5WB U5WF UT5GF UT5UB UX5EF  
UY1WV UY5XL;

Почётные члены LKK: DL6ZFG RA3CC RU3DX SP2B  
SP2SGF SP3IQ SP4OZ SP5CCC SP5QWJ SP5VJO SP5VXY  
SP6SNL SP8AJC SP8AUP SP8AQH SP8HAU SP8HXU SP8IQQ  
SP8MI SP8NFE SP9IOO SP9JPA SQ5ABG SQ5HAU SQ5MO  
SQ8JLA SQ8JQX UA6HZ UR3LL UR5LCV VE3MA;

Почётные члены LKK [S.K.]: G3PTN SP7L SQ7DCA UR7UJ  
VE6JO.

Засчитываются QSOs/SWLs с 01.01.2007, любыми видами излучения на всех любительских диапазонах (повторные - не засчитываются).

Оплата за диплом (включая стоимость почтовых затрат): для ЛРС Украины - 8 грн.; для ЛРС Польши - 10 зл.; для других ЛРС - экв. 3 USD. Членам LKK (вкл. Почётных членов) диплом выдается бесплатно.

Выписку из аппаратного журнала и оплату необходимо направлять по адресу:

Георгий Члиянц (UY5XE) а/я 19 Львов 79000 УКРАИНА  
tel.: h. 032 2378180066 2271425  
e-mail: uy5xe@rambler.ru, uy5xe@mail.ru, http://  
www.qsl.net/uy5xe.

(Справка: По состоянию на 15 ноября выдано 82 базовых диплома в 6 стран мира).

**Анатолий Кучеренко (UT5HP) - основатель и первый президент UDXC**

*K 10-летию со дня смерти [03.10.1935 - 27.10.2003]*

Георгий Члиянц (UY5XE)

Мастер спорта СССР, судья Республиканской категории, многолетний председатель Федерации радиоспорта Ворошиловградской области, первый вице-президент ЛРУ (1993-1996 г.г.), председатель редакционного коми-

тета ЛРУ (до 1997 г.), неоднократный участник многих международных соревнований, обладатель целого ряда престижных дипломов (вкл. DXCC-mix #9445), член многих клубов и ассоциаций коротковолнников (вкл. DIG #2922), «Почетный член ЛРУ».

Между Тель-Авивом и Иерусалимом находится лес Илланот, в котором создан т.н. «Лес замолчавших ключей». (о чем свидетельствует установленный в нем спец. памятный знак). По установившейся традиции, израильские коротковолновики в нем регулярно высаживают деревья в память о HAM S.K., а его семье вручают соответствующий Сертификат. По инициативе члена UDXC Савелия Фурер (4Z5SG), такое дерево посажено и в память о UT5HP, а для вдовы Анатолия прислан соответствующий Сертификат.



Tout commence ici • הכל מתחיל כאן • The source of it all

• Tout commence ici! • הכל מתחיל כאן! • The source of it all!



A tree  
has been planted in the Silent Key's Forest

in memory of

**Anatoly Kucherenko UT5HP**

Donated by  
Savelij Furer 4Z5SG

ITALIAN NATIONAL FUND • קרן לאומי איטלקית • KELVIN KARENNEH LEISURE  
The source of it all • הכל מקבל כאן • Tout commence ici

# УКВ усилитель мощности на металлокерамическом триоде ГИ-7Б

Василий Мельничук (UR5YW), Игорь Бойчук (UR5YGA), г. Черновцы

УКВ усилитель мощности на металлокерамическом триоде ГИ-7Б проектировался для мобильной УКВ ЧМ радиостанции ADI AR-146, хотя часто работает совместно с переносной радиостанцией Rexon RL-115 (0,25 - 0,3 Вт).

И так схема (рис. 1), её можно разделить условно на 3 части: входная катодная, выходная анодная и управление RX/TX.

**1. Входная катодная часть** состоит из C1, C2, C5-C7, L1, L3, L4, собрана в подвале шасси возле выводов катода и подогревателя и заключена в экран, который сверху закрывается крышкой. L1 состоит из 3-х витков посеребренного (это не обязательно) провода диаметром 0,5 мм, диаметр намотки 10 мм, длина намотки 15 мм. Специальной панельки под лампу не изготавливали, в шасси просверлил отверстие по диаметру сетки и прижал со стороны анода расточенным разъемом питания к выступу сетки (**рис.2а**), к выводам катода и подогревателя.

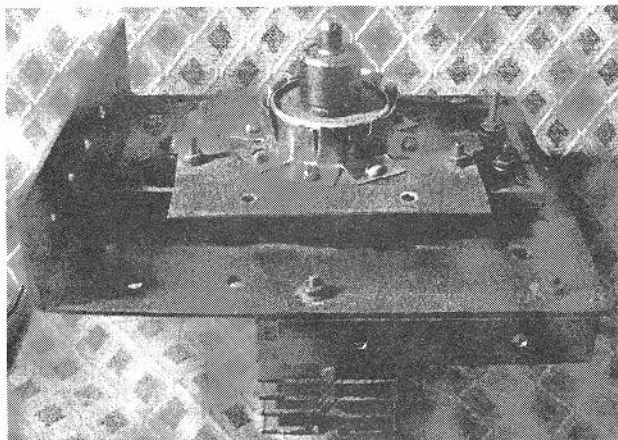
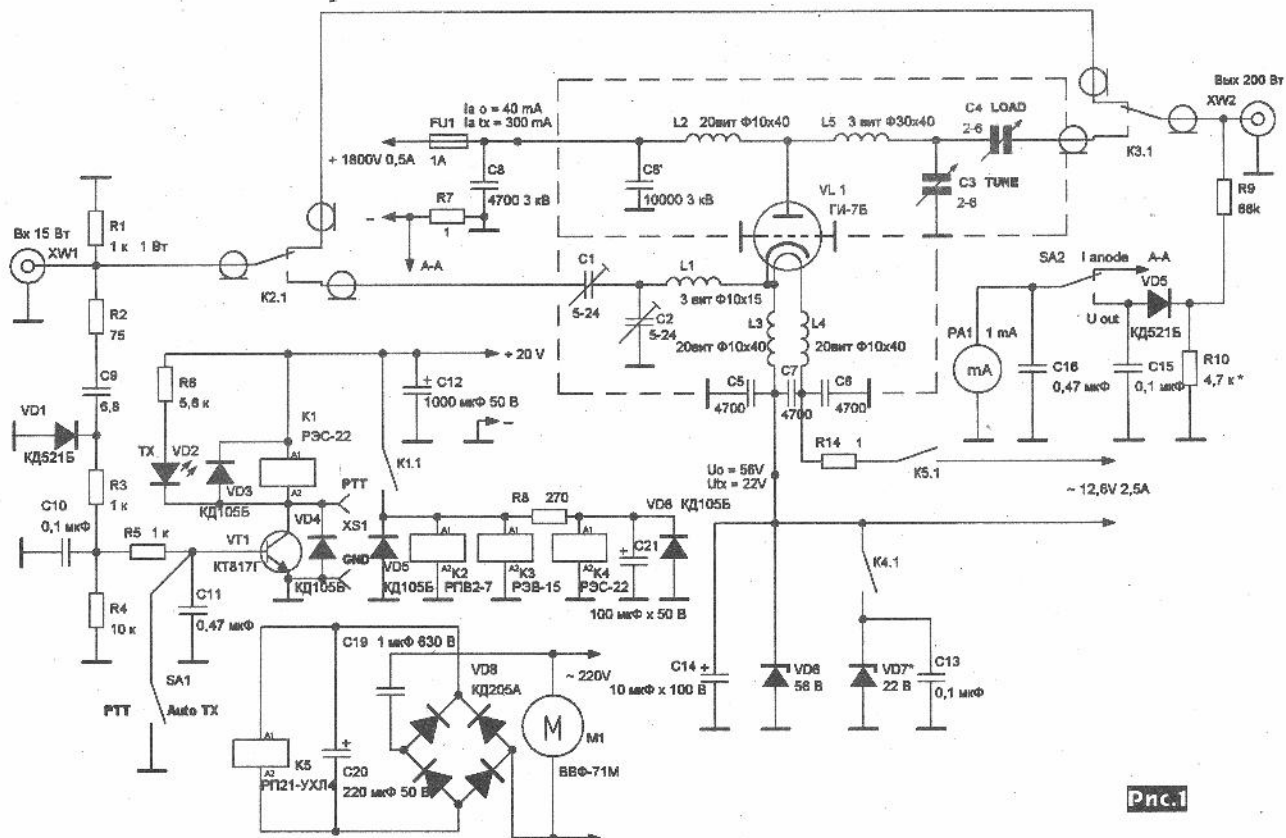


Рис. 2б



**Рис. 26**



Pnc.1

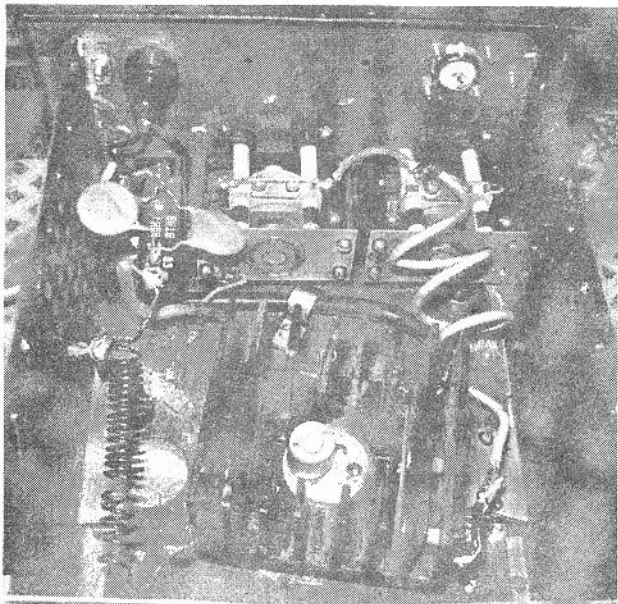


Рис.3

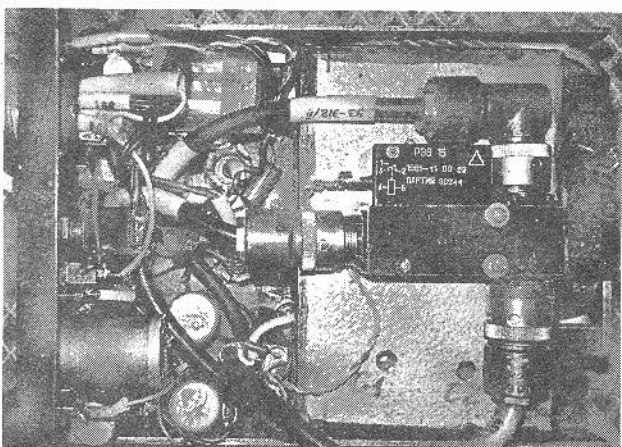


Рис.6

ног радиатора лампы ГИ-7Б падает до 10-20 % от номинального, поэтому его пришлось поменять на больший радиатор от транзистора. Расстояние от радиатора анода до корпуса должно быть не менее 4 см (рис. 5).

**3. Блок управления RX/TX (рис.6)** состоит из R2-R6, C9-C11, VD1-VD4, VT1, K1 (рис. 1). При появлении ВЧ напряжения на входе усилителя открывается транзистор VT1, что приводит к срабатыванию реле K1 и, соответственно, K2-K4 и УМ приводится в рабочее состояние. Данная схема опробована в нескольких УМ для ЧМ и показала себя достаточно надёжной в эксплуатации. При переходе на передачу контактами K4 подключается стабилитрон VD7 на напряжение стабилизации 22 В. При этом лампа VL1 открывается, ток анода (ток покоя) возрастает до 40 - 50 мА. Цепочка R8C21 обеспечивает задержку включения смещения лампы VL1.

Хотя лучше было бы сделать стабилизатор на транзисторе с плавной регулировкой напряжения стабилизации (рис. 7). При настройке, транзисторный стабилизатор подключают к стабилизатору тока на 0,5 А (при напряжении стабилизации 25 - 30 В), замыкают контакты K4 и подбором сопротивления рези-

к выводу катода лампы L3 C5

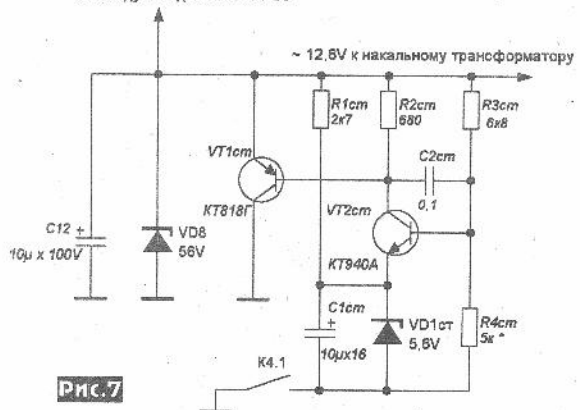


Рис.7

тора R4ст (лучше заменить его подстроечным) добиваются плавного изменения напряжения от 25 до 6 В, возможно придется подобрать стабилитрон D1ст. Транзистор VT1ст крепится на радиаторе.

При использовании УМ с SSB или CW трансивером необходимо замкнуть контакты переключателя SA1 и соединяя вывод PTT на общий провод GND разъема XS1 (при этом срабатывает реле K1) переключают УМ в режим передачи.

**Блок питания УМ (рис.8)** отдельный, универсальный для самодельных ламповых усилителей (рис.9), в нем предусмотрено два режима выпрямителя анодного напряжения - мостовой (900 В) и с удвоением (1800 В). Для лампы ГИ-7Б можно выбрать напряжение анодного источника питания в пределах 1000 - 2000 В, при этом следует учесть, что при 2000 старые лампы склонны к прострелам, а при напряжении ниже 1200 В падает коэффициент усиления УМ по мощности, я бы остановился в интервале 1600 - 1800 В. Диоды высоковольтного вып

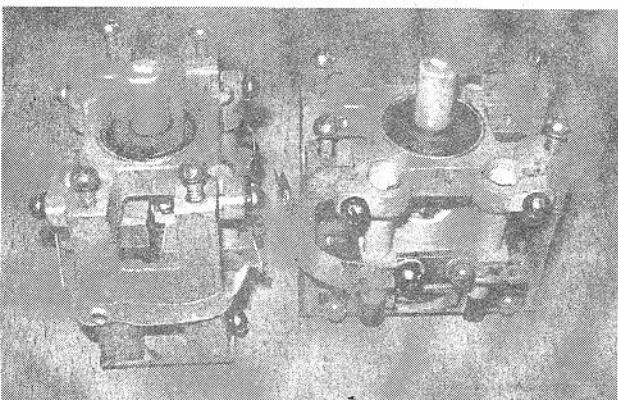


Рис.4

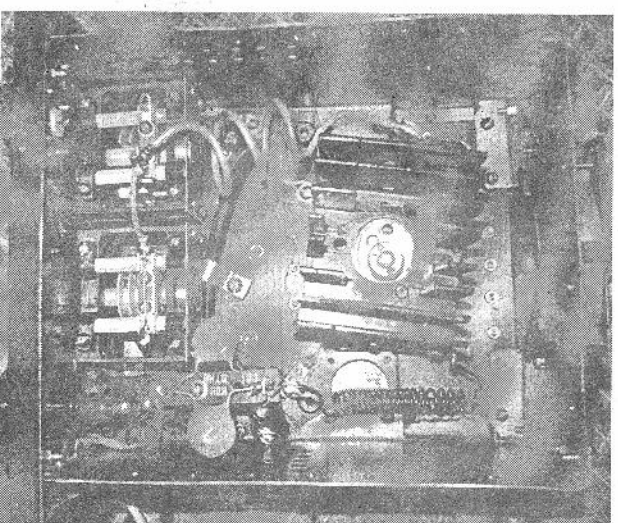


Рис.5

вателя сделал простые хомутики из медной шины шириной 8 мм (рис.2б).

**2. Выходная анодная часть (рис.1, рис.3)** состоит из С8', С3, С4, Л2, Л5. Л5 содержит 3 витка посеребренного провода диаметром 1 мм, диаметр намотки 30 мм, длина - 40 мм. Переменные конденсаторы С3 и С4 (рис.4) взяты от блока частотной развязки (БЧР) радиорелейной станции Р-405. В связи с тем, что вентилятор у нас дует сбоку, то эффективность род-

римителя необходимо зашунтировать конденсаторами 1 - 10 нФ на 1000 В, для защиты от импульсных выбросов напряжения сети переменного тока.

Вентилятор обдува установлен так, чтобы 1/3 воздушного потока попадала на катод лампы, а 2/3 на анодный радиатор (рис. 10). Так как вентилятор имеет свой отдельный шнур питания - то пришлось поставить защиту от забывчивости на реле K5 (рис. 1) - накал подаётся только после включения вентилятора.

Дроссели L2, L3, L4 состоят из 20-ти витков провода ПЭВ-2 диаметром 0,7 мм, диаметр намотки 10 мм, длина намотки 40 мм.

Реле K1 типа РЭС-22, K2 - РЭВ-2/7, K3 - РЭВ-15, K4 - РЭС-22, K4 - РП-21-УХЛ4. Стабилитрон VD7 типа D815Ж, D816А, он прикручен к шасси для охлаждения.

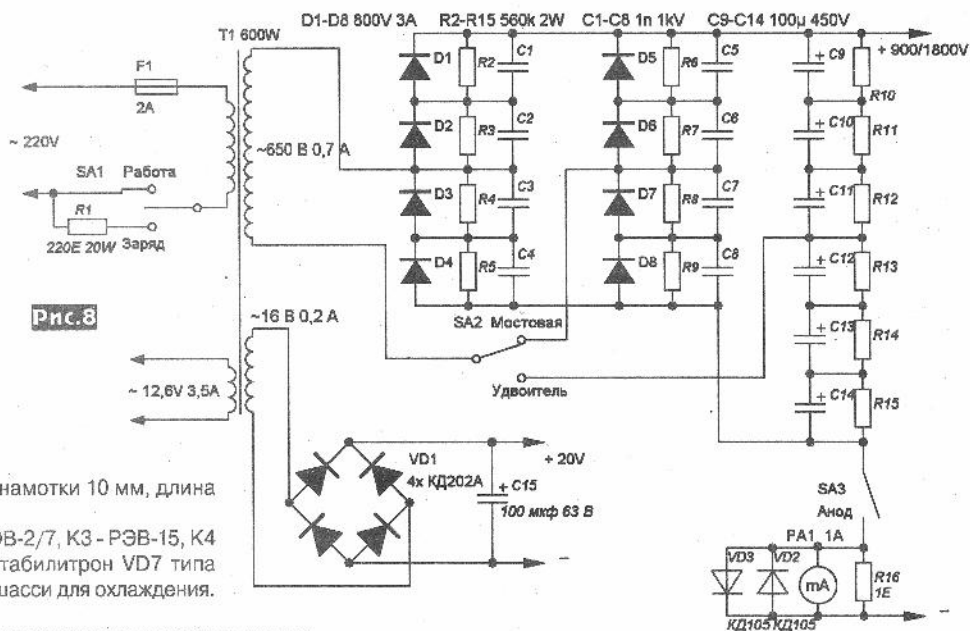


Рис.8

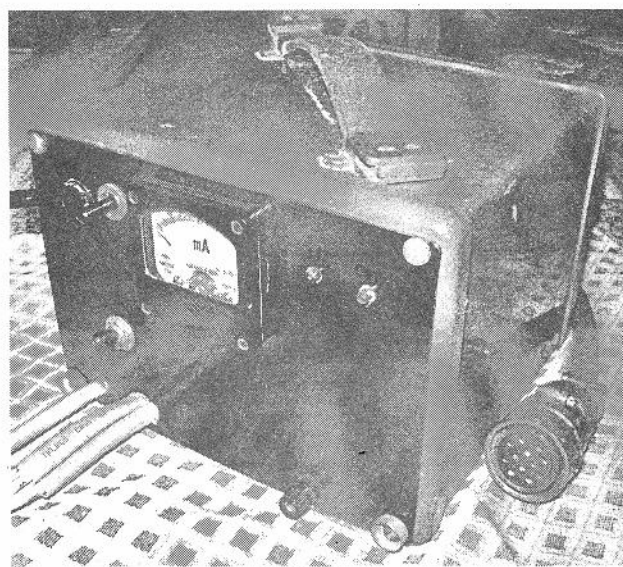


Рис.9

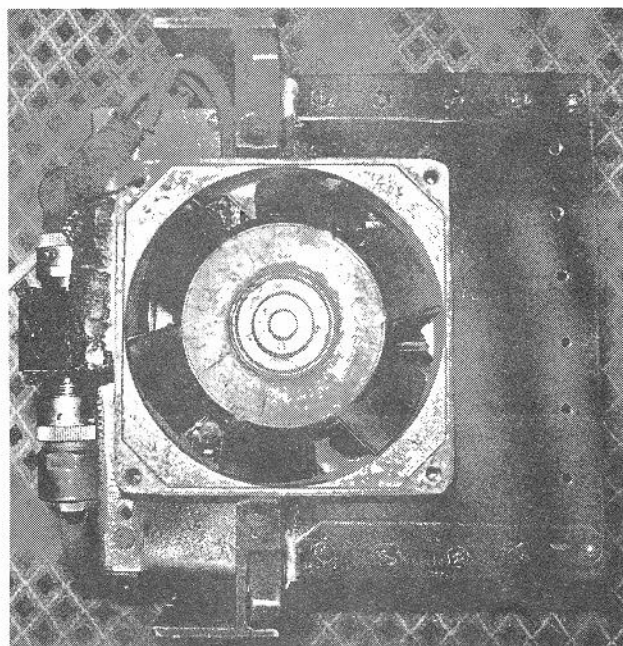


Рис.10

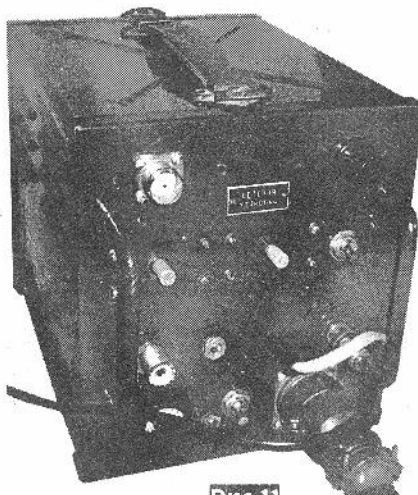


Рис.11

Лампу ГИ-7Б тренировал два дня с перерывами на ночь, с плавным повышением напряжения накала с 2 В до 6 В - в первый день и с 6 В до 12 В - во второй день, при этом нужен вентилятор для охлаждения катода. В принципе, в данной конструкции можно применять и другие металлокерамические лампы, согласовав при этом с предельными эксплуатационными данными напряжения питания и выходную мощность.

**Настройка.** После проверки правильности монтажа подать питающие напряжения ( $U_a$  +1800 В,  $U_h$  ~12 В,  $U_{upr}$  +20 В), после 10-ти минутного прогрева лампы, замкнуть контакты K4 и подбором стабилитрона VD7 необходимо установить ток покоя лампы в районе 40 мА (напряжение смещения 20 - 22 В). В случае применения транзисторного стабилизатора (рис.7) подбором сопротивления резистора  $R_{4st}$  добиваются необходимого тока покоя лампы. Подключить эквивалент нагрузки. Подать на вход УМ возбуждение 10 Вт (145 МГц) конденсаторами C1, C2 настроить входной контур и конденсаторами C3, C4 настроить выходной контур по максимуму тока антенны по индикатору PA (рис. 1), ток анода при этом возрастает до 190 - 220 мА. Возможно, придется повозиться с L5, растягивая и скимая витки «загнать» максимум АЧХ УМ на середину FM диапазона (145,5 МГц).

При входной мощности 10 Вт и анодном напряжении 1800 В выходная мощность составляет около 140 Вт, при 15 Вт - на выходе примерно 200 Вт.

Внешний вид усилителя показан на рис. 11 и на первой странице обложки.

Успехов вам в конструировании!

# М.У.З. Сенсорный TFT-дисплей

Сергей Рюмик, г. Чернигов

Для предварительного аудиоусилителя с микроконтроллерным управлением звука (М.У.З., [1]) требуются две базовые вещи: блок управления и блок индикации. Каждый из них может быть выполнен по разным схемам, с разными радиодеталями - кнопками, светодиодами, ЖКИ, OLED, энкодерами и т.д. А можно ли совместить оба блока в одном устройстве? Оказывается, можно, если применить сенсорный TFT-дисплей, например, в виде специализированного шилда к модулю Arduino.

**TFT-шилды для Arduino.** При покупке дисплея надо быть абсолютно уверенным в том, что известна распиновка его выводов, электрические параметры, интерфейс сопряжения, а главное, система управляющих команд. Без этой информации дисплей превращается в очередной «магнитик» на холодильнике.

К счастью, в сообществе Arduino наложен промышленный выпуск цветных TFT-шилдов с сенсорными экранами (тачскринами) и картами памяти. Их подключение к модулю Arduino не вызывает никаких затруднений - бери плату да вставляй в контакты, для них написаны бесплатные программные библиотеки - бери описание функций да пользуйся, электрические схемы распространяются свободно - бери да скачивай.

К сведению, шилд представляет собой съемную печатную плату со штырями, которая жестко крепится поверх Arduino. Шилды обеспечивают дополнительные возможности, такие как, управление реле и серводвигателями, индикация на светодиодах, панно, ЖКИ, поддержка интерфейсов RS-485, Bluetooth, Ethernet и т.д.

Подключить сенсорный дисплей к Arduino можно двумя способами:

- при помощи отдельного TFT-шилда (**рис. 1**);
- при помощи «этажерки», состоящей из платы TFT-дисплея и переходного согласующего шилда (**рис.2**).

Отличить «что есть что» помогает количество контактов: у TFT-шилда их гораздо больше и располагаются они П-образно по периметру платы. У TFT-дисплея имеется один двухрядный разъем на торце, остальные штыри размещаются на переходном шилде, который приобретается отдельно.

Все дисплеи цветные, отличаются между собой размером экрана 1,8...7 дюймов по диагонали, количеством пикселей 160x128...800x480, а также типом видеоконтроллера (**табл. 1**). Из моделей, доступных в Интернете, реально приобрести продукцию фирм iTead Studio, ElecFreaks, SainSmart, ColdTears (дистрибутор). В частности, на сайте <<http://www.itead-europe.com>> представлены TFT-шилды 2,4..3,2 дюйма, последний из них под названием «3,2" TFT LCD Touch Shield» с

Таблица 1

TFT-шилд	Экран	Видеоконтроллер (фирма)	Изготовитель
1.77" Arduino TFT LCD Screen	160x128	ILI9163 (ILITEK)	Arduino
2.2" TFT LCD Module	220x176	S6D0164 (Samsung)	ElecFreaks
2.4" TFT LCD Touch shield	320x240	S6D112 (Samsung)	iTead Studio
2.8" TFT LCD Touch shield	320x240	ILI9325DS (ILITEK), ST7781R (Silionix)	iTead Studio, Seeed Studio
3.2" TFT LCD Touch shield Mega	320x240	SSD1289 (Solomon Systech)	iTead Studio, SainSmart
3.2" TFT LCD Module	400x240	HX8352 (Himax Technologies)	
3.5" Truly TFT Module	480x320	R61581 (Renesas Technology)	
4.0" TFT LCD Module	480x320	ILI9486 (ILITEK)	
4.3" TFT LCD Module	480x272	SSD1963 (Solomon Systech)	
5.0" TFT LCD Module	800x400	SSD1963 (Solomon Systech)	
7.0" TFT LCD Module	800x480	SSD1963 (Solomon Systech)	ColdTears Electronics, ElecFreaks

встроенным дисплеем ITDB02-3.2S (4:3) будет использоваться в дальнейших экспериментах.

**Структурная схема TFT-шилда 3,2"** показана на **рис.3**. Кроме дисплея с контроллером SSD1289 и сенсорного тачскрина с конвертором данных ADS7843, имеется слот для установки карты памяти формата SD (сама карта в комплект поставки не входит). Связь с Arduino осуществляется через буферные микросхемы 74LCX541, 74LCX365. Пониженное питание +3,3 В для них создает стабилизатор напряжения из серии LM1117. Шилд имеет движковый переключатель с маркировкой «3,3V/5V» на случай применения двух разновидностей Arduino, соответственно, с ARM- или AVR-контроллером.

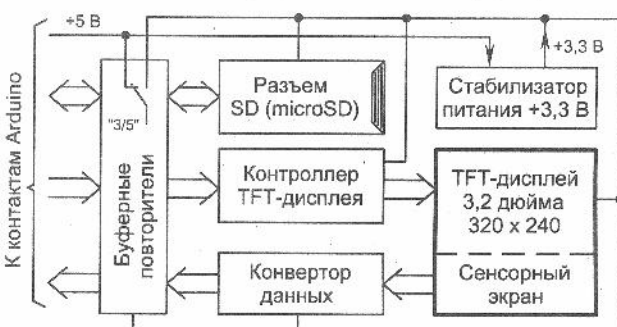


Рис.3

В даташите [2] расписаны порты подключения шилда к Arduino. Их столько много, что не всякая модель подходит для работы. В частности, рекомендуются Arduino-Mega 2560 (8 бит) и Arduino-Due (32 бит). Первая из них будет базовой, поскольку собрана на знакомом AVR-контроллере и имеет объем па-

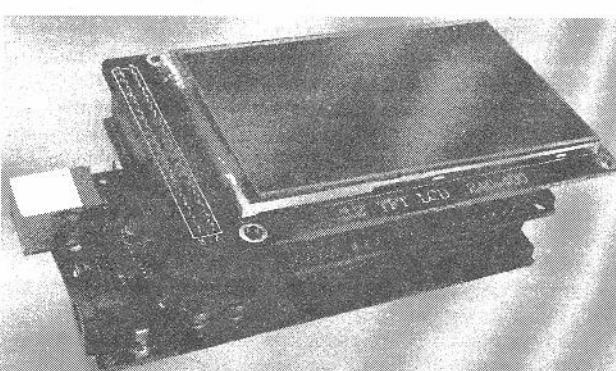
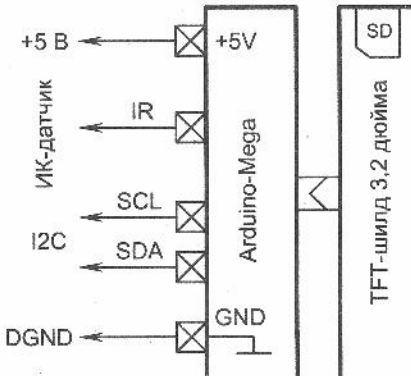


Рис.2

# МИКРОКОНТРОЛЛЕРЫ

мия с запасом, вторая - на будущее, для «продвинутых» ARM-пользователей. Рассматриваемый TFT-шилд по конструкции одинаково подходит к обеим платам.

В предварительном усилителе к Arduino должен подключаться аудиопроцессор на микросхеме TAD7314, TDA7318 пошине I<sup>2</sup>C (требуются два дополнительных порта), а также один фотоинтегральный ИК-датчик (**рис. 4**). Органы управления и индикации будут «виртуальными», т.е. нарисованными на экране сенсорного дисплея.



**Рис.4**

**Программная часть.** Перед тем, как составить полную программу для усилителя с М.У.З., необходимо «отточить» свое мастерство на отдельных составляющих, а именно, откалибровать тачскрин, проверить экран на отсутствие «битых» точек RGB, русифицировать шрифт и научиться управлять картой памяти.

Шилд 3,2" рассчитан на применение программных функций из библиотеки UTFT (Universal TFT), которая несколько отличается от фирменной «ардуиновской» под названием TFT (Thin-Film-Transistor) <<http://arduino.cc/en/Reference/TFTLibrary>>. Автор библиотеки, Henning Karlsen, разместил на своем сайте <<http://www.henningkarlsen.com/electronics/library.php>> шесть базовых файлов:

- UTFT - общие функции TFT-дисплея;
- UTFT.Buttons - управление сенсорными кнопками;
- UTFT.Geometry - рисование геометрических фигур;
- UTFT.TinyFAT - файловая система карты памяти;
- UTouch - работа с тачскрином;
- tinyFAT - общие функции для карты памяти.

Все библиотеки подключаются к среде Arduino-1.0.5 стандартным способом, т.е. надо скачать шесть архивных файлов, распаковать их, содержимое по пути: C:\Program Files\Arduino\libraries\. После этого в меню «Файл-Примеры» появятся 6 новых пунктов, и станут доступными все программные функции для TFT-шилда. Подробное описание возможностей представлено на авторском сайте <<http://www.henningkarlsen.com/>>, а также на русском языке с поясняющими примерами [5].

**Тестирование тачскрина.** Дословный перевод слова «тачскрин» (англ. touchscreen): touch - касание, screen - экран. По-простому, это сенсорный экран. Тачскрин представляет собой прозрачную пленку на дисплее, которая улавливает прикосновение руки человека. В данном случае тачскрин резистивный, т.е. координаты касания выдаются в виде двух чисел относительного сопротивления по вертикали и горизонтали. Конвертор данных преобразует сопротивление в цифровой код, который передается по нескольким проводам в Arduino.

Первоначально следует пройти калибровку тачскрина скетчем «Файл-Примеры-UTouch-Arduino-UTouch\_Calibration». На экране дисплея по углам должны появиться крестообразные «прицелы», на которые надо последовательно нажимать тонким стилусом или закругленной спичкой. Результат калибровки выдается в виде трех шестнадцатеричных чисел, например, X=0x00390F35, Y=0x03D00145, S=0x000EF13E, которые надо прописать в файл C:\Program Files\Arduino\libraries\UTouch\UTouchCD.h. Допускается файл не корректировать, если эти числа незна-

чительно отличаются от принятых по умолчанию: X=0x00378F66, Y=0x03C34155, S=0x000EF13F.

Оценить базовые возможности тачскрина можно на примерах, входящих в папки UTouch и UTFT.Buttons. Примеры как раз настроены на дисплей 3,2" и Arduino-Mega 2560, поэтому вносить коррекции в листинги не требуется. В других случаях необходимо подобрать строку инициализации согласно **табл.2**.

**Таблица 2**

Инициализация TFT-дисплея	Экран
myGLCD(LPH9135,6,5,2,3,4)	128x128
myGLCD(ITDB18SP,11,10,9,12,8)	160x128
myGLCD(ITDB22,19,18,17,16)	220x176
myGLCD(ITDB22SP,11,10,9,12)	
myGLCD(ITDB32S,19,18,17,16)	320x240
myGLCD(ITDB32S,38,39,40,41)	
myGLCD(MI0283QT9,11,13,7,8)	
myGLCD(TFT01_22SP,9,8,12,11,10)	
myGLCD(ITDB32WD,19,18,17,16)	400x240
myGLCD(ITDB32WD,38,39,40,41)	
myGLCD(ITDB43,19,18,17,16)	480x272
myGLCD(ITDB43,38,39,40,41)	
myGLCD(CTE32HR,19,18,17,16)	480x320
myGLCD(CTE32HR,38,39,40,41)	
myGLCD(ITDB43,19,18,17,16)	800x480
myGLCD(ITDB50,38,39,40,41)	

**Проверка качества RGB-экрана.** В дисплее 3,2" принят формат представления цветовых данных RGB565. В этом формате цвет кодируется 16-битным числом, в котором старшие 5 бит определяют уровень красного (R), следующие 6 бит - зеленого (G) и оставшиеся 5 бит - синего (B) цвета. Код 0x0000 обозначает самую низкую интенсивность всех трех «цветовых пушек», т.е. уровень черного, а код 0xFFFF - уровень белого при максимальной яркости.

Однако, многие цветовые функции из библиотеки UTFT содержат не одно 16-битное число 0...65535, а три 8-битных составляющих 0...255. Получается большой излишек информации, который приводит к тому, что один и тот же цветовой оттенок можно выразить 256 (!) разными командами, с различными тройками чисел. Например, setColor(120, 255, 0), setColor(56, 127, 32) и setColor(24, 63, 64) дают одинаковый цвет.

В программе **листинга 1** градации оттенков R, G, B меняются друг за друга во времени с нарастающей насыщенностью. Пользователь может визуально оценить однородность свечения экрана, выявить дефектные черные и белые точки, «битые» горизонтальные и вертикальные полосы, а также обнаружить муар (дрожание картинки) на светлом фоне, что свидетельствует о неисправности электронной начинки дисплея. Подобная проверка очень кстати при (а не после) покупке дисплея на рынке или на входном контроле в производстве.

**Русификация шрифта.** Исходная библиотека UTFT рассчитана на 95 символов кодовой таблицы ASCII с номерами 32...127. Сюда входят спецсимволы, знаки препинания, цифры и стандартный латинский алфавит. Провести русификацию шрифта можно по методике [3], но тогда в листинге программы текст придется записывать не кириллицей, а «шпионским» кодом. Например, слово «вода» будет выглядеть как «»\x97«»\x99«»\xa».

Можно предложить другой способ русификации, который позволяет записывать текст кириллицей прямо в скетче. Более того, данная методика разрешает применение любых компьютерных шрифтов разной высоты. Ограничение библиотеки UTFT в части кратности ширины знакоместа цифре 8 - сни-

## Листинг 1

```

1 //тест TFT-дисплея, Радиохобби №6-2013
2 //=====
3 #include <UTFT.h> //Библиотека функций TFT
4 UTFT myGLCD(ITDB32S, 38, 39, 40, 41); //3,2"
5 //=====
6 void setup() //Arduino-Mega 2560, TFT-шилд
7 { myGLCD.InitLCD(); //Инициализация TFT
8 myGLCD.clrScr(); //Очистка экрана
9 } //=====
10 void loop() //нарастающая яркость R-G-B
11 { for (int i=0; i<255; i+=8) //Красный
12 { myGLCD.fillScr(i, 0, 0); delay(100);
13 }
14 for (int i=0; i<255; i+=4) //зеленый
15 { myGLCD.fillScr(0, i, 0); delay(50);
16 }
17 for (int i=0; i<255; i+=8) //Синий
18 { myGLCD.fillScr(0, 0, i); delay(100);
19 }
20 for (int i=0; i<255; i+=8) //Серый
21 { myGLCD.fillScr(i, i, i); delay(100);
22 }
23 } //Arduino-1.0.5, длина 20736 байтов (8%)

```

мается. Речь идет о библиотечной надстройке UTFT\_DLDB, размещенной на сайте <<https://sites.google.com/site/dlbarduin/>>. Ее автор, David Badham, создал отдельную утилиту «ttf2c\_vc2003.exe», которая конвертирует ttf-шрифты в Си-файл, понятный TFT-дисплею. Дополнительная «фишка» - надписи можно наклонять под любым углом, в том числе и вертикально.

С воспроизведением разных шрифтов латиницей в UTFT\_DLDB полный порядок (рис.5). Но, кириллические шрифты в скетчах Arduino имеют формат UTF-8 (Unicode

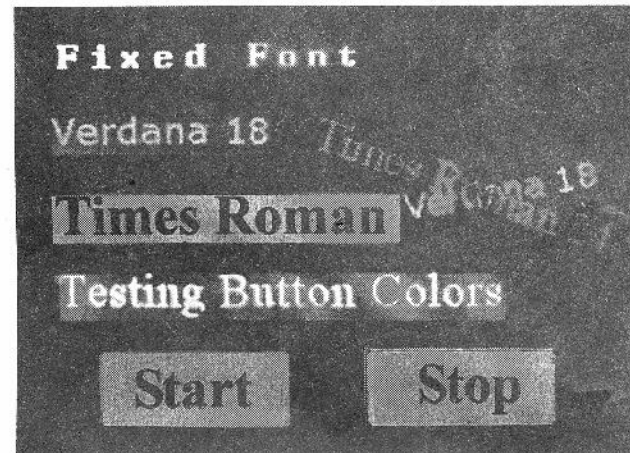


Рис.5

Transformation Format). Следовательно, коды 0x80-0xFF, доступные конвертору «ttf2c\_vc2003.exe», будут транслироваться не в русские буквы, а в «крякозяблик». Исправить положение помогает редактор шрифтов «FontForge» <<http://sourceforge.net/projects/fontforge/files/fontforge-source/>>. Это многофункциональная, а главное, бесплатная программа, которая пригодится любому пользователю и не только при работе с TFT-дисплеем.

## Порядок действий.

1) Скачать и инсталлировать программу «FontForge 2012-07-31» (или более свежую версию). Удалить файл C:\Program Files\FontForge\bin\share\locale\ru\LC\_MESSAGE\FontForge.mo, иначе без специального линуксоидного фонта надписи в программе окажутся нечитаемыми.

2) Скачать файл «UTFT\_DLDB.zip» [4]. Распаковать его содержимое по пути: C:\Program Files\Arduino\libraries\.

3) Открыть в программе «FontForge» шрифт DejaVuSans.ttf, находящийся в папке C:\Program Files\Arduino\libraries\UTFT\_DLDB\tools\. На сообщение «Warning» не обращать внимание. Визуализировать адресацию: «View-Label Glyph By-Unicode», после чего возле каж-

дого символа появится его шестнадцатеричный адрес.

4) Найти область адресов с юникодом кириллицы 0x0410-0x044F. Выделить мышью квадратики с русскими буквами (можно сразу целыми строками, удерживая клавишу Shift), скопировать их в буфер Ctrl+C (Edit-Copy), затем перенести в начало кодовой таблицы Ctrl+V (Edit-Paste). В итоге должна получиться следующая картинка (рис.6):

- 0x80-0x8F - буквы «...я»;
- 0x90-0x9F - буквы «А...П»;
- 0xA0-0xAF - буквы «Р...Я»;
- 0xB0-0xBF - буквы «а...п».

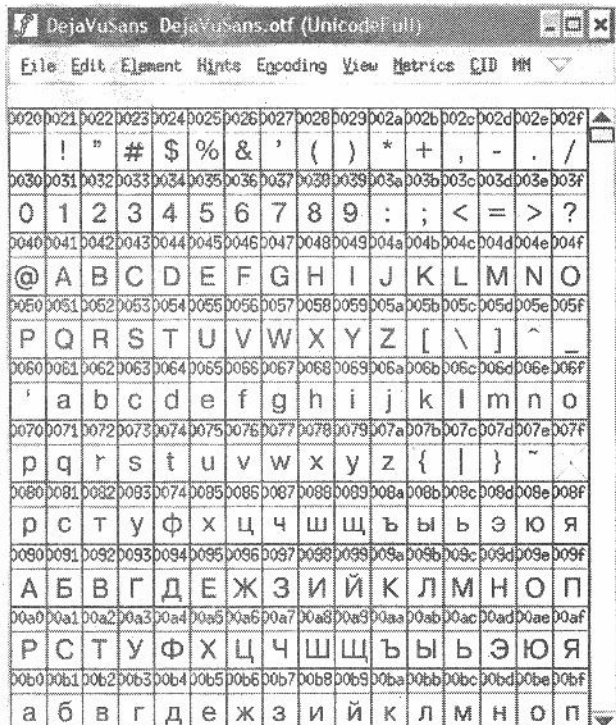


Рис.6

Полученная кодировка отличается от КОИ-8, альтернативной кодировки ГОСТа и IBM. Но это сделано специально, чтобы облегчить программную коррекцию кода библиотеки UTFT\_DLDB. Новую кодировку можно условно назвать UTF8-RUS.

5) Произвести настройку свойств шрифта: «Element-Font Info-OS/2-OS/2 Version»-выбрать строку Automatic-OK».

6) Сохранить полученный шрифт: «File-Generate Fonts»-выбрать строку OpenType(CFF)-Save». Далее будут появляться сопутствующие экраны, на которых подтвердить «Yes» и нажать «Save». Предупреждение о некорректности шрифта - проигнорировать, ведь делается не полноценный продукт, а лишь заготовка для конвертации. В конечном счете в текущей папке будет создан новый файл «DejaVuSans.otf».

7) Запустить из папки C:\Program Files\Arduino\libraries\UTFT\_DLDB\tools\ утилиту: ttf2c\_vc2003.exe 18 DejaVuSans.otf DejaVuSansRus.s 32 191 (можно через bat-файл). Формат командной строки: <высота шрифта> <исходный файл шрифта> <выходной файл Си-функций> <начальный номер символа> <конечный номер символа>. Чтобы утилита правильно функционировала, в системную папку C:\Windows\system32\ нужно предварительно скопировать два dll-файла, входящие в комплект ее поставки. После отработки утилиты надо переименовать файл «DejaVuSansRus.s» в «DejaVuSansRus18.c» и переместить его в папку C:\Program Files\Arduino\libraries\UTFT\_DLDB\.

8) Внести изменения в библиотечный файл C:\Program Files\Arduino\libraries\UTFT\_DLDB\UTFT\_DLDB.cpp согласно табл.3. Это необходимо, чтобы правильно отображался кириллический шрифт в кодировке UTF-8. Каждый такой символ передается из оболочки Arduino двумя последовательными байтами, причем первый байт, который больше 0x00,

# МИКРОКОНТРОЛЛЕРЫ

Таблица 3

Строка	Имеется в файле "UTFT_DL8.cpp"	Должно быть в файле "UTFT_DL8.cpp"
16	-	// Modified lines 127, 138 (20131212, PX6-2013)
127	{	{ if ((*st & 0xFF) < 0xC0) { //Added 20131212, PX6-2013)
137	}	} } else *st++; //Added 20131212, PX6-2013)

пропускается, а второй байт 0x80-0xBF распечатывается, как на рис. 6.

9) Запустить на выполнение скетч UTFT\_DL8\_Rus.ino ([листинг 2](#)) и наблюдать на дисплее русский алфавит и наклонные русские и английские надписи, напечатанные шрифтом DejaVuSans.ttf высотой 18 типографских пунктов. Кстати, этот и многие другие свободные кириллические шрифты легально доступны на сайте <http://free.type.org.ua/ru/>.

10) Обработка шрифта программой «FontForge» выполняет

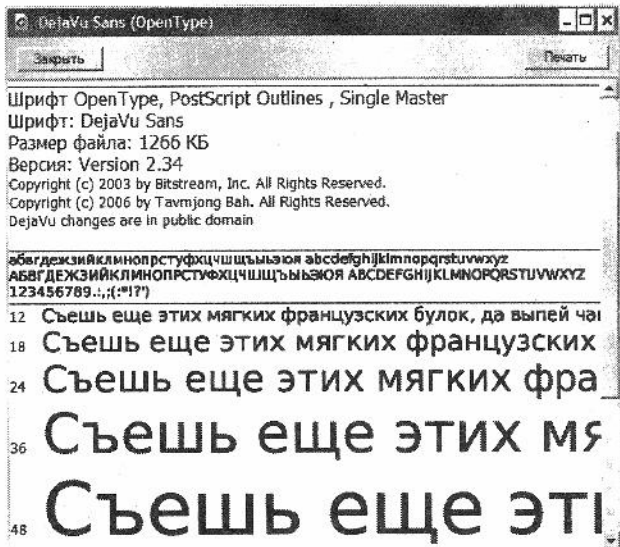


Рис.7

ся один раз для одного шрифта. Разную высоту символов (рис. 7) легко получить, если в командной строке запуска утилиты конвертора заменить число 18 числами 12...32 и т.д. После этого название Си-файла следует соответствующим образом подкорректировать, например, DejaVuSansRus12.c, DejaVuSansRus22.c, а затем в скетче подключить шрифт по образцу: «extern uint8\_t DejaVuSansRus12[ ];» или «extern uint8\_t DejaVuSansRus22[ ];». Опыт показывает, что лучше смотрятся более крупные шрифты, особенно если текст сделан под наклоном.

**Работа с картой памяти.** TFT-дисплей ценен тем, что на его экране красиво смотрятся цветные фотографии, коллажи, рисунки. Для сравнения, растр 320x240 пикселей - это телевизионное поле формата PAL в популярной игровой приставке Sega Mega Drive-II. Такого же (не хуже!) качества должны получиться и картинки на TFT-дисплее.

Каждый полноразмерный рисунок с 65535 цветовыми оттенками занимает в памяти достаточно много места, 150 Кбайт в формате \*.raw, поэтому хранить их выгодно на внешнем носителе. Вот здесь и пригодится карта памяти, будь то SD, miniSD или microSD. В двух последних вариантах нужны переходные вкладыши SD-miniSD или SD-microSD.

Библиотека функций UTFT\_tinyFAT предназначена для работы с картами памяти объемом до 2 Гбайт, большего она «не тянет». Следовательно, сгодятся любые устаревшие карточки, некогда бывшие верхом совершенства. Несложно подсчитать, что в 1 Гбайте данных помещается почти 7000 фотографий.

Опробовать работу с картой памяти можно по встроенному в библиотеку UTFT\_tinyFAT скетчу Demo\_Landscape. С его

помощью на экран дисплея с периодичностью 5 с выводятся картинки из файлов, которые хранятся в папке C:\Program Files\Arduino\libraries\UTFT\_tinyFAT\Image-files\. Их предварительно надо записать в карту памяти любым доступным способом. Обычно это делается через USB-картридер путем простого копирования файлов с компьютера.

Листинг 2

```

1 //Русификация TFT-дисплея, PXobby №6-2013
2 //=====
3 #include <UTFT.h> //библиотека функций TFT
4 #include <UTFT_DL8.h> //библиотека шрифтов
5 extern uint8_t DejaVuSansRus22[]; //Шрифт 22
6 UTFT_DL8 myGLCD(ITDB32S, 38, 39, 40, 41); //3,2"
7 //=====
8 void setup() //Arduino-Mega 2560, TFT-шилд
9 { myGLCD.InitLCD(LANDSCAPE); //Инициализация
10 myGLCD.ClearScreen(); //очистка экрана
11 } //=====
12 void loop() //Русский алфавит, наклон. текст
13 { myGLCD.setFont(DejaVuSansRus22); //Шрифт
14 myGLCD.setColor(255, 120, 0); //цвет букв
15 myGLCD.setBackColor(60, 0, 40); //фон
16 myGLCD.print("АБВГДЕЖЗЙКЛМНОП҃", 20, 65, 0);
17 myGLCD.print("РСТУФХЧЩЫШЫЭЮ", 20, 90, 0);
18 myGLCD.print("абвгдежзийклмноп҃", 20, 115, 0);
19 myGLCD.print("рстухчишышыэю", 20, 140, 0);
20 myGLCD.setColor(255, 0, 120); //фиолетовый
21 myGLCD.setBackColor(0, 0, 0); //черный
22 myGLCD.print("РадиоХобби", 100, 10, 10);
23 myGLCD.print("Hello, world!", 100, 210, -18);
24 while(1); //останов программы
25 } //Arduino-1.0.5, длина 32206 байтов (12%)

```

Вывод на экран одной фотографии в скетче занимает около 2 с (быстрее не позволяют возможности AVR-контроллера), затем делается программная пауза 3 с для просмотра изображения. Фактически это каркас программы, который можно взять за основу для скетча аудиоусилителя. Задача пользователя - подыскать подходящие по смыслу картинки и расставить их в нужном порядке.



Рис.8

Сохранить файл необходимо в форматах \*.png, \*.jpg, \*.gif. Русские буквы в названии следует обязательно заменить латиницей. Далее зайти на сайт <http://www.henningkarlsen.com/>



Рис.9

Далее зайди на сайт <[http://www.henningkarlsen.com/electronics/\\_Imageconverter565.php](http://www.henningkarlsen.com/electronics/_Imageconverter565.php)> и провести конвертацию рисунка в режиме «on-line», поставив «галочку» возле пункта «.raw file» и нажав кнопку «Make File» (рис.8).

**Образец начального меню** предварительного усилителя с М.У.З. показан на рис.9. Экранная заставка Windows под названием «Лазурь» была уменьшена до 320x240 точек. Затем в графическом редакторе в центре картинки добавлено изображение дисплея ЖКИ 16x2. Индикация громкости, баланса, тембра выводится надписями по аналогии с [1]. Внизу размещаются стилизованные картинки трех кнопок управления «+», «-», «ВЫБОР». Нажимаются они сенсорно. Разумеется, предложенный дизайн не является единственным возможным. Здесь большой простор для радиолюбительского творчества.

## Светодиодный «стрелочный» индикатор MP1054 для современного УНЧ аудиофилов

Роман Басалаев, г. Иркутск, Владимир Рублев (UA4LOU), г. Ульяновск

Многие из нас не раз собирали звуковой усилитель мощности. Кто в поисках хорошего звука, кто-то озвучить свадьбу или юбилей. Но когда дело доходило до установки устройства в корпус, думаю, каждый задавался вопросом, как оформить лицевую панель, и какую индикацию выходного сигнала использовать. На заре электроники устанавливались аналоговые стрелочные индикаторы. С появлением све-

того цвета (GNL-0805UBC-TL), линейка 0 дБ выполнена из 12 светодиодов желтого цвета (KP-2012SYCK), а линейка +3 дБ - из 12 светодиодов красного цвета (FMLS-0805BURC).

Как и большинство пиковых индикаторов, устройство получило логарифмическую шкалу, про-

градуи-



Рис.1

диодов, стали при-  
менять линейные индикаторы.

Они радовали глаз из-за своего красочно-го исполнения, но не так эффектны как стрелочные приборы. И вот, при изготовлении еще одного усилителя, снова встал вопрос индикации. Поиски необходимой конструкции в интернете не удовлетворили желание. Все это и побудило нас разработать что-то более уникальное.

При разработке устройства ставилась задача реализации эффекта динамической виртуальной «стрелки» на разноцветных светодиодах. Насколько это получилось, судить вам.

На рис.1 (и первой странице обложки) можно увидеть внешний вид устройства. Оно собрано на печатной плате размерами 135x40 мм с использованием двухстороннего монтажа на поверхности. Лицевая панель состоит из 132 светодиодов - рис.2 (масштаб 1:1). Основная часть шкалы выполнена из 108 светодиодов си-

рован-  
ную в дБ. Соотноше-  
ние уровня дБ/мВ приведено в  
таблице.

dB	-32	-25	-19	-15	-12	-9	-6	-3	0	3
mV	0	12	28	56	88	125	176	250	350	500

На обратной стороне модуля установлены остальные компоненты схемы - рис.3.

Принципиальная схема изображена на рис.4. Устройство построено на базе 8-разрядного микроконтроллера фирмы Atmel - DD1 ATmega8A-AU. На счетверенном ОУ DA1 (MCP604T) и спаренных диодах VD3, VD4 построен пиковый детектор уровня звукового сигнала, который подготавливает сигнал для последующей обработки микроконтроллером. Две

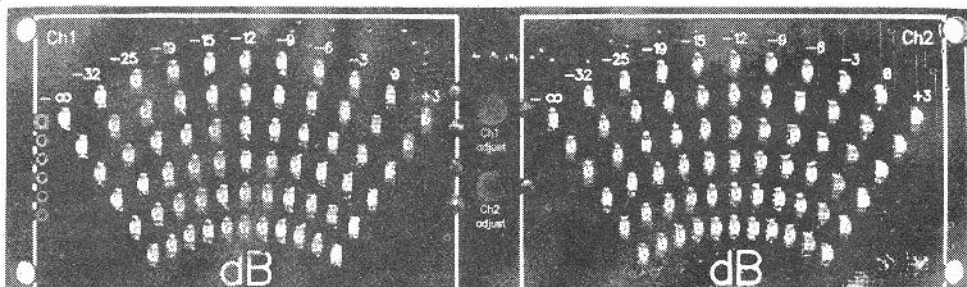
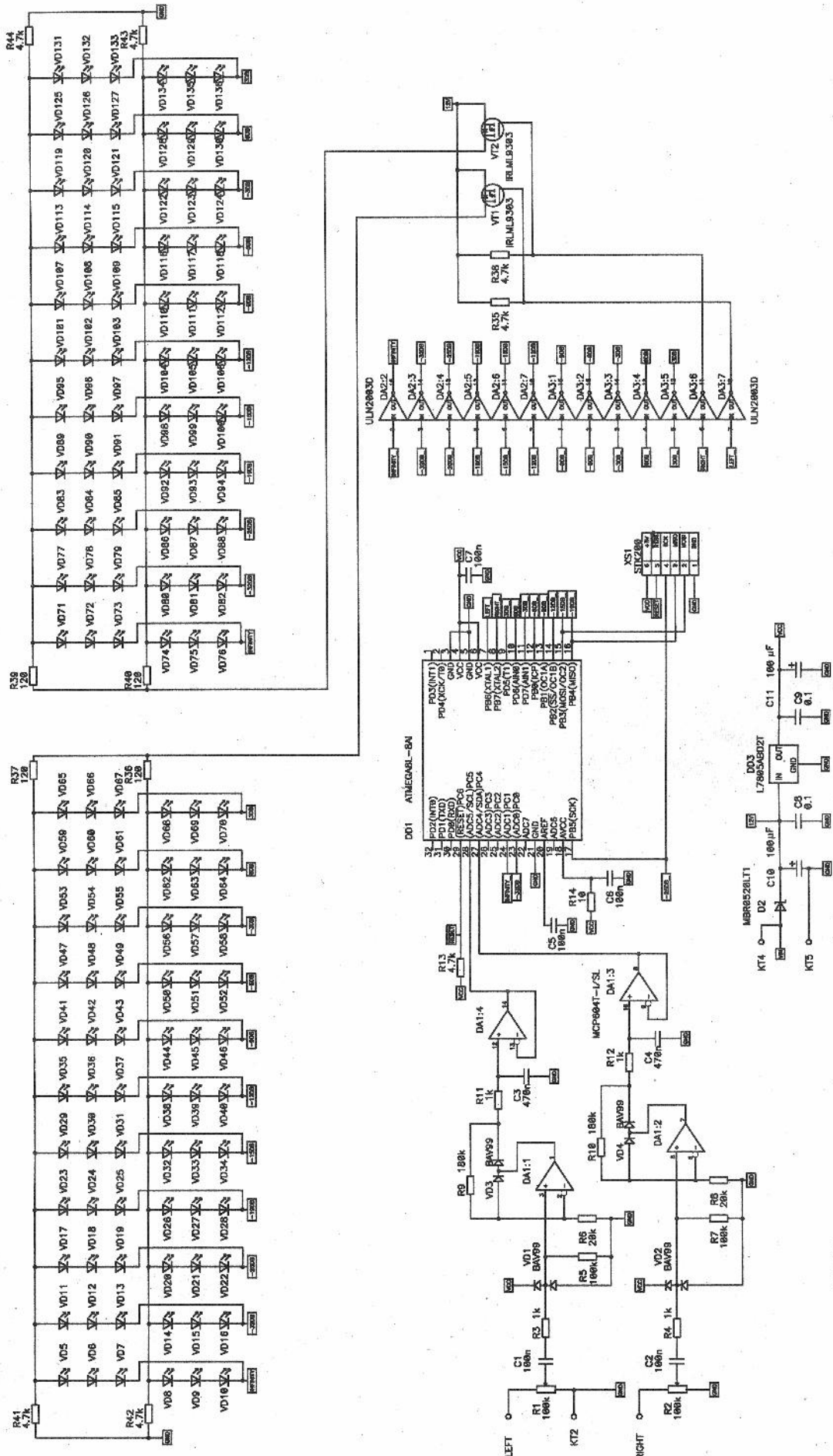


Рис.2



4

По умолчанию, выбрана максимальная яркость свечения светодиодов. При необходимости, ее можно уменьшить на 50%. Для этого достаточно установить перемычку (капелькой припоя) между 31 и 32 выводами микроконтроллера - *рис.3*.

Чертеж шкалы приведен на *рис.5*, а печатной платы - на *рис.6*.

Думаю, у нас получилось реализовать задуманное. В итоге появилось уникальное в своем роде устройство. И оно будет радовать не только нас, но и всех тех, кто захочет приобрести или сконструировать его самостоятельно. Пример установки модуля в аудиостойку можно увидеть на *рис.7*, а в корпус УМЗЧ - на *рис.8*.

hex-файл демонстрационной версии прошивки с настройками fuse доступен для скачивания в архивном файле *Ledarrow.rar* на сайте журнала «Радиохобби» в разделе, посвященном декабрьскому номеру за 2013-й год. В данной прошивке модуль включен в монофоническом режиме. В заключение хотелось бы отметить, что если приложить немного фантазии и в основной шкале установить светодиоды разного цвета, то можно получить отличную цветомузыкальную приставку.

Для тех, кому затруднительно спаять это устройство, мы предлагаем обратиться в один из магазинов, торгующих продукцией Мастер Кит.

По вопросам покупки модуля MP1054 обращайтесь:

- в России - по бесплатному телефону 8 (800) 200-09-34;
- в Беларусь: т. (17) 288-13-13;
- в Украине: т. 8-094-925-64-96.

Бесплатная консультация: [infomk@masterkit.ru](mailto:infomk@masterkit.ru).  
Литература: описание MP1054 на сайте [www.masterkit.ru](http://www.masterkit.ru).

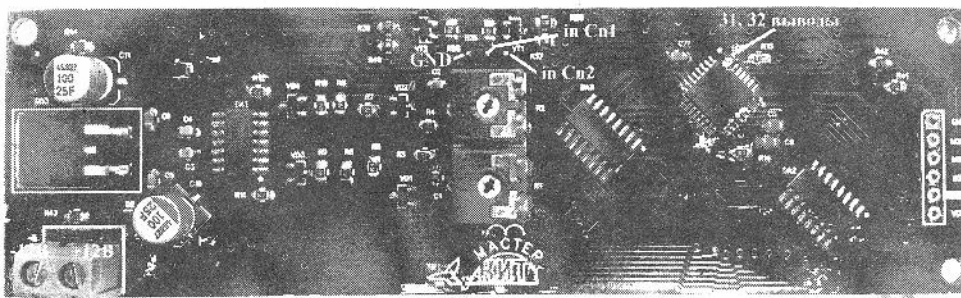


Рис.3

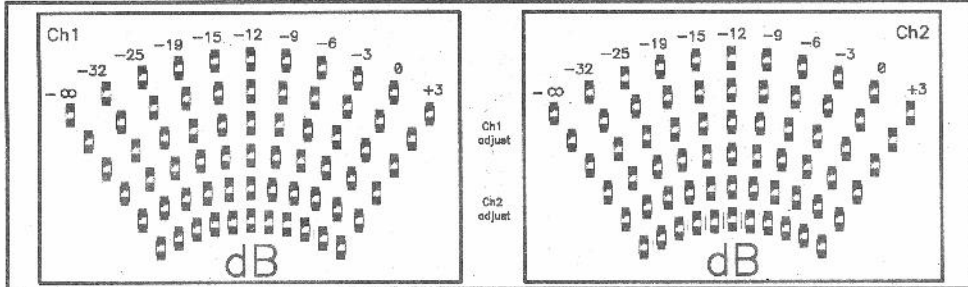


Рис.5

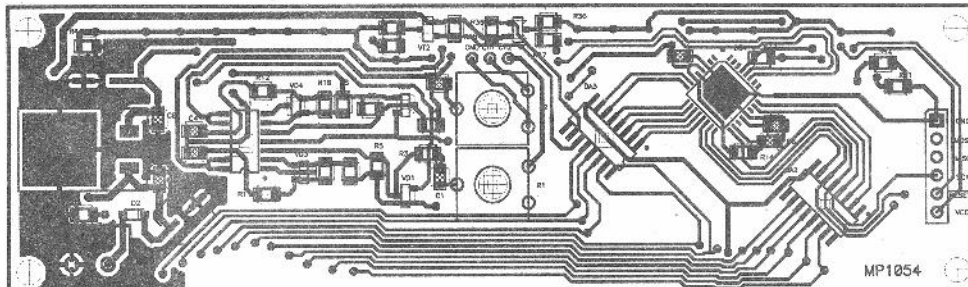


Рис.6

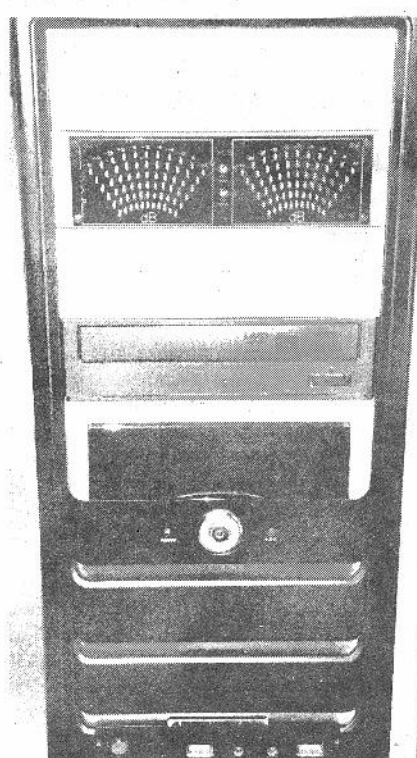


Рис.7

микросхемы DA2, DA3 (ULN2003D) используется в качестве драйвера светодиодов. Микросхема линейного стабилизатора DD3 (L7805) обеспечивает питание микроконтроллера. Питается устройство стабилизированным напряжением 12...15 В, потребляемый ток составляет не более 100 мА. На входе устройства применен резистивный делитель на подстроечных резисторах R1 и R2. Благодаря нему, устройство можно подключить не только к линейному выходу плеера или ПК, но и параллельно АС автомобильной магнитолы или домашнего музыкального центра.

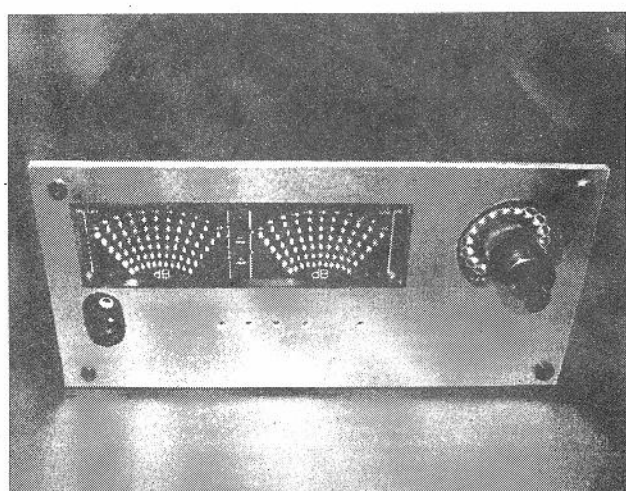


Рис.8

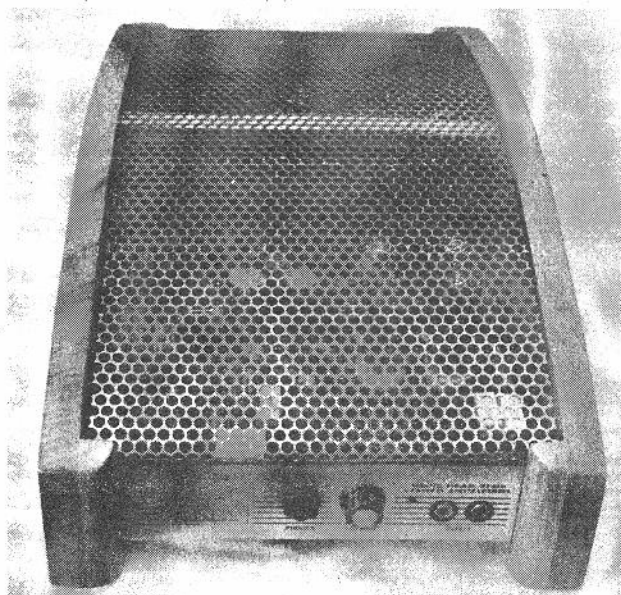
# «Эмиттерно-катодный» гибрид в High-End усилителе для наушников

Владимир Федосов, г. Краснодар

Гибридный усилитель для наушников состоит из (схема на рис. 1) операционного усилителя, транзисторов T1, T2, T3, T4 и двух ламп 6С19П. Операционный усилитель OP1 через R2 замыкает обратную связь по переменному и постоянному напряжению, задавая коэффициент усиления 8,2 и поддерживая нуль по постоянному напряжению на выходе (это позволяет, в свою очередь, избавиться от лишних разделительных конденсаторов на выходе). Коэффициент усиления устанавливается резистором R2. Транзистор T1 является повторителем напряжения, который через два красных светодиода LED1, LED2 нагрузжен на генератор тока на транзисторе T3.

Сигнал с повторителя T1 подается на мощный P-N-P транзистор T2, эмиттер которого соединен с катодом ламп L1, L2. Лампы L1 и L2 вместе с транзистором T2 образуют «катодно-эмиттерный» повторитель. Смещение на сетку L1 и L2 задается двумя красными светодиодами. Лампы L1 и L2 выполняют одновременно функцию катодных повторителей и генераторов тока, что является ноу-хау автора и на это техническое решение подана заявка на изобретение в Евразийское Патентное Ведомство. Выходной каскад и операционный усилитель работают в режиме класса А.

Дополнительный транзистор T4, который выполняет функцию вольтодобавки, осуществляет дополнительную фильтрацию анодного напряжения и к тому же является параметрическим стабилизатором. Применение вольтодобавки позволяет получить на выходе усилителя более высокое напряжение и повышенную линейность, а выходные лампы при этом сохраняют неизменный ток покоя. Выходной каскад и операционный усилитель также работают в режиме класса А. На плате можно исключить транзистор T1, поставив перемычку, тогда внутренний N-P-N транзистор операционного усилителя переводится в однотактный режим, а во внутренний P-N-P транзистор операционного усилителя, во время отрицательной полуволны начинает затекать дополнительный базовый ток выходного транзистора T2, который приplusplusывается к генератору втекающего тока (транзистор T3), что также повышает качество звучания усилителя. На частоте 30 кГц и на нагрузке



12 Ом выходная мощность усилителя равна 2 Вт в стерео режиме. При подаче на вход меандра на подключенном к выходу осциллографе виден также идеальный меандр. При увеличении нагрузки выходная мощность повысится, кроме того, плату можно использовать как моно блок с мостовым подключением нагрузки - в этом режиме выходная мощность достигает 4 Вт. Такой мощности вполне хватает для студийной работы с мониторами ближнего поля, при этом качество звука удивляет очень многих. Плата усилителя для наушников обведена с блоком питания и схемой защиты, имеет размер 160x170 мм в стерео варианте. На плате установлены - разъем для наушников, входные разъемы и регулятор уровня. С правой стороны платы подключаются выводы накалов ламп.

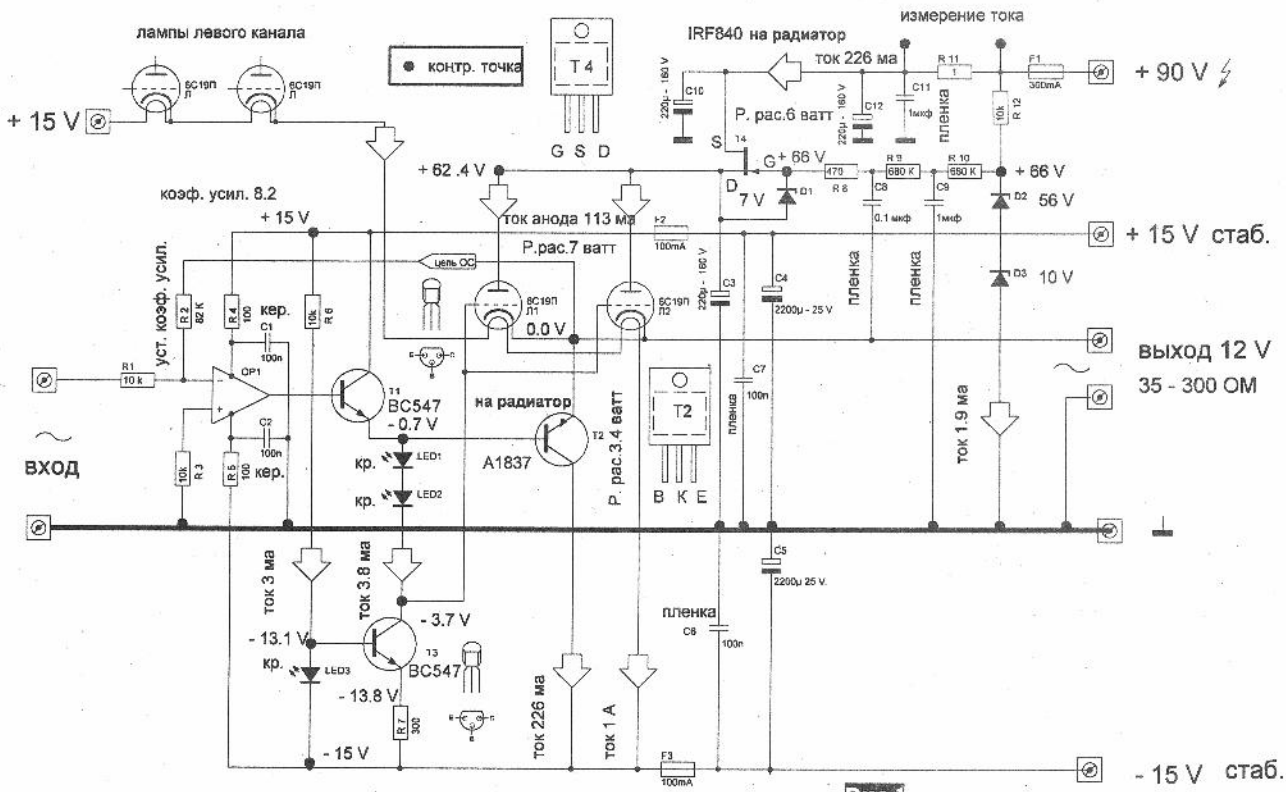


Рис.1

На принципиальной схеме рис.2 представлен блок питания и схема защиты. Блок питания состоит из анодного выпрямителя с плавным пуском. Плавный пуск реализован на реле №1 и сопротивлении R16. Для подавления помех, создаваемых диодами, применены шунтирующие конденсаторы C1-C4, и C8-11, которые паяются прямо на выводы выпрямительных мостов снизу на плате. Стабилизаторы + и - 12 В имеют плавное включение. Плавное включение продлевает ресурс работы ламп. Плавный пуск обеспечивается генераторами тока на транзисторах T3 и T4, которые работают на стабилитрон, шунтированный конденсатором большой емкости 10000 мкФ на 16 В. Схема защиты от постоянного напряжения на выходе каких-либо особенностей не имеет. Все транзисторы имеют изолированный корпус (кроме TIP 142 и 147) и установлены на плате снизу, а через монтажные отверстия на плате привинчиваются к алюминиевому основанию, на нем же устанавливается и торOIDальный силовой трансформатор. Варианты исполнения корпуса могут быть самые различные.

Для контроля состояния работы имеется 3 светофиода. Светодиод №1 показывает наличие сети. Светодиод №2 включается при включении устройства, светодиод №3 включается при отсутствии постоянного напряжения на выходе. Светодиоды № 1, 3 не выведены на разъем. При желании они могут быть установлены самостоятельно.

Коэффициент нелинейных искажений, в основном, определяют примененные операционные усилители. К примеру, на операционном усилителе K140УД6 в золоченом корпусе, КНИ на нагрузке 32 Ома и выходном напряжении 4 В составил 0,003%. В схеме возможно применение современных операционных усилителей с более низким КНИ. В принципиальной схеме указаны все напряжения и токи в узловых точках гибридного усилителя. При указанных номиналах и указанных напряжениях и правильном монтаже схема не требует каких-либо дополнительных настроек. Особое внимание необходимо уделить силовому трансформатору он должен иметь малое поле рассеивания и иметь экранированную обмотку. В настоящий момент времени на плате (в «кроватке») установлен операционный усилитель NE5532, у которого выходной ток составляет 10 мА на канал. Схема позволяет установить и другие операционные усилители.

(Окончание в следующем номере)

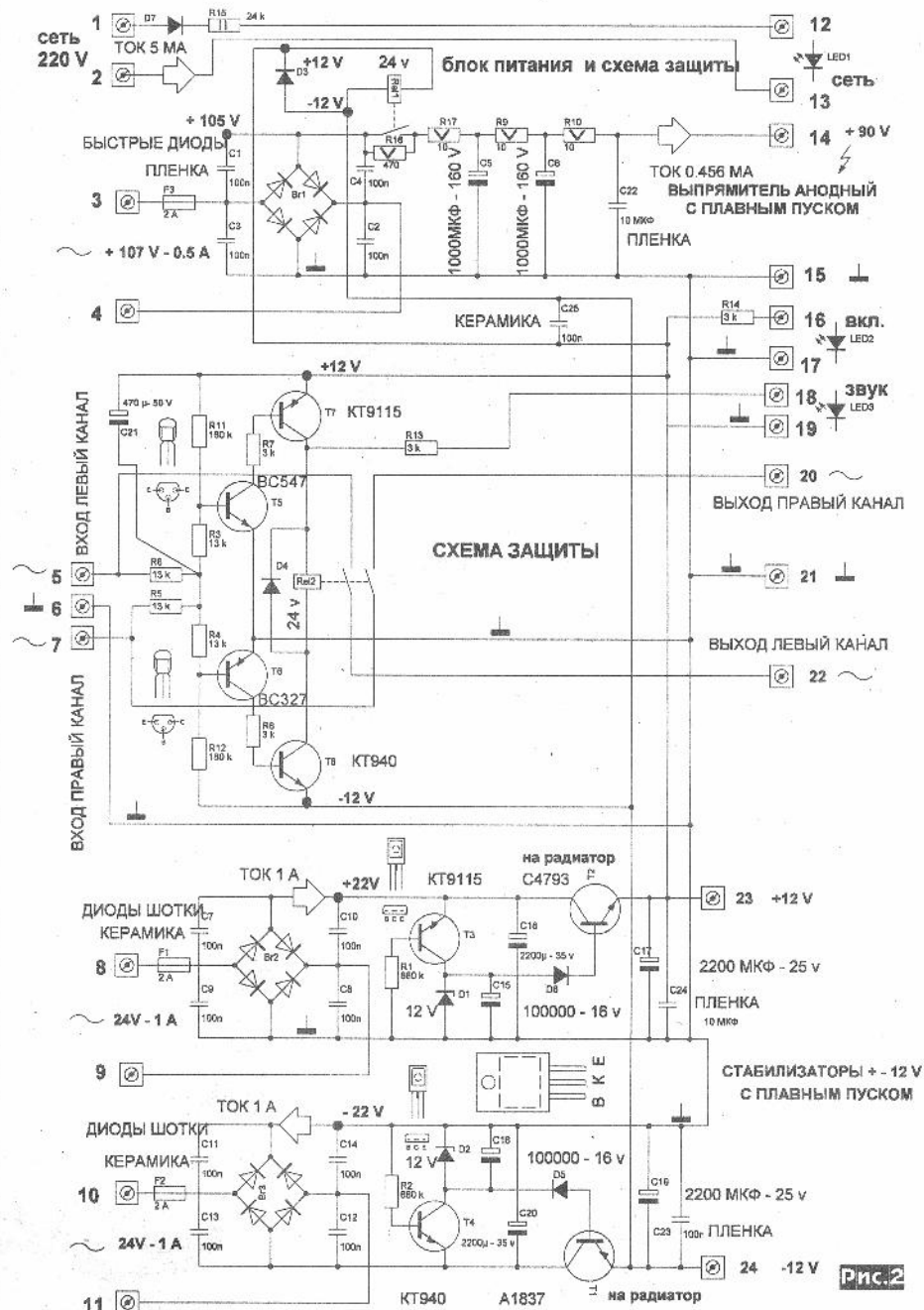
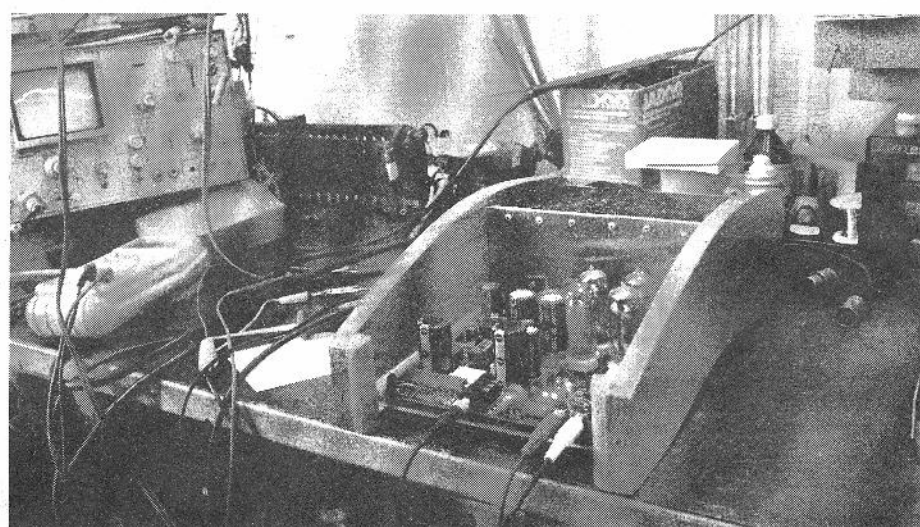


Рис.2



# ЭЛЕКТРОННЫЕ КОМПОНЕНТЫ, СИСТЕМЫ, ОБОРУДОВАНИЕ И АКСЕССУАРЫ

## TRIOD

**Радиолампы от производителя:**  
**Г, ГИ, ГК, ГМ, ГМИ, ГС, ГУ, БН, БП, радиолампы Hi-End**

- Магнетроны, ЛБВ, клистроны, разрядники
- Тиратроны, кенотроны, виодиконы, ЭЛТ, ФЭУ
- Контакторы ДМР, ТКС, ТКД, ТКЕ, КНЕ и др.
- СВЧ модули 1ГИ.., 1УИ.., 1УСО.., М.. и др.
- Сельсины, двигатели СКТ, ДГМ, ДПР, ДИД и др.
- Высоковольтные конденсаторы К15.., разные.

→ Гарантия, доставка, скидки

Tel./fax: (+38 044) 405-22-22, 405-00-99 (с 9<sup>00</sup> до 17<sup>00</sup>)  
[www.triod.kiev.ua](http://www.triod.kiev.ua) E-mail: [ur@triod.kiev.ua](mailto:ur@triod.kiev.ua)

## Частное предприятие

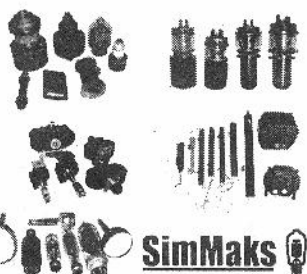
### СИММАКС

Стабильные комплексные поставки  
 ГЕНЕРАТОРНЫЕ ЛАМПЫ, КЛИСТРОНЫ,  
 МАГНЕТРОНЫ, ЛБВ,  
 ОСЦИЛЛОГРАФИЧЕСКИЕ ТРУБКИ

диагностика ЭЛЕКТРОВАКУУМНЫХ  
 ПРИБОРОВ

разработка и изготовление  
 проверочных приборов под заказ

г. Киев, пр. Лесной, 39в, 2й этаж  
 т/ф (044) 502-69-17, 568-09-91  
 моб.: (063) 568-09-91, (095) 777-77-63  
 E-mail: [simmaxs.5680991@gmail.com](mailto:simmaxs.5680991@gmail.com),  
[www.simmaxs.com.ua](http://www.simmaxs.com.ua)



**SimMaks**



г. САМАРА

## ВОЛЬТ МАСТЕР

приборы инструменты радиодетали

ул. Зои Космодемьянской, 21 (напротив рынка "Шапито")

Тел. (846) 20-22-911

e-mail: [voltmaster@mail63@mail.ru](mailto:voltmaster@mail63@mail.ru)  
[voltmaster.samara@mail.ru](mailto:voltmaster.samara@mail.ru)

ТОВАРЫ ДЛЯ РАБОТЫ, ХОББИ И ДОМА

## ПЕЧАТНЫЕ ПЛАТЫ



изготовление **ETAL** монтаж

НПО "ЭТАЛ"  
 тел.: +38(05235) 7-42-04, 7-41-95, 7-53-29  
 e-mail: [pcb@etal.ua](mailto:pcb@etal.ua), [market@etal.ua](mailto:market@etal.ua)

## ЭЛКОМ СИТИ

Компания

### ЭЛКОМ сити

Республика Казахстан  
 г. Алматы, ул. Айманова, 224-1  
 тел.: 8(727) 274-5549  
 e-mail: [eagles\\_zhanna@mail.ru](mailto:eagles_zhanna@mail.ru)  
[www.masterkit.kz](http://www.masterkit.kz)

Комплектующие для ремонта электронной техники  
 Программаторы ORANGE-5. Мини-лаборатория OMEGA, MASTER KEY  
 Кабеля, шнуры, спец. инструмент, тех литература.  
 Электронные наборы МАСТЕР КИТ  
 Продукция групп компаний "ШТИЛЬ"  
 Компьютеры и комплектующие  
 Продажа и ремонт сварочного оборудования и  
 оснастки компании Fusion Великобритания

**ЭЛКОМ СИТИ**  
 Магазин «Электронщик»  
 Посылторг

Россия  
 Новосибирск  
 Микрорайон Горский, д. 61.  
 Проезд до ст. метро "Студенческая".  
 Тел.: 8 (383) 359-93-16, 351-56-99  
 E-mail: [info@elcotel.ru](mailto:info@elcotel.ru)  
 Сайт: [www.elcotel.ru](http://www.elcotel.ru)

Комплексные поставки импортных и отечественных электронных компонентов и комплектующих, продукции и каталогов МАСТЕР КИТ, измерительной аппаратуры и радиомонтажного инструмента, современных импульсных источников питания.  
 Доставка продукции наложенным платежом по всей России.

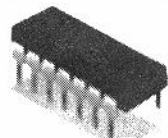
## Радиоком

Сергей Иванович

тел. (050) 523-62-62  
 (068) 197-26-25 офис моб. (Билайн)

Сергей Анатольевич

тел./факс (0432) 53-74-58



• г. Киев, радиорынок Кар. Дачи, места № 363, 364 пятница, суббота, воскресенье  
 • г. Винница, ул. 600-летия, 15 тел. 50-58-80  
 ул.600-летия, 15 8 (0432) 65-72-00, 65-72-01 офис - с 01.01.2008  
 г. Винница, Украина e-mail: [radiocom@svitonline.com](mailto:radiocom@svitonline.com)  
 21021 [www.radiocom.vinnitsa.com](http://www.radiocom.vinnitsa.com)

Продажа радиокомпонентов импортного и отечественного производства

керамические конденсаторы (выводные и SMD)  
 электролит. конд. (Samwic, Jamicon, CapXon, Chang, Eizet)  
 планочные конденсаторы (импортные и отечественные)  
 резисторы (выводные и SMD), резисторы-аналоги СПЗ-19а, б  
 диоды, мосты, стабилизаторы напряжения  
 стабилитроны (выводные и SMD), супрессоры, разрядники  
 светодиоды, светодиодные дисплеи, изделия из светодиода в  
 транзисторы, микросхемы (импортные и отечественные)  
 реле, разъемы, клемники, предохранители, держатели предохр.



**Філур Електрик**  
**Filur Electric**

## Радіоелектронні комплектуючі

Україна, 03035, м. Київ, вул. Урицького, 1, 6-й поверх  
 тел. (044) 495-75-75, факс (044) 495-75-72  
[www.filur.net](http://www.filur.net) [www.payalnik.com.ua](http://www.payalnik.com.ua) [asen@filur.kiev.ua](mailto:asen@filur.kiev.ua)

## ИМПУЛЬСНЫЕ ИСТОЧНИКИ ПИТАНИЯ

Поставка и производство под заказ по доступным ценам:

- блоки питания импульсные стабилизированные (для бытового применения);
- блоки питания импульсные стабилизированные на DIN-рейку (для пром. применения);
- блоки питания импульсные стабилизированные (встраиваемые)
- источники бесперебойного (резервного) питания, встраиваемые, в виде платы и на DIN-рейку

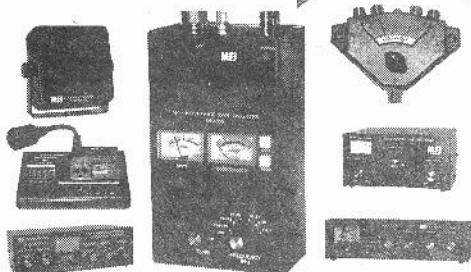
21021, СПД «ВОВК С. И.», Винница, ул. Келецкая 60, к. 1  
 тел. (0432) 657-200, 657-201, 53-74-58,  
 (068) 174-86-20, (050) 523-62-62

[radiocom@svitonline.com](mailto:radiocom@svitonline.com)  
<http://www.radiocom.vinnitsa.com>



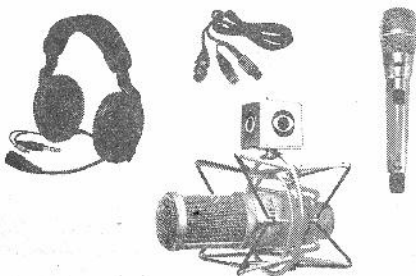
# RADIOEXPERT.RU

**MFJ**  
аксессуары  
для  
радиолюбителей



весь модельный ряд MFJ под заказ  
и в наличии

**HEIL**  
Гарнитуры, микрофоны, аксессуары

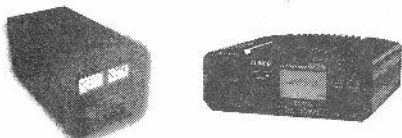


## Антенны КВ и УКВ



Cushcraft, Antic, MTS, Hy-Gain  
и другие

## Блоки питания



трансформаторные и импульсные  
от 20A до 40A

## AMERITRON

усилители мощности для трансиверов



AL-811H  
800 Ватт

AL-1500  
2500 Ватт

весь модельный ряд

## VECTRONICS

антенные тюнеры от 300 до 1500 Ватт



наборы для самостоятельного изготовления  
трансиверов, приемников, передатчиков,  
фильтров и т.д.

весь модельный ряд

## Поворотные устройства YAESU

G-1000DXA  
G-800DXA  
G800SA  
G-450A



## KCB метры



**DIAMOND**  
SX-200, SX-400, SX-600

**VECTRONICS**  
PM-30, PM-30UV

кв, квс/ватт метры в наличии и на заказ

Компания "Радиоэксперт", Россия, Санкт-Петербург, ул. Калинина, д.13, 2 этаж, офис 210  
тел/факс: +7 (812) 386-75-20, (499) 638-84-10

[www.radioexpert.ru](http://www.radioexpert.ru)  
[info@radioexpert.ru](mailto:info@radioexpert.ru)

Уважаемые читатели, идя навстречу вашим пожеланиям, официальный представитель компании **Мастер Кит в Украине - посыптор «Кедр-плюс»** рассылает наборы для радиолюбителей **«Мастер Кит»**. В обозначениях первые две буквы NM, NS, NK, NF соответствуют наборам для собственной сборки, включающим все детали, печатную плату и инструкцию, BM - блок с уже припаянными на плату элементами, MK - готовое устройство в корпусе. Более подробные данные по наборам **«Мастер Кит»** можно получить в публикациях нашего журнала (в рубрике **«Мастер Кит»**), а также на сайте [www.masterkit.ru](http://www.masterkit.ru)

Вы имеете возможность заказать наборы, выбрав их из приводимого ниже перечня (**внимание, перечень сокращенный! Полный перечень наборов можно получить на сайте <http://www.masterkit.ru>**) и указав в заявке код, название набора и ваш полный обратный адрес с почтовым индексом и Ф.И.О. **без сокращений (будьте внимательны, заявки с неполным адресом к исполнению не принимаются). Цена\*** указана в гривнах и не

включает в себя почтовые расходы, которые **необходимо учитывать дополнительно по расценкам Укрпочты для заказных бандеролей соответствующей массы (<http://services.ukrposhta.com/CalcUtil/PostalMails.aspx>)**.

**Для получения набора жители Украины направляют заявку** по адресу 04073, Киев-73, а/я 84, на email: [kedrplus@mail.ru](mailto:kedrplus@mail.ru), в он-лайн режиме по адресу <http://radiohobby.qrz.ru/kedrplus.html> или по телефонам 094-925-64-96, 067-782-55-91, для Киева 360-94-96.

**Жители России могут заказать наборы по email: [info@masterkit.ru](mailto:info@masterkit.ru) или на сайте [www.masterkit.ru](http://www.masterkit.ru).**

Заказ высылается ценной бандеролью наложенным платежом (оплата при получении на почте) в течение 1...3 недель со дня получения вашей заявки. Цены действительны до выхода в свет следующего номера журнала, для оперативного уточнения звоните по указанному телефону.

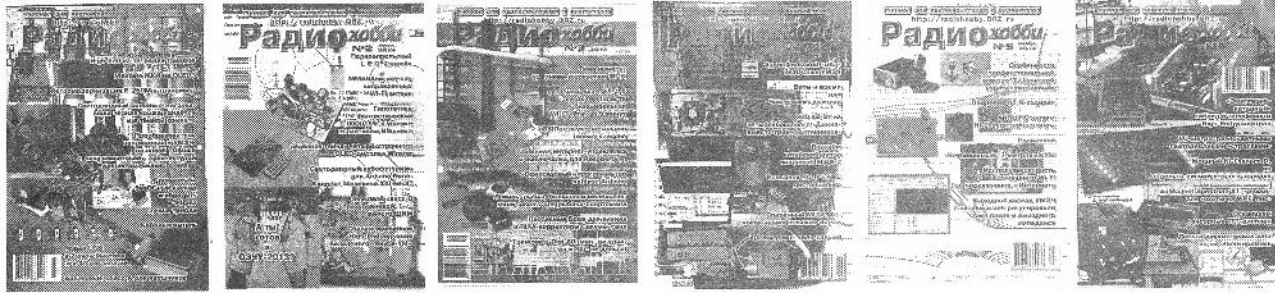
Код	Наименование	Цена*, грн.
Рукотя металлоискетора пластиковая с комплектом крепежа	360,20	
Пластиковый кронштейн крепления датчика металлоискетора	40,48	
Корпус датчика металлоискетора (комплект из двух половинок)	114,00	
Блистерная заливочная форма для датчика KOЩЕЙ 20M	45,03	
85С1 2A Analogoviy DC амперметр на приборную панель. Шкала 0 - 2 A	55,78	
85С1 5V Аналоговий DC вольтметр на приборную панель. Шкала 0 - 5 В	55,78	
A20MEDIA2PC Медиа компьютер с двухъядерным процессором Dual Core TV Box, Alwinner A20, Android 4.2, 1G/16G	112,20	
LAN, Аудио, ДУ		
A20STICK Мини компьютер с двухъядерным процессором Alwinner Dual Core Mini PC Alwinner A20, Android 4.2, RAM 1GB, Flash 4GB, ИК ДУ	758,21	
AX-16 Принимник для беспроводной передачи мультимедийного сигнала Miracast, DLNA сервер	603,58	
BK COLORLCD 1,6" Цветной CSTN дисплей (132 * 132). Расширение для Arduino	220,78	
A20MEDIA2PC Мультимедийный мини компьютер A20MediaPC с двухъядерным процессором Alwinner A20	1625,00	
A20STICK Dual Core media Stick, Alwinner A20, Android 4.2, RAM 1GB, Flash 4GB, ИК ДУ	1057,05	
AK-16 Miracast, DLNA сервер	630,20	
BK COLORLCD Модуль построен на потрясающем дисплее от телефона	22,94	
BM037 Регулируемый стабилизатор напряжения 1,2...30 В/0,8А	134,55	
BM037M Импульсный регулируемый стабилизатор напряжения 1,2...37В/3,0А	149,24	
BM057 Усилитель НЧ 22 Вт (TDA2005, мост) с радиатором	152,19	
BM071 Регулятор мощности 220В/3 кВт	173,84	
BM083 Инфракрасный барьер 50м	135,07	
BM1043 Устройство плавного включения и выключения	88,26	
BM1080 Источник бестранзисторного питания 12В/0,8А	396,00	
BM137 Микрофонный усилитель	68,85	
BM146 Исполнительный элемент	61,60	
BM2032 Усилитель НЧ 4x40 Вт (TDA7384, авто)	169,40	
BM2033 Усилитель НЧ 100 Вт (TDA7294)	111,12	
BM2034 Усилитель НЧ 70 Вт (TDA1582, авто)	180,80	
BM2036 Усилитель НЧ 32 Вт (TDA2050, Hi-Fi, блюз)	101,20	
BM2037 Усилитель Hi-Fi 18 Вт TDA2030A	73,80	
BM2039 Усилитель 2x40 Вт (TDA8560Q/TDA8563Q)	124,48	
BM2042 Усилитель НЧ 140 Вт (TDA7293, Hi-Fi)	157,95	
BM2043 Мостовой автосутиль НЧ Hi-Fi 4x77Вт TDA7560	223,56	
BM2051 Микрофонный усилитель (двухканальный)	83,84	
BM2061 Электронный рефлеборатор	193,20	
BM2062 Цифровой ридкот	176,00	
BM2071 Цифровой усилитель D-класса мощностью 315 Вт + драйвер	377,20	
BM2072 Цифровой усилитель D-класса мощностью 315 Вт с предв. Ус-лем	1016,00	
BM2073 2(6)-канальный усилитель звуковых частот	736,00	
BM207N 2-канальный цифровой усилитель D-класса 2x210 Вт	952,20	
BM2080 USB-FM трансмиттер	251,51	
BM2111 Стереофонический телеброблок	186,76	
BM2111/12V Стереофонический телеброблок	152,26	
BM2115 Активный фильтр НЧ для сабвуфера	77,28	
BM2119 Предварительный усилитель с балансными входами	98,82	
BM245 Регулятор мощности 500 Вт/220 В	60,72	
BM246 Регулятор мощности 1000 Вт/220 В	63,48	
BM247 Регулятор мощности 2500 Вт/220 В	161,92	
BM250F Устройство управления насосом	147,20	
BM251F Часы-таймер 1_180 минут (секунд) 220 В / 200 Вт	229,60	
BM4012 Датчик уровня воды	64,37	
BM4022 Термометр 0...150 С	84,00	
BM4511 Регулятор яркости ламп накаливания 12 В/50 А	74,40	
BM6020 Дополнительный светодиодный модуль для BM6120	66,40	
BM6036 Лампа светодиодная 150 лumen	120,00	
BM6120 Светильник 12 В на мощных светодиодных лампах	224,00	
BM6123 Светильник 220В на мощной светодиодной матрице	88,00	
BM707F Термосенсор цифровой	307,03	
BM800L GPS-GPRS трекер автомобильный без сим-карты	1053,00	
BM8010 Двухдиапазонный частотомер	494,56	
BM8020 USB осциллограф	608,80	
BM8021 Цифровой запоминающий осциллограф	1874,00	
BM8035 Термостат 5-ми канальный микропроцессорный таймер, термостат, часы	792,00	
BM8036/AT/пера Микроконтроллер с прошивкой для модуля BM8036	151,70	
BM8037 Цифровой термометр (до 16 датчиков)	294,40	
BM8037/AT/B9 Программа для модуля BM8037	96,00	
BM8038 GSM-сигнализация	304,00	
BM8039 GSM интеллектуальное управление с функцией схемного устройства «ГАРДИАН»	1104,00	
BM803D GSM управление и сигнализация на DIN-рейку	1251,20	
BM803D/AT/пера Микроконтроллер с прошивкой для модуля BM803D	128,32	
BM8039S Датчик давления и устройства согласования	376,00	
BM8040 Дистанционное управление на ИК-лучах (RC5)	248,00	
BM8042 Импульсный микропроцессорный металлоискатель	392,00	
NM8041_4/4 элк NM8041_42_44_Д4_Датчик для металлоискателей	180,40	
BM8043 Микропроцессорный металлоискатель «Кошачь»	1280,00	
NM8043/Датчик Поксальная катушка для селективного металлоискателя BM8043-КОШЕЙ»	1002,80	
BM8044 Универсальный импульсный металлоискатель KOЩЕЙ 5ИМ	904,00	
NM8044/Датчик Поксальная катушка для универсального импульсного	469,80	
DK020.1 Настройная плата K20M	1440,00	
DK020.2 Настройная плата K20M	1100,00	
K20.3 Набор деталей и узлов для сборки эл. блока K20M	1720,00	
DK020.4 Блок KOЩЕЙ 20M без рукавки	1875,00	
DK020.5 Блок KOЩЕЙ 20M с рукавкой	2300,00	
DK020.6 KOЩЕЙ-20M в сборе без датчика	5100,00	
DK020.7 Импульсный селективный MZ K20M в сборе (комплектуется датчиком NEL 12x13' или 8x12')	4000,00	
BM8049 Выключатель освещения с дистанционным управлением 1,5 кВт (от любого ИК-пульта ДУ)	142,80	
BM8049M Выключатель освещения с дистанционным управлением 1,5 кВт (от любого ИК-пульта ДУ)	152,00	
BM8049/AT/пера Микроконтроллер с прошивкой для модуля BM8049	70,34	
BM8050 Переходник USB в COM	138,00	
BM8051 Переходник USB - UART адаптер	105,80	
BM8069D Устройство расширения входов/выходов	295,08	
BM8070D Исполнительное устройство. Силовой реле 16A/250В на DIN-рейку	113,40	
BM8079D Источник бесперебойного питания 12В/0,4А	485,75	
BM8093 Внутришний программатор AVR микроконтроллеров	94,22	
BM8010 USB внутрисхемный программатор AVR	202,40	
BM9213 Универсальный автомобильный адаптер К-Линии USB	276,00	
BM9215 Универсальный программатор	190,26	
BM9221 Устройство для ремонта и тестирования компьютеров - POST Card PCI	296,52	
BM9221/ЕРМ ПЛМ с прошивкой для модуля BM9221	152,00	
BM9222 Устройство для ремонта и тестирования компьютеров - POST Card PCI	528,08	
BM9312 Активный модуль на 2 силовых выхода (до 60В/1А DC) серии BASIC Pic	410,26	
BM9316 Пассивный модуль для 2 силовых выходов (до 60В/1А DC) с гальв. развязкой BASIC Pic	232,76	
BM9319 Модуль часов реального времени	147,84	
BM9326 Активный модуль расширения на 16 линий ввода на 24В	241,77	
BM9339 Модуль расширения на 16 линий ввода/вывода с подпиткой к +5В	141,68	
BM9344 Модуль расширения на 16 линий ввода/вывода с согласующими резисторами	150,79	
BM945F Цифровой контроллер температуры	390,40	
EK-001 FM радиоприемник. Конструктор - раскраска ЧУДО КИТ	208,00	
EK-001P FM радиоприемник. Радиоизондатор - раскраска ЧУДО КИТ	141,59	
EK-002P Радиоизондатор. набор для пайки «Твой радио»	201,27	
EK-003 Радиоизондатор вешательных станций в диапазоне УКВ-FM. «Твой радио» №3	340,40	
EK-004 A Радиоизондатор «Твой радио» №4. Под контролем Arduino	576,00	
EK-501_502_503 Комплект роботов : EK-501 ЧУДО КИТ, EK-502	1210,88	
EK-501_503_505 Радиоизондатор - раскраска. Радиоприемник с цифровой обработкой сигнала	240,00	
EK-101 МОС Детский автомобильный конструктор «Всё-моби»	544,00	
EK-238 ЧУДО КИТ Электронный конструктор «ЧУДО КИТ»	386,40	
EK-35 Электронный конструктор ЧУДО-КИТ	117,76	
EK-39 Электронный конструктор ЧУДО-КИТ	193,20	
EK-501 Робот - конструктор детский	520,00	
EK-502 Робот - конструктор детский	625,80	
EK-503 Робот - конструктор детский	428,40	
EK-504 Робот Развивающий конструктор РОБОМАСТЕР EK-504	799,00	
EK-505 Хватоход Развивающий конструктор ХВАТОХОД EK-505	541,20	
EK-9889 Электронный конструктор ЧУДО-КИТ	476,40	
IC_LCD01 Модуль для подключения символьного дисплея	70,72	
LED_CUBE_4x4x4 LED_CUBE_4x4x4 Nano - Светодиодный куб 4x4x4 для Arduino Nano	200,00	
LED_CUBE_8x8x8 Набор элементов для самостоятельной сборки светодиодного куба 8x8x8. (Каркас и светодиоды)	381,27	
LED_CUBE_8x8x8_Plата Плата управления для светодиодного куба 8x8x8. Для Arduino Nano.	421,81	
CQ-04 receiver Отправляемый приёмо-передатчик	16,95	
CQ-04 transmitter Отправляемый приёмо-передатчик	9,37	
MA1238B Электронный бейджик 12x 38 голубого свечения	395,60	
MA1238G Электронный бейджик 12x 38 зеленого свечения	400,55	
MA1238R Электронный бейджик 12x 38 красного свечения	395,60	
MA1238W Электронный бейджик 12x 38 белого свечения	400,55	
MA1238Y Электронный бейджик 12x 38 оранжевого свечения	400,55	
MA1248R Электронный бейджик 12x 48 красного свечения	400,55	
MA1248Y Электронный бейджик 12x 48 оранжевого свечения	400,55	
MA1249I ИК-датчик присутствия	155,39	
MA1304 Светодиодная лампа 10 Вт/12 В	455,50	
MA2301 Таймер под управлением Android, настраиваемый с помощью смартфона	317,12	
MA3302 Мастер управления беспроводными модулями (433 МГц) для OS Android	738,82	
MA3303 Таймер под управлением Android, в корпусе, настраиваемый с помощью смартфона	365,97	
MA3401 Автономная GSM-SMS сигнализация «Тревожная кнопка»	486,00	
MA3401/Atplega Микроконтроллер с прошивкой для модуля «Автономная sms-сигнализация «Тревожная кнопка»» MA3401	111,78	
MA601A Зарядное устройство для цифровых устройств	137,86	
MA802 Пассивный инфракрасный датчик движения	212,10	
MA8050 Переходник USB - COM (RS232) Prolific	111,05	
MA8052 Переходник USB - LPT	85,21	
MA8521 PirelPath 1" HD. USB передатчик (2,4 ГГц) высококачественного стереофонического аудио	232,68	
сигналы		
IA9996VII Наушники с сабвуфером, встроенным УНЧ и микрофоном, USB 2.1	326,03	
IA9996VIA Наушники с сабвуфером, встроенным 6-канальным УНЧ и микрофоном, USB 5.1	503,01	
IA996MVIB Наушники с сабвуфером, встроенным 6-канальным УНЧ и микрофоном, 4 x jack 3.5	447,12	
IA996MVIBG Наушники с сабвуфером, встроенным 6-канальным УНЧ и микрофоном, 3 x jack 3.5 + 1 jack 2.5	447,12	
MA901 USB - радио. С пультом ДУ ...	164,81	
MA9213 Универсальный автомобильный OBD2 сканер	372,06	
MB ADK Freaduino ADK, 3.3В/5В, ATMEGA2560, 16 Мпц	610,05	
MB DUE Freaduino DUE, 3.3В, AT91SAM3X8E ARM Cortex-M3, 84	407,29	
MB DUEMILANOVE 3.3В/5В, ATMEGA328, 16 Мпц	182,60	
MB Leonardo, 5В, ATmega328, 16 Мпц/32кб, ATMEGA328, 16	136,95	
MB MEGA2560 Freaduino MEGA 2560, 3.3В/5В, ATMEGA2560, 16 Мпц	363,37	
MB MICRO Freaduino Micro, 3.3В/5В, ATMEGA32U4, 16	173,47	
MB NANO Arduino NANO, 5В, ATMEGA328, 16 Мпц/32кб	127,73	
MB PRO/32_5В, ATMEGA328, 16 Мпц/Freduino	143,52	
MB UNO Freaduino UNO, 3.3В/5В, ATMEGA328, 16 Мпц/Freduino	219,53	
MINIX NEO G4 Dual Core mini PC, RK3066, Android 4.1, ИК пульт ДУ, flash 8ГБ, RAM 1ГБ ... 1312,00	820,00	
MINIX NEO X5 Dual Core TV Box, RK3066, Android 4.1, ИК пульт ДУ, LAN, Mic, Aux, SPDIF, Android 4.1, BT, flash 16ГБ, RAM 1ГБ ... 1312,00	902,00	
MINIX NEO X7 Quad Core TV Box, RK3188, ИК ДУ, LAN, Mic, Aux, SPDIF, Android 4.2, flash 8ГБ, RAM 1ГБ ... 1640,00	1640,00	
MK015 Регулируемый стабилизатор 3...15В, 1,5А	230,00	
MK035 Ультразвуковой отпугиватель грызунов	174,56	
MK067 Регулятор мощности 120В/220В	167,59	
MK071 Регулятор мощности 260В/208В	158,36	
MK073 Датчик охранной сигнализации для мотоцикла, мопеда	157,14	
MK075 Универсальный ультразвуковой отпугиватель каскадных и грызунов	212,52	

MK090	Электронный отпугиватель подземных грызунов	120,35
MK113A	Таймер 2 сек...23 минуты	153,90
MK169	Термометр	232,76
MK171	Регулятор мощности 9...288, 10A	246,00
MK180	USB-EDGE модем	253,00
MK303 [DT303]	Сотовый стационарный телефон стандарта GSM	726,57
MK317	Модуль 4-х канального дистанционного управления 433 МГц	253,00
MK319	Модуль защиты от наокни	123,46
MK324	Дистанционное управление 433 МГц, 4 канала, программируемый модуль	279,31
MK324/пер	Дистанционное управление 433 МГц, 4 канала, программируемый модуль, передатик	189,65
MK324/прием	Дистанционное управление 433 МГц, 4 канала, программируемый модуль, приемник	121,10
MK330	Дистанционное управление 433 МГц, 4 канала, исполнительное устройство для MK317/MK324	210,52
MK331	Модуль радиоуправляемого реле 433 МГц (220 В/2,5А)	391,23
MK333	Дистанционное управление 433 МГц, радиоуправление реле 220 В / 7 А	409,86
MK344	Регулятор яркости двухканальный главный 220В/300Вт (433 МГц)	434,05
MK353	Отпугиватель грызунов ЧУНАМИ (ТОРНАДО-M-7)	384,56
MK355	Отпугиватель крыс и мышей 220 В	283,36
MK602	Dual Core Magic Box, RK3066, Камера, Микрофон, LAN, Mic, Aux, SPDIF, Android 4.1, BT, flash 8G	1214,00
RAM 1G		
MK802 II	+Мультимедийный мини компьютер Android 4.0 Mini PC A10 Cortex A8+	562,12
MK802 III	Dual Core mini PC, RK3066, Android 4.1, RAM 1G, flash 4G	765,07
MK802 III LE	Первый в истории мини ПК с предустановленной Рисбут (Ubuntu) Dual Core mini PC, RK3066, Linux, RAM 1G, flash 4G	801,78
MK802IIIS/4G	Мультимедийный мини компьютер RK3066, Android 4.1, RAM 1G, flash 4G	718,32
MK802IIIS/8G	Мультимедийный мини компьютер, RK3066, Android 4.1, Bluetooth, RAM 1G, flash 8G	850,08
MK802IV	Мультимедийный мини компьютер, PC, RK3066, Android 4.1, flash 8G, RAM 1G	814,27
MK802V	Quad Core mini PC, RK3185, Android 4.2, Bluetooth, RAM 2G, flash 8G	1041,25
MK808B	Миникомпьютер с двухъядерным процессором Rockchip RK3066	637,56
MK809!!!	Quad Core mini PC, RK3189, Android 4.2, Bluetooth, RAM 2G, flash 8G	931,04
MK908	+Мультимедийный мини компьютер, Android 4.2, RK3188 Cortex A9 Quad core up to 1.6GHz, 2G RAM, 8G flash, Wi-Fi 802.11 b/g/n, Bluetooth, HDMI-1080P	935,09
MP1009F	Световой эффект «Радужающиеся линии»	57,50
MP1004F	Анимированная светодиодная вывеска 5x7	198,13
MP1005F	Светодиодный семи-сегментный индикатор 7"(178мм)	90,53
MP1006F	Светодиодный семи-сегментный индикатор 7"(180мм)	168,91
MP1025	MP3 / WMA кодек с функциями записи и управления файлами через интерфейс	395,80
MP1089	Цифровой FM-радиоприемник. Встраиваемый модуль	94,85
MP1090	FM радио. Модуль-расширение для Arduino	92,80
MP1090S	FM радио. Модуль-расширение для Arduino. Модуль построен на IC SI4702 от Silicon Lab	104,40
MP1091	Модуль-расширение для Arduino: семисегментный, четырехразрядный светодиодный индикатор	73,37
MP1092	Модуль-расширение для Arduino: плата расширения ввода/выходов (16 разрядов) и светодиодный диммер.	66,43
MP1093	2 ваттодара с ручками. Модуль-расширение для Arduino.	139,44
MP1094	Модуль-расширение для Arduino. ИФК пульта ДУ с приемником	53,36
MP1095	Модуль-расширение для Arduino. Часы реального времени (RTC)	69,37
MP1115	Цифровой усилитель D-класса мощностью 15 Вт. Mono	147,47
MP1181DI	Многофункциональный USB-MP3/WMA плеер	185,34
MP1181DIF	Многофункциональный USB-MP3/WMA плеер с FM-приемником	206,08
MP1202	Стерео усилитель НЧ, 2 x 15 Вт., (TDA2797)	133,63
MP1205	Цифровой анализатор спектра звукового сигнала (10 полос)	294,00
MP1209	Аудиоресивер 1 канал	207,74
MP1221	Аудиоресивер 2 канала. Стерео.	220,80
MP1223	Аудиоресивер 4 канала	230,00
MP1233	Поведж. усиитель-тембрблок с микроконтроллерным управлением, ЖКИ и пультом ДУ	197,80
MP1234	Предварительный усилитель-тембрблок с сабвуферным каналом, микроконтроллерным управлением, ЖКИ и пультом ДУ	233,68
MP1236	Моторизированный 2-канальный регулятор с тонкомпенсацией, (2 x 100 Вт)	174,80
MP1241A	Предварительный усилитель - тембрблок на 4-канала (TEA6320) Расширение для ARDUINO .. 104,40	
MP1243A	Hi-Fi аудиопроцессор (TDA8245), Расширение для ARDUINO .. 104,40	
MP1246A	Предварительный усилитель, 5-полосный графический эквалайзер (TDA7317). Расширение для ARDUINO	
MP1251	Цифровой 5.1 Dolby Digital AC-3, Dolby Pro Logic, DTS аудио декодер (ресивер)	111,36
MP1252	Домашний кинотеатр. Аналоговые и цифровые входы. Аналоговая 5.1 и стерео выходы. Пульс ДУ. Тембрблок Dolby Digital, Dts, PCM	708,40
MP1291	Цифровой усилитель T-класса (технология Tripath), 2 x 15 Вт. Проект «Китайский синдром» (восточная сторона)	1012,00
MP1292	Цифровой усилитель T-класса (технология Tripath), 2 x 20 Вт. Проект «Китайский синдром» (восточная сторона)	285,20
MP1325	Усилитель НЧ (100 Вт), 2 x 25 Вт + 1 x 50 Вт (сабвуфер) + тембрблок	349,60
MP1505	Клавиатурная штатка	322,00
MP1800	Цветная CCD камера	64,40
MP1901	Цветная CMOS камера	368,00
MP2203	Мультимедийная микросистема: AM, FM, USB, SD, IPod / iPhone, тембрблок, ДУ	241,04
MP2388	Простой встроенный USB-MP3 / WMA плеер	404,80
MP2603RL	Встроиваемый USB-MP3 / WMA плеер с пультом ДУ и ЖК дисплеем	126,96
MP2603DI	Миниатюрный USB-MP3/WMA плеер с пультом ДУ и ЖК	176,99
MP2704	Внешний ЖАЛ	180,32
MP2803DI	Встроиваемый многофункция, USB / SD - MP3 / WMA плеер с пультом ДУ и ЖК дисплеем	203,32
MP2886	Встроиваемая микросистема: FM, USB, SD, ДУ, часы / будильник. ЖК дисплей	167,67
MP2897	Встроиваемая микросистема с возможностью установки внешнего усилителя Master Kit.	179,40
MP2998BT	Bluetooth медиаплеер MP3 плеер позволяет проигрывать звуковые файлы.	179,20
MP2902	Мультимедийный видеоплеер: MP3 / WMA / MP4, USB, SD, ДУ	447,86
MP2902 пропоз	Монитор для видеоплеера 2,5" YpDr	317,40
MP2903S	Цветной 3,5 TFT-LCD модуль разрешением 220 x 240 с видеоконтроллером.	340,40
MP2903SM	Цветной 3,5 TFT-LCD видеорегистратор разрешением 640 x 480 ..	605,48
MP2904	Цветной 4 TFT-LCD модуль разрешением 320 x 240 с видеоконтроллером.	368,00
MP2905VGA	Цветной 5 TFT-LCD модуль разрешением 640 x 480 с VGA входом	607,20
MP2906HD	Цветной монитор 5,6" IPS, WXGA, 1280 x 800, HDMI, VGA, DVI, LVDS, ЦПЛ и стерео усилитель	1932,00
MP2907HD	Цвет. монитор 7 IPS, WXGA, 1280 x 800 HDMI, VGA, DVI, LVDS акции, ЦПЛ и стерео усилитель	1782,04
MP2907M	Цветной 7 TFT-LCD видеорегистратор разрешением 800 x 480 ..	708,40
MP2907VGA	Цветной 7 TFT-LCD модуль разрешением 800 x 480 с VGA входом	825,60
MP2908VGA	Цветной 8 TFT-LCD модуль разрешением 800 x 600 с VGA входом	782,00
MP3001	Цифровой усилитель D-класса мощностью 2 x 20 Вт (дважды моно). Проект «Китайский синдром» (западная сторона)	248,40
MP301F	Регулятор мощности 30A, +8...30В	331,20
MP302F	Регулятор мощности 50A, +8...30В	844,00
MP303F	Регулятор мощности 15A, +12/24В	251,16
MP306F	Регулятор мощности 1,5A...12...24В	121,44
MP3100D	Блок 4-канального АЦП для подключения аналоговых датчиков к BM8039D ..	243,80
MP3106	Цифр. усил. D-класса мощностью 2 x 20 Вт. Проект «Китайский синдром» (западная сторона) ... 174,80	
MP3106S	Цифр. усил. D-класса мощностью 40 Вт моно. Проект «Китайский синдром» (западная сторона) ... 156,40	
MP3112	Цифровой усилитель D-класса 2x 15 Вт моно. Проект «Китайский синдром» (западная сторона) ... 136,62	
MP3122	Цифровой усилитель D-класса 2x 15 Вт. Проект «Китайский синдром» (западная сторона) ... 124,20	
MP3123	Цифровой усилитель D-класса мощностью 25 Вт ..	145,31
MP3123 21	Цифровой усилитель D-класса (100 Вт) 2 x 25 Вт + 1 x 50 Вт (сабвуфер). Проект «Китайский синдром» (западная сторона)	217,12
MP3126	Цифровой усилитель D-класса 2 x 10 Вт. Проект «Китайский синдром» (западная сторона) ... 122,36	
MP3129	iButton Блок для дистанционного управления с 4-мя ключами ..	294,40
MP31PC	Платформа для компьютерного усилителя НЧ.	128,80
MP324/перед	Модуль 4-х канального дистанционного управления 433 МГц ..	179,40
MP326, MP325	Пульт для программируемого модуля 4-х канального дистанционного управления 433 МГц. MP324, MP325 ..	85,47
MP325	Дистанционное управление 433 МГц (клавиши/триггер, 2 реле).	276,00
MP325/пер	Дистанционное управление 433 МГц передатчик. Блок 2 канала для MP325 ..	83,90
MP326	Дистанционное управление 433 МГц (клавиши/триггер, 4 реле).	221,20
MP3301	Таймер под управлением Android.	264,04
MP3302	Умный дом. Мастер управления беспроводными модулями на 433 МГц. Для ОС Android ..	792,12
MP3303	Таймер, под управлением Android, «настраиваемый с помощью смартфона	304,97
MP350	4-х канальный таймер ..	354,20
MP3503DAI	Мини стерео-система USB MP3/WMA (плеер), AM/FM ..	235,52
MP3503DAIS	Мини стерео-система SD/USB MP3/WMA (плеер), AM/FM ..	237,00
MP3606	Музыкальный прип. модуль с записью ..	408,86
MP410	Стереокомбинат стереофонический цифровой усилитель «D-класса 2 x 2.2 Вт (TPA2012D) ..	129,81
MP4411	4-канальный исполнительный блок (блох рабе).	122,01
MP49152	Цифр. усилитель D-класса, 2 x 208 SANYO. Проект «Китайский синдром» (восточная сторона) ..	119,60
MP501F	Цифровой счтчик с возможностью подключения индикаторов большого размера ..	303,50
MP503	Вольтметр встраиваемый миниатюрный с анимированным светодиодным индикатором ..	101,20
MP507	Вольтметр встраиваемый +15 В ..	225,95
MP508	Вольтметр 100 В ..	234,43
MP509	Микро вольтметр DC 3.28 - 30В ..	82,50
MP510	Мини вольтметр DC 4.28 - 30В ..	93,64
MP513	Цифровой усилитель D-класса мощность 2 x 150 Вт ..	513,36
MP515D	Драйвер для цифрового усилителя D-класса мощность 300 Вт. PurePath™ HD ..	220,80
MP5630C1	Конфигуратор для построения мощного одноканального усилителя НЧ ..	293,00
MP5630C2	Конфигуратор для построения мощного двухканального усилителя НЧ ..	322,00
MP5630C21	Конфигуратор для построения мощного трехканального (2.1) усилителя НЧ ..	340,00
MP5630C3	Конфигуратор для построения мощного четырехканального усилителя НЧ ..	349,60
MP5630IDK	Драйвер для цифрового усилителя D-класса мощность 600 Вт. Corpse DKD. PurePath™ HD ..	276,00
MP5630I1	Драйвер для цифрового усилителя D-класса мощность 600 Вт. Corpse DKD. PurePath™ HD ..	276,00
MP5630I2	Индикатор для мощного усилителя НЧ (МОНО).	141,68
MP5630I3	Индикатор для мощного усилителя НЧ (стерео).	143,52
MP5630I21	Индикатор для мощного усилителя НЧ 2.1 (стерео + сабвуфер).	144,44
MP5630I4	Индикатор для мощного четырехканального усилителя НЧ ..	124,20
MP701	Импульсный преобразователь напряжения 8...188/24В.	435,44
MP707	Термометр (цифровой USB-термометр (вх. ВМ1707)) ..	128,55
MP707/ATTiny	Микроконтроллер с прошивкой для модуля MP707 ..	147,20
MP707H	Цифровой USB-термометр (вх. ВМ1707) ..	212,52
MP708	USB ИК приёмник ..	151,80
MP708/ATtiny	Микроконтроллер с прошивкой для модуля MP708+USB ИК приемник с пультом RCS+ ..	103,73
MP709	USB реле, с управлением через интернет ..	166,98
MP710/ATTiny	Микроконтроллер с прошивкой для руками (USB, 16 каналов) ..	232,76
MP724	Winamp - спектроанализатор, 15 - канальная цифровая цветомузыка, 5 - канальный термометр ..	428,49
MP730	USB самонивелир, вольтметр ..	174,17
MP731	USB генератор импульсов и логический генератор ..	141,68
MP732	USB часотомер, цифровая шкала и логический анализатор ..	174,37
MP751	Контроллер управления питанием. Разработано для Raspberry Pi, питание на которые подается через micro USB порт.	154,00
MP751A	Контроллер управления питанием. Разработано для Raspberry Pi, питание на которые подается через micro USB порт.	154,00
MP803TR	Цифровой термометр/термостат до 8 квт ..	292,65
MP80520R	PurePath™ HD передатчик (2,4 Гц) высококачественного стереофонического аудио сигнала ..	338,72
MP9011	AVR программатор ..	285,20
MP9012	Программатор-этикер P1C-контроллеров ..	561,20
MP911	Брелок для систем ДУ 433 МГц (MP911, MP912) ..	106,26
MP912	Принимик для пульта ДУ 433 МГц MP910 ..	100,60
MP913	Принимик для пульта ДУ 433 МГц MP910 ..	101,53
MP919	Принимик для пульта ДУ 433 МГц MP910 ..	139,73
MP9213BT	Универсальный автомобильный OBDII сканер для диагностики через смартфон или компьютер ..	307,40
MP9213BTmif	Компактный универсальный автомобильный OBDII ..	261,29
MP9213WIFI	Универсальный автомобильный OBDII сканер с Wi-Fi ..	253,18
MP1010	Гибкая видеокамера ..	403,34
MP1011	Ручка-микрофон ..	484,38
MP1011_blue	Ручка-микрофон ..	102,47
MP1020	Звуковой информатор с датчиком движения ..	102,47
MP1030	Сигнализация для банковских карт ..	303,60
MP1031	Сигнализация для банковской карты Back-card ..	121,52
MP1035	Напоминатель с датчиком движения ..	131,56
MP1040	Охранник зон (для дезинфекции) ..	223,56
MP1046	Крошка адаптер USB в автомобиль ..	101,20
MP1068	Мини-запалышки пакеты ..	93,15
MP1079	Гибкая камера «Видеодомкрат» ..	1117,80
MP1079	Крошка USB в прикуриватель. 2 порта USB ..	132,67
MP2011	Антисон «Стоп-сон» MT2011 ..	65,21
MP3030	GPS-видеорегистратор ..	450,80
MP3031	Возвращатель «Плюс - 5 целей», модель для путешествий ..	576,00
MP3032	Возвращатель «Актив» ..	710,24
MP3038	GPS-навигатор ..	1288,00
MP3090	Сайл-машка ..	484,38
MP3091	Авто-машок ..	624,11
MP3091	SOS-телефон ..	722,22
MP4009	Таймер поправленых привесов «Умывалька» ..	130,41
MP4009	Зубная камера «Дентоскоп» ..	568,26
MP4012	USB-тройник 220В ~2 USB ..	121,44
MP4013	Термометр для яиц ..	91,08
MP4020	Электронные весы - баланс ..	123,46
MP4022	Весы для багажа в дорогу ..	192,28
MP4040	Многофункциональный ароматизатор ..	212,52
MP4060	Шатомер с анализатором хлоровой ткани ..	121,44
MP4075	Кухонный таймер-магнит ..	102,47
MP4080	Календарь умств. работы ..	130,41
MP4090	Вибробудильник ..	235,75
MP4091	Поисковая станция ..	367,77
MP4092	Шагомер с карabinом ..	179,17
MP5001	Набор из 4-х сверкающих ромашек «Сияющий квартет» ..	95,71
MP5001 BLUE	Сверкающий стакан (синий) ..	40,48
MP5001 GREEN	Сверкающий стакан (зелёный) ..	40,48
MP5001 RED	Сверкающий стакан (красный) ..	40,48
MP5001 YELLOW	Сверкающий стакан (жёлтый) ..	40,48
MP5002	Сверкающий стакан ..	79,14
MP5003	Светошумка ..	82,34
MP5010	Гибкий фонарь на магните ..	146,74
MP5015	Гибкая лампа на шнуре ..	106,66
MP5060	Светодиодная лампа с датчиком освещенности ..	149,04
MP5090	Светильник «Рассвет-закат» или путь утро будет добрым! ..	647,68
MP6019	PARTYFON - динамик ..	192,28
MP6019	Мобильный динамик «PARTYFON MAX» ..	829,84
MP6021	Влаго-разбрызгивающий динамик ..	205,74

MT6022	Оптическая мышь на узелательной палец	101,20	NT1LEDW	Набор светодиодов белого свечения для светоиздатного куба 8х8х8	431,60
MT6070	Видеозаписка	377,20	NT1001F	Микросхема светодиода	49,59
MT6080	Цифровая ручка	115,20	NT1200	Усилитель НЧ 100Вт (TDA7576)	122,10
MT6091_BLACK	Сумма-динамик для автосимпеда	333,96	NT1217	Активный блок обработки сигнала для сабвуфера. каналы. 3D эффект. Электронное управление.	140,28
MT8045	Мобильная защита от непрошеных гостей	390,43	NT1230	Набор для сборки цифрового усилителя T-класса (Trifet). 2 x 90 Вт. Проект «Китайский синдром» (восточная сторона)	333,48
MT8065	Сигнализация утечки газа	214,54	NT1291	Набор для сборки цифрового усилителя T-класса (Trifet), 2 x 15 Вт.	251,51
MT9000	Сигнализация GSM-CMS для квартир с 4 беспроводными универсальными датчиками	1364,00	NT1292	Набор для сборки цифрового усилителя T-класса (Trifet), 2 x 25 Вт	288,77
MT9000 BOX	Сигнализация GSM-SMS для квартир с 8 беспроводными универсальными датчиками	1460,00	NT1325	Набор для сборки усилителя НЧ (100 Вт), 2 x 25 Вт + 1 x 50 Вт (сабвуфер) + темброблок	199,26
MT9020	Многофункциональный беспроводной датчик для MT9000	279,00	NT1500	Игрушечный свисток с пультом ДУ	182,16
MT9021	Сигнализация GSM-CMS для дачи, самостоятельная установка	1223,60	NT1500 Доп	Игрушечный свисток	129,54
NF187	Двухжильные бегущие огни на 12V светодиоды	123,56	NT200	Голосовая маска «VOICE CHANGER»	147,20
NF189	Стробоскоп (12В, авто)	132,57	NT5020	Частотомер, таймер (SCS10 это частотомер, супочный таймер (будильник) и драйвер ЖКИ). На технологии CMOS	97,52
NF192	3-х канальная цветомузыкальная приставка	215,96	NT3241ED	Контроллер RGB светодиодных лент (для совместной работы с д/у MP324)	109,54
NF239	Таймер 2 сен... 3 час/300 Вт	132,57	NT3242LED/ATtiny	Микроконтроллер с прошивкой для модуля NT3242LED	55,59
NF241	Акустическое сирена	121,10	NT606	Двухполюсный сетевой источник питания 24 В, 190 Вт	558,90
NF245	Регулятор мощности 500 Вт/220 В	41,69	NT711	Исполнительное устройство 16-канальное для модуля MP710	226,45
NF246	Регулятор мощности 1000 Вт/220 В	42,24	NT800	Акумулятор 12В/1.3Ач	125,75
NF247	Регулятор мощности 2500 Вт/220 В. Р	116,38	NT801/1	iButton/Touch Memory	195,82
NF250	Устройство управления насосом	118,40	NT801/2	Считыватель с клавишами iButton	251,51
NF251	Цилиндрический таймер 1...160 минут/секунду 220 В/200	202,40	NT801D	ТемброЛюкс, пульт ДУ (цифровое управление). Версия Мастер Кит	307,40
NF404	Цифровой вольтметр 0-1000В	237,35	NT801D/ATtiny	Микроконтроллер с прошивкой для модуля NT801D	69,86
NF406	Усилитель НЧ 100 Вт	408,74	NT8048 AC220V	Электромагнитный водопроводный клапан, (управление: 220В переменное напряжение)	85,23
NF408	Цифровой счетчик	249,55	NT8048 DC12V	Электромагнитный водопроводный клапан, (управление: 12В постоянное напряжение)	85,23
NF409	Датчик движения	223,56	NT8048 DC24V	Электромагнитный водопроводный клапан, (управление: 24В постоянное напряжение)	85,23
NF412	Световой эффект «Танцующий робот»	121,44	NT8078 DC12V	Исполн. узл. Электромагн. водопроводный клапан, (130 °C, 220В переменное напряжение)	176,89
NF414	Светодиодная мигалка	59,71	NT8078 DC24V	Исполн. узл. Электромагн. водопроводный клапан, (130 °C, 24В постоянное напряжение)	186,30
NF417	Световой эффект «Забавный робот»	86,02	PW-SUN-2	Солнечные батареи. 2 x 5,5 В, 1,5 Вт	178,95
NF422	Головы животных 5 в 1 (обезьяна, овца, волк, лягушка, лошадь)	130,41	PW-WL-12	Комплект для беспроводного зарядного устройства. 12 Вольт	90,72
NF441	Охранная система на ИК лучах	138,34	PW-WL-3	Комплект для беспроводного зарядного устройства на 3,3 Вольта	90,72
NF491/в корпусе	Отпугиватель крыс и грызунов (в корпусе)	76,91	PW-WL-5	Комплект для беспроводного зарядного устройства на 5 Вольт	90,72
NK005	Сумеречный переключатель в корпусе	90,07	PW-WL-9	Импульсный источник питания 5В, 1A	113,55
NK008	Регулятор мощности 800 Вт/220 В	80,35	PW0510	Импульсный источник питания 5В, 1,5А в корпусе	141,68
NK024	Пробковский маячок на светодиодах	47,35	PW0519K	Импульсный преобразователь напряжения 3~18В/5В, 2A	214,95
NK027	Регулируемый источник питания 1,2...30В/4 А	101,20	PW0530B	Сетевой адаптер 5В, 3A	133,58
NK037	Регулируемый стабилизатор напряжения 1,2...30 В/4 А	109,09	PW0530K	Импульсный источник питания 5В, 3A в корпусе	121,44
NK040	Импульсный регулируемый стабилизатор напряжения	146,62	PW0720B	Сетевой адаптер 7,5В, 2A	144,92
NK046	Усилитель НЧ 1Вт	82,83	PW0920B	Сетевой адаптер 9В, 2A	145,22
NK051	Большой проблемный маячок на светодиоде	42,00	PW12-5-1	Модуль питания 5/3.3 В для макетных плат	79,46
NK057	Усилитель НЧ 22Вт	61,60	PW12-5-3-12-2	Импульсный 3-канальный преобраз. напряжения. Вход 5-22В, выходы 3,3В, 12-30В, 1,25-26В.	222,25
NK082	Термо- и фотопод (комбинированный набор)	89,05	PW12-12-60	Предобразователь (стабилизатор) напряжения 6,5 ... 30 В / 12В, 60 Вт. 5A.	388,80
NK083	Инфракрасный барьер 50M	135,62	PW12-ATX-70	Импульсный преобразователь напряжения 12В/ATX для автомобильного ПК (сиг PC), 70 Вт.	250,05
NK092	Инфракрасный прожектор	117,19	PW12-PC-85	Импульсный преобразователь напряжения 12В/12 В, 5 В для автомобильного ПК (сиг PC), 85 Вт 422,11	106,75
NK102	Таймер 0...10 минут	101,20	PW12045PS	Импульсный источник питания 12В, 0,45А	484,75
NK121	Инфракрасный барьер 16M	133,48	PW1210PS	Импульсный источник питания 12В, 10,5А	89,06
NK134	Электронный стетоскоп	114,15	PW1212PS	Импульсный источники питания 12В, 1,25А	140,06
NK137	Микрофонный усилитель	55,31	PW1215B	Сетевой адаптер 12В, 1,5А	220,82
NK146	Инопланетный элемент 12В	46,15	PW1220B	Импульсный источник питания 12В, 2А на DIN рейку	161,43
NK150	Программируемый 8-канальный исполнительный блок	246,12	PW1221B	Импульсный источник питания 12 В, 2,1 А в корпусе	309,69
NK155	Сирена ФБР 15 Вт	49,58	PW1240UP5	Источник беспроводного питания 12В/4А	118,20
NK239	6-канальная светомузыкальная приставка 220В/+27 В (2 А)	266,80	PW125	Импульсный источник питания 12В, 0,85А	127,51
NM1024/1	Световая нестабилизированная двухдиодная 100Вт/220В	115,92	PW1512B	Сетевой адаптер 15В, 1,2А	166,07
NM106K	Цифровой мультиметр - набор для самостоятельной сборки	115,92	PW1517B	Импульсный источник питания 15В, 1,7А в корпусе	111,99
NM1074	Преобразователь напряжения 24 В в 12 В/3А	96,63	PW24-1-2	Регулируемый преобразователь напряжения. Вход 4,5-30В, выход 1,25-26В. (LM2586S)	129,36
NM1041	Регулятор мощности с мышиным управлением	91,08	PW24-1D	Регулируемый преобразователь напряжения с источником питания 4...40В/3,0А.	190,22
NM1112 BLUE	Светодиодная лента (1 метр, 60 синих светодиодов)	186,30	PW24-12-130	Импульсный преобразователь напряжения 6...30В/12В, 10 Вт, 10A	503,21
NM1112 RED	Светодиодная лента (1 метр, 60 красных светодиодов)	186,30	PW24-12-50	Импульсный преобразователь напряжения 7...365/12В, 50 Вт, 4,2A	242,19
NM1112 WHITE	Светодиодная лента (1 метр, 60 белых светодиодов)	186,30	PW24-12-60	Предобразователь напряжения 24В / 12В, 5A	323,42
NM1112 YELLOW	Светодиодная лента (1 метр, 60 желтых светодиодов)	186,30	PW2411B	Импульсный источник питания 24В, 1,1А в корпусе	157,77
NM2012	Стереофонический темброЛюкс (TDA1524)	133,13	PW2420D	Импульсный источник питания 24В, 2А на DIN рейку	222,84
NM2021	Усилитель НЧ 4x16Вт/2x22Вт с радиатором	94,38	PW2421B	Регулируемый преобразователь напряжения. Вход 3-34В, выход 4-38В. (LM2577), 10,46	106,46
NM2032	Усилитель НЧ 4x40Вт/2x30Вт с радиаторами	161,80	PW2421D	Регулируемый преобразователь напряжения с повышающим преобразователем. Вход 3,5-35В, выход 5-56В. (LM2577)	99,55
NM2033	Усилитель НЧ 100 Вт, mono (TDA7294)	107,96	PW2421D/2	Импульсный преобразователь напряжения 9,2-36В/12В,	102,26
NM2034	Усилитель НЧ 70Вт. Размеры печатной платы 67x37	157,52	PW2422D	Импульсный источник питания 24В, 2А на DIN рейку	491,46
NM2035	Усилитель НЧ 32Вт. Размеры печатной платы 53x33	83,21	PW3-35-3	Регулируемый повышающий преобразователь напряжения Вход 3-34В, выход 4-38В. (LM2577), 10,46	876,99
NM2036	Усилитель НЧ 44Вт. Размеры печатной платы 56x46	108,18	PW4-56-2	Регулируемый повышающий преобразователь напряжения Вход 3,5-35В, выход 5-56В. (LM2577)	227,30
NM2039	Усилитель НЧ 24x0,8Вт. Размеры печатной платы 83x24	155,79	PW40-4-3	Импульсный регулируемый стабилизатор напряжения 4...40В/3,0А.	128,66
NM2040	Усилитель НЧ 4x40Вт. Размеры печатной платы 97x32	142,08	PW4837B	Quad Core mini PC, RK3188, Android 4.2, Bluetooth, RAM 2G, flash 8G	476,99
NM2042	Усилитель НЧ 14x7Вт. Размеры печатной платы 51x50	131,78	QC802	Quad Core mini PC, RK3188, RAM 2G, USB HUBx3	148,90
NM2044	Усилитель НЧ 22x2Вт (TDA2210AH/AL, авто)	119,88	KIT RU001	Физический продукта - Определить уровень нитратов	242,07
NM2045	Усилитель НЧ 140 Вт или 250 Вт (D-класс, TDA8292/TDA8297)	253,97	KIT RU0010	GSM-эфект, это робот, которую можно	1984,00
NM2051	Двухканальный микрофонный усилитель (K5489H1B)	47,51	SH COLORLCD	Расширение для Arduino.	224,20
NM2081	Электронный ревербератор (HT8670, эффект "эхо"/"объемный звук")	146,06	SH JK	Аналоговый 2-осевой джойстик с кнопкой X,Y,Z (кнопка). Дополнительная плата.	43,34
NM2111	Стереофонический темброЛюкс (LM1056)	142,05	SH JK4KB2	Аналоговый 2-осевой джойстик. 4 большие кнопки и 2 маленькие. Плата-расширение для Arduino.	82,62
NM2112	Усилитель НЧ 80 Вт (TPI102, TIP106)	139,73	SH MP3	MP3 плата с функцией записи. Плата-расширение для Arduino.	220,78
NM2115	Активный фильтр НЧ для сабвуфера.	74,52	SH PSCREW	Винтовые разъёмы и макетная панель. Плата-расширение для Arduino.	126,66
NM2116	Активный 3-полосный фильтр.	83,84	SH RGB	Цветная (RGB) матрица с драйвером. Расширение для Arduino.	273,30
NM2117	Активный блок обработки сигнала для сабвуфера канала	96,70	SH SCREW	Дополнительные и винтовые разъёмы. Плата-расширение для Arduino.	104,58
NM2118	Предварительный стереофонический регулируемый усилитель с балансовыми входами	107,87	SHD09	Предобразователь уровня 3,3 ... 5 В для мониторов TFT01 Arduino	87,81
NM3101	Автомобильный антенный усилитель 12В (ZSC2926)	65,21	SHD10	Мягкая преобразователь уровня 3,3 ... 5 В для мониторов TFT01 Arduino	118,82
NM4011	Таймер 1...30 сек. математический. Размеры печатной платы 30x45 мм.	58,89	SND2YK	Инфракрасный датчик приближения ( дальномер ) до 150 см. Sharp GP2Y0A20YK0F	139,44
NM4012	Датчик уровня воды. Размеры печатной платы 30x45	58,82	SN18820	Датчик температуры DS18B20 в водонепроницаемом исполнении	104,58
NM4021	Таймер 1...99 мин на микроконтроллере	214,25	SN21YK	Инфракрасный датчик приближения ( дальномер ) до 80 см. Sharp GP2Y0A21YK	127,82
NM4022	Термор... 0...150°. Размеры печатной платы 45x30	72,50	TFT01-1.8P	1,8" TFT дисплей (160 * 128) для Arduino	153,38
NM4411	4-х канальная исполнительная устройство	149,04	TFT01-2.2	2,2" TFT дисплей (220 * 178) для Arduino	176,52
NM4511	Регулятор яркости ламп накаливания.	79,85	TFT01-2.2SP	2,2" TFT дисплей (320 * 240) с сенсорной панелью (touch screen) для Arduino	185,92
NM5050	Звездочка	133,08	TFT01-2.4	TFT дисплей (320 * 240) с сенсорной панелью (touch screen) для Arduino	235,75
NM5403	Стоп-сигнал для авто	91,08	TFT01-3.2	TFT дисплей (320 * 240) с сенсорной панелью (touch screen) для Arduino	309,30
NM6013	Автоматический включатель освещения	172,04	TFT01-3.2WD	WID TFT дисплей (400 * 240) с сенсорной панелью (touch screen) для Arduino	320,62
NM8021	Индикатор уровня заряда аккумулятора	50,60	TFT01-4.3	TFT дисплей (490 * 272) с сенсорной панелью (touch screen) для Arduino	452,64
NM8031	Тестер для проверки строчных трансформаторов	141,68	TFT01-5.0	TFT дисплей (400 * 480) с сенсорной панелью (touch screen) для Arduino	575,23
NM8032	Прибор для проверки электролитических конденсаторов	187,12	TFT01-7.0	TFT дисплей (300 * 480) с сенсорной панелью (touch screen) для Arduino	782,69
NM9036	4-х канальный микропроцессорный таймер, терmostat, часы	381,92	U2A	Dual Core mini PC, RK3066, Android 4.2, RAM 4G, flash 4G	792,12
NM9211	Программатор микроконтроллеров серии AT89S/AT90S фирмы ATMEL	162,73	U2B	Dual Core mini PC, RK3066, Android 4.2, Bluetooth 4.0, RAM 1G, flash 8G, RAM 1G	804,38
NM9212	Универсальный адаптер подключения сотовых телефонов к компьютеру	130,41	U2C	Dual Core RK3188 Mini PC, RK3188, Android 4.2, Bluetooth 4.0, Wi-Fi 2,4G/5G, RAM 2G, flash 8G, 990,15	943,00
NM9215	Программатор универсальный (базовый блок)	159,57	U4K	Quad Core mini PC, Allwinner A31, Android 4.1, Bluetooth 4.0, RAM 2G, flash 8G	1027,87
NM9216/1	Плата-адаптер для универсального программатора NM9215 (для микроконтроллеров ATMEL) ... 103,49	TOH-2M	Высококачественные наушники TOH-2M (1600 Ом) и ультрафиолетовый микрофон	146,74	
NM9216/2	Плата-адаптер для универсального программатора NM9215 (для микроконтроллеров PIC) ...	87,38	UD800	Комплект Умный дом...	2650,00
NM9216/3	Плата-адаптер для универсального программатора NM9215 (для Mikrobit EEPROM 93xx) ...	51,83	UDG001	Двойная Core mini PC, Android 4.1, flash 4G, RAM ...	514,88
NM9216/4	Плата-адаптер для универсального программатора NM9215 (адаптер I2C-Bus EEPROM) ...	58,32	UDG007B	Quad Core mini PC, RK3188, Android 4.2, Bluetooth 4.0, RAM 1G, flash 8G, RAM 1G	1131,60
NM9216/5	Плата-адаптер для универсального программатора NM9215 (адаптер EEPROM SODE2560, NMV300 «	58,32	UG602	Dual Core mini PC, RK3066, Android 4.1, flash 4G, RAM 1G	540,52
SPI 2500x			UG602 SE	Dual Core mini PC, RK3066, Android 4.1, flash 4G, RAM 1G, внешняя WiFi антенна	514,88
NM9221	Устройство для ремонта и тестирования компьютеров – POST Card PCI	265,94	UG605	Dual Core mini PC, RK3066, Android 4.1, flash 8G, RAM 1G, внешняя WiFi антенна	584,19
NR01	Набор начищающего радиоглутоблита	353,97			
NS047	Генератор промысловых импульсов 250 Гц - 16 бит	116,99			
NS073	Маленький сердце на светодиодиках.	63,76			
NS094	«Живое сердце». Размеры печатной платы 72x74 мм.	73,88			
NT LEDG	Набор светодиодов светодиодов красного свечения для светодиодного куба 8х8х8	485,55			
NT LEDR	Набор светодиодов зеленого свечения для светодиодного куба 8х8х8	348,60			

Внимание, парень! сокращенный. Полный см. на сайте <http://radiohobby.QRZ.ru/kedrplus.html>

# СОДЕРЖАНИЕ ЖУРНАЛА ЗА 2013-Й ГОД



## СОДЕРЖАНИЕ ВСЕХ НОМЕРОВ ЖУРНАЛА «РАДИОХОББИ» ЗА 2013-Й ГОД

Первое число после названия статьи обозначает номер журнала, второе (через знак дроби) - номер начальной страницы.

Материалы рубрики «Дайджест» включены в соответствующие тематические разделы содержания

### CQ HAMRADIO

Британская любительская организация спутниковой связи AMSAT-UK планирует в 2013 году вывести на орбиту нового студенческого спутника связи FUNCube-1	1/17
Новая панорамная приставка Р3 фирмы Elecraft	1/18
RDR50B - SDR радиоприемники с дополн. блоком передатчика Бурхарда Райтера	1/19
Характеристики флагманского KB/50 МГц трансивера JVC Kenwood TS-990S	1/19
Сноуэр Болл предложил схему усовершенствованного ГИРа с микроконтроллером	1/34
Перестраивающий генератор, стабилизированный кварцевм, Джеймса Кортжа (K8IQY) обеспечивает перестройку по частоте в диапазоне 25-35 кГц и предназначен для работы в качестве диапазонного ГПД ОРР приемопередатчика	1/35
Эквивалент нагрузки с двумя переключаемыми пределами 50 и 150 Ом Майка Брюса (WB8VGE) для настройки KB первичных, усилителей мощности и АСУ и проверки качества калибровки КСВ-метров	1/36
Простая панорамная приставка Кирилла Лизунова (UR5XCA) на базе популярного SDR приемника DR2B	1/38
Полуволновая вертикальная антенна «Vertikal 20» Вольфганга Випперманна (DG0SA) для работы на 20-метровом диапазоне	1/37
Трексивер на базе приемника P-250M	1/39
Представляем оборудование серии FLEX-6000 Signature на основе SmartSDR	1/43
Линейный 1,5-киловаттный KB усилитель мощности ACOM-1500 с использованием новой радиолампы 4CX1000A	2/23
Антенна SteppIR DB42 Monstar Pro является в настоящий момент самой большой из серии Dream Beam	2/24
Конструкция DK3KD простого легкого ротора для горизонтального вращения небольших УКВ антенн	2/35
Т-разветвитель AD5X позволяет передать по коаксиальному кабелю вместе с ВЧ сигналом мощностью до 1500 Вт еще и постоянный ток до 3 А	2/36
Простые антенны VA3DDN для 1200 МГц	2/37
Оригинальный способ WAGRNCS увеличения широкополосности диапазона с тем, чтобы одной антенны хватило на весь участок 3,5-4,0 МГц без перестройки	2/38
Вариант OK1VR двухдиапазонного Мохсона для 10 и 6-метрового диапазонов	2/38
Компактный KB трансивер Kenwood TK-90 соответствует военным стандартам MIL 810	3/21
Широкодиапазонный рефлектометр/ваттметр KW 520 фирмы Alan	3/21
Американская Cushcraft выпустила новую вертикальную антенну R5 для диапазонов от 6 до 80 метров	3/21, 53
Устройство для предупреждения перегрева радиоэлектронного оборудования	3/36
Линейный усилитель мощности W6PQL для 2-метрового диапазона обеспечивает 80 Вт при работе SSB, CW или FM	3/36
Мохоль-антенны DL5ABF для 2-метрового и 70-сантиметрового диапазонов подкупают оригинальностью и простотой конструкции	3/37
Трансивер «Digi-80»	3/54
Компактный QRP трансивер «HandyPSK» фирмы Silentsystem Inc. позволяет проводить полноценные CW, PSK, QPSK и RTTY связи без компьютера	4/20
Трансивер FTdx1200 - новейшая модель фирмы YAESU, пришедшая на смену FT-950	4/20
Автоматически настраиваемая мобильтянка KB антenna для любительского применения «Stealth 9310»	4/21
Радиоадаптер Bluetooth гарнитуры для трансивера	4/37
Простой QRP передатчик для спортивной радиолюбителей ации SQ9RSC	4/38
Переносная магнитная антенна DL6RAL с емкостной связью	4/39
Транзисторный усилитель мощности «Джинс с бестрансформаторным питанием	4/41
Фирма Palstar представила свой первый трансивер TR-30, который был отмечен как лучшее новое изделие	5/21
Полугорючеватый автом. антенный тюнер HC-1.5KAT фирмы Tokyo Hy-Power	5/22
Мобильтянка антенна HFMB01 фирмы Dilona	5/22
Рамочная антенна с усилителем для дальноволнового приема АМ станций в средневолновом диапазоне	5/37
Простой монитор состояния 12-вольтового аккумулятора	5/38
Простое антенные согласующее устройство для излучателя длиной 30 метров	5/39
Двухэлементная Яи по структуре вибратор-дирактор для 30-метрового диапазона	5/41
УКВ усилитель мощности на лампах ГУ-32 и ГУ-29	5/42
Приложение MacLoggenDX HD для iPad фирмы Dog Park Software Ltd - аппаратный журнал для радиолюбителей-цифристов	6/24
Магнитная рамочная приемная антенна RLA2 фирмы Reuter-elektronik	6/24
Простой приемник на 7 транзисторах и 5 кварцевых резонаторах для начинающих радиолюбителей позволяет принимать станции, работающие телефоном и телефоном, на всех 9 любительских KB диапазонах от 1,8 до 29,7 МГц	6/37
Оригинальный SDR приемник для 40-метрового диапазона на ИМС квадратурного демодулятора TDA8040T	6/38
Двухдиапазонная вертикальная антенна Ground Plane (GP) Джоэла Халласа (W1ZR) с использованием связанных резонаторов	6/39
Оптимизация рамочных антенн для приема на НЧ диапазонах	6/39
УКВ усилитель мощности на металлокерамическом триоде ГИ-7Б	6/44

### QUA-UARL

OЗЧУ-2013	1/38
Рейтинг украинских участников соревнований на KB 2012 г.	1/39
Приглашаем поддержать ОЗЧУ-2013	2/59
Всекириканская студенческая олимпиада среди молодых радиотехников	3/53
OЗЧУ-2013 - настоящий экстрим!	3/57
III Всеукраинская олимпиада по радиоэлектронике среди студентов ВУЗов	3/61
Решение Министра от 25 июня 2013 года №390 «О внесении изменений в Регламент любительской радиосвязи Украины»	4/40
Московский «Фестиваль Науки-2013»	5/57
Всевириканске соревновання ученическої молодежи по радиосвязи на коротких волнах «Міні-тест ІОТ». Запуск нового спутника с телеметрией и транспондером 144/430, FUNCube-1 (AO-73)	6/25
Диплом «Worked with members of Lviv Shortwave Club» (W-LKK-M), Анатолий Кучеренко (UT5BN) - основатель и первый президент UDXC	6/42

### Audio

Электретный конденсаторный микрофон Zalion 51PC317 серии 5100 с существенно улучшенной помехозащищенностью	1/6
Электростатический двухполюсный AC PIOSound Golden Eagle	1/8
Микросхема STMicroelectronics TDA7576B автомобильного УМЗЧ с однополярным 24-вольтовым питанием и оригинальной «клизмоидной» архитектурой	1/9
Novoton ISD2360 - первое трехкаскадное устройство воспроизведения звука (ChipCorder*) с параллельной обработкой, интегризованными микшером и УМЗЧ класса D	1/10
High-End УМЗЧ Tadaoza Atarashi на тетрадиодах триодов 5670W	1/20
«Дискретный подход» Ростислава Рончика к схемотехнике высококачественных транзисторных УМЗЧ	1/22
Джованни Бьянки предложил «обобщенный» корректор Линквица, свободный от ограничений традиционного Линквица	1/24
Ретроавтомодельный индикатор уровня звука от имени Гаральда Цинта на газоразрядных шкальных индикаторах типа ИН-5 с микроконтроллером CY8C27443	1/25
Высокочастотный безОСный драйвер	1/50
«ЯНУС» - балансный усилитель класса А для наушников	1/53
Editor R1690T09 - преодоление между Hi-Fi и мультимедиа	1/59
Трехуровневая Σ-Δ модуляция вместо ШИМ в УМЗЧ класса D Analog Devices SS45131	2/20
В лаборатории российской компании АМТ испытываются опытные образцы твердотельных аналогов популярных аудиодиффузорных ламп - твердотельный пентод AMT Electronics 6L6WS (WarmStone) и сделанный гвардейским триод AMT Electronics 12AX7WIS	2/21
Ламповый УМЗЧ Брюса Герчика с усовершенствованным самобалансирующимся двухтактным выходным каскадом в «чистых» режимах класса А	2/26
Комплементарные пары полевых транзисторов на входе двухтактного выходного истоково-эмиттерного повторителя и в плюс-минусовых каскадах двухтактно-комплементарного каскада усиления напряжения УМЗЧ А. Шадного	2/27
Дополнение-модификация рекомендованной изготовителем схемы применения драйвера Hi-Fi УМЗЧ Texas Instruments LM4702	2/30
Внешний аудиоЖАП Николаса Вайнема на чипе Crystal CS4395 для меломана-профессионала	2/32
«ЯНУС-УМ» - балансный УМЗЧ класса А	2/46
Телефонный усилитель класса супер Hi-Fi	2/50
Creative Sound Blaster ZXR против ASUS Xonar Essentia STX	3/15
Идея однотактного выходного каскада на истоковом повторителе с бистрансформаторным выходом и непосредственной связью с нагрузкой в гибридном УМЗЧ В. Гршина	3/22
Транзисторный УМЗЧ мощностью 70 Вт с коэффициентом гармоник 0,003%	3/23
Аудиофильский телефонный усилитель Георгия Итаназарова на плате ОУ OPA2134	3/24
Четырехканальный аудиокоммиксер Николаса Вайнема для дик-жокеев	3/26
Аналоговая линия задержки на 10 мс с последовательным соединением схем всепропускающих фазовых фильтров в простиранном декодере Дугласа Форда	3/28
64-У-светодиодный стерEOF VIU-метр на ATmega8	3/30
Пассивные Банде для бинокля	3/38
Винил-корректоры Sustina Sakuma	3/41
Акустическая система Dynaudio Consequence Ultimate Edition с активной изобарической нагрузкой и фильтром и нижней граничной частотой 17 Гц	4/11
ИМС УМЗЧ International Rectifier PowRaudio IR4321M и IR4322M размерами 7 x 7 x 1 мм отдают в на руку до 100 Вт без радиаторов	4/12
Новый сверхмалогабаритный спаренный Н-канальный j-fet LSK469 Linear Integrated Systems с существенно уменьшенной ёмкостью затвор-сток 4 пФ	4/13
New Japan Radio Co. Ltd под новым брендом MUSES начала выпуск «особо аудиофильского» ОУ MUSES501/02 и MUSES57230 - двухканального электронного регулятора громкости с коэффициентом гармоник не более 0,0005% и уровнем собственных шумов не выше -118 дБА	4/14
ASUS выпустила специальный вариант звукового интерфейса Xonar Essence One MUSES Edition	4/14
Однотактный «Лофтинг-УМ» в версии Костас Сарриса на промонакальном триоде 2A3	4/22
Омогтактный и двухтактный УМЗЧ Дайва Росса на полевых транзисторах	4/23
Hi-Fi УМЗЧ Рональда Андерсона на дискретных радиокомпонентах	4/26
Джо Кларк и Грег Свайн предложили конструкцию 3-входового переключателя аналоговых стереоканалов для High-End/Hi-Fi аудиокомплексов	4/27
MM/MC винил-корректор Билла Кристи на ОУ LM49740	4/28
Универсальный аудиопредусилитель Алана Крауса на основе ИМС 1570 фирмы That	4/29
USB интерфейс Джима Роу для высококачественной стереозаписи живого звука от двух профессиональных микрофонов	4/30
Биты и Время	4/42
БезОСный УМЗЧ с отрицательным выходным сопротивлением	4/50
Гибридный УМЗЧ Андрея Чуффоли	5/23
Мощный высококачественный УМЗЧ Q-Watt Тона Гибертса	5/28
Генератор сверхчистой синусоиды Кристофера Поля с общим коэффициентом гармоник 0,00025%	5/30
Аудиофильский стробоскоп С. Мишленкова и Н. Нечавы	5/32
ARDUINO-расширение для Hi-Fi аудиопроцессоров	5/48
Выходной каскад УМЗЧ без общей ООС с независимыми регулировками тока покоя и выходного импеданса	5/51
Схемные решения гибридного усилителя Stax SRM-006S для электростатических головных телефонов	5/58
ИМС Linear Technology LT1166 для управления смещением выходного каскада мощных двухтактных УМЗЧ класса AB	5/61
Анализ УМЗЧ А. Литвакина с MKУС и «инверграбукой» ООС	6/26
Hi-Fi УМЗЧ Джона Кларка класса D с делты-сигма модулятором второго порядка	6/29
Светодиодный «стрелочный» индикатор MP1054 для современного УНЧ вибрафона	6/51
«Эмиттерно-катодный» гибрид в High-End усилителя для наушников	6/54
Компьютеры	6/55
HDDScan 3.3 позволяет анализировать «здоровье» не только HDD/Flash накопителей, но и твердотельных SSD	1/4
TreeSize Free собирает данные об объеме всех директорий выбранного диска не только ПК, но и смартфонов	1/4
Dell XPS™ 12 Ultrabook™ с одной стороны - ноутбук, а с другой - планшет	1/5

# СОДЕРЖАНИЕ ЖУРНАЛА ЗА 2013-Й ГОД

Сверхширокоэкранный «панорамный» дисплей Dell UltraSharp U2913WM с разрешением 2560x1080 пикселей и необычным соотношением сторон 21:9 ..... 1/5	Бесплатная утилита SmartDeblur 2.0 Владимира Южкова в части исправления «смазанных» и расфокусированных фотографий методом слойной обратной свертки обогнала Photoshop CS6 ..... 2/10	Веб-сервер на микроконтроллере ATXmega256A3 для мониторинга и удаленного управления объектами через сеть интернет ..... 6/34
Ускоряющая вдвое и умоляющая в 40 раз спецификации интерфейса USB 3 ..... 1/7	Kingston Digital вновь представила флэш-накопители DataTraveler HyperX Predator 3.0 объемом 1 ТБ ..... 1/8	Микросхема STMicroelectronics TDA7576B автомобильного УМЗЧ с однополярным 24-вольтовым питанием и оригинальной «квазимостовой» архитектурой ..... 1/9
Kingston Digital вновь представила 31-дюймовый жидкокристаллический монитор BT-4LH310 с разрешением 4096x2160 пикселей ..... 2/15	Джованни Бьянчи предложил «обобщенный» корректор Линквица, свободный от ограничений традиционного Линквица ..... 1/24	Улучшения характеристики популярного дифференциального повторителя с паразитными выходами AD8476 дополнительным операционным усилителем OP1177 ..... 1/27
Дисплеи Triluminos расширяют охват цветовой гаммы примерно на 50% благодаря «квантовым точкам» (quantum-dots) компании QD Visio ..... 2/15	Помехозащищенный адаптивный триггер Шмита для биометрии ..... 5/34	Токовое зеркало с управляемым напряжением коэффициентом передачи ..... 5/35
Genius выпустила беспроводную мышку DX-ECO, которой для работы не нужны батареи ..... 2/16	Intersil Americas LLC выпустила IMC ISL71590SEH - оригинальный двухвыводный преобразователь температуры-тока ..... 6/20	ИМС Linear Technology LT1166 для управления смещением выходного каскада мощных двухтактных УМЗЧ класса AB ..... 6/21
Кабель-адаптер USB/LI024 ..... 2/35	Новая микросхема приемопередатчика диапазона 2,4 ГГц JN5168 от NXP ..... 6/24	«Эмиттер-катодный» гибрид в High-End усилителе для наушников ..... 6/54
Утилита inSSIDer для частотной и пространственной диагностики доступных каналов Wi-Fi и загруженности гигагерцевого эфира ..... 3/6	Профессиональная схемотехника	
USB-адаптер Wi-Spy и программный сканер-спектроанализатор Chanalyzer для обзора всех мешающих Wi-Fi (Bluetooth, ZigBee и др.) устройств диапазонов 2,4 и 5 ГГц ..... 3/8	Edifier R1600T08 - посередине между Hi-Fi и мультимедиа ..... 1/59	
Собственный браузер megaportav Mail.ru ..... 3/9	Схемные решения гибридного усилителя Stax SRM-0061S для электростатических головных телефонов ..... 5/58	
Web of Trust - бесплатный инструмент для безопасного веб-серфинга на основе мнений миллионов членов интернет сообщества ..... 3/9	Миниправочник	
Массовая вредоносная спам-рассыпка через Skype ..... 3/9	Электрический конденсаторный микрофон Sonion 51PC81T серии 5100 с существенно улучшенной помехозащищенностью ..... 1/8	
Вредоносное зарядное USB-устройство Mastgate менее чем за минуту заражает iPhone, iPad и другие устройства на OC iOS ..... 3/10	Микросхема STMicroelectronics TDA7576B автомобильного УМЗЧ с однополярным 24-вольтовым питанием и оригинальной «квазимостовой» архитектурой ..... 1/9	
Intel Silvermont против ARM Cortex A57 и IBM ARMv8 на базе 14-нм техпроцесса с применением FinFET ..... 3/13	Nuvoton ISD2360 - первое трехканальное устройство воспроизведения звука (ChipCorder*) с параллельной обработкой, интегрированными микшером и УМЗЧ класса D ..... 1/10	
Creative Sound Blaster ZXR против ASUS Xonar Essence STX ..... 3/15	Сверхмалопотребляющий (1 мА) интегральный генератор/таймер Touchstone Semiconductor TS3001 ..... 1/11	
PicoScope 3207A/B является первым в мире компьютерным осциллографом с интерфейсом USB 3.0 ..... 3/21	Texas Instruments TPS22933A - мощный трехходовой автоматический мультиплексор с интегрированным LDO-стабилизатором ..... 1/12	
Calculator v.2.0.9.30 содержит встроенный Калькулятор Windows XP, и кроме, того, еще 25 полезных расчетно-справочных меню радиолюбительской направленности ..... 4/7	Сверхмикропорные быстroredействующие плавкие предохранители Littlefuse Inc. серии 808 TE5* ..... 1/12	
Онлайн-учайзер цифровых фотографий Center for Perceptual Systems ..... 4/7	Четырехканальный 12-разрядный ЦАП Analog Devices AD9106 и одноканальный 14-разрядный ЦАП AD9102 содержат интегрированную статическую оперативную память (SRAM) и синтезатор прямого цифрового синтеза (DDS) ..... 1/13	
Tethercell-адаптер формфактора AA дистанционно включает и выключает, программирует работу нескользящих гаджетов по расписанию, контролирует уровень заряда их батареи и даже ... находит потерянные Bluetooth ..... 4/9	Новые серии энергозависимых одно-, двух- и четырехканальных цифровых потенциометров Analog Devices digiPOT AD514x и AD512x со сверхмалыми динамическими рассогласованием сопротивления ..... 1/14	
ASUS выпустила специальный вариант звукового интерфейса Xonar Essence One MUSES Edition ..... 4/14	Пластины предохранителей Littlefuse серии PICO259 в капсулированном герметичном корпусе для взрывобезопасной работы в шахтах, нефтяных и газовых вышках ..... 2/16	
USB-интерфейс Джима Роя для высококачественной стереозаписи живого звука от двух профессиональных микрофонов ..... 4/30	ИМС Linear Technology LT8705 суперэффективного и сверхуниверсального контроллера понижающего/повышающего импульсного преобразователя постоянного напряжения ..... 2/16	
USB-барометр BaroStick Руда ван Стиниса автоматически отправит ваши метеоданные на сервер Weather Underground ..... 4/33	Качественный скачок характеристик новой серии фотореле Toshiba TLP171 с микротоковыми светодиодами ..... 2/19	
Судя по новому исследованию аналитической компании Gartner, эра персональных компьютеров приближается к своему завершению ..... 5/6	STmicroelectronics представила первый в мире универсальный «осветительный» SMED/DALI контроллер STLUX385 ..... 2/19	
Linksys Smart Wi-Fi Router AC1900 (EA6900) обеспечивает скорость до 1300 Мб/с ..... 5/10	Autocorrection feedback ACFB в ОУ Analog Devices ADA4528-1/ADA4528-2 с рекордно малыми шумами 5,6 нВ/Гц среди усилителей с МДМ компенсацией температурного дрейфа ..... 2/19	
Двухдиапазонный гигабитный маршрутизатор AC1750 Archer C7 с пропускной способностью 1750 Мб/с ..... 5/10	Трехуровневая 2-д модуляция вместо ШИМ в УМЗЧ класса D Analog Devices SSM4321 ..... 2/20	
Утилита JPerf 2.0.2 позволяет измерить реальную скорость домашней Wi-Fi сети и тем самым помочь предотвратить скрытые потери пропускной способности интернет-доступа даже без подключения к интернету ..... 5/11	Silicon Labs разработала Si826x - КМОП альтернатива изолирующим оптодрайверам ..... 3/17	
Linksys Smart Wi-Fi Router AC1900 (EA6900) обеспечивает скорость до 1300 Мб/с ..... 5/10	MAX1156 - самый миниатюрный в отрасли 18-разрядный АЦП последовательного приближения ..... 3/18	
Двухдиапазонный гигабитный маршрутизатор AC1750 Archer C7 с пропускной способностью 1750 Мб/с ..... 5/10	LT6110 - компенсатор падения напряжения на межблочных проводах/кабелях, на требующий обратных «Кельвинов» ..... 3/18	
Утилита JPerf 2.0.2 позволяет измерить реальную скорость домашней Wi-Fi сети и тем самым помочь предотвратить скрытые потери пропускной способности интернет-доступа даже без подключения к интернету ..... 5/11	В-разрядные микропротоколеры PIC16F527 и PIC16F570 с встроенными ОУ ..... 3/19	
NXP Semiconductors разработала он-лайн инструмент UHF PCB Antenna Design, облегчающий разработку «печатных» антенн УКВ диапазона, в частности, для систем RFID ..... 5/13	Calculator v.2.0.9.30 содержит встроенный Калькулятор Windows XP, и кроме, того, еще 25 полезных расчетно-справочных меню радиолюбительской направленности ..... 4/7	
Conductive Inkjet Technology, CSR и Atmel совместно разработали беспроводную Bluetooth-клавиатуру толщиной 0,5 мм ..... 5/14	ИМС УМЗЧ International Rectifier PowIRaudio™ IR4321M и IR4322M размерами 7 x 7 x 1 мм отдают на нагрузку до 100 Вт без радиатора ..... 4/12	
Интересной особенностью флэш-накопителя Lexar JumpDrive M10 Secure является индикатор свободного места ..... 5/15	Новый сверхмалогабаритный спаренный Н-канальный j-fet LSK489 Linear Integrated Systems с существенно уменьшенной емкостью затвор-сток 4 пФ ..... 4/13	
Флэшки Toshiba TransMemory-EX II со скоростью чтения данных 222 МБ/с и записи 205 МБ/с ..... 5/15	New Japan Radio Co. Ltd под новым брендом MUSES начала выпуск «особо аудиофильских» ОУ MUSES01/2 и MUSES72320 - двухканального электронного регулятора громкости с коэффициентом гармоник не более 0,0005% и уровнем собственных шумов не выше -118 дБА ..... 4/14	
Super Talent выпустила SSD нового форм-фактора M.2 для ультратонких ноутбуков и планшетов ..... 5/15	Linear Technology LTC3863 - высоковольтный преобразователь постоянного напряжения отрицательной полярности с единственной катушкой индуктивности ..... 4/15	
Ультрабук Lenovo Yoga 2 Pro с разрешением 13,3-дюймового дисплея 3200 x 1800 пикс. ..... 5/16	Touchstone Semiconductor анонсировала расширение семейства микропотребляющих ИМС Nanopower Analog™ таймерами TS3003/4/5/6 с энергопотреблением на порядок меньше современных КМОП-аналогов 555 ..... 4/16	
MAME CAM - самый маленький в мире фотоаппарат массой 11 грамм ..... 5/16	БИС IC-Haus GmbH IC-TW8 - пренцизионный инвертилор с автокалибровкой для линейных и угловых измерений ..... 4/17	
Lunaweb Ltd. предложила бесплатный «облачный» сервис CloudConvert, выполняющий онлайн преобразование между 159 различными форматами файлов в подкаталогах archive, audio, cad, document, ebook, image, presentation, spreadsheet, vector, video ..... 6/8	Peregrine Semiconductor начала выпуск матриц конденсаторов серий DuNE UltraCMOS™ DTC PE6230x0, PE6210x0 и PE64906/7/8/9 для антенных согласующих устройств ..... 4/19	
PDFMaster - программа-«глаздка» pdf, djvu, chm, epub и fb2 файлов дополнена новым модулем PDFMaster Printer для печати любых документов из любой программы на вашем ПК в pdf-файл ..... 6/9	Арсенид-галлиевая микросхема малошумящего усилителя Hittite HMC1049LP5E работает в диапазоне от 0,3 до 20 ГГц ..... 4/19	
Microsoft напоминает, что 8 апреля 2014 года полностью завершится поддержка операционной системы Microsoft Windows XP ..... 6/10	NXP Semiconductors анонсировала расширение семейства автомобильных УМЗЧ классов AB микросхемой TDF8546A с интегрированными входными фильтрами, предотвращающими интегрорендеринг с сигналами мобильных телефонов стандарта GSM и патентованной системой Best Efficiency Mode ..... 5/17	
AirMagnet Spectrum XT - программа-«ружей» для «охоты» на Wi-Fi лис ..... 6/11	Сверхмалогабаритный усилитель NXP BG43018 для расширителей сетей кабельного ТВ и интернета ..... 5/19	
Профессиональный анализатор AirMagnet WiFi Analyzer - инструмент для управления сетями Wi-Fi предприятий стандарта 802.11a/b/g/n/4,9 ГГц с ядром AirWISE® ..... 6/12	OU Linear Technology LT6016/17 работоспособен при входных напряжениях выше напряжения питания на 26 В ..... 5/19	
Rockwell Collins выпустила программу-калькулятор Lightning protection design calculator, позволяющую связать параметры тестовых по стандарту DO-160 молний с параметрами защитных радиокомпонентов ..... 6/14	KМОП Rail-to-Rail ОУ Linear Technology LTC6090 с напряжением питания до 140 В ..... 5/20	
Адаптер Bona Djordjeva для питания радиолюбительских или экспериментальных устройств от компьютерных блоков питания формата ATX без какого-либо вмешательства в сами блоки питания ..... 6/16	Контроллер идеального мостового выпрямителя Linear Technology LT4320/1/LT4320-1 ..... 5/21	
INTERNet	NXP Semiconductors представила новую серию AXP сверхнизковольтных микропотребляющих логических элементов, выполненных по технологии Si-gate CMOS с напряжением питания от 0,7 В ..... 6/17	
«Лаборатория Касперского» сообщила об обнаружении первой спамовой рассылки, в которой для донесения основного рекламного сообщения до конечной аудитории используются файлы в формате mp3 ..... 2/12	Littlefuse выпустила микроминиатюрные (3,2 x 1,6 x 1,6 мм) газоразрядники серии SE ..... 6/19	
Torrent Stream - технология расширения области применения популярного пирингового протокола BitTorrent на потоковые аудиовизуальные программы ..... 2/12	МОП-транзистор IXTL2N450 IXYS Corporation с предельно допустимым напряжением сток-исток 4500 В ..... 6/19	
Thingquare Code - первая в мире онлайн интерактивная среда разработки «интернет-вещей» ..... 3/10	Intersil Americas LLC выпустила IMC ISL71590SEH - оригинальный двухвыводный преобразователь температуры-тока ..... 6/20	
Интернет управление через USB и аппаратно-программный включатель/выключатель ..... 3/10	OU Linear Technology LT1166 для управления смещением выходного каскада мощных двухтактных УМЗЧ класса AB ..... 6/21	
микрокомпьютера Raspberry Pi ..... 3/42	Новая микросхема приемопередатчика диапазона 2,4 ГГц JN5168 от NXP ..... 6/24	
USB-барометр BaroStick Руда ван Стиниса автоматически отправит ваши метеоданные на сервер Weather Underground ..... 4/33	Измерения	
NXP Semiconductors разработала он-лайн инструмент UHF PCB Antenna Design, облегчающий разработку «печатных» антенн УКВ диапазона, в частности, для систем RFID ..... 5/13	Semiconductor Tester Dijima Roy измеряет практически все основные статические параметры практических всех полупроводниковых приборов ..... 1/27	
Проект STRAUSS - мультидоменная оптоволоконная инфраструктура связи, позволяющая работать на скорости до 100 Гб/с ..... 6/6	Широкополосный генератор импульсов Сама Гейблбрис и Рика Петерсон ..... 1/32	
Открылось российское «облачко» для проектирования электроники ..... 6/6	Стартовал предложил схему усовершенствованного ГИРа с микроконтроллером ..... 1/34	
Viber - экономичная и свободная от рекламы альтернатива Skype ..... 6/7	Самодельный прибор - искатель кабельных трасс ..... 1/55	
Dart Mail - электронная почта на основе P2P-соединения и протокола обмена мгновенными сообщениями SCIMP, принципиально свободная от «прослушки» ..... 6/7	Визуализатор шумов OPRAMP Noise Visualizer в виде электронной таблицы для MS Excel ..... 2/13	
WebMoney выпустила приложение WebMoney Voice, позволяющее проводить конфиденциальные телефонные переговоры ..... 6/7	Портативный анализатор спектра беспроводных систем связи Narda IDA-3106 обладает функциями радио-мониторинга, анализатора излучений и определения местонахождения источника сигнала в частотном диапазоне от 9 ГГц до 6 ГГц ..... 2/22	
PROMT завершила работы по обновлению сайта <a href="http://www.translate.ru">http://www.translate.ru</a> - одного из популярных сервисов по онлайн-переводу ..... 6/8	Измерение параметров антенн диапазона 2,4 ГГц ..... 2/58	
Lunaweb Ltd. предложила бесплатный «облачный» сервис CloudConvert, выполняющий онлайн преобразование между 159 различными форматами файлов в подкаталогах archive, audio, cad, document, ebook, image, presentation, spreadsheet, vector, video ..... 6/8		

# СОДЕРЖАНИЕ ЖУРНАЛА ЗА 2013-Й ГОД

Утилита InSSIDer для частотной и пространственной диагностики доступных каналов Wi-Fi и загруженности гигагерцевого эфира ..... 3/6	4/44
USB-адаптер Wi-Spy и программный сканер-спектронализатор Chanalyzer для обзора всех мешающих Wi-Fi (Bluetooth, ZigBee и др.) устройств диапазонов 2,4 и 5 ГГц ..... 3/8	5/44
Серия CWT Ultra-mini датчиков на основе катушек Роговского ..... 3/20	
PicoScope 3207A/B является первым в мире компьютерным осциллографом с интерфейсом USB 3.0 ..... 3/21	6/18
Широкодиапазонный рефлектометр/ваттметр KW 520 фирмы Alen ..... 3/21	6/19
64-х-светодиодный стерео VU-метр на ATmega8 ..... 3/30	6/20
Радиационный дозиметр Рона Ньютона с микроконтроллером и ЦАПом для самописца ..... 3/31	6/21
Автоматический генератор зондирующего импульса в пробнике двухполюсников ..... 3/32	6/22
Малогабаритный LCR-метр с точностью измерения 0,05% ..... 3/33	6/23
Мини-эхолот для рыбака-спортсмена ..... 3/48	6/24
18-разрядный АЦП Мишеля Дефранса с I <sup>2</sup> C выходом для микроконтроллерных измерительных систем ..... 4/32	6/25
USB-барометр BaroStick Рууда ван Стинисса автоматически отправит ваши метеоданные на сервер Weather Underground ..... 4/33	6/26
Генератор сверхчистой синусоиды Кристофора Поля с общим коэффициентом гармоник 0,00025% ..... 5/30	6/27
Аудиофильский стробоскоп С. Мишенкова и И. Нечава ..... 5/32	6/28
Измеритель удельного поверхностного электрического сопротивления до 1 ТОм ..... 5/33	6/29
Помехозащищенный аддитивный триггер Шмитта для биометрии ..... 5/34	6/30
Термометр-термостат с диапазоном от -50 до +1200 °C и регулируемым гистерезисом ..... 5/35	6/31
Институт Kaiteli совместно с компанией Bifrostec представили новую технологию, позволяющую определить пульс с использованием самых обычных наушников ..... 6/16	6/32
«Умные часы» AirOn Connect и AirOn GTI обладают возможностью синхронизации с операционными системами Android и iOS, могут подключаться к смартфонам, принимать звонки и SMS ..... 6/17	6/33
«Кухонный» термометр iGrill имеет возможность подключения к вашему iPhone ..... 6/17	6/34
<b>Технологические советы, обмен опытом, ремонт</b>	
Устройства для предупреждения перегрева радиоэлектронного оборудования ..... 3/36	6/35
Ремонт рупорного аудиомонитора подручными средствами ..... 4/48	6/36
М.У.З. Сенсорный TFT-дисплей ..... 6/47	6/37
<b>Автоматика, бытовая электроника, блоки питания, зарядные устройства</b>	
Мигающий светодиодный ошейник для домашнего любимца ..... 1/57	6/38
Автоматический выключатель лампы накаливания в коридоре ..... 1/58	6/39
Устройство для предупреждения перегрева радиоэлектронного оборудования ..... 3/38	6/40
Tetrapod-адаптер формфактора AA дистанционно включает и выключает, программирует работу нескольких гаджетов по расписанию, контролирует уровень заряда их батарей и даже ... находит потерянные Bluetooth ..... 4/9	6/41
Микроконтроллерное устройство С. Шишкина для сигнализации и охраны до 96 объектов ..... 4/34	6/42
Устройство для тренировки никель-кадмийевых аккумуляторов ..... 4/59	6/43
Контроллер идеального мостового выпрямителя Linear Technology LT4320/LT4320-1 ..... 5/21	6/44
Помехозащищенный аддитивный триггер Шмитта для биометрии ..... 5/34	6/45
Термометр-термостат с диапазоном от -50 до +1200 °C и регулируемым гистерезисом ..... 5/35	6/46
Простой монитор состояния 12-вольтового аккумулятора ..... 5/38	6/47
Радионяня ..... 5/56	6/48
Институт Kaiteli совместно с компанией Bifrostec представили новую технологию, позволяющую определить пульс с использованием самых обычных наушников ..... 6/16	6/49
«Умные часы» AirOn Connect и AirOn GTI обладают возможностью синхронизации с операционными системами Android и iOS, могут подключаться к смартфонам, принимать звонки и SMS ..... 6/17	6/50
«Кухонный» термометр iGrill имеет возможность подключения к вашему iPhone ..... 6/17	6/51
Веб-сервер на микроконтроллере ATxHedgea256A3 для мониторинга и удаленного управления объектами через сеть интернет ..... 6/34	6/52
Адаптер Бена Джордана для питания радиолюбительских или экспериментальных устройств от компьютерных блоков питания формата ATX без какого-либо вмешательства в сами блоки питания ..... 6/36	6/53
<b>ВидеоТВ</b>	
Экстрем-экшн Full HD видеокамера Swann Communications Bolt HD с «лазерным прицелом» ..... 1/6	6/54
Fujitsu Laboratories Ltd. разработала новую бесконтактную технологию передачи данных с экранов ТВ или мониторов ПК в смартфоны ..... 1/7	6/55
Компактная цифровая Full HD экшн-камера Rollei Actioncam 5S WiFi со встроенным Wi-Fi модулем и возможностью дистанционного управления посредством планшетника или смартфона ..... 2/14	6/56
Web-камера Belkin NetCam HD Wi-Fi Camera with Night Vision позволяет удаленно наблюдать за происходящим в помещении с помощью смартфона или планшета ..... 2/15	6/57
Sony озвучила цены на «бюджетные» 55- и 65-дюймовые телевизоры с разрешением 4K XBR-55X900A и XBR-65X900A ..... 2/15	6/58
Lunaweb Ltd. предложила бесплатный «облачный» сервис CloudConvert, выполняющий онлайн преобразование между 159 различными форматами файлов в подкатегориях archive, audio, cad, document, ebook, image, presentation, spreadsheet, vector, video ..... 6/8	6/59
<b>Радиолюбители - автомобилистам</b>	
Автомобильный повышающий преобразователь напряжения ..... 1/48	6/60
Доработка системы зажигания первых моделей ВАЗовских «Жигулей» с карбюраторным двигателем, обеспечивающая надежный запуск на морозе ..... 4/34	6/61
«Гражданский швейцар» Джима Роя на основе рамочного магнитного датчика с повышенной помехозащищенностью ..... 4/35	6/62
NXP Semiconductors анонсировала расширение семейства автомобильных УМЗЧ класса AB микросхемой TDF8546A с интегрированными входными фильтрами, предотвращающими интерференцию с сигналами мобильных телефонов стандарта GSM и патентованной системой Best Efficiency Mode ..... 5/17	6/63
Простой монитор состояния 12-вольтового аккумулятора ..... 5/38	6/64
Volvo Car Group разработала революционную концепцию «кузов автомобиля превращается в аккумулятор» ..... 6/17	6/65
Новинка 2013 года - автомобильная СВ радиостанция Yessan CB-250 ..... 6/24	6/66
<b>Цифровая техника, микроконтроллеры</b>	
Петропоморский индикатор уровня звука сигнала Геральда Цинтра на газоразрядных скальных индикаторах типа ИН-9 с микроконтроллером CY8C27443 ..... 1/25	6/67
Стоарт Болл предложил схему усовершенствованного ГИРа с микроконтроллером ..... 1/34	6/68
М.У.З. OLED-индикатор ..... 1/46	6/69
Кабель-адаптер USB/O24 ..... 2/35	6/70
Светодиодный куб для Arduino Nano ..... 2/40	6/71
«Военная тайна» четырехстрочного OLED ..... 2/44	6/72
8-разрядный микроконтроллер PIC16F527 и PIC16F570 со встроенными ОУ ..... 3/19	6/73
64-х-светодиодный стерео VU-метр на ATmega8 ..... 3/30	6/74
Радиационный дозиметр Рона Ньютона с микроконтроллером и ЦАПом для самописца ..... 3/31	6/75
Автоматический генератор зондирующего импульса в пробнике двухполюсников ..... 3/32	6/76
Малогабаритный LCR-метр с точностью измерения 0,05% ..... 3/33	6/77
Автодатчики сенсорной кнопки на ATtiny13 ..... 3/45	6/78
«Ондроуз» - программатор на базе Arduino ..... 3/52	6/79
18-разрядный АЦП Мишеля Дефранса с I <sup>2</sup> C выходом для микроконтроллерных измерительных систем ..... 4/32	6/80
USB-барометр BaroStick Рууда ван Стинисса автоматически отправит ваши метеоданные на сервер Weather Underground ..... 4/33	6/81
Микроконтроллерное устройство С. Шишкина для сигнализации и охраны до 96 объектов ..... 4/34	6/82
Биты и Время ..... 4/42	6/83
<b>Новая техника и технология</b>	
HDDScan 3.3 позволяет анализировать «здоровые» не только HDD/Flash накопители, но и твердотельные SSD ..... 1/44	6/84
TreeSize Free собирает данные об объеме всех директорий выбранного диска не только ПК, но и смартфонов ..... 1/44	6/85
Dell XPS™ 12 Ultrabook™ с одной стороны - ноутбук, а другой - планшет ..... 1/5	6/86
Сверхширокоугольный «панорамный» дисплей Dell UltraSharp U2913WM с разрешением 2560x1080 пикселей и необычным соотношением сторон 21:9 ..... 1/5	6/87
Экстрем-экшн Full HD видеокамера Swann Communications Bolt HD с «лазерным прицелом» ..... 1/6	6/88
Fujitsu Laboratories Ltd. разработала новую бесконтактную технологию передачи данных с экранов ТВ или мониторов ПК в смартфоны ..... 1/7	6/89
Ускоряющая вдвое и умножающая в 40 раз спецификации интерфейса USB 3 ..... 1/7	6/90
Kingston Digital анонсировала флеш-накопители DataTraveler HyperX Predator 3.0 объемом 1 ТБ ..... 1/8	6/91
Электретный конденсаторный микрофон Sonion S1P-C31T серии 5100 с существенно улучшенной помехозащищенностью ..... 1/8	6/92
Электростатические двухполюсные AC PIOSound Golden Eagle ..... 1/8	6/93
Микросхема STMicroelectronics TDA7576B автомобильного УМЗЧ с однополарным 24-вольтовым питанием и оригинальной «квазимостовой» архитектурой ..... 1/9	6/94
Novoton ISD2800 - первое трехканальное устройство воспроизведения звука (ChipCorder) с параллельной обработкой, интегрированным микшером и УМЗЧ класса D ..... 1/10	6/95
Сверхмалопотребляющий (1 мкА) интегральный генератор/таймер Touchstone Semiconductor TS3001 ..... 1/11	6/96
Texas Instruments TPS22933A - мощный трехходовой автоматический мультиплексор с интегрированным LDO-стабилизатором ..... 1/12	6/97
Сверхмощные быстродействующие плавкие предохранители Litefuse Inc. серии 808 TE5™ ..... 1/12	6/98
Четырехканальный 12-разрядный ЦП Analog Devices AD5106 и одноканальный 14-разрядный ЦП AD9102 содержат интегрированную статическую оперативную память (SRAM) и синтезатор прямого цифрового синтеза (DDS) ..... 1/13	6/99
Новые серии энергонезависимых одно-, двух- и четырехконтактных цифровых потенциометров Analog Devices digiPOT AD514x и AD512x со сверхмальным динамическим рассогласованием сопротивления ..... 1/14	6/100
Беспроводной модуль Digi XBee-PRO 900NB обеспечивает передачу данных в диапазоне 902...928 МГц на расстояние до 45 км со скоростью обмена до 200 Кб/с ..... 1/14	6/101
Полудуплексный цифровой радиодиодон CML Microcircuits CMX188 ACE для модернизации аналоговых PMR/Walkie-Talkie радиостанций ..... 1/17	6/102
Британская любительская организация спутниковой связи AMSAT-UK планирует в 2013 году вывод на орбиту нового студийного спутникового спутника связи FUNcube-1 ..... 1/17	6/103
Новая панорамная приставка P3 фирмы Elencaft ..... 1/18	6/104
RDR508 - SDR радиоприемник с дополнительным блоком передатчика Буркхарда Рейтера ..... 1/19	6/105
Характеристики флагманского KB/50 МГц трансивера JVC Kelwood TS-990S ..... 1/19	6/106
Бесплатная утилита SmartDebit 2.0 Владимира Южкова в части исправления «смазанных» и расфокусированных фотографий методом слепой обратной свертки обнаглала Photoshop CS6 ..... 2/10	6/107
«Лаборатория Касперского» сообщила об обнаружении первой спамовой рассылки, в которой для донесения основного рекламного сообщения до конечной аудитории используются файлы в формате трр3 ..... 2/12	6/108
Torrent Stream - технология расширения области применения популярного пирингового протокола BitTorrent на потоковые аудиовизуальные программы ..... 2/12	6/109
Визуализатор шумов OPAMP Noise Visualizer в виде электронной таблицы для MS Excel ..... 2/13	6/110
Компактная цифровая Full HD экшн-камера Rollei Actioncam 5S WiFi со встроенным Wi-Fi модулем и возможностью дистанционного управления посредством планшетника или смартфона ..... 2/14	6/111
Web-камера Belkin NetCam HD Wi-Fi Camera with Night Vision позволяет удаленно наблюдать за происходящим в помещении с помощью смартфона или планшета ..... 2/15	6/112
Разработка представила 31-дюймовый жидкокристаллический монитор BT-LH310 с разрешением 4098x2160 пикселей ..... 2/15	6/113
Sony озвучила цены на «бюджетные» 55- и 65-дюймовые телевизоры с разрешением 4K XBR-55X900A и XBR-65X900A ..... 2/15	6/114
Дисплеи Triluminos расширяют охват цветовой гаммы примерно на 50% благодаря «квантовым точкам» (quantum-dots) компании QD Vision ..... 2/15	6/115
Genius выпустила беспроводную мышь DX-ECO, которой для работы не нужны батарейки ..... 2/16	6/116
Fujitsu Frontech представила датчик для биометрической идентификации по рисунку век ..... 2/16	6/117
Плавкие предохранители Litefuse серии PICO259 в капсулированном герметичном корпусе для взрывобезопасной работы в шахтах, нефтяных и газовых вышках ..... 2/16	6/118
IMC Linear Technology LT8705 суперэффективного и сверхшироковещательного контроллера понижающей/повышающей импульсного преобразования постоянного напряжения ..... 2/16	6/119
Качественный сканер характеристик новой серии фотопленки Toshiba TLP117 с микротоковыми светодиодами ..... 2/19	6/120
STMicroelectronics представила первый в мире универсальный «осветительный» SMED/DALI контроллер STLUX385 ..... 2/19	6/121
Autospectrum feedback ACFB в CY Analog Devices ADA4528-1/ADA4528-2 с рекордно малыми шумами 5,6 dB/√Hz среди суперлинейных ЦДМД компенсацией температурного дрейфа ..... 2/19	6/122
Трехконтрольная Σ-Δ модуляция вместо ШИМ в УМЗЧ класса D Analog Devices SSM4321 ..... 2/20	6/123
В лаборатории российской компании AMT испытываются опытные образцы твердотельных аналогов популярных аудиофильских ламп - твердотельный пентод AMT Electronics 6L6WVS (WarmStone) и сдвоенный твердотельный триод AMT Electronics 12AX7WS ..... 2/21	6/124
Портативный анализатор спектра беспроводных систем связи Narda IDA-3106 обладает функциями радио-мониторинга, анализа излучений и определения местонахождения источника сигнала в частотном диапазоне от 9 КГц до 6 ГГц ..... 2/22	6/125
Линейный 1,5-клавишный KB усиливатель мощности ACOM-1500 с использованием новой радиодиоды 4CX1000A ..... 2/23	6/126
Антenna SteppIR DB42 Monstir Pro является в настоящий момент самой большой из серии Dream Beam ..... 2/24	6/127
Утилита inSSIDer для частотной и пространственной диагностики доступных каналов Wi-Fi и загруженности гигагерцевого эфира ..... 3/6	6/128
USB-адаптер Wi-Spy и программный сканер-спектронализатор Chanalyzer для обзора всех мешающих Wi-Fi (Bluetooth, ZigBee и др.) устройств диапазонов 2,4 и 5 ГГц ..... 3/8	6/129
Собственный браузер мегапортала Mail.ru ..... 3/9	6/130
Web of Trust - бесплатный инструмент для безопасного веб-серфинга на основе мнений миллионов членов интернет сообщества ..... 3/9	6/131
Массовая вредоносная спам-рассылка через Skype ..... 3/9	6/132
Вредоносное зарядное устройство на CC ICOS ..... 3/10	6/133
Thingsquare Code - первая в мире онлайн интерактивная среда разработки «интернет-вещей» ..... 3/10	6/134
Две новых «китайских» направления эволюции сотовых телефонов - «бабушкофон» iPhone 7700, Senseit S7 с персональным трекером и системой мониторинга MobiTrace и «транкофон» Senseit P7 ..... 3/11	6/135
Intel Silvermont против ARM Cortex A57 и IBM ARMv8 на базе 14-нм техпроцесса с применением FinFET ..... 3/11	6/136

# СОДЕРЖАНИЕ ЖУРНАЛА ЗА 2013-Й ГОД

Creative Sound Blaster ZxR против ASUS Xonar Essence STX	3/15
NASA выдало деньги на создание «лицевого 3D принтера»	3/16
Германен - атомный слой германия - перспективный полупроводник с «прямопереходной запрещенной зоной»	3/16
Группе немецких ученых удалось в 7 раз повысить ресурс литий-серных (Li-S) аккумуляторов	3/17
Silicon Labs разработала Si828x - КМОП альтернативу изолирующем оптодрайверам	3/17
MAX11156 - самый миниатюрный в отрасли 18-разрядный АЦП последовательного приближения	3/18
LT6110 - компенсатор падения напряжения на межблочных проводах/кабелях, не требующий обратных «Кильевиков»	3/18
8-разрядные микроконтроллеры PIC16F527 и PIC16F570 со встроенными ОУ	3/19
Серия CWT Ultra-mini датчиков на основе катушек Роговского	3/20
PicoScope 3207A/B является первым в мире компьютерным осциллографом с интерфейсом USB 3.0	3/21
Компактный КВ трансивер Kenwood TK-90 соответствует военным стандартам MIL 810	3/21
Широкодиапазонный рефлектометр/ваттметр KW 520 фирмы Alan	3/21
Американская CusterCraft выпустила новую вертикальную антенну R9 для диапазонов от 6 до 80 метров	3/21, 53
Calculator v.2.0.9.30 содержит встроенный Калькулятор Windows XP, кроме того, есть 25 полезных расчетно-справочных меню радиолюбительской направленности	4/7
Очень улучшайзер цифровых фотографий Center for Perceptual Systems	4/7
Топливные элементы M-SOFC VOTO осуществляют реакцию, обратную фотосинтезу	4/8
Tetherless-адаптер формфактора AA дистанционно включает и выключает, программирует работу нескольких гаджетов по расписанию, контролирует уровень заряда их батарей и даже находит потерянные Bluetooth	4/9
Экспериментальный самолет Solar Impulse может совершать перелеты как днем, так и ночью без использования топлива	4/9
Немецкие физики смогли записать и стереть с поверхности железо-палладиевого сплава отдельные магнитные вихри - скриптонии	4/10
Исследовательским Центром Университета Саутгемптона продемонстрирован новый способ 5-мерной записи информации в прозрачный кварцевый блок	4/10
Акустическая система Dynaudio Consequence Ultimate Edition с активной изобарической нагрузкой вибура и нижней граничной частотой 17 Гц	4/11
ИМС YM3Z International Rectifier PowIRRadio <sup>TM</sup> IR4321M и IR4322M размерами 7x 7x 1 мм отдали в нагрузку до 100 Вт без радиаторов	4/12
Новый сверхмалошумящий спаренный Н-канальный I-let LSK489 Linear Integrated Systems с существенно уменьшенной емкостью затвор-сток 4 пФ	4/13
New Japan Radio Co. Ltd под новым брендом MUSES начала выпуск «особо аудиофильских» ОУ MUSES01/02 и MUSES72230 - двухканального электронного регулятора гармоники с коэффициентом гармоник не более 0.0005% и уровнем собственных шумов не выше -115 дБА	4/14
ASUS выпустила специальный вариант звукового интерфейса Xonar Essence One MUSES Edition	4/14
Linear Technology LTC3863 - высоковольтный преобразователь постоянного напряжения отрицательной полярности с единственной катушкой индуктивности	4/15
Touchstone Semiconductor анонсировала расширение семейства микропотребляющих ИМС Nanowatt <sup>TM</sup> таймерами TS3003/4/5/6 с энергопотреблением на порядок меньше современных КМОП-аналогов 555	4/16
БИС IC-Haus GmbH iC-TW8 - прецизионный интерполятор с автокалибровкой для линейных и угловых измерений	4/17
Reregrine Semiconductor начала выпуск матриц конденсаторов серий DuNE UltraCMOS <sup>TM</sup> DTC PE6230x.0, PE6210x.0 и PE64906/7/8/9 для антенных согласующих устройств	4/19
Арсенид-галилеевая микросхема малошумящего усилителя Hittite HMC1049LP5E работает в диапазоне от 0,3 до 20 Гц	4/19
Компактный QRP трансивер «NanduPSK» фирмы SilentSystem Inc. позволяет проводить полноценные CW, PSK, QPSK и RTTY связи без компьютера	4/20
Трансивер FTdx1200 - новейшая модель фирмы YaESU, пришедшая на смену FT-950	4/20
Автоматически настраиваемая мобильная КВ антенна для любительского применения «Stealth 9310»	4/21
Microsoft купила Nokia	5/6
Суда по новому исследованию аналитической компании Gartner, эра персональных компьютеров приближается к своему завершению	5/6
Справительный анализ наиболее распространенных мобильных ОС - iOS 6, Android 4.0 и Windows Phone 8	5/7
Биороботы-тарраканы RoboRoach компании Backyard Brains	5/8
Беспроводные сети со скоростью передачи данных 40 гигабит в секунду в радиусе километра и 100 гигабит в секунду на 20 метров в рамках немецкого проекта MilliLink	5/9
Прототип 5G-сети Samsung на основе фазированной антенной решетки показал скорость передачи потока 1 Гб/с на расстояние до двух километров	5/9
На Каховской линии Московского метрополитена появилась первая зона бесплатного беспроводного доступа в интернет	5/9
Linksy Smart Wi-Fi Router AC1900 (EA6900) обеспечивает скорость до 1300 Мб/с	5/10
Двухдиапазонный гигабитный маршрутизатор AC1750 Archer C7 с пропускной способностью 1750 Мб/с	5/10
Утилита JPerf 2.0.2 позволяет измерить реальную скорость домашней Wi-Fi сети и тем самым помочь предотвратить скрытые потери пропускной способности интернет-доступа даже без подключения к интернету	5/11
NXP Semiconductors разработала он-лайн инструмент UHF PCB Antenna Design, облегчающий разработку «печатных» антенн УКВ диапазона, в частности, для систем RFID	5/13
Conductive Inkjet Technology, CSR и Atmel совместно разработали беспроводную Bluetooth-клавиатуру толщиной 0,5 мм	5/14
Интересной особенностью флеш-накопителя Lexar JumpDrive M10 Secure является индикатор свободного места	5/15
Флэшки Toshiba TransMemory-EX II со скоростью чтения данных 222 МБ/с и записи 205 МБ/с	5/15
Supra Talent выпустила SSD нового форм-фактора M.2 для ультратонких ноутбуков и планшетов	5/15
Ультрабук Lenovo Yoga 2 Pro с разрешением 13,3-дюймового дисплея 3200 x 1800 пикселей	5/16
MAME CAM - самый маленький в мире фотоаппарат массой 11 грамм	5/16
Fitbit: вдохновила «умные» часы Force	5/16
Электрически изолированные поверхностно-монтажные компоненты Therma-Bridge <sup>TM</sup> для эффективного отвода тепла	5/17
NXP Semiconductors анонсировала расширение семейства автомобильных УМЗЧ класса AB микросхемой TDF8546A с интегризованными входными фильтрами, предотвращающими интерференцию с сигналами мобильных телефонов стандарта GSM и патентованной системой Best Efficiency Mode	5/17
Сверхмалошумящий усилитель NXP BGA3018 для расширителей сетей кабельного ТВ и интернета	5/19
OU Linear Technology LT6016/17 работает способен при входных напряжениях выше напряжения питания на 28 В	5/19
KMOP Rail-to-Rail ОУ Linear Technology LTC6090 с напряжением питания до 140 В	5/20
Контроллер идеального мостового выпрямителя Linear Technology LT4320/LT4320-1	5/21
Фирма Palstar представила свой первый трансивер TR-30, который был отмечен как лучшее новое изделие	5/21
Полупроводниковый автоматический антенный тюнер HC-1.5KAT фирмы Tokyo Hy-Power	5/22
Мобильная антенна HFMB01 фирмы Difona	5/22
Проект STRAUSS - мультидоменная оптоволоконная инфраструктура связи, позволяющая работать на скорости до 100 Гб/с	6/6
Открылся российский «офлако» для проектирования электроники	6/6
Viber - экономичная и свободная от рекламы альтернатива Skype	6/7
Dark Mail - электронная почта на основе P2P-координации и протокола обмена мгновенными сообщениями SCIMP, принципиально свободная от «прослушки»	6/7
WebMoney выпустила приложение WebMoney Voice, позволяющее проводить конфиденциаль-	
ные телефонные переговоры	6/7
PROMT завершила работы по обновлению сайта <a href="http://www.translate.ru">http://www.translate.ru</a> - одного из популярных сервисов по онлайн-переводу	6/8
Переводчик для телефонов и планшетов под Android, который работает без подключения к интернету	6/8
Lunaweb Ltd. предложила бесплатный «облачный» сервис CloudConvert, выполняющий онлайн преобразование между 159 различными форматами файлов в подкаталогах archive, audio, cad, document, ebook, image, presentation, spreadsheet, vector, video	6/8
PDFMaster - программа-«гладилька» pdf, dvi, csm, ps, fb2 файлов дополнена новым модулем PDFMaster Printer для печати любых документов из любой программы на вашем ПК в pdf-файл	6/9
Microsoft напоминает, что 8 апреля 2014 года полностью завершится поддержка операционной системы Microsoft Windows XP	6/10
AirMagnet Spectrum XT - программа-«руję» для «охоты на Wi-Fi лис»	6/11
Профессиональный анализатор AirMagnet WiFi Analyzer - инструмент для управления сетями Wi-Fi предприятий стандарта 802.11a/b/g/n/4,9 ГГц с ядром AirWISE®	6/12
Rockwell Collins выпустила программу-калькулятор Lightning protection design calculator, позволяющую связать параметры тестовых по стандарту DO-160 молний с параметрами защитных радиокомпонентов	6/14
Навигационный чип Broadcom BCM47521 позволяет определять местоположение с точностью до нескольких сантиметров даже внутри зданий	6/15
В Санкт-Петербурге представлен мобильный терминал железнодорожника на Андроиде с классом защиты IP54	6/15
Институт Keiteli совместно с компанией Bifrost представили новую технологию, позволяющую определять путь с использованием самых обычных наушников	6/16
«Умные» часы AirOn Connect и AirOn GT1 обладают возможностью синхронизации с операционными системами Android и iOS, могут подключаться к смартфонам, принимать звонки и SMS	6/17
«Кухонный» термометр iGrill имеет возможность подключения к вашему iPhone	6/17
Volvo Car Group разработала революционную концепцию «кузов автомобиля превращается в аккумулятор»	6/17
Отладочная платформа Microchip Cloud Development Platform позволит разработчикам встраиваемых приложений быстро изучить технологии обмена данными с обычными сервисами	6/18
NXP Semiconductors представила новую серию AXP сверхнизковольтных микропотребляющих логических элементов, выполненных по технологии Si-gate CMOS с напряжением питания от 0,7 В	6/19
Litefuse выпустила микроминиатюрны (3,2 x 1,6 x 1,6 мм) газоразрядники серии SE...	6/19
МОП-транзисторы IXTL2N450 IXYS Corporation с предельно допустимым напряжением сток-исток 4500 В	6/19
Intersil Americas LLC выпустила ИМС ISL71590SEH - оригинальный двухвыходочный преобразователь температура-ток	6/20
IMC Linear Technology LT1166 для управления смещением выходного каскада мощных двухтактных УМЗЧ класса AB	6/21
Новая микросхема приемопередатчика диапазона 2,4 ГГц JN5168 от NXP	6/24
Новинка 2013 года - автомобильная СВ радиосистема Yosan CB-250...	6/24
Приложение MacLoggerDX HD для iPad фирмы Dog Park Software Ltd - аппаратный журнал для радиолюбителей-связистов	6/24
Магнитная рамочная приемная антенна RLA2 фирмы Reuter-elektronik	6/24
Wi-Fi, GSM, GPS, мобильная связь, гаджеты, ГГц	
Беспроводной модуль Digi XBee-PRO 900HP обеспечивает передачу данных в диапазоне 902...928 МГц на расстояние до 45 км со скоростью обмена до 200 Кб/с	1/14
Полудуплексный цифровой радиопроцессор CML Microcircuits CMX18 ACE для модернизации аналоговых PMR/Walkie-Talkies радиостанций	1/17
Компактная цифровая Full HD экипажная камера Rollie Actioncam 5S WiFi со встроенным Wi-Fi модулем и возможностью дистанционного управления посредством планшетника или смартфона	2/14
Web-камера Belkin NetCam HD Wi-Fi Camera with Night Vision позволяет удаленно наблюдать за происходящим в помещении с помощью смартфона или планшета	2/15
Портативный анализатор спектра беспроводных систем связи Narda IDA-3106 обладает функциями радио-мониторинга, анализатора излучений и определения местонахождения источника сигнала в частотном диапазоне от 9 КГц до 6 ГГц	2/22
Ноутбук направленный Wi-Fi антenna	2/24, 3/55
Утилита inSSIDer для частотной и пространственной диагностики доступных каналов Wi-Fi и загруженности гигагерцевого эфира	3/6
USB-адаптер Wi-Spy и программный сканер-спектроанализатор Chanalyzer для обзора всех мешающих Wi-Fi (Bluetooth, ZigBee и др.) устройств диапазонов 2,4 и 5 ГГц	3/6
Две новых «китайских» направления эволюции сотовых телефонов - «бабушкифоны» MUphone 7700, Senseit S7 с персональным трекером и системой мониторинга MobiTrack и «танкофоны» Senseit P7	3/11
Tethercall-адаптер формфактора AA дистанционно включает и выключает, программирует работу нескольких гаджетов по расписанию, контролирует уровень заряда их батарей и даже находит потерянные Bluetooth	4/9
Радиодиададлер Bluetooth гарнитуры для трансивера	4/37
Справительный анализ всех наиболее распространенных мобильных ОС - iOS 6, Android 4.0 и Windows Phone 8	5/7
Биороботы-тарраканы RoboRoach компании Backyard Brains	5/8
Беспроводные сети со скоростью передачи данных 40 гигабит в секунду в радиусе километра и 100 гигабит в секунду на 20 метров в рамках немецкого проекта MilliLink	5/9
Прототип 5G-сети Samsung на основе фазированной антенной решетки показал скорость передачи потока 1 Гб/с на расстояние до двух километров	5/9
На Каховской линии Московского метрополитена появилась первая зона бесплатного беспроводного доступа в интернет	5/9
Linksy Smart Wi-Fi Router AC1900 (EA6900) обеспечивает скорость до 1300 Мб/с	5/10
Двухдиапазонный гигабитный маршрутизатор AC1750 Archer C7 с пропускной способностью 1750 Мб/с	5/10
Утилита JPerf 2.0.2 позволяет измерить реальную скорость домашней Wi-Fi сети и тем самым помочь предотвратить скрытые потери пропускной способности интернет-доступа даже без подключения к интернету	5/11
Переводчик для телефонов и планшетов под Android, который работает без подключения к интернету	6/8
AirMagnet Spectrum XT - программа-«руję» для «охоты на Wi-Fi лис»	6/11
Профессиональный анализатор AirMagnet WiFi Analyzer - инструмент для управления сетями Wi-Fi предприятий стандарта 802.11a/b/g/n/4,9 ГГц с ядром AirWISE®	6/12
Навигационный чип Broadcom BCM47521 позволяет определять местоположение с точностью до нескольких сантиметров даже внутри зданий	6/15
В Санкт-Петербурге представлен мобильный терминал железнодорожника на Андроиде с классом защиты IP54	6/15
Новая микросхема приемопередатчика диапазона 2,4 ГГц JN5168 от NXP	6/24
Радиоистория, радиовещание	
75-летний юбилей позывного UPOL	1/2
Радио подборщик экспедиции Н. Нобиле	2/2
Вехи истории радиолюбительского конструирования КВ и УКВ аппаратуры	3/2, 4/2
Из истории киевского КВ-движения	5/2
Апрельские тезисы	2/25
Вниманию наших авторов	4/21

# **IMRAD**

Широкий спектр электронных компонентов  
от ведущих мировых производителей  
со склада в г. Киеве и под заказ

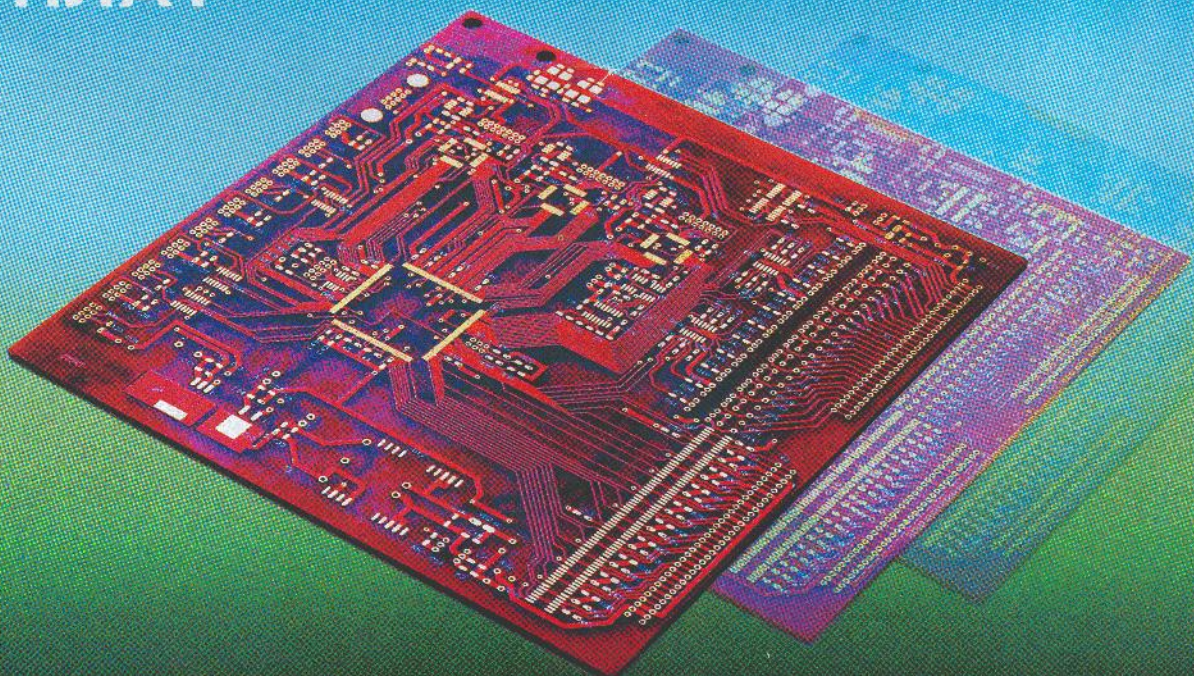
Украина г. Киев  
ул. Шутова 9 офис 211

тел./факс: (044) 490-91-59, 490-21-96  
495-21-09, 495-21-10 (многоканальный)

E-mail: imrad@imrad.kiev.ua  
[www.imrad.com.ua](http://www.imrad.com.ua)



## ПРОИЗВОДСТВО ПЕЧАТНЫХ ПЛАТ



[WWW.ETAL.UA](http://WWW.ETAL.UA)

# RADIO EXPERT.RU

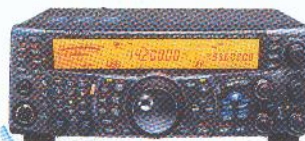
Первый российский  
супермаркет  
для радиолюбителей



Сервисный центр компании "Радиоэксперт" оснащен  
необходимым высокоточным измерительным  
оборудованием для проведения работ любой сложности.

Специальные предложения! Доставка по всей России!

KENWOOD



### TS-2000/TS-2000X

0.5-30, 50-54, 144-148,  
430-450 МГц/1200МГц  
SSB/CW/FM/FSK: 100 Вт;  
AM: 25 Вт (HF, 6 м, 2 м)  
SSB/CW/FM/FSK: 50 Вт;  
AM: 12,5 Вт (70 см)



### TS-590S

1.8-54 МГц  
SSB/CW/AM/FM/FSK, антенный  
тюнер, 32-битный DSP  
100 Ватт;

YAESU



### FT-2000

Tx: 30 кГц - 60 МГц, Rx: 160-6 м  
A1A(CW), A3E(AM), J3E(SSB),  
F3E(FM), F1B(RTTY),  
F1D(PACKET), F2D(PACKET)  
100 Вт



### FT-950

0.3-56 МГц  
SSB/CW/AM/FM/RTTY/PACKET  
автоматический тюнер  
100 Ватт



### FT-897D

Tx: 160-6 м, 2 м, 0,7 м  
Rx: 0.1-56, 76-108, 118-164 МГц,  
SSB, CW, AM, FM и Packet  
100 Вт  
TCXO-9, DSP2



### FT-857D

Мобильно-Базовая радиостанция  
Tx: 160-6 м, 2 м, 0,7 м  
Rx: 0.1-56, 76-108, 118-164 МГц,  
SSB, CW, AM, FM и Packet  
100 Вт  
TCXO-9, DSP2

FlexRadio Systems®

Software Defined Radios



### Flex-3000



### Flex-5000



### Flex-1500



### Flex-6000 Series



WINRADIO®

### WR-G39DDCe "EXCELSIOR"



### WR-G31DDC "EXCALIBUR"

